

Aus der Klinik für Hämatologie, Onkologie und klinische Immunologie  
der Heinrich-Heine-Universität Düsseldorf

Direktor: Univ.-Prof. Dr. med. S. Dietrich

## **Chromosomale Aberrationen bei Myelodysplastischen Syndromen**

Dissertation

zur Erlangung des Grades eines Doktors der Medizin  
der Medizinischen Fakultät der Heinrich-Heine-Universität Düsseldorf

vorgelegt von

Valerie Antonia Flatten  
(2024)

Als Inauguraldissertation gedruckt mit Genehmigung der Medizinischen Fakultät der Heinrich-Heine-Universität Düsseldorf

gez.:

Dekan: Prof. Dr. med. Nikolaj Klöcker

Erstgutachter: Prof. Dr. med Ulrich Germing

Zweitgutachter: Univ.-Prof. Dr. med Harald Rieder

Meinen Eltern

Teile dieser Arbeit wurden veröffentlicht:

K. Nachtkamp, V. Flatten, B. Hildebrandt, A. Kasprzak, F. Schulz, C. Strupp, D. Haase, C. Ganster, K. Shirneshan, K. Rittscher, K. Götze, W.-K. Hofmann, U. Platzbecker, M. Pfeilstöcker, P. Valent, S. Blum, M. Lübbert, S. Parmetier, F. Beier, K. Sockel, U. Germing, (2023), Abstract: Intermediate risk karyotype by IPSS-R can be separated into 5 prognostically distinct subgroups in MDS patients, *Leukemia Research*, (Volume 128), Artikel 107229 [1]

## ZUSAMMENFASSUNG (DEUTSCH)

Circa 60% der Patienten mit Myelodysplastischen Syndromen (MDS) weisen zu Beginn ihrer Erkrankung chromosomal Aberrationen auf, die aktuell im *Revised International Prognostic Scoring System* (IPSS-R) berücksichtigt werden. Im IPSS-R sind 11 Aberrationen beschrieben, denen eine prognostische Relevanz beigemessen wird. Außerdem ist bekannt, dass sich die Prognose in Bezug auf das Langzeitüberleben mit zunehmender Komplexität des Karyotyps verschlechtert und das Risiko für eine Transformation in eine Akute Myeloische Leukämie (AML) steigt. Ziel dieser Arbeit war es, weitere Zusammenhänge von chromosomal Aberrationen in Bezug auf ihre prognostische Bedeutung zu untersuchen und die Auswirkungen einer klonalen Evolution des Chromosomensatzes auf die Prognose zu erforschen. Gerade in Hinblick auf die Notwendigkeit wiederholter Knochenmarkpunktionen sollte weiterhin die Qualität von Chromosomenanalysen aus dem peripheren Blut in ihrer statistischen Wertigkeit geprüft werden.

Dazu wurden 3.951 Patienten aus dem MDS-Register Düsseldorf aus den Jahren 1982 bis 2022 dokumentiert und ihre Überlebenszeiten sowie das Risiko eines AML-Progresses mit Hilfe der Statistik-Software SPSS in Bezug auf verschiedene Parameter ermittelt. In der untersuchten Kohorte lag das mediane Alter bei 68 Jahren, das mediane Langzeitüberleben betrug 40 Monate und der Anteil der Patienten mit einer Transformation in eine AML nach zwei Jahren 24% und nach fünf Jahren 33%.

Beim Vergleich der Karyotypen aus dem Knochenmark (KM) mit Analysen des peripheren Blutes (PB) konnte in 81% der Fälle die gleiche ISCN-Formel und in 84% die gleiche Karyotyp-Kategorie nach IPSS-R nachgewiesen werden. Chromosomenanalysen wiesen im Median 20 (KM) bzw. 24 (PB) Metaphasen auf. In 48% der Fälle lag ein normaler Karyotyp vor, deren Prognose mit 55 Monaten günstiger war als für aberrante Karyotypen mit 29 Monaten. Für das Auftreten von 17p und/oder del5q Veränderungen bei komplexen Karyotypen ließ sich vermutlich aufgrund der geringen Fallzahl kein signifikanter Unterschied im Überleben oder Progressrisiko nachweisen. Als prognostisch günstig erwiesen sich die bisher nicht im IPSS-R beschriebene Monosomie X sowie das Derivatchromosom (1;7)(q10;p10), während Patienten mit einer Trisomie 11 ein kurzes medianes Langzeitüberleben und ein hohes Risiko für eine AML-Transformation aufwiesen. Insgesamt wiesen 1.276 Patienten eine Nachuntersuchung des Karyotyps auf. Die Prognose der 35% mit einer klonalen Evolution war mit 30 Monaten deutlich verkürzt im Vergleich zu Patienten ohne klonale Evolution. Das kürzeste mediane Langzeitüberleben und höchste Risiko für einen Progress wiesen Patienten mit initial komplex aberranten Karyotyp und einer klonalen Evolution auf.

In der multivariaten Analyse war die neu entwickelte Einteilung der *intermediate* Gruppe nach IPSS-R bester und die Einteilung der Karyotypen nach einer klonalen Evolution im Verlauf zweitbeste prognostischer Parameter. Zusammenfassend kann somit festgehalten werden, dass bestimmte zytogenetische Aberrationen sowie eine klonale Evolution des Karyotyps einen hoch signifikanten Einfluss auf das mediane Langzeitüberleben und Risiko für eine AML-Transformation haben.

## ZUSAMMENFASSUNG (ENGLISCH)

About 60% of all patients with myelodysplastic syndrome (MDS) show signs of cytogenetic abnormalities at diagnosis. So far 11 of all possible genetic abnormalities are categorized in the revised international prognostic scoring system (IPSS-R) because of their influence on the prognosis of MDS. In addition, it is common knowledge that a highly complex karyotype influences the median overall survival and risk for transformation into acute myeloid leukemia (AML) negatively. This study was designed to evaluate the prognostic impact of cytogenetic abnormalities on the overall survival and risk for progression as well as investigate the consequences of clonal evolution on the prognosis. Furthermore, we analysed the statistical value and quality of karyotype analyses from peripheral blood, because in the future a higher rate of cytogenetic evaluations might be necessary.

We collected data from 3.951 patients from the MDS-registry Düsseldorf, who were documented in the years 1982 to 2022 and analysed their overall survival and risk for progression into AML with the help of the statistical software program SPSS. The median age was 68 years and the median overall survival 40 months. After two years 24% of all patients presented with a transformation into AML and after 5 years it was 33%.

Comparing the analysis of karyotypes from bone marrow (BM) to peripheral blood (PB) we could show that in 81% of all cases the same ISCN was detected and in 84% of all cases the same category for karyotype according to the IPSS-R. The median number of metaphasis in analysis from bone marrow was 20 and in peripheral blood 24. 48% of all cases showed a normal karyotype at diagnosis and had a better prognosis with a median overall survival of 55 months whereas patients with an abnormal karyotype only lived for a median of 29 months. In the analysed cohort there was no significant correlation for 17p and/or del5q abnormalities in patients with complex karyotypes concerning median overall survival or risk for AML transformation. This was probably due to a small number of cases detected. Monosomy X and the derivative chromosome (1;7)(q10;p10), which are so far not categorized in the IPSS-R, correlated with a good prognosis concerning median overall survival and AML transformation, whereas patients with trisomy 11 showed a short median overall survival and high risk for progression into AML. Overall 1.276 patients received at least another cytogenetic analysis and could therefore be re-evaluated during the course of the disease. Of these 35% presented with clonal evolution and therefore showed a shorter median overall survival of 30 months than patients without clonal evolution. The shortest median overall survival and highest risk for transformation into AML was detected for patients with a highly complex karyotype at diagnosis and clonal evolution.

In the multivariate analysis the newly developed categorization for the intermediate risk group of karyotype according to IPSS-R was the best and the categorization of clonal evolution during the course of the disease second best independent prognostic parameter. In conclusion we could show that certain cytogenetic abnormalities as well as clonal evolution have a highly significant impact on the median overall survival and risk for progression into AML.

# ABKÜRZUNGSVERZEICHNIS

Abkürzung	Erklärung
<b>95% KI</b>	95%iges Konfidenzintervall
<b>95% KI: OG</b>	95%iges Konfidenzintervall: obere Grenze
<b>95% KI: UG</b>	95%iges Konfidenzintervall: untere Grenze
<b>Abb</b>	Abbildung
<b>alter_kat</b>	Alter in Kategorien
<b>Alter70</b>	Alter <70/≥70 Jahre
<b>AML</b>	Akute myeloische Leukämie
<b>ANC</b>	absolute Zahl neutrophiler Granulozyten
<b>ANC_kat</b>	Granulozyten-Werte in Kategorien
<b>ASXL1</b>	<i>additional sex combs-like 1</i>
<b>ATG</b>	Anti-Thymozyten-Globulin
<b>BCL2</b>	<i>B-cell lymphoma 2</i>
<b>bcr-abl</b>	<i>breakpoint cluster region - Abelson murine leukaemia viral oncogene homolog 1</i>
<b>BM</b>	<i>bone marrow</i>
<b>CAE</b>	Naphtol-AS-D-Chloracetat-Esterase
<b>CBC-score</b>	<i>complete blood count-based score</i>
<b>CBL</b>	<i>Casitas B-lineage lymphoma</i>
<b>CD (z.B. CD34)</b>	<i>Cluster of Differentiation</i> (z.B. Cluster of Differentiation-Molekül 34)
<b>Chrom_FU_3 Gruppen</b>	Einteilung der Karyotypen im Verlauf in drei Gruppen
<b>Chrom_FU_8 Gruppen</b>	Einteilung der Karyotypen im Verlauf in acht Gruppen
<b>chrom_kat_neu</b>	Chromosomensatz bei Erstdiagnose in Kategorien
<b>CMM</b>	chronische myelomonozytäre Leukämie
<b>COVID</b>	<i>Coronavirus Disease</i>
<b>CPSS</b>	<i>CMM-specific Prognostic Scoring System</i>
<b>CPX351</b>	Kombinationspräparat aus liposomalem Daunorubicin und Cytarabin
<b>del</b>	Deletion
<b>der</b>	derivatives Chromosom
<b>DNA</b>	Desoxyribonukleinsäure
<b>DNMT3A</b>	<i>DNA methyltransferase 3A</i>

<b>EB</b>	Blastenexzess
<b>ED</b>	Erstdiagnose
<b>EPO</b>	Erythropoetin
<b>ESA</b>	Erythropoese-stimulierenden Agenzien
<b>ETV6</b>	<i>E-26 transforming specific ETS variant 6</i>
<b>EZH2</b>	<i>Enhancer of zeste homolog 2</i>
<b>FAB</b>	Französich-amerikanisch-britische Arbeitsgruppe
<b>FISH</b>	Fluoreszenz-in-situ-Hybridisierung
<b>Hb</b>	Hämoglobin
<b>Hb_kat</b>	Hämoglobin-Werte in Kategorien
<b>HIV</b>	<i>Human Immunodeficiency Virus</i>
<b>i</b>	Isochromosom
<b>IBM</b>	<i>International Business Machines Corporation</i>
<b>ICUS</b>	<i>Idiopathic Cytopenia of Unknown Significance</i>
<b>IDH 1 und 2</b>	<i>isocitrate dehydrogenase 1 und 2</i>
<b>idic</b>	<i>isodicentric chromosome</i>
<b>IGFBP2</b>	<i>Insulin like growth factor binding protein 2</i>
<b>inv</b>	Inversion
<b>IPSS</b>	<i>International Prognostic Scoring System</i>
<b>IPSS-M</b>	<i>Molecular International Prognostic Scoring System</i>
<b>IPSS-R</b>	<i>Revised International Prognostic Scoring System</i>
<b>ipssr_chrom_KM</b>	Einteilung der Karyotypen nach IPSS-R (Material stammt aus dem Knochenmark)
<b>ISCN</b>	<i>International System for Human Cytogenomic Nomenclature</i>
<b>ITP</b>	Immunthrombozytopenie
<b>JAK2</b>	Janus Kinase 2
<b>KM</b>	Knochenmark
<b>kmblastenkat</b>	prozentualer Anteil der Knochenmark-Blasten in Kategorien
<b>KRAS</b>	<i>Kirsten rat sarcoma viral oncogene homolog</i>
<b>LDH</b>	Laktatdehydrogenase
<b>LDH_kat</b>	LDH-Werte in Kategorien
<b>LIF</b>	<i>Leukemia inhibitory factor</i>
<b>mar</b>	Markerchromosom
<b>MDACC</b>	<i>MD (doctor of medicine) Anderson Cancer Center</i>
<b>MDS</b>	Myelodysplastische Syndrome

<b>MDS del(5q)</b>	MDS mit Deletion des langen Arms von Chromosom 5
<b>MDS EB 1</b>	MDS mit Blastenexzess 1
<b>MDS EB 2</b>	MDS mit Blastenexzess 2
<b>MDS-MLD</b>	MDS mit multilineärer Dysplasie
<b>MDS-RS-MLD</b>	MDS mit multilineärer Dysplasie und Ringsideroblasten
<b>MDS-RS-SLD</b>	MDS mit unilineärer Dysplasie und Ringsideroblasten
<b>MDS-SLD</b>	MDS mit unilineärer Dysplasie
<b>MDS-U</b>	MDS, unklassifizierbar
<b>MDS/MPN RS T</b>	MDS/MPN mit Ringsideroblasten und Thrombozytose
<b>MDS/MPN U</b>	MDS/MPN unklassifizierbar
<b>MLD</b>	<i>multilineage dysplasia</i>
<b>MLL</b>	<i>Myeloid/lymphoid or mixed-lineage leukaemia enzyme</i>
<b>MPN</b>	Myeloproliferative Erkrankungen
<b>n.e.</b>	nicht erreicht
<b>neuer_score3</b>	neue Einteilung der „ <i>intermediate</i> “ Kategorie nach IPPS-R
<b>NGS</b>	<i>Next Generation Sequencing</i>
<b>NRAS</b>	<i>Neuroblastoma rat sarcoma viral oncogene</i>
<b>NSAR</b>	Nicht steroidale Antirheumatika
<b>OR</b>	<i>Odds Ratio</i>
<b>p</b>	kurzer Arm des Chromosoms
<b>PB</b>	peripheres Blut
<b>PLA_kat</b>	Thrombozyten-Werte in Kategorien
<b>plaperikat</b>	prozentualer Anteil peripherer Blasten in Kategorien
<b>PNH</b>	Paroxysmale nächtliche Hämaturie
<b>PRCA</b>	<i>Pure-Red-Cell-Aplasie</i>
<b>q</b>	langer Arm des Chromosoms
<b>RA</b>	Refraktäre Anämie
<b>RAEB</b>	Refraktäre Anämie mit Blastenexzess
<b>RAEB-T</b>	Refraktäre Anämie mit Blastenüberschuss in Transformation/ <i>refractory anemia with excess blasts in transformation</i>
<b>RARS</b>	Refraktäre Anämie mit Ringsideroblasten
<b>RCMD</b>	Refraktäre Anämie mit multilineärer Dysplasie
<b>RCUD</b>	Refraktäre Zytopenie mit unilineärer Dysplasie
<b>RN</b>	Refraktäre Neutropenie
<b>RNA</b>	Ribonukleinsäure

<b>RS</b>	Ringsideroblasten
<b>RSCMD</b>	Refraktäre Anämie mit Ringsideroblasten mit multilineärer Dysplasie
<b>RT</b>	Refraktäre Thrombozytopenie
<b>RUNX1</b>	<i>Runt-related transcription factor 1</i>
<b>SF3B1</b>	<i>Splicing factor 3B1</i>
<b>SLD</b>	<i>single lineage dysplasia</i>
<b>SNP-A</b>	<i>single-nucleotide polymorphism arrays</i>
<b>SPSS</b>	<i>Statistical Package for the Social Sciences</i>
<b>SRSF2</b>	<i>Serine/arginine-rich splicing factor 2</i>
<b>SSC</b>	<i>Sideward light scatter</i>
<b>STAG2</b>	<i>Cohesin subunit SA-2</i>
<b>Std.-Abw.</b>	Standard-Abweichung
<b>t</b>	Translokation
<b>Tab</b>	Tabelle
<b>Tbc</b>	Tuberkulose
<b>TET2</b>	<i>Tet methylcytosine dioxygenase</i>
<b>TGF</b>	<i>Transforming growth factor</i>
<b>TIM3</b>	<i>T cell immunoglobulin and mucin domain-containing protein 3</i>
<b>TLR</b>	Toll-like-Rezeptoren
<b>TP53</b>	Tumorprotein p53
<b>U</b>	<i>Units</i>
<b>U2AF1</b>	<i>U2 snRNP auxiliary factor 1</i>
<b>UKD</b>	Universitätsklinikum Düsseldorf
<b>ÜZ</b>	Überlebenszeit
<b>VEGFA</b>	<i>Vascular endothelial growth factor A</i>
<b>WHO</b>	<i>World Health Organisation</i>
<b>ZRSR2</b>	<i>Zinc finger (CCCH type), RNA-binding motif and serine/arginine rich 2</i>
<b>µl</b>	Mikroliter

# INHALTSVERZEICHNIS

1	Einleitung .....	1
1.1	Epidemiologie .....	1
1.2	Ätiologie.....	1
1.3	Pathologie .....	2
1.4	Klinik .....	3
1.5	Diagnostik .....	3
1.5.1	Blutbild und Differentialblutbild .....	4
1.5.2	Zytomorphologie und Zytchemie .....	5
1.5.3	Histologie .....	6
1.5.4	Zytogenetik.....	7
1.5.5	Molekulargenetik .....	9
1.6	Klassifikation .....	10
1.6.1	FAB-Klassifikation .....	10
1.6.2	WHO Klassifikationen von 2001 und 2008 .....	11
1.6.3	WHO Klassifikation von 2016.....	13
1.7	Prognosefaktoren.....	17
1.7.1	IPSS .....	17
1.7.2	IPSS-R.....	18
1.7.3	IPSS-M.....	19
1.8	Therapie .....	19
1.8.1	Niedrigrisiko-MDS .....	20
1.8.2	Hochrisiko-MDS.....	20
1.9	Ziele der Arbeit.....	22
2	Material und Methoden.....	23
2.1	Patientengut.....	23
2.2	Datenakquise .....	23

2.3 Methoden .....	24
2.4 Ethikvotum.....	25
3 Ergebnisse.....	26
3.1 Patientencharakteristika .....	26
3.1.1 Merkmale der Patientenkohorte.....	26
3.1.2 Zytogenetische Untersuchungen.....	28
3.2 Überleben der Patienten .....	38
3.2.1 Gesamte Kohorte .....	39
3.2.2 Geschlecht.....	39
3.2.3 Alter.....	40
3.2.4 WHO 2016 .....	42
3.2.5 Hämoglobin (Hb) .....	42
3.2.6 Granulozyten .....	43
3.2.7 Thrombozyten.....	44
3.2.8 LDH .....	45
3.2.9 Blasten im peripheren Blut und Knochenmark .....	46
3.2.10 Chromosomensatz bei Erstdiagnose (ED).....	47
3.2.11 Follow-up .....	48
3.2.12 IPSS-R.....	49
3.2.13 Weitere Unterteilung der <i>Intermediate</i> -Gruppe nach IPSS-R .....	50
3.2.14 Einteilung der Karyotypen im Verlauf in drei Gruppen.....	51
3.2.15 Einteilung der Karyotypen im Verlauf in acht Gruppen.....	52
3.3 Übergang in eine AML .....	60
3.3.1 Gesamte Kohorte .....	60
3.3.2 Alter in Kategorien.....	60
3.3.3 Hämoglobin (Hb) .....	61
3.3.4 Granulozyten .....	62
3.3.5 Thrombozyten.....	63
3.3.6 LDH .....	64

3.3.7	Blasten peripheres Blut und Knochenmark.....	65
3.3.8	Chromosomensatz bei Erstdiagnose (ED).....	66
3.3.9	<i>Follow-up</i> .....	67
3.3.10	IPSS-R.....	68
3.3.11	Weitere Unterteilung der <i>Intermediate</i> -Gruppe nach IPSS-R .....	69
3.3.12	Einteilung der Karyotypen im Verlauf in drei Gruppen.....	70
3.3.13	Einteilung der Karyotypen im Verlauf in acht Gruppen.....	71
3.4	Multivariate Analyse.....	79
3.4.1	Multivariate Analyse zum Gesamtüberleben .....	79
3.4.2	Multivariate Analyse zum AML-Progress.....	81
4	Diskussion .....	83
4.1	Patientengut .....	84
4.2	Karyotyp-Analysen aus dem peripheren Blut .....	85
4.3	Karyotyp-Anomalien .....	86
4.4	Langzeitüberleben und Risiko eines AML-Progresses .....	87
4.5	Klonale Evolution .....	90
4.6	Schlussfolgerung .....	93
5	LITERATUR- UND QUELLENVERZEICHNIS .....	94
6	ANHANG.....	100

# ABBILDUNGSVERZEICHNISVERZEICHNIS

Abb. 1: Differentialdiagnosen der Myelodysplastischen Syndrome [13].....	4
Abb. 2: <i>Proposed minimal diagnostic criteria of MDS</i> [18].....	5
Abb. 3: Kaplan Meier Überlebenskurve der gesamten Kohorte.....	39
Abb. 4: Kaplan Meier Überlebenskurve nach Geschlecht.....	40
Abb. 5: Kaplan Meier Überlebenskurve nach Alter <70/ $\geq$ 70 Jahre.....	41
Abb. 6: Kaplan Meier Überlebenskurve nach Alter in Kategorien <40, 40-50, 50-60, 60-70, 70->80.....	41
Abb. 7: Kaplan Meier Überlebenskurve nach WHO 2016.....	42
Abb. 8: Kaplan Meier Überlebenskurve nach Hb $\geq$ 10g/dl .....	43
Abb. 9: Kaplan Meier Überlebenskurve nach Granulozyten $\geq$ 1800/ $\mu$ l.....	44
Abb. 10: Kaplan Meier Überlebenskurve nach Thrombozyten $\geq$ 100000/ $\mu$ l.....	45
Abb. 11: Kaplan Meier Überlebenskurve nach LDH $\geq$ 200U/l.....	46
Abb. 12: Kaplan Meier Überlebenskurve nach Blasten im PB $\geq$ 0% .....	47
Abb. 13: Kaplan Meier Überlebenskurve nach Blasten im KM $\geq$ 5%.....	47
Abb. 14: Kaplan Meier Überlebenskurve nach Chromosomenkategorie bei ED .....	48
Abb. 15: Kaplan Meier Überlebenskurve nach <i>Follow-up</i> .....	49
Abb. 16: Kaplan Meier Überlebenskurve nach IPSS-R.....	50
Abb. 17: Kaplan Meier Überlebenskurve der „ <i>intermediate</i> -Gruppe“ nach neuem Score .....	51
Abb. 18: Kaplan Meier Überlebenskurve nach chromosomalen <i>Follow-up</i> -Befunden in drei Gruppen.....	52
Abb. 19: Kaplan Meier Überlebenskurve nach chromosomalen <i>Follow-up</i> -Befunden in acht Gruppen.....	53
Abb. 20: Kaplan Meier Kurve des AML-Übergangs der gesamten Kohorte .....	60
Abb. 21: Kaplan Meier Kurve des AML-Übergangs nach Alter in Kategorien <40, 40-50, 50-60, 60-70, 70-80, >80 .....	61
Abb. 22: Kaplan Meier Kurve des AML-Übergangs nach Hb $\geq$ 10g/dl .....	62
Abb. 23: Kaplan Meier Kurve des AML-Übergangs nach Granulozyten $\geq$ 1800/ $\mu$ l .....	63
Abb. 24: Kaplan Meier Kurve des AML-Übergangs nach Thrombozyten $\geq$ 100000/ $\mu$ l .....	64

Abb. 25: Kaplan Meier Kurve des AML-Übergangs nach LDH $\geq 200 \text{U/l}$ .....	65
Abb. 26: Kaplan Meier Kurve des AML-Übergangs nach Blasten im PB $\geq 0\%$ .....	66
Abb. 27: Kaplan Meier Kurve des AML-Übergangs nach Blasten im KM $\geq 5\%$ .....	66
Abb. 28: Kaplan Meier Kurve des AML-Übergangs nach Chromosomensatz bei ED .....	67
Abb. 29: Kaplan Meier Kurve des AML-Übergangs nach <i>Follow-up</i> .....	68
Abb. 30: Kaplan Meier Kurve des AML-Übergangs nach IPSS-R .....	69
Abb. 31: Kaplan Meier Kurve des AML-Übergangs der „ <i>Intermediate</i> -Gruppe“ nach neuem Score .....	70
Abb. 32: Kaplan Meier Kurve des AML-Übergangs nach chromosomalen <i>Follow-up</i> -Befunden in drei Gruppen .....	71
Abb. 33: Kaplan Meier Kurve des AML-Übergangs nach chromosomalen <i>Follow-up</i> -Befunden in acht Gruppen .....	72

# TABELLENVERZEICHNIS

Tabelle 1: MDS definierende chromosomale Aberrationen [35].....	8
Tabelle 2: Somatische Mutationen mit kumulativer Inzidenz in der Literatur [38, 39].....	9
Tabelle 3: FAB-Klassifikation der Myelodysplastischen Syndrome [40] .....	10
Tabelle 4: WHO 2001 Klassifikation der Myelodysplastischen Syndrome [50] .....	11
Tabelle 5: WHO 2008 Klassifikation der Myelodysplastischen Syndrome [51] .....	12
Tabelle 6: WHO 2016 Klassifikation der MDS/MPN-Overlap-Erkrankungen [18].....	14
Tabelle 7: WHO 2016 Klassifikation der Myelodysplastischen Syndrome [18].....	16
Tabelle 8: IPSS [44] .....	17
Tabelle 9: IPSS-R [59] .....	18
Tabelle 10: Legende zur Einteilung des Karyotyps nach IPSS-R .....	18
Tabelle 11: Legende zur prognostischen Risikogruppe nach IPSS-R .....	18
Tabelle 12: Häufigkeiten der epidemiologischen Daten.....	27
Tabelle 13: Häufigkeiten klinischer Parameter.....	28
Tabelle 14: Häufigkeiten Karyotyp bei ED und im Verlauf.....	28
Tabelle 15: Häufigkeiten Chromosomenkategorie.....	29
Tabelle 16: Häufigkeiten neue Ordnung der Gruppe „Diverse 1-2 Aberrationen“.....	30
Tabelle 17: Häufigkeiten 17p und 5q Beteiligung bei komplex veränderten Karyotyphen.....	31
Tabelle 18: Häufigkeiten 17p und 5q Beteiligung in zwei Gruppen .....	31
Tabelle 19: Häufigkeiten Karyotyp-Kategorisierung nach CPSS .....	31
Tabelle 20: Häufigkeiten Karyotyp-Kategorisierung nach IPSS-R .....	32
Tabelle 21: Kreuztabelle Alter in Kategorien versus Karyotyp-Kategorisierung nach IPSS-R ..	33
Tabelle 22: Häufigkeiten der weiteren Unterteilung der <i>Intermediate</i> -Gruppe nach IPSS-R....	35
Tabelle 23: Häufigkeiten der Karyotypen im Verlauf in drei Gruppen.....	36
Tabelle 24: Häufigkeiten der Karyotypen im Verlauf in acht Gruppen.....	36
Tabelle 25: Kreuztabelle: IPSS-R versus klonale Evolution.....	36
Tabelle 26: Häufigkeiten PB und KM (Anzahl der Patienten) .....	37
Tabelle 27: Anzahl der untersuchten Metaphasen (Anzahl der untersuchten Befunde) .....	37
Tabelle 28: Häufigkeiten ISCN nach WHO im KM vs. PB .....	38

Tabelle 29: Übersicht Überlebenszeitanalysen .....	54
Tabelle 30: Übersicht AML-Übergang.....	73
Tabelle 31: Multivariate Analyse zum Gesamtüberleben (n=2452).....	79
Tabelle 32: Multivariate Analyse zum Gesamtüberleben (n=610) .....	80
Tabelle 33: Multivariate Analyse zum Gesamtüberleben (n=542).....	80
Tabelle 34: Multivariate Analyse zum AML-Progress (n=2176). ....	81
Tabelle 35: Multivariate Analyse zum AML-Progress (n=610) .....	81
Tabelle 36: Multivariate Analyse zum AML-Progress (n=555) .....	82
Tabelle 37: Multivariate Analyse zum AML-Progress (n=47).....	82
Tabelle 38: Chromosomensätze bei Erstdiagnose der Kategorie "Diverse 1-2" .....	100
Tabelle 39: Chromosomensätze bei Erstdiagnose der Kategorie "Komplex=3" .....	117
Tabelle 40: Chromosomensätze der Kategorie "Komplex >3".....	121
Tabelle 41: Chromosomensätze der Kategorie "Sonstige - 1 Aberration" .....	137
Tabelle 42: Chromosomensätze der Kategorie "Sonstige - 2 Aberrationen" .....	140
Tabelle 43: Chromosomensätze aller <i>Follow-up</i> Befunde.....	143

# 1 Einleitung

Die Myelodysplastischen Syndrome (MDS) sind eine heterogene Gruppe von Knochenmarkserkrankungen, die durch eine klonale Evolution von hämatopoetischen Stammzellen gekennzeichnet sind. Die gestörte Hämatopoese beeinflusst dabei vor allem die Funktion und Ausreifung der Zellen, in Folge dessen im Knochenmark Dysplasien in mindestens einer der drei Zellreihen (Erythropoese, Granulopoese und Thrombopoese) sowie Zytopenien (Uni-, Bi-, und Panzytopenie) im peripheren Blut auftreten können. Weiterhin ist bei den Myelodysplastischen Syndromen das Risiko für eine Transformation in eine akute myeloische Leukämie (AML) erhöht, weshalb sie ebenfalls mit einer Einschränkung der Lebenserwartung assoziiert sind.

## 1.1 Epidemiologie

Die Myelodysplastischen Syndrome sind eine Gruppe von Erkrankungen des höheren Lebensalters mit einem medianen Erkrankungsalter von 72 Jahren und einer fast doppelt so hohen jährlichen Prävalenz wie der AML gemittelt über alle Altersklassen [2]. Retrospektiv variieren epidemiologische Daten aufgrund von erweiterten Klassifikationssystemen, verbesserten diagnostischen Untersuchungen und *Screening*-Methoden sowie Veränderungen in der demographischen Entwicklung [2, 3]. Jährliche Inzidenzen für die Gesamtbevölkerung reichen dabei von 1,29/100.000 Einwohner im Zeitraum von 1967-1980 mit steigenden Inzidenzen bis zu 4,1/100.000 im Zeitraum von 1991-2001. Eine Studie aus dem Jahr 2011 konnte jedoch keinen weiteren Anstieg verzeichnen [4] und auch neuere Untersuchungen belegen eine jährliche Inzidenz von ca. 4-5/100.000 Einwohner [5].

Eine deutliche Zunahme der Fallzahlen von bis >30/100.000 findet sich bei den über 70-Jährigen. Vor allem Männer (42,3) sind, mit Ausnahme des MDS-del(5q), im höheren Lebensalter signifikant häufiger betroffen als Frauen (19,0) [6].

## 1.2 Ätiologie

Bei den Myelodysplastischen Syndromen unterscheidet man ätiologisch die primären von sekundären Erkrankungen, wobei die primären ca. 90% aller MDS-Erkrankungen ausmachen und die sekundären nur ca. 10%. Bei den primären, das heißt de novo entstandenen Myelodysplastischen Syndromen, liegt eine idiopathische Ursache zu Grunde. Sie beruhen meist auf chromosomal, genetischen oder epigenetischen Veränderungen, und es kann meist keine exogene Ursache ermittelt werden. Im Gegensatz dazu stehen die sekundären Myelodysplastischen Syndrome bei denen eine solche Noxe nachweisbar ist. Dabei unterscheidet man Therapie-assoziierte Ursachen (Zytostatika-Therapien, Bestrahlungen oder Radiojodtherapie) von einer Exposition gegenüber Benzol und anderen organischen

Lösungsvermittlern, radioaktiver Strahlung oder anderen vorausgegangenen hämatologischen Erkrankungen [7].

Die primären MDS-Erkrankungen treten vor allem im höheren Alter mit einem medianen Erkrankungsalter zwischen 72-75 Jahren auf, während bereits jüngere Altersgruppen aufgrund des Einflusses exogener Noxen von einem sekundären MDS betroffen sein können [8].

### 1.3 Pathologie

Grundlage für die Entstehung der Myelodysplastischen Syndrome ist die schrittweise Akkumulation von genomischen Schäden wie chromosomalen Aberrationen und Mutationen der DNA von hämatopoetischen Stammzellen und Progenitorzellen. In der Folge findet eine Selektion und Proliferation dieser malignen Zellen statt, die wiederum eine klonale Evolution mit Verdrängung des gesunden Knochenmarks mit Ausbildung von Zytopenien im Blut bedingt. Eine Arbeit aus dem Jahr 2014 konnte zeigen, dass insgesamt 104 Mutationen unter anderem in den Genen des *Splicingapparats*, Regulatoren epigenetischer Modifikationen und Transkriptionsfaktoren vermehrt in Patienten mit einem Myelodysplastischen Syndrom auftraten. Dabei wiesen 89,5% aller untersuchten Patienten zumindest eine Mutation und im Mittel drei Veränderungen auf, wobei die am häufigsten mutierten Gene TET2, SF3B1, ASXL1, SRSF2, DNMT3A und RUNX1 sind [9]. Das genetische Profil der Patienten ist dabei jedoch nicht nur entscheidend für die Entstehung eines MDS, sondern beeinflusst außerdem den klinischen Phänotyp, die Prognose und das Therapieansprechen [10]. So tritt zum Beispiel insbesondere eine Mutation des Tumorsuppressor-Gens TP53 in ca. 30% der Therapie-assoziierten MDS, aber nur in 8-13% der primären MDS-Erkrankungen auf. Weiterhin ist diese Mutation mit einer reduzierten Lebenserwartung, einem erhöhten Risiko für eine Transformation in eine Akute Myeloische Leukämie und einem frühen Rezidiv nach verschiedenen Therapien assoziiert [11].

Neuere Untersuchungen haben gezeigt, dass die Knochenmarkmikroumgebung (Nische) ebenso an der Entstehung der Myelodysplastischen Syndrome beteiligt ist. Dabei wurde in experimentellen Arbeiten nachgewiesen, dass genetische Veränderungen in mesenchymalen Stromazellen und die Überproduktion von Nische-Faktoren wie N-Cadherin, IGFBP2, VEGFA und LIF mit der Expansion der MDS-Zellen und damit dem MDS-Phänotyp korrelieren. Weiterhin üben xenotransplantierte MDS-Zellen in Mausmodellen einen instruktiven Effekt auf die Stromazellen aus, sodass wiederum günstige Wachstumsbedingungen für die malignen Zellen induziert werden [12].

Auf diesen Ergebnissen aufbauend konnten weitere Arbeiten zeigen, dass insbesondere Entzündung und chronisch-entzündliche Stimulierung der Knochenmarkmikroumgebung die Regulation von Proliferation, Differenzierung, Ausreifung und Funktion unter anderem über *Toll-like-Rezeptoren* (TLR) positiv beeinflussen. Hämatopoetische Stammzellen sind für die DNA-Reparatur vor allem auf nicht-homologe End-Verknüpfung angewiesen, was die

Anfälligkeit für somatische Mutation erhöht und in Kombination mit entzündlichen Faktoren zur weiteren Proliferation des malignen Klons führt [13].

## **1.4 Klinik**

Das klinische Erscheinungsbild der Myelodysplastischen Syndrome spiegelt meist die Ausprägung der Zytopenien und den damit einhergehenden Symptomen wider und ist somit Ausdruck der bestehenden Knochenmarkinsuffizienz. So findet sich initial in 70-80% der Fälle eine Anämie, die dementsprechend mit allgemeiner körperlicher Schwäche oder Fatigue, Dyspnoe – insbesondere bei Belastung -, Herzrasen und Kopfschmerzen einhergehen kann. Wesentlich seltener sind klinische Bilder der Thrombopenie (Petechien, Hämatome, Blutungsneigung) oder Leukopenie (Fieber, Infektanfälligkeit insbesondere der Atemwege und der Haut) [14].

## **1.5 Diagnostik**

In der Mehrzahl der Fälle wird die Diagnose eines Myelodysplastischen Syndroms nach einer Routineblutuntersuchung beim Hausarzt oder Hämatologen gestellt, oder aufgrund weitergehender Untersuchungen zur Ursachenfindung der bestehenden anämischen Symptomatik [14]. In den weiteren Untersuchungen müssen zunächst häufige Gründe für eine Anämie (z.B. Eisenmangel, Vitamin B<sub>12</sub>- oder Folsäuremangel) sowie andere hämatologische und nicht-hämatologische Ursachen, dargestellt in Abbildung 1, ausgeschlossen werden. Dafür werden standardmäßig neben Proben aus dem peripheren Blut auch Knochenmark-Aspirate entnommen und evaluiert. Neben einem regulären Blutbild und Differentialblutbild sind für die Diagnosesicherung und Klassifizierung nach dem WHO-Schema ebenso eine zytomorphologische und zytochemische Beurteilung des Knochenmarks sowie eine histologische Aufarbeitung relevant. Die Immunphänotypisierung des Knochenmarks ist zurzeit noch keine Standarduntersuchung bei Erstdiagnose, kann in Zweifelsfällen jedoch Aufschluss über den Blastenanteil und Dysplasien der verschiedenen Zellreihen geben. Weiterhin ist eine zytogenetische und molekulargenetische Untersuchung obligat und kann bei Bedarf durch eine Fluoreszenz-in-situ-Hybridisierung (FISH) ergänzt werden [15].

Aplastische Anämie, <i>Pure-Red-Cell-Aplasie</i> (PRCA)
Toxische Knochenmarkschädigung (Alkohol, NSAR, Blei, etc.)
Reaktive Knochenmarksveränderungen (Sepsis, HIV, Tbc, COVID, etc.)
Monozytosen anderer Ursachen (bei CMML)
Paroxysmale nächtliche Hämaturie (PNH)
Immunthrombozytopenie (ITP)
Megaloblastäre Anämie
Hypersplenismus
Akute Leukämie
Myeloproliferative Erkrankungen (MPN)
Haarzellleukämie
Congenitale dyserythropoetische Anämie

**Abb. 1: Differentialdiagnosen der Myelodysplastischen Syndrome [13]**

### 1.5.1 Blutbild und Differentialblutbild

Zu Beginn der Diagnosestellung eines Myelodysplastischen Syndroms sollten vor allem benigne Gründe für Zytopenien ausgeschlossen werden. Dies gelingt zu großen Teilen bereits mit einer Bestimmung entscheidender Laborparameter. Obligat müssen neben Zellzahlen von Erythrozyten, Thrombozyten, Leukozyten und Retikulozyten, Hb-, LDH-, Ferritin und EPO-Spiegel bestimmt werden. Bereits das Vorliegen von Bi- oder Panzytopenien kann als Warnsignal „red flag“ gewertet werden und auf eine Knochenmarkserkrankung hinweisen [14].

Grundlage für die Diagnosestellung eines Myelodysplastischen Syndroms war lange Zeit das Vorliegen einer oder mehrerer Zytopenien - „sine qua non“ – und damit auch in den Klassifikationssystemen namengebend, bevor weitere Studien die prognostische Relevanz des Ausprägungsgrades der Zytopenie verschiedener Zellreihen erkannten [16]. Jedoch zeigten weitere Untersuchungen, dass frühe Stadien eines Myelodysplastischen Syndroms auch ohne initiale Zytopenie auftreten können und Patienten durch die 2008 festgelegten Grenzwerte per se von der Diagnose ausgeschlossen waren [17], weshalb es zu einer erneuten Überarbeitung der diagnostischen Kriterien kam und die WHO-Klassifikation von 2016 entstand [18]. Eine weitere Arbeitsgruppe beschäftigte sich 2017 außerdem mit der Festlegung von minimalen diagnostischen Kriterien, die sowohl die Diagnose von Normalzuständen, Pre-Myelodysplastischen Syndromen als auch Myelodysplastischen Syndromen erlaubt, wie in Abbildung 2 dargestellt [19].

#### A. Voraussetzende Kriterien (beide müssen erfüllt sein)

<ul style="list-style-type: none"> <li>- Persistierende (4 Monate) periphere Zytopenie in mindestens einer der drei Zellreihen (Ausnahme beim Nachweis von Blasten im peripheren Blut und MDS-bezogenen zytogenetischen Aberrationen)</li> <li>- Ausschluss aller anderen hämatologischen und nicht-hämatologischen Ursachen als primäre Ursache für die Zytopenie oder Dysplasie</li> </ul> <p><b>B. MDS-bezogene (Haupt-) Kriterien (mind. ein Kriterium muss erfüllt sein)</b></p> <ul style="list-style-type: none"> <li>- Zytologie: Dysplasien in &gt;10% aller Zellen in einer der drei Zellreihen</li> <li>- ≥15% Ringsideroblasten (Eisenfärbung) oder ≥5% Ringsideroblasten (Eisenfärbung) und Nachweis einer SF3B1-Mutation</li> <li>- 5-19% Blasten in der Knochenmarkzytologie oder 2-19% Blasten im Blutausstrich</li> <li>- Typische chromosomale Aberrationen in der Bänderungszytogenetik oder FISH</li> </ul> <p><b>C. Co-Kriterien (Patienten mit Erfüllung von A-, aber keinen B-Kriterien und typischen klinischen Symptomen)</b></p> <ul style="list-style-type: none"> <li>- Auffällige Befunde in der Histologie oder Immunhistologie von Knochenmarktrepanaten, die die Diagnose eines MDS unterstützen*</li> <li>- Auffällige Befunde in der Immunphänotypisierung des Knochenmarks durch Flow-Zytometrie (multiple MDS-assoziierte phänotypische Aberrationen, die auf das Vorliegen einer monoklonalen Population an erythropoetischen oder myeloischen Zellen hindeuten)</li> <li>- Nachweis einer klonalen Population an myeloische Zellen durch molekulare Sequenzierung und Nachweis MDS-assozierter Mutationen</li> </ul>
--

**Abb. 2: Proposed minimal diagnostic criteria of MDS [18]**

\*z.B. Nachweis von abnormal gelegenen unreifen Vorstufen (ALIP), CD34+ Blasten u.a.

Weitere Arbeitsgruppen entwickelten Scores wie den „complete blood count-based score“ (CBC-score), der die Diagnosestellung vereinfachen [20] oder das MDACC-Model, das den Untersuchenden außerdem bei der Therapieplanung insbesondere von Niedrig-Risiko-MDS unterstützen soll [21]. Ausschlaggebend ist jedoch weiterhin der Nachweis von Dysplasiekriterien in ≥10% der Zellen mindestens einer Zellreihe. Dies gelingt bei vielen Patienten bereits über die Analyse eines Differentialblutbildes, doch bleibt die Zytomorphologie aus dem Knochenmark aufgrund der höheren Sensitivität Goldstandard [14].

### 1.5.2 Zytomorphologie und Zytochemie

Historisch bedingt, beruht die Diagnose eines MDS auf morphologischen Kriterien bei Blutausstrich und Zytomorphologie [22]. Material für die Zytologie wird über eine Knochenmarkpunktion mit Entnahme von Aspirat sowie meist einer Stanzbiopsie aus der Spina iliaca posterior gewonnen. Gerade bei einer „punctio sicca“ – also einer Knochenmarkpunktion ohne Gewinnung von Aspirat - gewinnt die Beurteilung von Abrollpräparaten sowie die histologische Aufarbeitung der Stanze an Bedeutung.

Eine zytochemische Aufarbeitung der Proben kann bei der Zuordnung der Zellen zu den verschiedenen Zellreihen helfen. Dabei sollte standardmäßig sowohl eine May-Grünwald-

Giemsa als auch eine Berliner Blau-Färbung zum Nachweis von Eisen durchgeführt werden. Letztere ist dabei vor allem für den Nachweis von Ringsideroblasten entscheidend. Beim Knochenmark sollten mindestens 500 Zellen und beim Blutausstrich mindestens 200 Blutzellen ausgezählt werden. Signifikant ist zum Beispiel der Nachweis von Dysplasien, wenn sie in  $\geq 10\%$  der kernhaltigen Zellen der betrachteten Zellreihen einen positiven Nachweis liefern. Die häufigsten Dysplasiezeichen sind der Nachweis von Ringsideroblasten, eine Anisometrie der Thrombozyten, eine Linksverschiebung der Granulopoese und eine vermehrte Speicherung von Eisen bedingt durch eine erhöhte Eisenaufnahme im Darm aufgrund der vorausgehenden Anämie. Im Median weist ein Patient sechs Dysplasiekriterien auf [23].

Bei der Klassifikation der Myelodysplastischen Syndrome ist darüber hinaus der prozentuale Nachweis von Blasten entscheidend [15].

Außerdem kann eine Peroxidase- und Esterasefärbung bei der Unterscheidung zwischen degranulierten Myelozyten und Monozyten helfen und ist damit besonders wichtig bei der Diagnose einer CMML [24].

### 1.5.3 Histologie

Eine histologische Aufarbeitung ist bei allen Patienten mit einer Indikation zur Knochenmarksbiopsie indiziert und kann weitere Informationen zur Zellularität des Knochenmarks, zu Dysplasien der Megakaryozyten und der Anzahl der Blasten sowie zum Fibrosierungsgrad und zur Anwesenheit von nicht-hämatologischen Zellen (z.B. Metastasen) liefern [15].

Um valide Ergebnisse zu erzielen, sollte die Stanze mindestens 1,5cm lang sein und mittels Formalin-Lösung fixiert, entkalkt und schließlich in Paraffinwachs eingebettet werden. Anschließende Standard-Färbungen können mit Hämatoxylin-Eosin, Giemsa, Berliner Blau oder Naphtol-AS-D-Chloracetat-Esterase (CAE) durchgeführt werden [25]. Des Weiteren sollte immunologisch auf den Nachweis von Myeloperoxidase, Glycophorin A oder C, CD34, CD117, Megakaryozyten, Monozyten, CD20 (B-Zellen) und CD3 (T-Zellen) getestet werden. Eine Gomori-Silber-Färbung ist zum Nachweis von Fibrosierung hilfreich.

Vorteile der Histologie sind z.B. die bessere Aussagekraft über Dysplasien der Megakaryozyten, da auch in gut ausgestrichenen Zytologien häufig nicht genügend Zellen für die Berechnung eines prozentualen Anteils der Dysplasien vorliegen [15, 19]. Außerdem ist eine ausgeprägte Fibrosierung häufig mit einem erhöhten Blastenanteil und einem hohen Transfusionsbedarf assoziiert und sollte bei der Stellung der Therapieindikation berücksichtigt werden [26].

Weiterhin hilfreich kann der immunhistochemische Nachweis von Anti-CD34 sein, mit dem der prozentuale Anteil der Blasten abgeschätzt werden kann. Allerdings beziehen sich die WHO-Grenzwerte der Klassifikationen auf die Blasten im Aspirat, weshalb Blastenzahlen der Histologie lediglich der besseren Einschätzung dienen sollten [15, 19].

Vor allem bei zytopenischen Patienten mit unklaren morphologischen und genetischen Befunden kann eine Immunphänotypisierung, meist in Form einer Durchflusszytometrie, Aufschluss über die Diagnose bringen. In der Durchflusszytometrie können spezifische Veränderungen an reifen und unreifen Zellen der verschiedenen hämatologischen Zellreihen nachgewiesen werden. So weisen ein erhöhter Prozentsatz der CD34+ Progenitorzellen im Knochenmark, eine Verringerung der B-Progenitorzellen, eine Über- oder Unterexpression von CD45 auf myeloischen Progenitorzellen und eine Verringerung des *sideward light scatter* (SSC) auf Neutrophilen auf das Vorliegen eines MDS hin [27, 28].

#### 1.5.4 Zytogenetik

Eine konventionelle zytogenetische Analyse ist für alle MDS-Patienten mit einer Indikation zur Knochenmarkpunktion obligat und kann bei Bedarf durch eine Fluoreszenz-in-situ-Hybridisierung (FISH) ergänzt werden [15]. Wann immer möglich, sollten 20 Metaphasen oder mehr analysiert und mit Hilfe des *International System for Human Cytogenetic Nomenclature* (ISCN) beschrieben werden [29].

Standardmäßig werden zur Chromosomenanalyse 5-10ml mit Heparin antikoaguliertes Knochenmark gewonnen, kultiviert und durch Zugabe von Colcemid in der Metaphase arretiert. Eine eindeutige Identifizierung der Chromosomen ist mittels Bänderungstechnik – meist G-(Giemsa), Q- (Quinacrin) und R-(reverse) Bandentechnik – möglich, da die entstehenden hellen und dunklen Banden für jedes Chromosom spezifisch sind.

Wenn kein Knochenmark-Aspirat entnommen werden kann oder eine Punktionsaufgrund von Alter oder bestehenden Komorbiditäten zu risikoreich ist, können alternativ 3-10ml peripheres, heparinisiertes Blut zur zytogenetischen Analyse genutzt werden. Bisher gibt es nur wenige Arbeiten, die sich mit der statistischen Wertigkeit und Aussagekraft der peripher gewonnenen Chromosomenanalysen beschäftigen. Die Ergebnisse deuten jedoch darauf hin, dass eine hohe Zahl zirkulierender Progenitorzellen oder Blasten im Blut mit der erfolgreichen Gewinnung von ausreichend Metaphasen zur Chromosomenanalyse assoziiert ist [30]. Weitere Arbeiten nutzen statt einer konventionellen Bänderungszytogenetik das Verfahren der *single-nucleotide polymorphism arrays* (SNP-A) und konnten in 95% bzw. 100% der Fälle den gleichen Karyotyp in peripherem Blut sowie Knochenmark nachweisen [31, 32].

Das ISCN dient seit 1978 als zentrale Referenz zur Beschreibung chromosomal Aberrationen. Unterschieden wird zwischen numerischen und strukturellen Veränderungen. Bei numerischen Aberrationen ist die Anzahl der Chromosomen durch z.B. Verlust (Monosomie) oder Zugewinn (Trisomie) eines Chromosoms verändert, während strukturelle Aberrationen nur den Aufbau des Chromosoms betreffen. Strukturelle Aberrationen können zum Beispiel eine Inversion (Verdrehung), Duplikation (Verdopplung), Translokation (Vertauschung) oder eine Deletion (Verlust) von genetischem Material sein. Die Angabe der Chromosomensätze erfolgt dabei nach dem Schema: Anzahl der Chromosomen, Angabe der Geschlechtschromosomen, ggf. Aberrationen in numerischer Reihenfolge [Anzahl der Metaphasen] [33]. Beispiele sind:

- Normaler Karyotyp: 46,XY[24] oder 46,XX[25]
- Numerische Aberration: 45,X,-Y [20] oder 47,XX,+8[21]
- Strukturelle Aberration: 46,XY,del(13)(q12q32)[24] oder 46,XX,del(5)(q13q34),+21,-22[2]/46,XX[7]

Das Kürzel q beschreibt dabei Veränderungen des langen und p des kurzen Armes des betroffenen Chromosoms. Die nachfolgende Zahl steht für die betroffene Region und Bande. Zum Beispiel bedeutet del(13)(q12q32), dass das genetische Material auf dem langen Arm des Chromosoms 13 zwischen der Bande 12 und 32 verloren gegangen ist. Ein + steht für den Zugewinn und ein – für den Verlust eines Chromosoms.

Als Klon wird eine strukturelle Aberration erst bezeichnet, wenn mindestens zwei und bei numerischen Aberrationen drei Metaphasen betroffen sind [33].

Bei fehlendem Zellwachstum oder komplex aberranten Karyotypen kann eine FISH die konventionelle zytogenetische Diagnostik ergänzen, prognostisch relevante Informationen liefern und die klinische Entscheidungsfindung vereinfachen [34].

Bereits bei Erstdiagnose liegen bei 50-60% der Patienten chromosomal Aberrationen vor. Die häufigsten Aberrationen sind Monosomie 5 oder del(5q), Monosomie 7 oder del(7q), Trisomie 8, del(20q) und -Y [35]. Einige Aberrationen können auch ohne das Vorliegen definitiver morphologischer Veränderung eine MDS-Diagnose bestätigen. Diese werden dabei der Diagnose MDS U zugeordnet und sind in Tabelle 1 dargestellt [35].

Generell ist das Vorliegen komplexer Karyotypen bei Erstdiagnose und eine klonale Evolution mit einer schlechten Prognose assoziiert. Ein normaler Karyotyp ist mit einer günstigen Prognose assoziiert, wie z.B. auch das Vorliegen einer Deletion 5q oder der Verlust des Y-Chromosoms.

Anders als zum Beispiel bei der Chronisch myeloischen Leukämie (CML), die durch das Vorliegen einer homogenen genetischen Subgruppe, nämlich des bcr-abl Fusionsproteins, definiert wird, ist die genetische Heterogenität bei MDS Ausdruck des klonalen Charakters der Erkrankung [36].

**Tabelle 1: MDS definierende chromosomal Aberrationen [35]**

Aberration	Häufigkeit in %
-5 or del(5q)	10-15
-7 or del(7q)	10
i(17q) or t(17p)	2-3
del(12p) or t(12p)	1-2
del(11q)	1-2
-13 or del(13q)	1-2
del(9q)	1

<b>idic(X)(q13)</b>	1
<b>inv(3)(q21q26.2)</b>	1
<b>t(6;9)(p23;q34)</b>	1
<b>t(3;21)(q26.2;q22.1)</b>	<1
<b>t(1;3)(p36.3;q21.2)</b>	<1
<b>t(11;16)(q23;p13.3)</b>	<1
<b>t(2;11)(p21;q23)</b>	<1

### 1.5.5 Molekulargenetik

Somatische Mutationen liegen bei mehr als 70% der Patienten bei Erstdiagnose vor und können *Splicing*-Faktoren, epigenetische Faktoren (DNA-Methylierung und Histon-Modifikation), Transkriptionsfaktoren/-regulation und die Signaltransduktion beeinflussen [37]. *Next Generation Sequencing* (NGS) ermöglicht die Analyse des gesamten Genoms in einem einzigen Test und erlaubt es damit, Aussagen über Art und Anzahl der somatischen Mutationen zu treffen. Die häufigsten betroffenen Gene bei MDS-Patienten sind TET2 (20–25%), DNMT3A (12–18%), ASXL1 (15–25%) und SF3B1 (20–30%). Eine Aufstellung häufiger genetischer Veränderungen findet sich in Tabelle 2 [38, 39].

**Tabelle 2: Somatische Mutationen mit kumulativer Inzidenz in der Literatur [38, 39]**

Funktion	Gen	Inzidenz	Besonderheiten
<b>RNA-Splicing</b>	SF3B1	20-30%	Assoziation mit Ringsideroblasten, günstige Prognose
	SRSF2	10-15%	Co-Mutation mit TET2 in CMML, schlechte Prognose
	U2AF1	8-12%	schlechte Prognose
	ZRSR2	5-10%	
<b>DNA-Methylierung</b>	TET2	20-25%	hohe Inzidenz bei CMML
	DNMT3A	12-18%	schlechte Prognose

	IDH 1 und 2	<10%	
<b>Histon-Modifikation</b>	ASXL1	15-25%	hohe Inzidenz bei CMML, schlechte Prognose
	EZH2	5-10%	schlechte Prognose
<b>Transkriptionsfaktoren</b>	RUNX1	10-15%	schlechte Prognose
	ETV6	<5%	schlechte Prognose
<b>DNA-Reparatur</b>	TP53	8-12%	assoziiert mit komplexen Karyotypen, bei del(5q) schlechtes Therapieansprechen auf Lenalidomid, schlechte Prognose
<b>Signaltransduktion</b>	CBL	<5%	schlechte Prognose
	NRAS/KRAS	<5%	schlechte Prognose
	JAK2	<5%	
<b>Kohesionsmolekül</b>	STAG2	5-10%	

## 1.6 Klassifikation

### 1.6.1 FAB-Klassifikation

Von 1982 bis 2001 diente die FAB-Klassifikation, entwickelt von einer französisch-amerikanisch-britischen Arbeitsgruppe, als diagnostischer Standard in der Einteilung der Myelodysplastischen Syndrome. Sie basierte dabei auf zytomorphologischen Kriterien, medullärem und peripherem Blastenanteil, sowie der Monozytenzahl im Blut [40].

Tabelle 3: FAB-Klassifikation der Myelodysplastischen Syndrome [40]

Subtyp	Knochenmarkbefunde	Blutbefunde
<b>Refraktäre Anämie (RA)</b>	<5% Blasten	<1% Blasten
<b>Refraktäre Anämie mit Ringsideroblasten (RARS)</b>	<5% Blasten >15% Ringsideroblasten	<1% Blasten
<b>Refraktäre Anämie mit Blastenexzess (RAEB)</b>	5-9% Blasten	<5% Blasten
<b>Refraktäre Anämie mit Blastenexzess in Transformation (RAEB-T)</b>	20-29% Blasten Auerstäbchen fakultativ	>5% Blasten
<b>Chronisch myelomonozytäre Leukämie (CMML)</b>	<20% Blasten	<5% Blasten >1000 Monozyten/ $\mu$ l

### **1.6.2 WHO Klassifikationen von 2001 und 2008**

Weitere Arbeiten konnten jedoch zeigen, dass Patienten mit weniger als 5% Blasten im Knochenmark und einer multilineären Dysplasie eine schlechtere Prognose aufwiesen als Patienten mit Einliniendysplasien [41-43], dass der prozentuale Anteil der Blasten einer der wichtigsten prognostischen Parameter ist [44] und dass Patienten mit der Diagnose RAEB-T in Bezug auf Überleben und Therapie-Ansprechen den AML-Patienten ähnlich waren [45, 46]. Des weiteren erwiesen sich die CMML-Patienten als sehr heterogene Gruppe mit zum Teil klassischen myeloproliferativen Veränderungen als auch myelodysplastischen Merkmalen, was die Einordnung in das bestehende System erschwerte [47, 48].

Um dem jeweils aktuellen Stand der Wissenschaft gerecht zu werden, wurde das bestehende Klassifikationssystem mehrmals überarbeitet und angepasst. Ziel der nachfolgend dargestellten WHO-Klassifikation von 2001, 2008 und der anschließend behandelten Klassifikation von 2016 war es dabei, alle verfügbaren Daten zu klinischen, morphologischen, zytochemischen, immunphänotypischen und genetischen Informationen zusammenzutragen und spezifische Entitäten mit klinischer Relevanz zu bilden [49, 50].

**Tabelle 4: WHO 2001 Klassifikation der Myelodysplastischen Syndrome [50]**

Subtyp	Knochenmarkbefunde	Blutbefunde
<b>Refraktäre Anämie (RA)</b>	Unilineäre erythropoetische Dysplasie <5% Blasten ≤15% Ringsideroblasten	Anämie <1% Blasten
<b>Refraktäre Anämie mit multilineärer Dysplasie (RCMD)</b>	Bi- oder multilineäre Dysplasie <5% Blasten ≤15% Ringsideroblasten	Zytopenie (Bi- oder Panzytopenie) <1% Blasten
<b>Refraktäre Anämie mit Ringsideroblasten (RARS)</b>	Unilineäre erythropoetische Dysplasie <5% Blasten ≥15% Ringsideroblasten	Anämie <1% Blasten

<b>Refraktäre Anämie mit Ringsideroblasten mit multilineärer Dysplasie (RSCMD)</b>	Bi- oder multilineäre Dysplasie <5% Blasten ≥15% Ringsideroblasten	Zytopenie (Bi- oder Panzytopenie) <1% Blasten
<b>Refraktäre Anämie mit Blastenexzess (RAEB I)</b>	5-9% Blasten	Zytopenie <5% Blasten
<b>Refraktäre Anämie mit Blastenexzess (RAEB II)</b>	10-19% Blasten Auerstäbchen fakultativ	Zytopenie 5-19% Blasten
<b>MDS unclassifiable (MDS-U)</b>	<5% Blasten	Zytopenie <1% Blasten
<b>5q-Anomalie</b>	<5% Blasten del(5q) zytogenetisch nachweisbar	Anämie <5% Blasten

**Tabelle 5: WHO 2008 Klassifikation der Myelodysplastischen Syndrome [51]**

Subtyp	Knochenmarkbefunde	Blutbefunde
<b>Refraktäre Zytopenie mit unilineärer Dysplasie (RCUD)</b>  - Refraktäre Anämie (RA) - Refraktäre Neutropenie (RN) - Refraktäre Thrombozytopenie (RT)	Unilineäre Dysplasie <5% Blasten ≥15% Ringsideroblasten	Uni-/Bizytopenie <1% Blasten
<b>Refraktäre Anämie mit multilineärer Dysplasie (RCMD)</b>	multilineäre Dysplasie <5% Blasten ≥15% Ringsideroblasten	Zytopenie <1% Blasten
<b>Refraktäre Anämie mit Ringsideroblasten (RARS)</b>	Unilineäre erythropoetische Dysplasie	Anämie <1% Blasten

	<5% Blasen ≥15% Ringsideroblasten	
<b>Refraktäre Anämie mit Ringsideroblasten mit multilineärer Dysplasie (RSCMD)</b>	multilineäre Dysplasie <5% Blasen ≥15% Ringsideroblasten	Zytopenie <1% Blasen
<b>Refraktäre Anämie mit Blastenexzess (RAEB I)</b>	5-9% Blasen	Zytopenie <5% Blasen
<b>Refraktäre Anämie mit Blastenexzess (RAEB II)</b>	10-19% Blasen Auerstäbchen fakultativ	Zytopenie 5-19% Blasen
<b>MDS unclassifiable (MDS-U)</b>	<5% Blasen	Zytopenie <1% Blasen
<b>MDS 5q-Minus</b>	<5% Blasen del(5q) zytogenetisch nachweisbar	Anämie <1% Blasen

### 1.6.3 WHO Klassifikation von 2016

Da die WHO Klassifikation von 2016 als Standard für diese Arbeit genutzt wird, soll sie im Folgenden ausführlicher dargestellt werden. Eine systematische Aufstellung der WHO Klassifikation von 2016 zeigt Tabelle 7 am Ende des Kapitels.

Grundlegend für die Diagnosestellung war lange Zeit das Vorliegen einer Zytopenie und damit in den Klassifikationssystemen von 1982-2008 namengebend. Allerdings korrelieren die morphologischen Dysplasien nicht zwangsläufig mit den im Blut vorliegenden Zytopenien [16], weshalb in der Klassifikation von 2016 die Nomenklatur angepasst wurde. Folglich bestand der Name nun aus MDS, gefolgt von den Modifikatoren: uni- oder multilineäre Dysplasie (SLD/MLD), Ringsideroblasten (RS), Blastenexzess (EB) oder der zytogenetischen Aberration del(5q) [18].

Die MDS mit Ringsideroblasten wurden dabei als eigenständige Gruppe (MDS-RS) erfasst. Sie können mit einer uni- oder multilineären Dysplasie einhergehen und weisen eine Assoziation zu dem Vorliegen einer SF3B1 Mutation auf. Grundlegend für die Diagnose ist somit das Vorliegen von ≥15% Ringsideroblasten in den erythroiden Zellen bei unbekanntem Mutationsstatus oder das Vorliegen einer SF3B1 Mutation mit ≥5% Ringsideroblasten [52].

Die einzige zytogenetische Aberration, die eine eigene Gruppe definiert, bleibt die Deletion 5q, da sie mit einem spezifischen Phänotyp einhergeht, mit der Substanz Lenalidomid therapiert werden kann und eine günstige Prognose aufweist. Neuere Studien konnten zeigen, dass sich die Prognose durch eine weitere Aberration nicht verschlechtert, weshalb die Gruppe entsprechend erweitert wurde. Eine Monosomie 7 sowie eine Deletion 7q sind jedoch Ausschlusskriterien für die Zuordnung zu dieser Gruppe [53].

Patienten mit einer Erhöhung der Blastenzahl im Knochenmark >5% oder Blut >1% werden in die Gruppen MDS mit Blasenexzess 1 und 2 eingeteilt. Befunde mit einer Erhöhung der Blasen im Knochenmark oder Blut auf >20% werden dabei als AML klassifiziert. Das inkludiert die frühere Diagnose „Refraktäre Anämie mit Blasenexzess in Transformation“ (RAEB-T), die für Blastenzahlen von 20-29% genutzt wurde [54].

Patienten mit eindeutigen Dysplasien, die jedoch weniger als 10% ausmachen, oder Patienten mit MDS-typischen chromosomal Aberrationen werden weiterhin als MDS U eingeteilt.

Zu den myelodysplastischen-myeloproliferativen *Overlap*-Erkrankungen gehören die CMML, MDS/MPN-RS-T sowie MDS/MPN U. Sie weisen sowohl Merkmale der myelodysplastischen als auch myeloproliferativen Erkrankungen auf und werden daher als eigene Gruppe klassifiziert (abgebildet in Tabelle 6). Grundlegend für die Diagnosestellung einer CMML ist das Vorliegen von >1.000 Monozyten/ $\mu$ l im Blut und >10% Monozyten im Differentialblutbild. Ausgehend vom prozentualen Anteil der Blasen werden die CMML in drei Gruppen unterteilt [55]. Diagnosekriterien für die MDS/MPN-RS-T sind das Vorliegen einer Thrombozytose von  $\geq 450 \times 10^9/L$  und  $\geq 15\%$  Ringsideroblasten in den erythroiden Zellen.

**Tabelle 6: WHO 2016 Klassifikation der MDS/MPN-Overlap-Erkrankungen [18]**

	Abkürzung	Blasten KM	Blasten PB	Besonderheiten
<b>Chronische myelomonoytäre Leukämie</b>				
<b>Chronische myelomonoytäre Leukämie o</b>	CMML o	<5%	<2%	- >1.000 Monozyten/ $\mu$ l - >10% der Leukozyten
<b>Chronische myelomonoytäre Leukämie 1</b>	CMML 1	6-9%	2-4%	- >1.000 Monozyten/ $\mu$ l - >10% der Leukozyten
<b>Chronische myelomonoytäre Leukämie 2</b>	CMML 2	10-19%	5-19%	- >1.000 Monozyten/ $\mu$ l - >10% der Leukozyten
<b>MDS/MPN mit RS und Thrombozytose</b>	MDS/MPN-RS-T	<5%	<1%	- Thrombozytose $\geq 450 \times 10^9/L$ - $\geq 15\%$ Ringsideroblasten

MDS/MPN <b>unklassifizierbar</b>	MDS/MPN U			
-------------------------------------	--------------	--	--	--

Tabelle 7: WHO 2016 Klassifikation der Myelodysplastischen Syndrome [18]

Kategorie	Abkürzung	Dysplastische Reihen	Ringsideroblasten	Blasten KM	Blasten PB	Besonderheiten
MDS mit unilineärer Dysplasie	MDS SLD	1	<15%	<5%	<1%	
MDS mit multilineärer Dysplasie	MDS MLD	2 oder 3	<15%	<5%	<1%	
<b>MDS mit Ringsideroblasten</b>						
MDS mit Ringsideroblasten und unilineärer Dysplasie	MDS SLD RS	1	≥15%	<5%	<1%	
MDS mit Ringsideroblasten und multilineärer Dysplasie	MDS MLD RS	2 oder 3	≥15%	<5%	<1%	
MDS mit del(5q)	MDS del(5q)	1-3	Irrelevant	<5%	<1%	del(5q) isoliert oder mit 1 anderen (außer -7 oder del(7q))
<b>MDS mit Blastenexzess</b>						
MDS mit Blastenexzess (1)	MDS EB 1	0-3	Irrelevant	5-9%	2-4%	Periphere Auerstäbchen
MDS mit Blastenexzess (2)	MDS EB 2	0-3	Irrelevant	10-19%	5-19%	Periphere Auerstäbchen
<b>MDS, unklassifizierbar</b>						
mit 1 % peripheren Blasten		1-3	Irrelevant	<5%	=1%	
Mit unilineärer Dysplasie und Panzytopenie		1	Irrelevant	<5%	<1%	
MDS definierende zytogenetische Veränderungen		0	<15%	<5%	<1%	MDS-definierende Abnormalität

## 1.7 Prognosefaktoren

MDS-Patienten bilden eine sehr heterogene Gruppe mit sowohl unterschiedlichen patientenbezogenen als auch krankheitsassoziierten Prognoseparametern [56]. So haben zum Beispiel das Alter bei Erstdiagnose, das Geschlecht oder bestehende Vorerkrankungen einen Einfluss auf das Überleben, aber auch krankheitsassoziierte Faktoren wie Blutung, Infektion oder Entwicklung einer AML haben eine Auswirkung auf den Krankheitsverlauf und sind bei MDS-Patienten nach wie vor die Haupttodesursache [57]. Auch wenn Klassifikationssysteme wie die Einteilung nach FAB primär ein diagnostisches Hilfsmittel darstellen, lässt sich durch die Kategorisierung eine Aussage zur Prognose treffen. So wiesen Patienten mit den Diagnosen RA und RARS ein wesentlich längeres Überleben und ein niedrigeres Risiko für einen Progress auf als Patienten mit einer CMML, RAEB und RAEB-T[58].

Zur Abschätzung des individuellen Krankheitsverlaufs, des Risikos im Verlauf einer AML zu entwickeln und zur Therapieplanung werden dennoch schon seit langem verschiedene Risiko-Scores herangezogen. Diese sollen im folgenden Absatz näher erläutert werden.

### 1.7.1 IPSS

Erster angewandter Score war das von Greenberg 1997 entwickelte *International Prognostic Scoring System* (IPSS) [44] (s. Tab. 8). Er unterschied zwischen vier Risiko-Gruppen und berücksichtigte den prozentualen Anteil der Blasten im Knochenmark, die Einteilung des Karyotyps in drei Gruppen und die Anzahl der Zytopenien. Eine Einteilung in die Risikogruppen erfolgte dabei wie folgt:

- *low* 0 Punkte
- *intermediate 1* 0,5-1 Punkte
- *intermediate 2* 1,5-2 Punkte
- *high* ≥ 2,5 Punkte

Allerdings schloss der IPSS Patienten mit bereits stattgefundener Therapie und Patienten mit einer myeloproliferativen CMML aus, sodass sein Anwendungsbereich limitiert war [58].

Tabelle 8: IPSS [44]

Punkte	0	0,5	1	1,5	2
KM Blasten (%)	<5	5-10	-	11-20	21-30
Karyotyp*	<i>good</i>	<i>intermediate</i>	<i>Poor</i>		
Zytopenien	0/1	2/3			

\**good*: normal, -Y, del(5q), del(20q); *poor*: komplex ( $\geq 3$  Aberrationen), Anomalie Chromosom 7; *intermediate*: alle anderen

### 1.7.2 IPSS-R

Eine Weiterentwicklung des IPSS war das *Revised international prognostic scoring system* (IPSS-R), das zwischen fünf statt nur vier Risikogruppen unterschied. Außerdem wurden die Ausprägung der jeweiligen Zytopenien berücksichtigt und die zytogenetischen Aberrationen anstatt in drei Kategorien nun in fünf eingeteilt. Weiterhin wurde der prozentuale Anteil der Blasten neu verteilt, sodass hohe Blastenwerte nun im Verhältnis deutlich höhere Punktwerte erzielten [59]. Verschiedene Arbeiten konnten zeigen, dass der IPSS-R besser in der prognostischen Wertigkeit ist als der IPSS [60, 61]. Doch auch der IPSS-R verliert im Krankheitsverlauf und vor allem mit Durchführung einer Therapie an Aussagekraft, sodass eine Einteilung in die Risikogruppen bei Erstdiagnose stattfinden sollte [62].

Der IPSS-R ist dargestellt in Tabelle 9. Die Tabellen 10 und 11 dienen dabei als Legende.

**Tabelle 9: IPSS-R [59]**

	0	0,5	1	1,5	2	3	4
<b>Zytogenetische Risikogruppe</b>	Sehr gut	-	Gut	-	Intermediäre	Schlecht	Sehr schlecht
<b>Blasten (KM)</b>	<2%	-	3-4%	-	5-9%	>10%	-
<b>Hämoglobin g/dl</b>	>10	-	8-<10	<8	-	-	-
<b>Thrombozyten/<math>\mu</math>l</b>	>100	50- <100	<50	-	-	-	-
<b>Granulozyten/<math>\mu</math>l</b>	>800	<800	-	-	-	-	-

**Tabelle 10: Legende zur Einteilung des Karyotyps nach IPSS-R**

	Zytogenetische Aberrationen
<b>Sehr gut</b>	Del(11q), -Y
<b>Gut</b>	Normal, del(5q), del(12p), del(20q), Doppel-Klon mit del(5q) außer Chromosom 7
<b>Intermediär</b>	del(7q), +8, +19, i(17q), andere Einzel- oder Doppel-Klone
<b>Schlecht</b>	-7, inv(3)/t(3q)/del(3q), Doppel-Klon mit -7/del(7q), komplex (3 Aberrationen)
<b>Sehr schlecht</b>	komplex >3 Aberrationen

**Tabelle 11: Legende zur prognostischen Risikogruppe nach IPSS-R**

	Punkte (IPSS-R)	Medianes Überleben (Jahre)
<b>Sehr gut</b>	<1,5	8,8

<b>Gut</b>	>1,5-3	5,3
<b>Intermediär</b>	>3-4,5	3
<b>Schlecht</b>	>4,5-6	1,6
<b>Sehr schlecht</b>	>6	0,8

### 1.7.3 IPSS-M

Im Zuge weiterer Forschungen wurde 2022 ein neuer, webbasierter Score, das *Molecular International Prognostic Scoring System* (IPSS-M) entwickelt. Er berücksichtigt neben den bekannten klinischen Parametern wie Blasten, Hämoglobin-Wert und zytogenetischer Risikogruppe nun auch molekulare Daten und teilt die Patienten in sechs Risikogruppen ein. Insgesamt werden somatische Mutationen auf 31 Genen mit sowohl der Anzahl der Mutationen als auch ihrer prognostischen Wertigkeit einbezogen. Der Score kann nun sowohl bei Patienten mit primärem als auch sekundärem bzw. Therapie-assoziiertem MDS angewendet werden und fehlende Angaben zu nicht analysierten Genen können durch das Regressionsmodell ausgeglichen werden [63]. Mit der Ausnahme von SF3B1 wirken sich die meisten Mutationen und insbesondere TP53 negativ auf das Überleben aus.

Aktuell gibt es noch keine ausreichende Datenlage zur Validierung der prognostischen Wertigkeit des IPSS-M. Eine chinesische Arbeitsgruppe konnte die Ergebnisse zwar für Patienten über 60 Jahren validieren, doch unterschied sich ihre Grundgesamtheit zum Beispiel im Alter bei Erstdiagnose und Auftreten von Mutationshäufigkeiten (U2AF1) wesentlich von den europäischen Kohorten [64].

## 1.8 Therapie

Eine vollständige Diagnostik inklusive einer molekularen Analyse ist Voraussetzung für die Initiierung einer geeigneten Therapie, da sie wichtige prognostische Aussagen trifft und in einigen Fällen, wie zum Beispiel der Therapie mit Lenalidomid bei Patienten mit einer Deletion 5q, gezielte Therapieansätze ermöglicht [65].

Einige kurative Therapieoption ist eine allogene Stammzelltransplantation; alle weiteren Therapien beschränken sich auf eine Verbesserung der Zytopenien und der Lebensqualität sowie das Hinauszögern eines Krankheitsprogresses [65]. Grundlage für die Entwicklung und Zulassung der meisten Medikamente und damit auch die Einteilung in Patienten mit Niedrigrisiko- und Hochrisiko-MDS war der IPSS.

### **1.8.1 Niedrigrisiko-MDS**

Patienten mit Niedrigrisiko-MDS sind charakterisiert durch Dysplasien im Knochenmark, Blastenzahlen im niedrigen Prozentbereich, leichte Formen der Zytopenie und prognostisch günstige Karyotypen bzw. somatische Mutationen (IPSS-R  $\leq 3,5$ ).

Jedoch ist eine Anämie das häufigste Symptom und tritt in bis zu 90% der Fälle auf, weshalb sich die Therapie des Niedrigrisiko-MDS vorwiegend auf die Verringerung der Transfusionspflichtigkeit der Patienten konzentriert [66].

Supportive Therapiestrategien sind dabei Transfusionen von Erythrozytenkonzentraten und seltener von Thrombozytenkonzentraten sowie die prophylaktische Antibiotikatherapie bei erhöhtem Infektionsrisiko. Die Transfusionshäufigkeit wird dabei bestimmt von dem Schweregrad der Anämie, der symptomatischen Ausprägung sowie insbesondere kardiovaskulärer Begleiterkrankungen [14].

Regelmäßige Transfusionen von Erythrozytenkonzentraten bedingen jedoch eine Eisenüberladung mit der Gefahr von Endorganschäden insbesondere des Herzens, weshalb sich bei Serumferritin-Werten  $>1000 \text{ ng/ml}$  eine Eisen-Chelationstherapie empfiehlt [67]. Eine Eisen-Chelation verbessert zwar nicht das Langzeitüberleben, es hat jedoch einen positiven Einfluss auf das Ereignis-freie-Überleben. Ereignisse wurden hierbei definiert als die Zeit bis zum Eintreten einer kardialen oder hepatischen Erkrankung, Zeit bis zum AML-Progress oder Zeit bis zum Tod [68].

Patienten mit endogenen Erythropoietin-Spiegeln  $<500 \text{ U/l}$  profitieren dagegen von Erythropoese-stimulierenden Agenzien (ESA) wie dem Erythropoietin- $\alpha$  [15].

Im Fall einer Thrombozytopenie können die Substanzen Eltrombopag oder Romiplostim eingesetzt werden. Die Thrombopoietin-Rezeptor-Agonisten stimulieren die endogene Produktion von Thrombozyten, was einen nachhaltigeren Effekt auf die Vermeidung von blutungsassoziierten Komplikationen hat als die Transfusion von Thrombozytenkonzentraten [69]. ☐

Bei transfusionspflichtigen Patienten mit ringsideroblastischem Phänotyp kann Luspatercept - eine TGF- $\beta$  Liganden-Falle - zur Anwendung kommen [70].

Bei transfusionspflichtigen Patienten mit Deletion 5q konnte der Einsatz von Lenalidomid eine Transfusionsfreiheit bzw. eine Reduktion der Transfusionshäufigkeit sowie eine Senkung der Serum-Ferritin-Spiegel bewirken [71].

Patienten mit hypoplastischem MDS profitieren von einer immunsuppressiven Therapie wie Cyclosporin, Prednisolon oder Anti-Thymozyten-Globulin (ATG) [72].

### **1.8.2 Hochrisiko-MDS**

Ziele der Therapie bei Hochrisiko-MDS sind die Verzögerung eines Progresses und eine Verlängerung des Langzeit-Überlebens [73]. Wie bereits erwähnt, ist auch im Jahr 2023 eine

allogene Stammzelltransplantation die einzige kurative Therapiemöglichkeit, weshalb sie als Therapie für Hochrisiko-Patienten stets geprüft werden sollte. Einschlusskriterium sollte dabei nicht allein das Alter bei Diagnosestellung sein, sondern vielmehr bestehende Begleiterkrankungen und der Allgemeinzustand des Patienten, da die ohnehin sehr hohe therapiebedingte Mortalität stärker durch Komorbiditäten beeinflusst wird als durch das Alter [74]. Andererseits ist das Rezidivrisiko nach erfolgreicher Transplantation gerade bei Hochrisiko-Patienten mit komplexen Karyotypen oder somatischen Mutationen wie zum Beispiel TP53 sehr hoch, sodass eine allogene Stammzelltransplantation auch für Niedrigrisiko-Patienten in Erwägung gezogen werden kann. Rezidive können dabei mit hypomethylierenden Substanzen wie Azacytidin oder Decitabin sowie Lymphozyten des Spenders behandelt werden. Eine Vorbehandlung mit diesen Substanzen ist dagegen häufig nicht sinnvoll, da so therapieresistente Klone selektiert werden, was wiederum das Rezidiv-Risiko erhöht und das Gesamtüberleben verringert [75].

Kommt eine Stammzelltransplantation aufgrund von bestehenden Komorbiditäten oder einem fortgeschrittenen Alter nicht in Frage, so können Therapien mit den hypomethylierenden Substanzen Azacytidin und Decitabin begonnen werden. Diese verlängern im Vergleich zur *best-supportive-care* das Langzeit-Überleben, senken das Risiko, einen Progress zu erleiden, und wirken sich positiv auf die Transfusionshäufigkeit aus [76-78]. Azacytidin kann darüber hinaus mit Venetoclax – einem BCL2-Inhibitor - kombiniert werden, was eine weitere Verbesserung der Prognose bewirkt und die Ansprechdauer auf die Therapie verlängert [79].

Aktuell sind weitere Substanzen wie CPX351 (Kombination aus liposomalem Cytarabin und Daunorubicin), Venetoclax, Magrolimab (Anti-CD47-Antikörper) und Sabatolimab (TIM3-Inhibitor) für Hochrisiko-Typen in der Entwicklung [80].

## **1.9 Ziele der Arbeit**

Circa 60% der Patienten haben zum Diagnosezeitpunkt erworbene chromosomal Aberrationen, die häufig die Chromosomen 5, 7, 8, 11, 17, 20 und das Y-Chromosom betreffen. Die Aberrationen können ein oder mehrere Chromosomen betreffen und sind außerordentlich vielgestaltig und nicht krankheitsspezifisch, da die bei Myelodysplastischen Syndromen gefundenen chromosomalen Aberrationen auch bei allen anderen myeloischen Neoplasien, insbesondere den akuten myeloischen Leukämien und den myeloproliferativen Erkrankungen, gefunden werden können. Abgesehen von einer Assoziation einer Deletion von 5q mit morphologischen und hämatologischen Charakteristika gibt es keine etablierten Genotyp-Phänotyp-Korrelationen.

Zur Abschätzung des Krankheitsverlaufs der Patienten werden die Ergebnisse der Chromosomenanalysen jedoch seit langem herangezogen, da klonale Aberrationen in aller Regel mit einer Verschlechterung der Prognose der Patienten assoziiert sind.

Des weiteren gibt es bisher wenig Daten zur Chromosomenanalysen aus dem peripheren Blut und ihrer statistischen und prognostischen Wertigkeit.

Darauf aufbauend, sollen in dieser Arbeit anhand von 3.591 MDS-Patienten, die zwischen 1982 und 2022 im MDS-Register des Universitätsklinikums Düsseldorf (UKD) registriert wurden, folgende Fragestellungen untersucht werden:

1. Gibt es weitere, bisher nicht beschriebene Genotyp-Phänotyp-Korrelationen?
2. Können ausreichend gute Karyotyp-Analysen aus Zellen des peripheren Blutes durchgeführt werden?
3. Gibt es Assoziationen zwischen den verschiedenen Typen von chromosomalen Befunden mit Charakteristika im Krankheitsverlauf der Patienten?
4. Können neue Erkenntnisse in Bezug auf die prognostische Bedeutung chromosomaler Aberrationen gewonnen werden?

## **2 Material und Methoden**

### **2.1 Patientengut**

Grundlage dieser Arbeit sind Patienten des MDS-Registers Düsseldorf. Dieses beinhaltet zum aktuellen Zeitpunkt (Dezember 2022) ca. 9.360 Patienten, die zwischen 1982 und 2022 entweder in Düsseldorf oder einer der kooperierenden Kliniken deutschlandweit sowie Häusern in Österreich und der Schweiz eine MDS-Diagnose erhalten haben. Im Register werden Informationen wie Basisdaten (z.B. Erstdiagnose-Datum; aktueller Status: lebend/lost-to-follow-up/verstorben; betreuende Klinik; Patienten-Identifikationsnummer), Labordaten zur Erstdiagnose, klinische Parameter wie Begleiterkrankungen, Leber- und Milzgröße, zytologische und histologische Befunde von Knochenmarkspunktion bei Erstdiagnose und im Verlauf, WHO-Diagnose und Prognosescores, zytogenetische sowie molekulargenetische Befunde, Informationen zu einem Krankheitsprogress sowie Therapiedaten und Transfusionspflichtigkeit festgehalten.

Jeder Patient erhält bei Eintragung ins MDS-Register eine Identifikationsnummer, sodass eine Anonymisierung im weiteren Verlauf gewährleistet ist.

### **2.2 Datenakquise**

Auf den Daten des MDS-Registers basierend wurden zytogenetische Befunde zur Erstdiagnose sowie im Krankheitsverlauf der Patienten zusammengetragen.

Genetische Analysen wurden dabei der Erstdiagnose zugehörig gewertet, wenn das Datum des Befundes nicht mehr als drei Monate vom Erstdiagnose-Datum abwich. Befunde, die mehr als drei Monate vor der Erstdiagnose erstellt wurden, wurden nicht berücksichtigt. Analysen zu einem späteren Zeitpunkt wurden im jeweiligen Krankheitsverlauf des Patienten dokumentiert.

Bezugsorte der genetischen Analysen waren dabei in einem ersten Schritt (April 2020 – Mai 2020) das Medico als Datenmanagementsystem des Universitätsklinikums Düsseldorf, Akten des MDS-Registers und angeforderte *Follow-Up*-Befunde externer Krankenhäuser. In einem zweiten Schritt wurden die bereits im MDS-Register enthaltenen Patienten mit den Patientenakten des Instituts für Humangenetik des Universitätsklinikums Düsseldorf sowie Angaben von Einwohnermeldeämtern verglichen (Mai 2020 – Juli 2020).

Dabei wurden zunächst alle bereits bekannten MDS-Patienten mit genetischen Daten zur Erstdiagnose in der Datenbank gesucht und ihre Dokumentation durch *Follow-Up*-Befunde ergänzt. Die Dokumentation erfolgte dabei einheitlich nach dem Schema: Monat/Jahr: *International System for Human Cytogenomic Nomenclature* (ISCN) (z.B. 09/21: 46,XY[23]). In einem zweiten Schritt wurden alle Patienten des Registers ohne genetische Befunde zur

Erstdiagnose oder im Verlauf auf Befunde in der Humangenetik überprüft und diese bei Übereinstimmung im MDS-Register ergänzt.

Am 13.10.2022 erfolgte der Datenexport aus dem MDS-Register in eine Excel-Tabelle mit einer Gesamtzahl von 9.268 Patienten. Zunächst erfolgte dann der Ausschluss aller Patienten ohne genetische Befunde bei Erstdiagnose oder im Verlauf. Außerdem wurden Patienten ohne Datum der Erstdiagnose oder fehlende Informationen zum aktuellen Status (lebend/*lost-to-follow-up*/verstorben) sowie mit dem damit einhergehenden Datum aus der weiteren Analyse ausgeschlossen, sofern diese Informationen mit den oben genannten Methoden weiterhin nicht ermittelt werden konnten.

Insgesamt konnten für 3.591 Patienten ausreichende Informationen dokumentiert werden.

## 2.3 Methoden

Für die statistische Aufarbeitung wurde das Programm „*Statistical Package for the Social Sciences*“ (SPSS) der Firma IBM in der Version 26 für Mac IOS verwendet.

Kategoriale Variablen wie Geschlecht und WHO 2016 wurden dabei mit ihrer absoluten sowie relativen Häufigkeit dargestellt, kontinuierliche Daten wie Thrombozyten-Wert und Blasten-Anteil mit ihrer absoluten Häufigkeit, Median, Mittelwert sowie Spannweite (Minimum, Maximum).

Für den Vergleich der Häufigkeit kategorialer Variablen wurden Kreuztabellen angelegt und mittels Pearson-Chi-Quadrat-Test ausgewertet.

Analysen zum medianen Gesamtüberleben wurden mittels Kaplan-Meier-Kurven dargestellt. Errechnet wurde dafür die Zeit von der Erstdiagnose bis zum Sterbedatum. Patienten, die zum Zeitpunkt der Berechnung den aktuellen Status „lebend“ oder „*lost-to-follow-up*“ hatten, wurden dabei in der Analyse censiert. Die Überlebenswahrscheinlichkeit wurde mittels Log-Rank-, Breslow- und Tarone-Ware-Test berechnet und verglichen.

Das Risiko für einen AML-Progress wurde als Kaplan-Meier Eins-Minus-Überlebenskurve dargestellt. Zur Berechnung der Zeitspanne wurden dafür das Datum zur Erstdiagnose und zum AML-Übergang genutzt. Auch hier wurden Patienten mit dem aktuellen Status „lebend“, „*lost-to-follow-up*“ und „ohne AML-Übergang“ censiert. Die prozentualen Anteile der Patienten mit einer Leukämie nach zwei und fünf Jahren wurden anhand der Überlebenstabellen errechnet.

Die Bewertung der Ergebnisse erfolgt dabei mit einem Signifikanzniveau von  $\alpha = 0,05$ . Lag die Irrtumswahrscheinlichkeit bei  $p \leq 0,0005$  wurden die Ergebnisse als hoch signifikant gewertet. Signifikante Ergebnisse waren solche mit einem p-Wert  $> 0,0005$  und  $\leq 0,05$  und nicht signifikante Ergebnisse mit einem p-Wert  $\geq 0,05$ .

In einem letzten Schritt erfolgte eine multivariate Analyse mittels Proportional Hazard Regression nach Cox für alle Parameter, die in der univariaten Analyse als signifikant gewertet werden konnten.

## **2.4 Ethikvotum**

Grundlage für die Datenakquise dieser Arbeit waren die positiven Ethikvoten 3008 „Beobachtungsstudie von MDS-Patienten der Deutsch-Österreich-Schweizerischen-MDS-Gruppe“ und 3768 „Zentrale Biobank und molekulare Charakteristiken von MDS-Proben“ der Ethikkommission der medizinischen Fakultät der Heinrich-Heine-Universität Düsseldorf. Diese Studie wurde im Einklang mit der Deklaration von Helsinki durchgeführt.

# 3 Ergebnisse

Im Folgenden werden die Ergebnisse der statistischen Analyse anhand der vollständig dokumentierten 3.591 Patienten dargestellt. Dabei werden zunächst die Patientencharakteristika mit ihren zugehörigen Variablen sowie der absoluten und relativen Häufigkeit erläutert. Im weiteren Verlauf soll auf Daten zum medianen Überleben, zum Risiko eines AML-Übergangs und zur multivariaten Analyse näher eingegangen werden.

## 3.1 Patientencharakteristika

### 3.1.1 Merkmale der Patientenkohorte

Insgesamt konnten die Daten von 3.591 Patienten mit einem Erstdiagnose-Jahr zwischen 1982 und 2022 in die Analyse einfließen. Davon waren zum Zeitpunkt der statistischen Analyse 1.387 (38,6%) Patienten am Leben und 2.113 (58,9%) verstorben. Von 91 (2,5%) Patienten konnte kein aktueller Status ermittelt werden, weshalb sie in dieser Arbeit als „*lost-to-follow-up*“ klassifiziert werden.

#### Epidemiologische Daten:

Wie in Tabelle 12 dargestellt, wurden 2.134 Männer (59,4%) und 1.457 Frauen (40,6%) in die Analyse eingeschlossen. Das Alter bei Erstdiagnose betrug bei einer Spannweite von 16-94 Jahren im Median 68 Jahre.

Alle Patienten wurden nach der WHO Klassifikation von 2016 kategorisiert. Dabei lag die Diagnose MDS-MLD mit 920 Fällen (25,6) am häufigsten vor, gefolgt von MDS EB 2 mit 560 Fällen (15,6%), MDS EB 1 mit 461 Fällen (12,8%) und MDS SLD mit 376 Fällen (10,5%). 12 Patienten (0,3%) konnten nicht näher klassifiziert werden, da sie nie eine Knochenmarkpunktion erhielten, die für die genaue Einteilung in die WHO 2016 Diagnose grundlegend ist.

Die Kategorie *very high* war für die Einteilung nach IPSS-R mit 31,5% die größte Gruppe, gefolgt von *high* mit 28,2% aller Patienten. Die Gruppen *low* und *intermediate* waren mit 18,1% und 17,5% in der Größe vergleichbar während nur 4,7% aller Patienten die Kategorie *low* erhielten.

**Tabelle 12: Häufigkeiten der epidemiologischen Daten**

		Häufigkeiten n (%)	Median (Min– Max)	Mittelwert	Std.- Abw.
<b>Geschlecht</b>	männlich	2134 (59,4)			
	weiblich	1457 (40,6)			
<b>Alter</b>		3591	68 (16-94)	65,7	12,495
<b>WHO 2016</b>	MDS SLD	376 (10,5)			
	MDS RS SLD	130 (3,6)			
	MDS MLD	920 (25,6)			
	MDS RS MLD	125 (3,5)			
	MDS EB 1	461 (12,8)			
	MDS EB 2	560 (15,6)			
	MDS del(5q)	200 (5,6)			
	CMMML 0	121 (3,4)			
	CMMML 1	141 (3,9)			
	CMMML 2	79 (2,2)			
	MDS U	61 (1,7)			
	MDS/MPN-RS-T	44 (1,2)			
	RAEB-T	353 (9,8)			
	MDS, andere	12 (0,3)			
	Hypoplastisches MDS	5 (0,1)			
	ICUS	3 (0,1)			
	Gesamt:	3591 (100)			
<b>Gruppe nach IPSS-R</b>	<i>very low</i>	30 (4,7)			
	<i>low</i>	117 (18,1)			
	<i>intermediate</i>	113 (17,5)			
	<i>high</i>	182 (28,2)			
	<i>very high</i>	203 (31,5)			
	Gesamt:	645 (100)			

Klinische Parameter:

Die klinischen Parameter Hämoglobin in g/dl, Granulozytenzahl/ $\mu$ l, Thrombozytenzahl/l, LDH in U/l sowie der Anteil peripherer Blasten (Blasten PB) in % sind in der Tabelle 13 mit Median sowie Minimum und Maximum zusammengefasst.

Des weiteren relevant für die Einteilung nach IPSS-R ist der prozentuale Anteil der Blasten im Knochenmark. Er betrug im Median 4% mit einem Minimum von 0% und einem Maximum von 99%.

**Tabelle 13: Häufigkeiten klinischer Parameter**

	Häufigkeiten n	Median (Min-Max)	Mittelwert	Std.-Abw.
<b>Hb g/dl</b>	3221	9,6 (2,5-17,3)	9,77	2,15
<b>Granulozyten/<math>\mu</math>l</b>	2635	1760 (0-807900)	3687,97	17230,24
<b>Thrombozyten/<math>\mu</math>l</b>	3211	109000 (0-2224000)	160056,46	164743,18
<b>LDH U/l</b>	2653	214 (0-5097)	259,08	207,97
<b>Blasten (PB) %</b>	2422	0 (0-90)	2,085	6,06
<b>Blasten (KM) %</b>	3150	4 (0-99)	7,8	10,12

### 3.1.2 Zytogenetische Untersuchungen

#### Untersuchungen bei Erstdiagnose und im Verlauf:

Bei 3.559 und damit der Mehrzahl der Patienten (99,1%) lag bei Erstdiagnose eine Chromosomenanalyse vor (s. Tabelle 14). Lediglich 32 Patienten (0,9%) wurden erst im Verlauf karyotypisiert. Im weiteren Verlauf erhielten 1.276 Patienten (35,5%) mindestens eine weitere Analyse des Karyotyps, während 2.315 Patienten (64,5%) nicht nachuntersucht wurden.

**Tabelle 14: Häufigkeiten Karyotyp bei ED und im Verlauf**

	Karyotyp bei ED	Karyotyp im Verlauf
<b>n (%)</b>	3559 (99,1)	1276 (35,5)
<b>Fehlende: n (%)</b>	32 (0,9)	2315 (64,5)

#### Chromosomenkategorien:

Von den 3.559 analysierten Patienten bei Erstdiagnose wiesen 1.715 (48,2%) einen normalen und 1.844 (51,8%) einen abnormalen Chromosomensatz auf.

Wie in Tabelle 15 gezeigt, lassen sich die chromosomal Veränderungen in weitere Kategorien unterteilen. Da in der anteilmäßig größten Gruppe „Diverse 1-2 Aberrationen“ mit 665 Fällen (18,7%) eine Vielzahl verschiedener Aberrationen enthalten ist, wurde diese in weitere Subgruppen eingeteilt. Die Häufigkeiten dieser neuen Ordnung sind in Tabelle 16 dargestellt.

Da sich die Gruppen „Sonstige (1 Aberration)“ und „Sonstige (2 Aberrationen)“ aufgrund der Seltenheit einiger Aberrationen nicht weiter unterteilen ließen, findet sich im Anhang dieser Arbeit eine Liste mit den in diese Gruppen eingeflossenen Chromosomensätzen (s. Tab. 41 und 42).

Gleichfalls ließen sich die Gruppen „Komplex (= 3 Aberrationen)“ und „Komplex (>3 Aberrationen)“, dargestellt in Tabelle 15, aufgrund der Komplexität und Zusammensetzung der möglichen Veränderungen nicht weiter kategorisieren. Eine genaue Auflistung der darin enthaltenen Karyotypen findet sich auch hier im Anhang dieser Arbeit in Tabelle 39 und 40. Analog dazu findet sich im Anhang die Tabelle 38 mit einer Auflistung aller Chromosomensätze der Kategorie “Diverse 1-2 Aberrationen” und eine vollständige Aufzählung aller *Follow-up*-Untersuchungen in der Tabelle 43.

**Tabelle 15: Häufigkeiten Chromosomenkategorie**

Karyotypen bei ED:	Kategorie	Häufigkeiten n (%)
<b>Normal: 1715 (48,2%)</b>	Normal	1715 (48,2)
<b>Abnormal: 1844 (51,8%)</b>	12p-	12 (0,3)
<b>Nicht analysiert bei ED: 32</b>	20q-	53 (1,5)
	5q-	230 (6,5)
	7q-	32 (0,9)
	del(11q23)	19 (0,5)
	del(13q)	1 (0)
	inv(3)/t(3;3)	22 (0,6)
	minus Y	116 (3,3)
	Trisomie 8	146 (4,1)
	Diverse 1-2 Aberrationen	665 (18,7)
	Komplex (=3 Aberrationen)	132 (3,7)
	Komplex (>3 Aberrationen)	416 (11,7)
	Gesamt:	3559 (100)

**Tabelle 16: Häufigkeiten neue Ordnung der Gruppe „Diverse 1-2 Aberrationen“**

	Häufigkeiten n	Prozent
<b>der(1;7)</b>	13	1,9
<b>Deletion 5q + eine weitere Aberration</b>	49	7,4
<b>Deletion 5q + Trisomie 8</b>	17	2,5
<b>Deletion 9q</b>	10	1,5
<b>Inversion 9 (Normalbefund)</b>	14	2,1
<b>Isochromosom 17</b>	6	0,9
<b>Minus 7</b>	63	9,5
<b>Minus 7 + eine weitere Aberration</b>	53	8,0
<b>Minus X</b>	15	2,3
<b>Minus Y + eine weitere Aberration</b>	20	3,0
<b>Trisomie 11</b>	10	1,5
<b>Trisomie 19</b>	7	1,1
<b>Trisomie 21</b>	10	1,5
<b>Trisomie 8 + eine weitere Aberration</b>	42	6,3
<b>Weitere Trisomien (außer +11, +19, +21)</b>	30	4,5
<b>+ Markerchromosom</b>	19	2,9
<b>Verlust eines Chromosoms (außer -7, -Y oder -X)</b>	18	2,7
<b>Translokationen, diverse</b>	51	7,7
<b>Sonstige (1 Aberration)</b>	113	16,9
<b>Sonstige (2 Aberrationen)</b>	105	15,8
<b>Gesamt:</b>	665	100

#### Analyse komplexer Karyotypen:

In einem nächsten Schritt wurden die komplexen Karyotypen auf das Vorhandensein bereits bekannter prognostisch relevanter Aberrationen untersucht (s. Tabelle 17). Von 132 Patienten mit einem komplex veränderten Chromosomensatz mit drei Aberrationen wiesen zwei (1,5%) eine 17p-Beteiligung auf und 31 (23,5%) eine Deletion 5q. Bei 99 Patienten (75%) konnte keine dieser Veränderungen nachgewiesen werden.

In der Gruppe der komplex veränderten Chromosomensätze mit mehr als drei Aberrationen wiesen vier Patienten (1%) eine 17p-Beteiligung auf, 142 (34,2%) eine Deletion 5q und ein Patient (0,2%) eine Veränderung von sowohl 17p als auch 5q. Bei 269 Patienten (64,6%) konnte keine der genannten Aberrationen festgestellt werden.

**Tabelle 17: Häufigkeiten 17p und 5q Beteiligung bei komplex veränderten Karyotypen**

Gesamt: n = 548 (100%)	Komplex = 3 Aberrationen n: 132 (24,1%)	Komplex >3 Aberrationen n: 416 (75,9%)
<b>17p betroffen n (Prozent)</b>	2 (1,5)	4 (1,0)
<b>Del(5q) betroffen n (Prozent)</b>	31 (23,5)	142 (34,2)
<b>17p und del(5q) betroffen n (Prozent)</b>	0 (0)	1 (0,2)
<b>17p und del(5q) nicht betroffen n (Prozent)</b>	99 (75)	269 (64,6)

Da sich die Gruppengrößen in der Fallzahl erheblich unterscheiden, wurde außerdem eine Gegenüberstellung von Patienten mit einer del5q-Aberration versus das Fehlen einer Veränderung an Chromosom del5q oder 17p vorgenommen. Die Einteilung erfolgte für die Gruppen „komplex = 3 Aberrationen“, „komplex > 3 Aberrationen“ und „komplex ≥ 3 Aberrationen“ und ist in Tabelle 18 dargestellt.

**Tabelle 18: Häufigkeiten 17p und 5q Beteiligung in zwei Gruppen**

Gesamt: n = 541 (100%)	Komplex = 3 Aberrationen n: 130 (24%)	Komplex >3 Aberrationen n: 411 (76%)	Komplex ≥ 3 Aberrationen n: 541 (100%)
<b>del5q</b>	31 (23,8)	142 (34,5)	173 (32,0)
<b>17p und del5q nicht betroffen</b>	99 (76,2)	269 (65,5)	368 (68,0)

#### Karyotyp-Kategorisierung nach Prognosescores:

Tabelle 19 zeigt die Einteilung des Karyotyps nach CPSS in die drei Risikogruppen *low*, *intermediate* und *high*. Darin eingeflossen sind alle Patienten mit den WHO 2016 Diagnosen CMML 0, CMML 1 und CMML 2. Die Chromosomensätze aller weiteren Subgruppen nach WHO 2016 wurden nach dem IPSS-R in die fünf Risikogruppen *very low*, *low*, *intermediate*, *high* und *very high* eingeteilt. Eine Aufstellung der Häufigkeiten zeigt Tabelle 20.

Die anteilig größte Zahl der Patienten erhielt dabei jeweils die Risikogruppe *low* mit 64,2% bei einer Kategorisierung nach CPSS und 57,3% nach IPSS-R.

**Tabelle 19: Häufigkeiten Karyotyp-Kategorisierung nach CPSS**

CPSS	Häufigkeiten n	Prozent

<b>Low</b>	219	64,2
<b>Intermediate</b>	49	14,4
<b>High</b>	69	20,2
<b>Fehlende bei ED</b>	4	1,2
<b>Gesamt</b>	341	100

**Tabelle 20: Häufigkeiten Karyotyp-Kategorisierung nach IPSS-R**

IPSS-R	Häufigkeiten n	Prozent
<b>Very low</b>	133	4,1
<b>Low</b>	1862	57,3
<b>Intermediate</b>	561	17,3
<b>High</b>	265	8,1
<b>Very high</b>	400	12,3
<b>Fehlende bei ED</b>	28	0,9
<b>Gesamt</b>	3250	100

Vergleicht man die Häufigkeit der Karyotyp-Kategorien nach IPSS-R mit den verschiedenen Altersklassen, so fällt auf, dass besonders jüngere Patienten unter 40 Jahren häufiger die ungünstige Einteilung *very high* aufweisen als ältere Patienten (17,1% vs. durchschnittlich 11,2%). Dagegen sind die Kategorien *very low* mit 1,4% bei den unter 40-Jährigen versus 7,8% bei den 80-90-Jährigen und *low* mit 50,7% versus 58,1% häufiger bei älteren Patienten vertreten. Das Auftreten der Häufigkeiten in allen Altersklassen ist in der Kreuztabelle 21 dargestellt.

**Tabelle 21: Kreuztabelle Alter in Kategorien versus Karyotyp-Kategorisierung nach IPSS-R**

			ipssr_chrom_KM						
			0	1	2	3	4	Gesamt	
alterkat	<40	Anzahl	2	74	24	21	25	146	
		alterkat	1,4%	50,7%	16,4%	14,4%	17,1%	100%	
		ipssr_chrom_KM	1,4%	3,6%	3,8%	7,2%	6,0%	4,1%	
40-50	40-50	Anzahl	3	136	38	24	26	227	
		alterkat	1,3%	59,9%	16,7%	10,6%	11,5%	100%	
		ipssr_chrom_KM	2,1%	6,5%	6,0%	8,3%	6,3%	6,4%	
50-60	50-60	Anzahl	15	319	99	51	53	537	
		alterkat	2,8%	59,4%	18,4%	9,5%	9,9%	100%	
		ipssr_chrom_KM	10,4%	15,4%	15,7%	17,6%	12,7%	15,1%	
60-70	60-70	Anzahl	40	616	212	88	146	1102	
		alterkat	3,6%	55,9%	19,2%	8,0%	13,2%	100%	
		ipssr_chrom_KM	27,8%	29,6%	33,6%	30,3%	35,1%	31,0%	
70-80	70-80	Anzahl	54	710	188	85	126	1163	
		alterkat	4,6%	61,0%	16,2%	7,3%	10,8%	100%	
		ipssr_chrom_KM	37,5%	34,2%	29,8%	29,3%	30,3%	32,7%	
80-90	80-90	Anzahl	30	223	70	21	40	384	
		alterkat	7,8%	58,1%	18,2%	5,5%	10,4%	100%	
		ipssr_chrom_KM	20,8%	10,7%	11,1%	7,2%	9,6%	10,8%	
Gesamt		Anzahl	144	2078	631	290	416	3559	
		alterkat	4,0%	58,4%	17,7%	8,1%	11,7%	100%	

	ipssr_chrom_KM	100%	100%	100%	100%	100%	100%
--	----------------	------	------	------	------	------	------

Da die *Intermediate*-Gruppe nach IPSS-R sehr divers ist, da sie alle anderen nicht näher spezifizierten Einzel- und Doppel-Klone enthält, wurde eine weitere Einteilung in die folgenden fünf Gruppen vorgenommen (s. Tabelle 22):

- Gruppe 1: der(1;7); -X
- Gruppe 2: Sonstige (1 Aberration); -Y + eine weitere Aberration
- Gruppe 3: Del(7q); +21; Sonstige (2 Aberrationen)
- Gruppe 4: +8; +19; i(17q); +mar; del(9q); +8 + eine weitere Aberration
- Gruppe 5: +11

In diese Einteilung wurden alle Patienten mit den Diagnosen CMML 0-2 und einer Einteilung in die *Intermediate*-Risk-Gruppe nach IPSS-R (n= 49) sowie alle weiteren Subgruppen nach WHO 2016 (n= 561) eingeschlossen, sodass die Gesamtzahl hier 610 beträgt.

Dabei finden sich in Gruppe 4 mit 222 Patienten (36,4%) die meisten Fälle, dicht gefolgt von Gruppe 2 mit 214 Patienten (35,1%). Ebenfalls anteilmäßig groß ist die Gruppe 3 mit 135 Fällen (22,1%), während Gruppe 1 mit 29 Patienten (4,8%) und Gruppe 5 mit 11 Patienten (1,6%) deutlich kleiner ausfallen.

**Tabelle 22: Häufigkeiten der weiteren Unterteilung der *Intermediate*-Gruppe nach IPSS-R**

Gruppe	Aberrationen	Häufigkeiten (n)	Prozent
<b>1</b>	der(1;7); -X	29	4,8
<b>2</b>	Sonstige (1 Aberration); -Y + eine weitere Aberration)	214	35,1
<b>3</b>	Del(7q); +21; Sonstige (2 Aberrationen)	135	22,1
<b>4</b>	+8; +19; i(17q); +mar; del(9q); +8 + eine weitere Aberration	222	36,4
<b>5</b>	+11	10	1,6
<b>Gesamt</b>		<b>610</b>	<b>100</b>

#### Einteilung der Karyotypen im Verlauf:

Von 1.276 Patienten mit mindestens einer weiteren Chromosomenanalyse zeigten 455 eine Verbesserung des Chromosomensatzes. Da dies nicht dem natürlichen Krankheitsverlauf entspricht und nur durch eine durchgeführte Therapie wie z.B. eine Stammzelltransplantation zu erklären ist, wurden diese Patienten in der folgenden Aufstellung nicht berücksichtigt. Insgesamt gingen 821 Patienten in die Analysen in Tabelle 23 und 24 ein.

Tabelle 23 zeigt eine vereinfachte Einteilung aller Patienten in drei Gruppen. Gruppe 1 wies im Verlauf keine klonale Evolution auf. Darin enthalten sind sowohl Patienten mit durchgehend normalem Karyotyp sowie stabil-aberrante Karyotypen. In Gruppe 2 wurden alle Patienten mit Zunahme der Klongröße eingeschlossen und Gruppe 3 beinhaltet alle Patienten, die im Verlauf eine klonale Evolution aufwiesen.

**Tabelle 23: Häufigkeiten der Karyotypen im Verlauf in drei Gruppen**

Gruppe	Häufigkeiten n	Prozent
<b>1: Ohne klonale Evolution und ohne Zunahme der Klongröße</b>	457	55,7
<b>2: Zunahme der Klongröße</b>	75	9,1
<b>3: Klonale Evolution</b>	289	35,2
<b>Gesamt:</b>	821	100

Tabelle 24 unterscheidet weiter zwischen initial normalen versus initial aberranten Karyotypen sowie der Art der Veränderung im Verlauf. Mit 46% wies knapp die Hälfte der Patienten bei Erstdiagnose und auch im weiteren Verlauf einen normalen Chromosomensatz auf. Bei nur 13 Patienten (1,6%) konnte ein neuer Klon bei initial normalem Karyotyp mit anschließender Zunahme der Klongröße und bei 15 Patienten (1,8%) nach initial normalem Karyotyp der Zugewinn von drei oder mehr Aberrationen nachgewiesen werden. Alle weiteren übrigen Gruppen liegen mit 7,6-12,2% größtmäßig im Mittelfeld.

**Tabelle 24: Häufigkeiten der Karyotypen im Verlauf in acht Gruppen**

	Häufigkeiten n	Prozent
<b>Ohne zeitliche Evolution (normal)</b>	378	46,0
<b>Ohne zeitliche Evolution (abnormal)</b>	79	9,6
<b>Zunahme der Klongröße</b>	75	9,1
<b>Klonale Evolution</b>	100	12,2
<b>Komplex zu komplex/komplexer</b>	62	7,6
<b>Normal zu einem Klon</b>	99	12,1
<b>Normal zu Klon, zu Zunahme der Klongröße</b>	13	1,6
<b>Normal zu komplex</b>	15	1,8
<b>Gesamt:</b>	821	100

Vergleicht man die Häufigkeit des Auftretens einer klonalen Evolution mit den Kategorien nach IPSS-R, so fällt auf, dass vor allem Patienten mit den Kategorien *high* und *very high* eine klonale Evolution aufwiesen (14,7% und 13,1%). Dagegen war dies bei Patienten der niedrigeren Risikogruppen *very low* oder *low* mit 1,1% bzw. 3,3% wesentlich seltener der Fall (s. Tabelle 25).

**Tabelle 25: Kreuztabelle: IPSS-R versus klonale Evolution**

n=183		klonale Evolution		
		keine Evolution (%)	klonale Evolution (%)	Gesamt n (%)

<b>IPSS-R</b>	<i>very low</i>	4 (2,2)	2 (1,1)	6 (3,3)
	<i>low</i>	33 (18,0)	6 (3,3)	39 (21,3)
	<i>intermediate</i>	23 (12,6)	13 (7,1)	36 (19,7)
	<i>high</i>	34 (18,6)	24 (13,1)	58 (31,7)
	<i>very high</i>	17 (9,3)	27 (14,7)	44 (24,0)
	Gesamt:	111 (60,7)	72 (39,3)	183 (100)

#### Methoden der Karyotypisierung im Vergleich:

Bei 3.455 Patienten wurde Material zur Analyse des Karyotyps aus dem Knochenmark gewonnen. Dies entspricht mit 96,2% der überwiegenden Mehrheit. 118 Patienten (3,3%) erhielten neben einer Analyse aus dem Knochenmark zumindest eine oder mehrere Analysen aus dem peripheren Blut. Nur 18 Patienten (0,5%) wurden ausschließlich über die Entnahme einer Blutprobe karyotypisiert. Diese Ergebnisse sind dargestellt in Tabelle 26.

**Tabelle 26: Häufigkeiten PB und KM (Anzahl der Patienten)**

	Häufigkeit n (%)
<b>Nur ISCN KM</b>	3455 (96,2)
<b>ISCN KM und PB</b>	118 (3,3)
<b>Nur ISCN PB</b>	18 (0,5)
<b>Gesamt</b>	3591 (100)

Gemittelt über die Anzahl der Befunde konnten bei Analysen aus dem Knochenmark im Median 20 Metaphasen mit einem Minimum von einer und einem Maximum von 120 Metaphasen nachgewiesen werden. Bei insgesamt 157 vorliegenden Befunden mit Analysen aus dem Blut lag das Median etwas höher bei 24 Metaphasen mit einer Spannweite von minimal 2 und maximal 50 Metaphasen (s. Tab. 27).

**Tabelle 27: Anzahl der untersuchten Metaphasen (Anzahl der untersuchten Befunde)**

	Untersuchte Metaphasen (KM)	Untersuchte Metaphasen (PB)
<b>Häufigkeiten (n)</b>	3519	157
<b>Median</b>	20	24
<b>Minimum</b>	1	2

<b>Maximum</b>	120	50
----------------	-----	----

Von den 157 Analysen aus dem peripheren Blut konnte in 63 Fällen eine zeitlich korrelierende Analyse aus dem Knochenmark gefunden werden, d.h. die Analysezeitpunkte von Knochenmark und peripherem Blut lagen maximal einen Monat auseinander. Von diesen 63 Paaren konnte in 51 Fällen (81%) ein identischer Chromosomensatz im Knochenmark sowie im Blut nachgewiesen werden. Von diesen 51 Fällen wiederum lag bei 9 Patienten (14,3%) außerdem eine Gleichheit der Metaphasenanzahl vor, während bei 42 Patienten (63,5%) eine quantitative Differenz nachgewiesen werden konnte.

Von den 12 Paaren mit qualitativen Unterschieden in den Analysen wiesen 8 (15,9%) auch eine Differenz in der Anzahl der gefundenen Metaphasen auf. Bei lediglich 4 Patienten (4,7%) konnte trotz unterschiedlicher Ergebnisse der Analysen die gleiche Anzahl Metaphasen nachgewiesen werden.

Teilt man die Karyotypen nach IPSS-R ein, so ergab sich für 2 (3,2%) der 12 ungleichen Paare die gleiche prognostische Risikogruppe. In insgesamt 10 Fällen (15,8%) unterschieden sich sowohl der Chromosomensatz nach ISCN als auch die Einteilung nach IPSS-R.

**Tabelle 28: Häufigkeiten ISCN nach WHO im KM vs. PB**

	Häufigkeiten n (%)	Gleichheit: IPSS-R	Gleichheit: Anzahl der Metaphasen n (100)
<b>KM = PB nach ISCN</b>	51 (81)	Ja: 51 (81)	Ja: 9 (14,3)
		Nein: 0 (0)	Nein: 42 (63,5)
<b>KM ≠ PB nach ISCN</b>	12 (19)	Ja: 2 (3,2)	Ja: 4 (4,7)
		Nein: 10 (15,8)	Nein: 8 (15,9)
<b>Gesamtzahl Paare:</b>	63 (100)	63 (100)	63 (100)
<b>Kein zeitliches Paar</b>	94		
<b>Gesamtzahl Analysen PB:</b>	157		

## 3.2 Überleben der Patienten

Im folgenden Kapitel werden alle Ergebnisse zum medianen Überleben der Patientenkohorte besprochen. Eine vollständige Übersicht über die mediane Überlebenszeit in Monaten anhand der verschiedenen Variablen findet sich am Schluss dieses Kapitels in Tabelle 29. Signifikante Ergebnisse werden im Folgenden mit ihren Kurven näher erläutert.

### 3.2.1 Gesamte Kohorte

Von 3.591 waren 2.113 Patienten (58,8%) zum Zeitpunkt der Datenerhebung verstorben. Das Überleben der gesamten Kohorte lag im Median bei 40 Monaten (95%-KI 37-43 Monate) (s. Abb. 3).

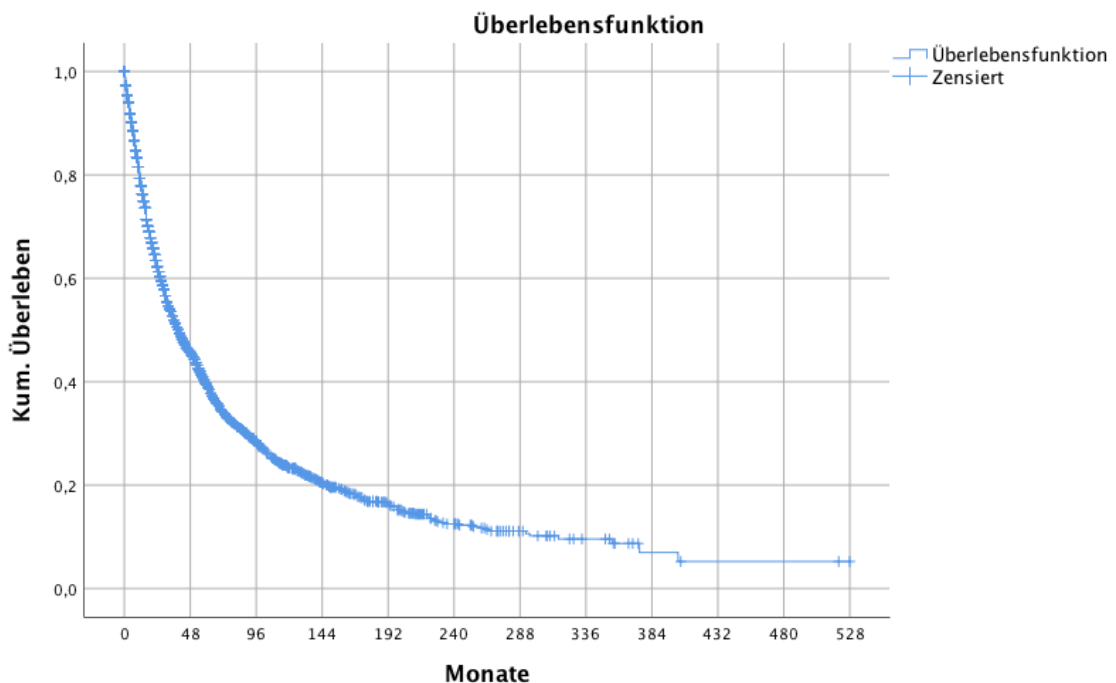


Abb. 3: Kaplan Meier Überlebenskurve der gesamten Kohorte

### 3.2.2 Geschlecht

Mit im Median 51 Monaten (95%-KI 45–57 Monate) überlebten Frauen hoch signifikant ( $p<0,0005$ ) länger als Männer mit 36 Monaten (95%-KI 33–39 Monate). Dieser Sachverhalt ist in Abbildung 4 dargestellt.

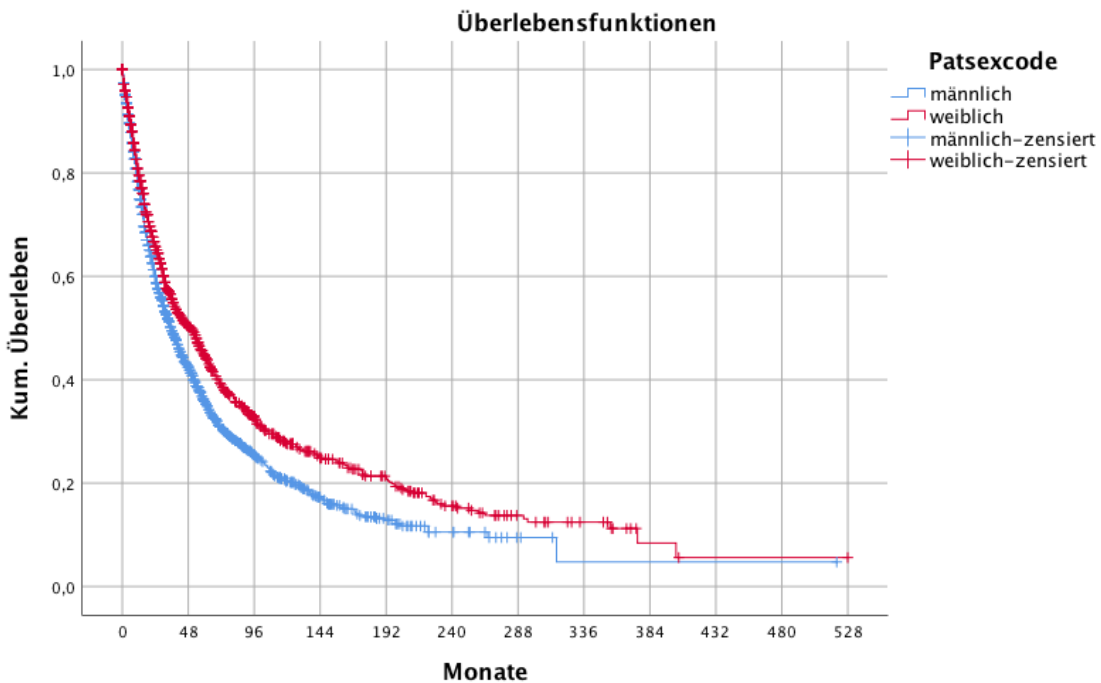


Abb. 4: Kaplan Meier Überlebenskurve nach Geschlecht

### 3.2.3 Alter

Ein ebenfalls hoch signifikanter Unterschied ( $p<0,0005$ ) konnte für das Alter gezeigt werden (s. Abb. 5). So lebten Patienten unter 70 Jahren bei Erstdiagnose im Median 51 Monate (95%-KI 45-57 Monate) und Patienten über 70 Jahren nur 31 Monate (95%-KI 28–34 Monate).

Bei einer Einteilung der Patienten nach dem Alter bei Erstdiagnose in sechs Gruppen zeigt sich mit  $p<0,0005$  ebenso ein hoch signifikanter Unterschied (s. Abb. 6). Je jünger der Patient bei Erstdiagnose, desto höher war das mediane Überleben in Monaten. So lebten Patienten mit 40 Jahren und jünger im Schnitt 292 Monate, also ca. 24 Jahre (95% KI 121-463 Monate), während Patienten über 80 Jahre nach durchschnittlich 25 Monaten (95% KI 21–29 Monate) verstarben.

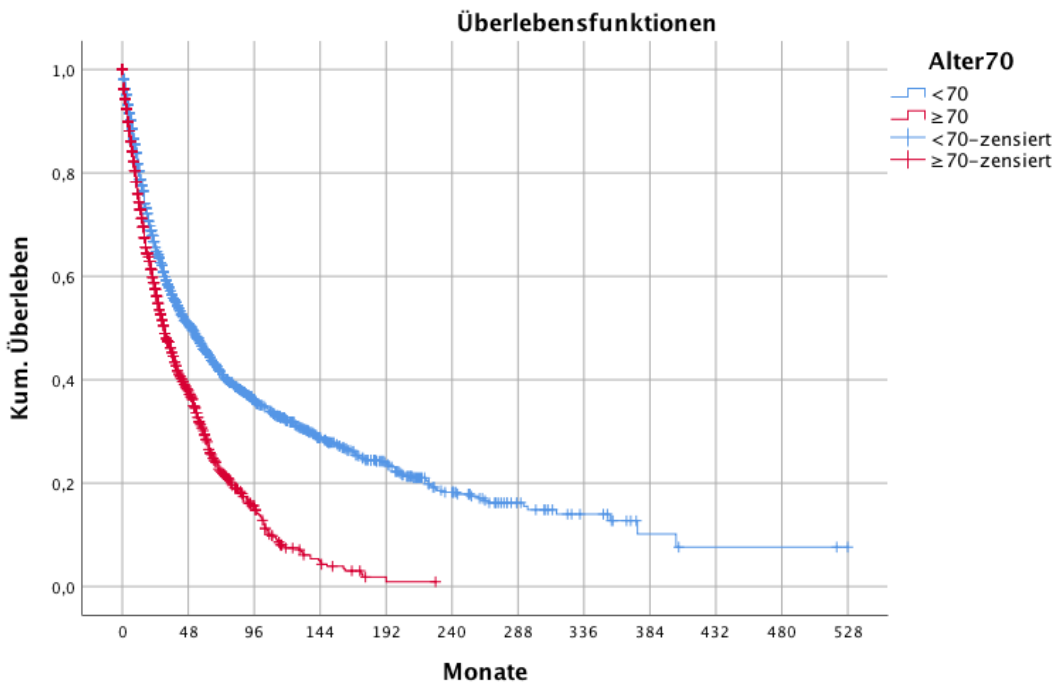


Abb. 5: Kaplan Meier Überlebenskurve nach Alter <70/ $\geq 70$  Jahre

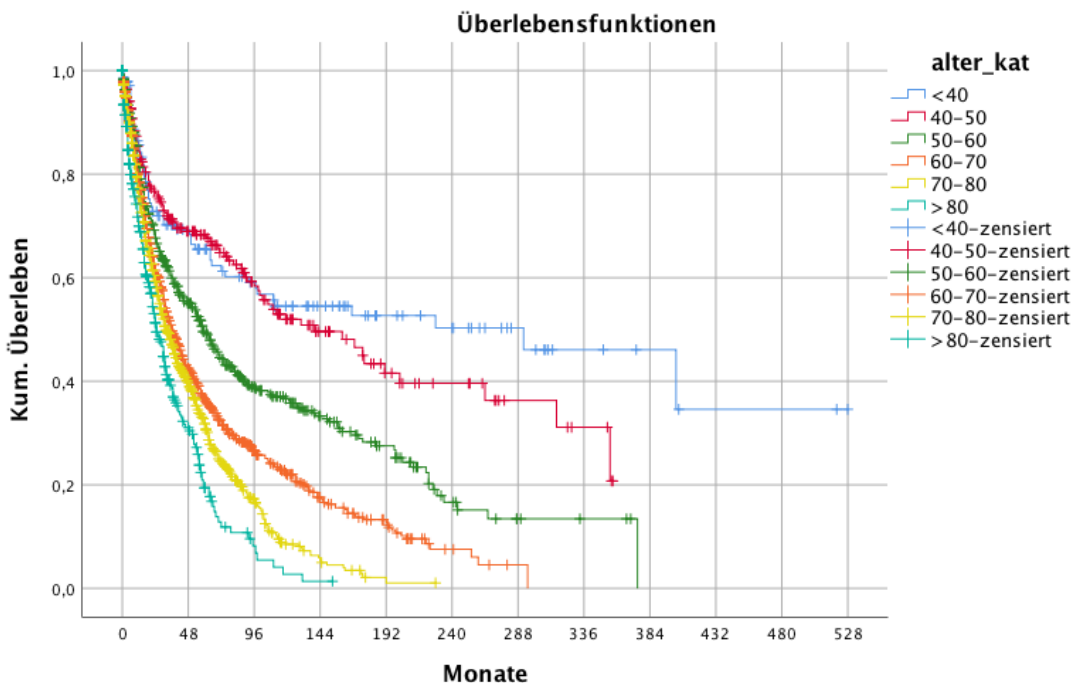


Abb. 6: Kaplan Meier Überlebenskurve nach Alter in Kategorien <40, 40-50, 50-60, 60-70, 70-80, >80

### 3.2.4 WHO 2016

Das längste mediane Überleben konnte mit 101 Monaten für Patienten mit der Diagnose MDS RS SLD nachgewiesen werden, während Patienten mit der Diagnose RAEB-T mit 15 Monaten die geringste mediane Überlebenszeit aufwiesen.

Insgesamt stellten sich WHO Diagnosen, die mit einer Erhöhung der Blastenzahl im Knochenmark einhergehen (z.B. MDS EB 1 und 2, CMML 1 und 2, AML u.a.), als prognostisch ungünstiger für das mediane Überleben dar als solche ohne Erhöhung (s. Abb. 7).

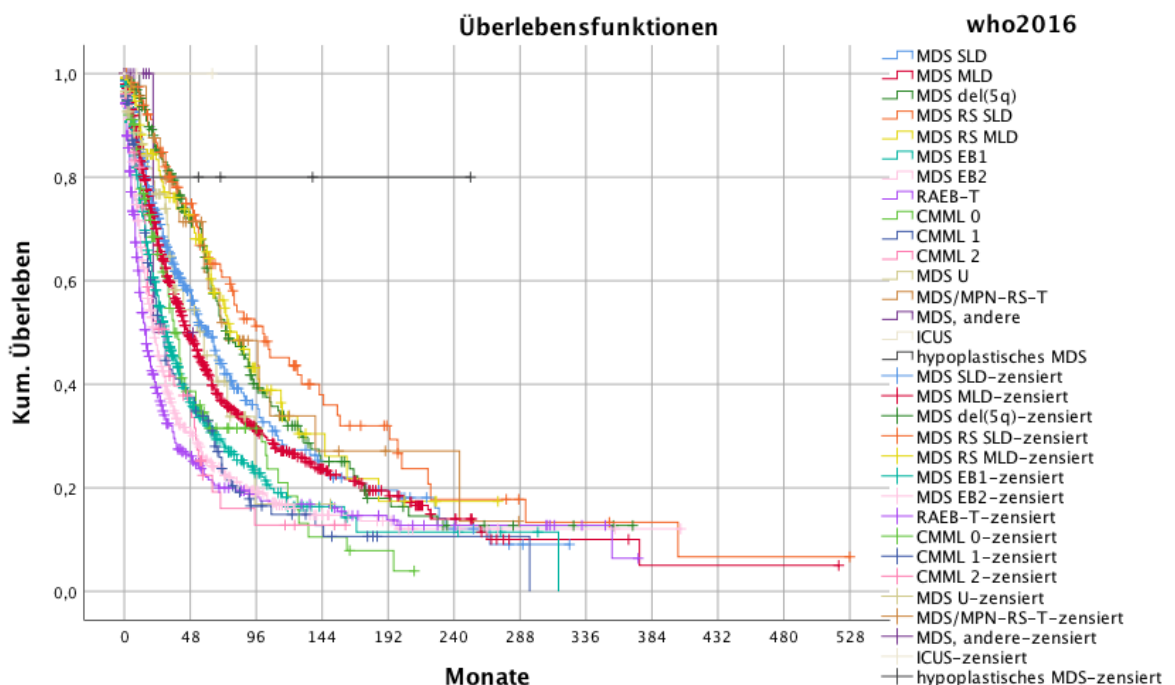


Abb. 7: Kaplan Meier Überlebenskurve nach WHO 2016

### 3.2.5 Hämoglobin (Hb)

Patienten mit einem Hb-Wert unter 10g/dl unterschieden sich mit einem medianen Überleben von 28 Monaten (95% KI 25-31 Monate) von Patienten mit einem Hb-Wert über 10g/dl mit durchschnittlich 54 Monaten (95% KI 49-59 Monate). Dieser Unterschied ist dargestellt in Abbildung 8 und mit einem p-Wert von <0,0005 hoch signifikant.

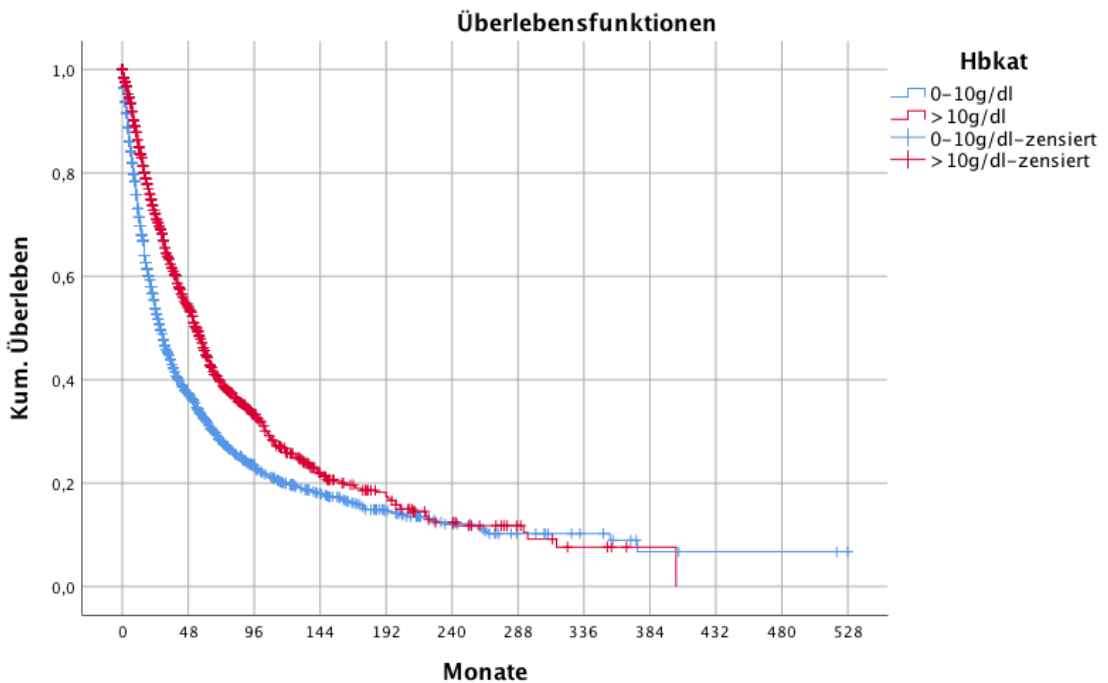


Abb. 8: Kaplan Meier Überlebenskurve nach  $\text{Hb} \geq 10\text{g/dl}$

### 3.2.6 Granulozyten

Auch für die absolute Anzahl der neutrophilen Granulozyten im Blut konnte ein hoch signifikanter Zusammenhang nachgewiesen werden (s. Abb. 9). So waren weniger als 1800 Granulozyten pro Mikroliter mit einem medianen Überleben von 31 Monaten (95% KI 28-34 Monate) mit einer schlechteren Prognose assoziiert als Werte darüber mit im Schnitt 41 Monaten (95% KI 36-46 Monate).

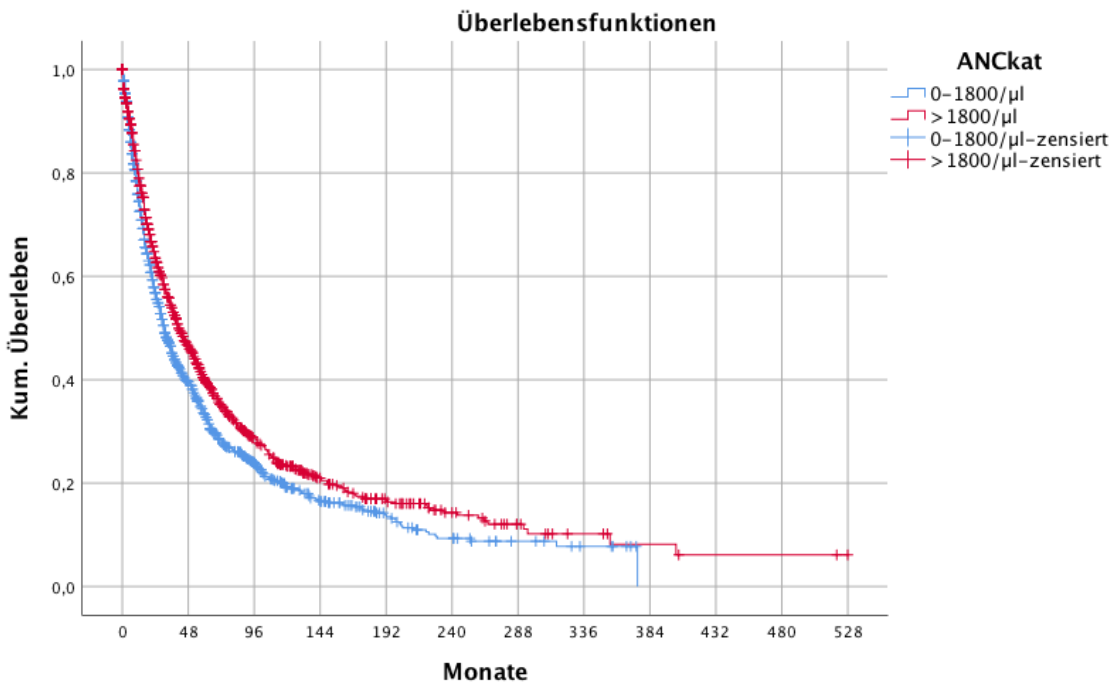


Abb. 9: Kaplan Meier Überlebenskurve nach Granulozyten  $\geq 1800/\mu\text{l}$

### 3.2.7 Thrombozyten

Bei Patienten mit weniger als 100.000 Thrombozyten pro Mikroliter Blut konnte ein medianes Überleben von 25 Monaten (95% KI 22-28 Monate) errechnet werden, während Patienten mit Thrombozyten-Werten darüber ein medianes Überleben von 53 Monaten (95% KI 48-58 Monaten) aufwiesen. Auch dieser Unterschied war mit einem p-Wert <0,0005 hoch signifikant (s. Abb. 10).

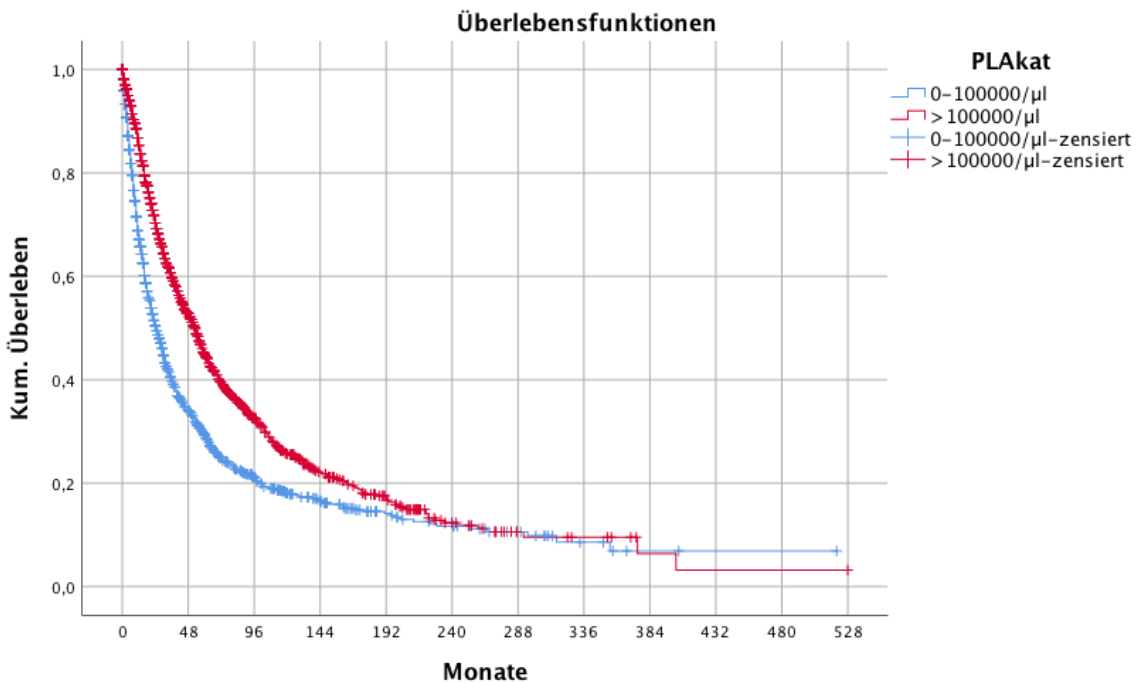


Abb. 10: Kaplan Meier Überlebenskurve nach Thrombozyten  $\geq 100000/\mu\text{l}$

### 3.2.8 LDH

LDH-Werte kleiner 200 U/l erwiesen sich mit durchschnittlich 45 Monaten (95% KI 39-51 Monaten) als hoch signifikant ( $p < 0,0005$ ) prognostisch günstiger als höhere mit im Schnitt 30 Monaten medianem Überleben (95% KI 27-33 Monate). Dieser Zusammenhang ist dargestellt in Abbildung 11.

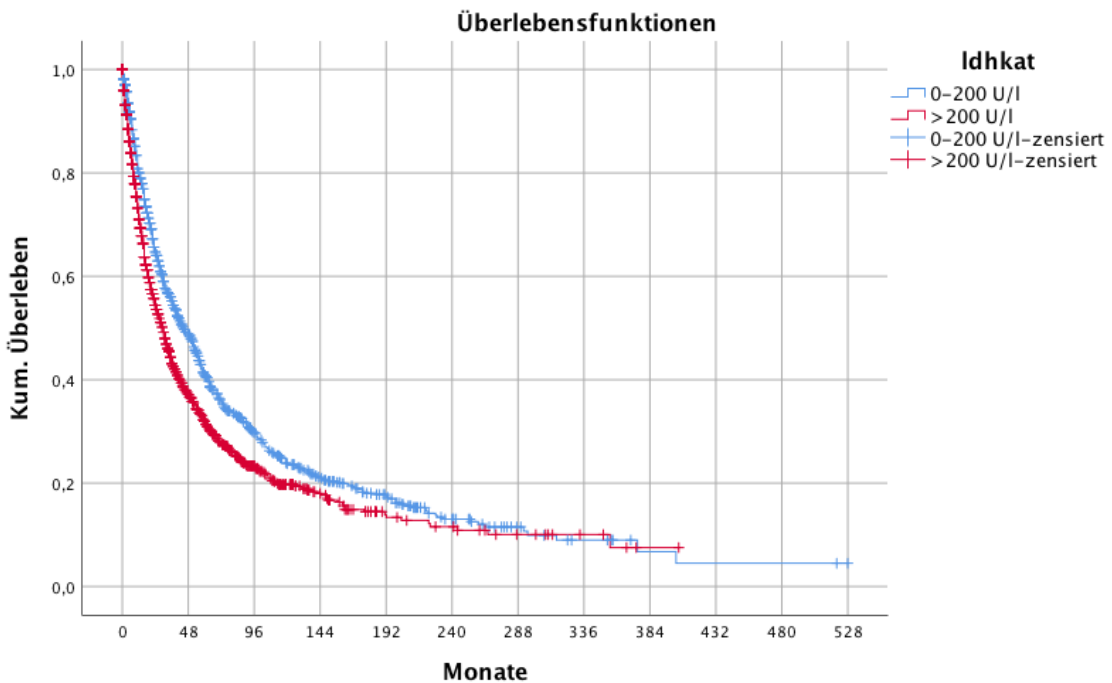


Abb. 11: Kaplan Meier Überlebenskurve nach LDH  $\geq 200 \text{ U/l}$

### 3.2.9 Blasten im peripheren Blut und Knochenmark

Sowohl für die Blastenzahl im peripheren Blut als auch die Blastenzahl im Knochenmark konnte nachgewiesen werden, dass je höher der prozentuale Anteil der Blasten lag, desto schlechter das mediane Überleben war (s. Abb. 12 und 13). So verstarben Patienten mit 0% Blasten im Blut bzw. weniger als 5% Blasten im Knochenmark erst nach 42 (95% KI 38-46 Monate) bzw. 55 Monaten (95% KI 50-60 Monate), während Patienten mit mehr als 0% Blasten im Blut bzw. mehr als 5% Blasten im Knochenmark schon nach 19 (95% KI 16-22 Monate) bzw. 23 (95% KI 21-25 Monate) Monaten verstarben.

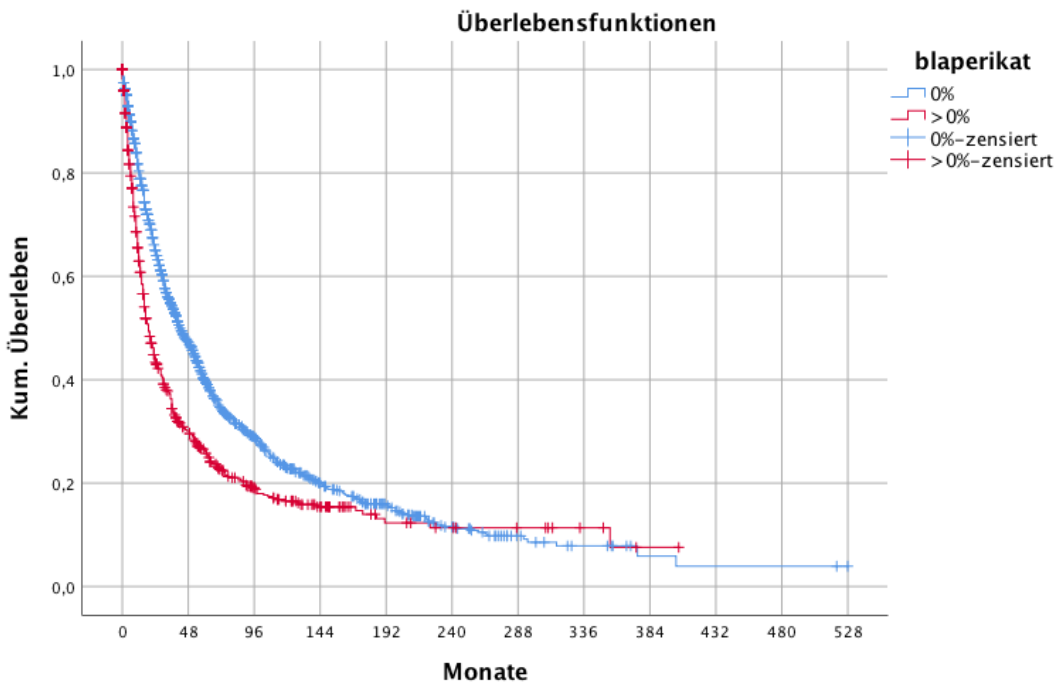


Abb. 12: Kaplan Meier Überlebenskurve nach Blasten im PB  $\geq 0\%$

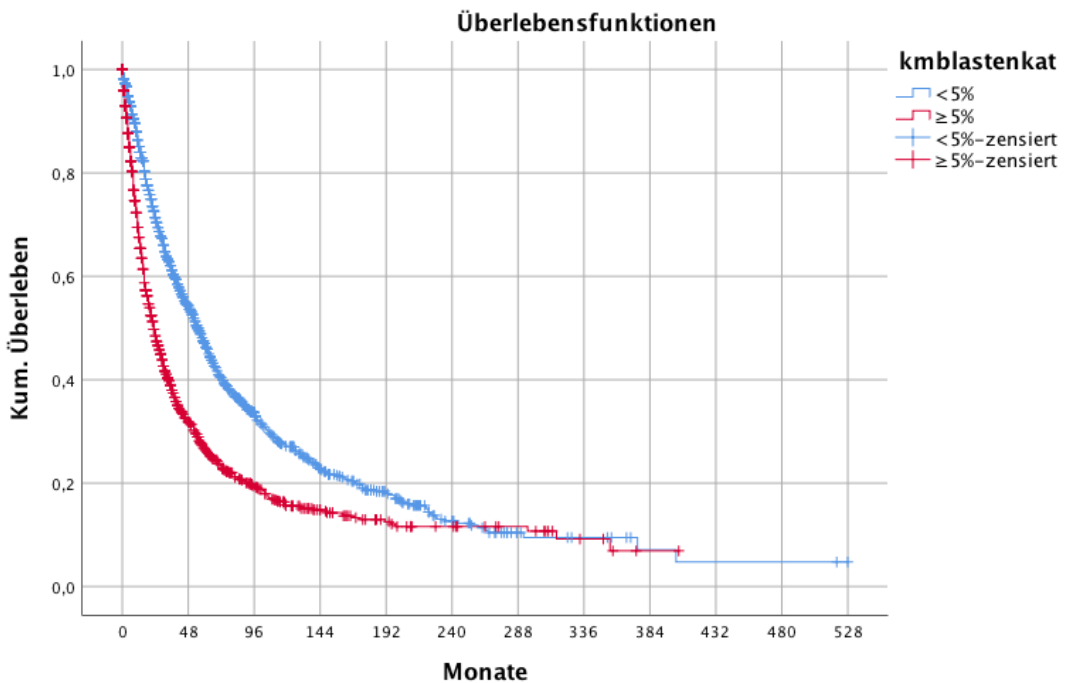


Abb. 13: Kaplan Meier Überlebenskurve nach Blasten im KM  $\geq 5\%$

### 3.2.10 Chromosomensatz bei Erstdiagnose (ED)

Auch für die Einteilung des Chromosomensatzes bei Erstdiagnose in normale versus abnormale Karyotypen ergab sich mit  $p < 0,0005\%$  ein hoch signifikanter Unterschied (s. Abb. 14). So war die Prognose mit im Schnitt 55 Monaten (95% KI 50-60 Monaten) für Patienten mit normalem

Chromosomensatz wesentlich günstiger als ein abnormaler Karyotyp mit durchschnittlich nur 29 Monaten medianer Überlebenszeit (95% KI 26-32 Monate).

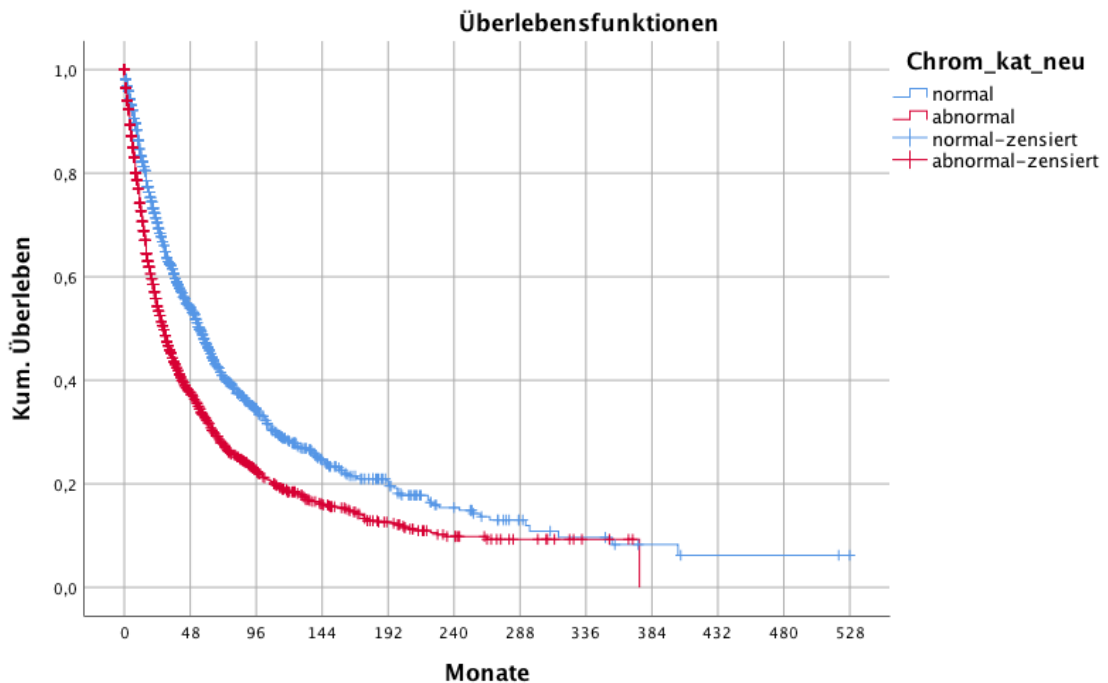


Abb. 14: Kaplan Meier Überlebenskurve nach Chromosomenkategorie bei ED

### 3.2.11 Follow-up

Patienten mit einer Follow-up Untersuchung des Karyotyps wiesen ein medianes Langzeitüberleben von 54 Monaten (95% KI 29-35 Monate) auf, während es für Patienten ohne Follow-up im Median 32 Monate waren (95% KI 29-35 Monate). Dieser Zusammenhang ist mit  $p<0,0005$  hoch signifikant (s. Abb. 15).

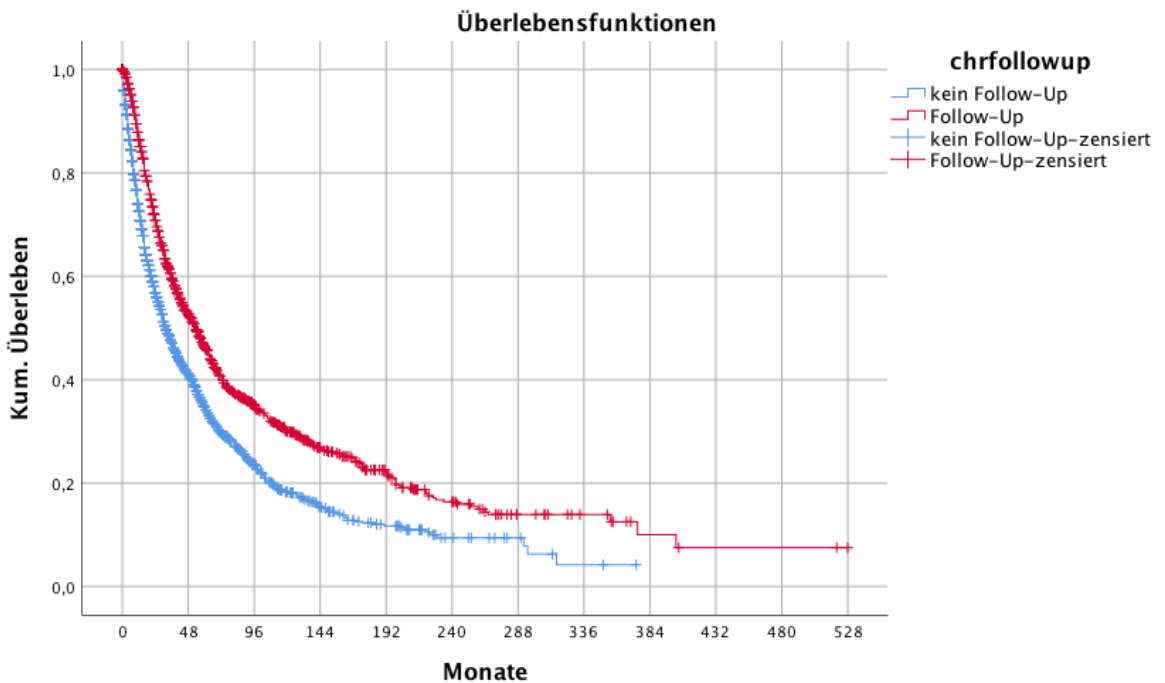


Abb. 15: Kaplan Meier Überlebenskurve nach *Follow-up*

### 3.2.12 IPSS-R

Für Patienten mit der Gruppe *very low* konnte ein medianes Überleben von 73 Monaten (95% KI 42-104 Monate) errechnet werden, während Patienten der höchsten Risikokategorie *very high* im Schnitt nach 11 Monaten verstarben (95% KI 11-23 Monate).

Zusammenfassend ergab sich der hoch signifikante Zusammenhang ( $p<0,0005$ ): je niedriger die Einteilung nach IPSS-R, desto länger das mediane Überleben (s. Abb. 16).

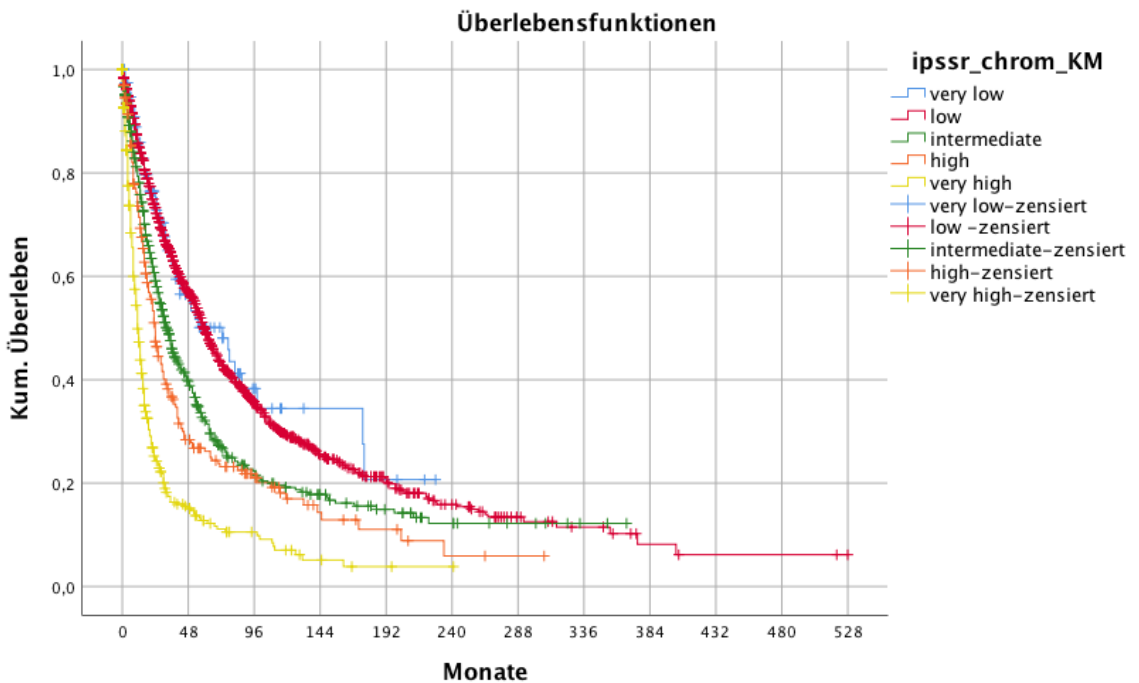


Abb. 16: Kaplan Meier Überlebenskurve nach IPSS-R

### 3.2.13 Weitere Unterteilung der *Intermediate*-Gruppe nach IPSS-R

Bei der Berechnung der medianen Überlebenszeit für die *intermediate* Kategorie nach IPSS-R ergaben sich hoch signifikante ( $p<0,0005$ ) Unterschiede zwischen den fünf neuen Gruppen. So lebten Patienten der Gruppe 5 mit einer Trisomie 11 im Schnitt nur 17 Monate (95% KI 8-26 Monate), während die Gruppen 3 und 4 mit 35 Monaten (95% KI 29-42 Monate) bzw. 22 Monaten (95% KI 18-26 Monate) im Schnitt deutlich später verstarben. Das längste Überleben ergab sich für die Gruppe 2 mit durchschnittlich 47 Monaten (95% KI 34-60 Monate).

Für die Gruppe 1 mit den Aberrationen der(1;7) und Monosomie X konnte keine mediane Überlebenszeit berechnet werden, da zum Zeitpunkt der Analyse weniger als die Hälfte der Patienten verstorben war und der Wert somit noch nicht erreicht werden konnte.

Die Ergebnisse sind dargestellt in Abbildung 17.

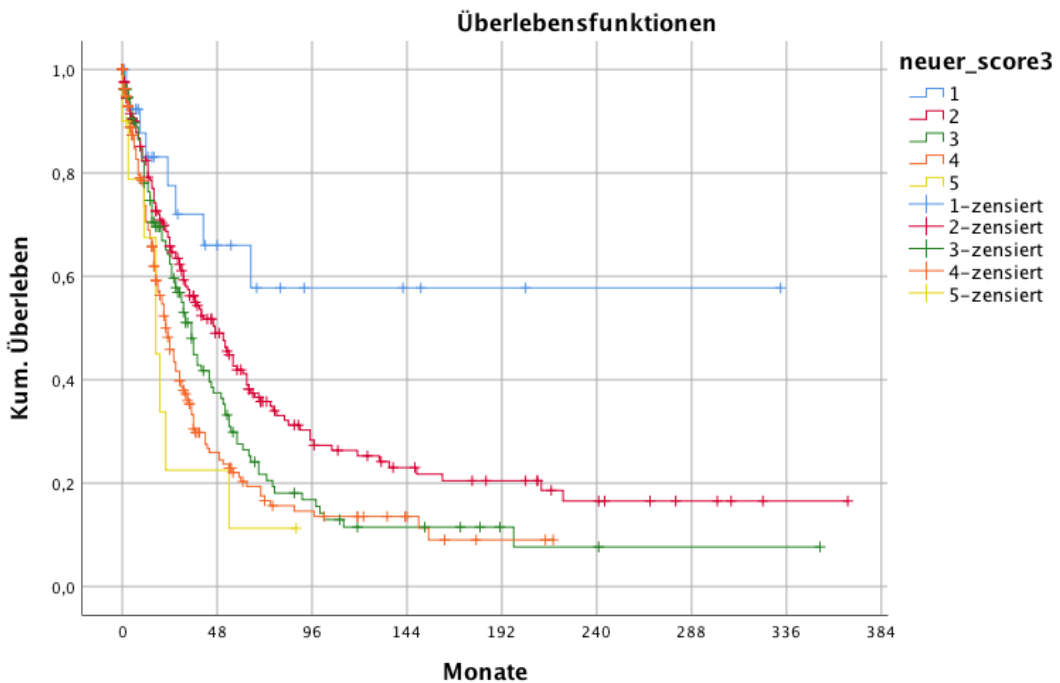


Abb. 17: Kaplan Meier Überlebenskurve der „*intermediate*-Gruppe“ nach neuem Score

### 3.2.14 Einteilung der Karyotypen im Verlauf in drei Gruppen

Für Patienten ohne klonale Evolution konnten im Median 73 Monate (95% KI 56-90 Monate) Überlebenszeit errechnet werden, während Patienten mit einer klonalen Evolution nach durchschnittlich 30 Monaten (95% KI 24-36 Monate) verstarben. Dieser Zusammenhang ist mit  $p<0,005$  signifikant (s. Abb. 18).

Ein signifikanter Unterschied zwischen den Gruppen „ohne klonale Evolution“ und „Zunahme der Klongröße“ konnte mit  $p=0,188$  nicht nachgewiesen werden.

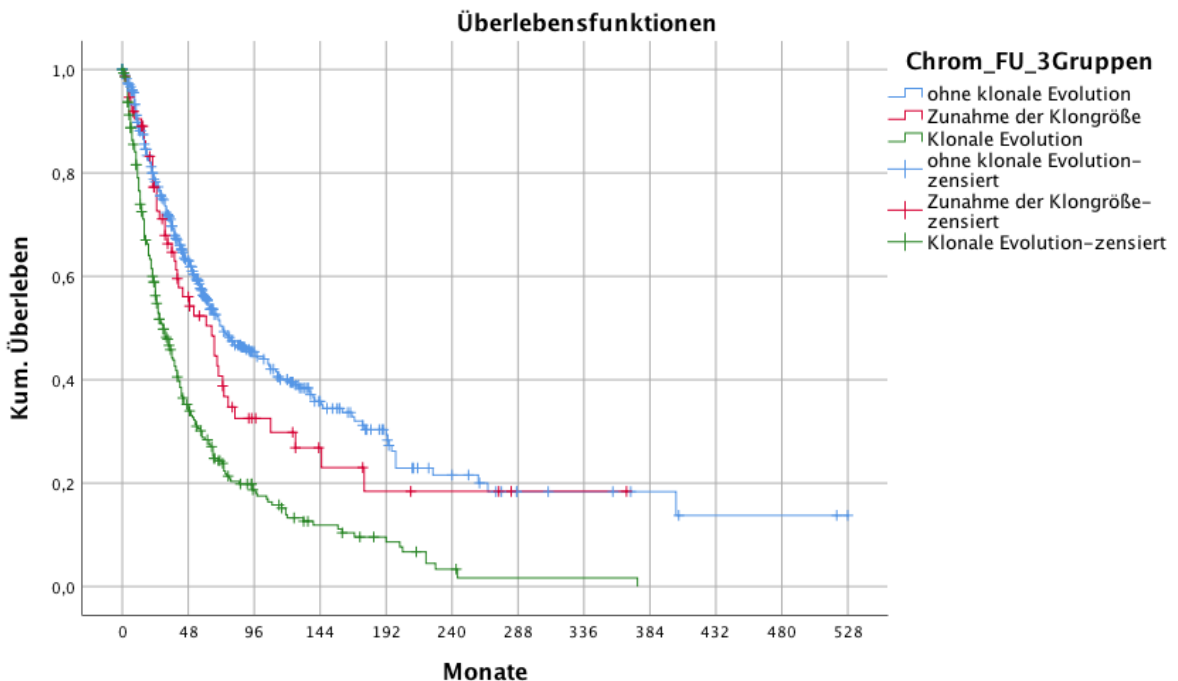


Abb. 18: Kaplan Meier Überlebenskurve nach chromosomalen *Follow-up*-Befunden in drei Gruppen

### 3.2.15 Einteilung der Karyotypen im Verlauf in acht Gruppen

Eine Einteilung in acht Gruppen konnte ein ebenfalls signifikantes Ergebnis erzielen (s. Abb. 19).

Das längste mediane Überleben zeigten dabei die Gruppen „ohne zeitliche Evolution bei normalem Karyotyp“ mit 75 Monaten (95% KI 53-97 Monate) und „normal zu Klon zu Zunahme der Klongröße“ mit 74 Monaten (95% KI 0-149 Monate). Die schlechteste Prognose wiesen Patienten mit bereits komplex veränderten Chromosomensätzen auf – im Schnitt 13 Monate (95% KI 10-16 Monate) – sowie Patienten mit im Verlauf erworbenem komplex aberrantem Karyotyp mit durchschnittlich 19 Monaten (95% KI 1-37 Monaten).

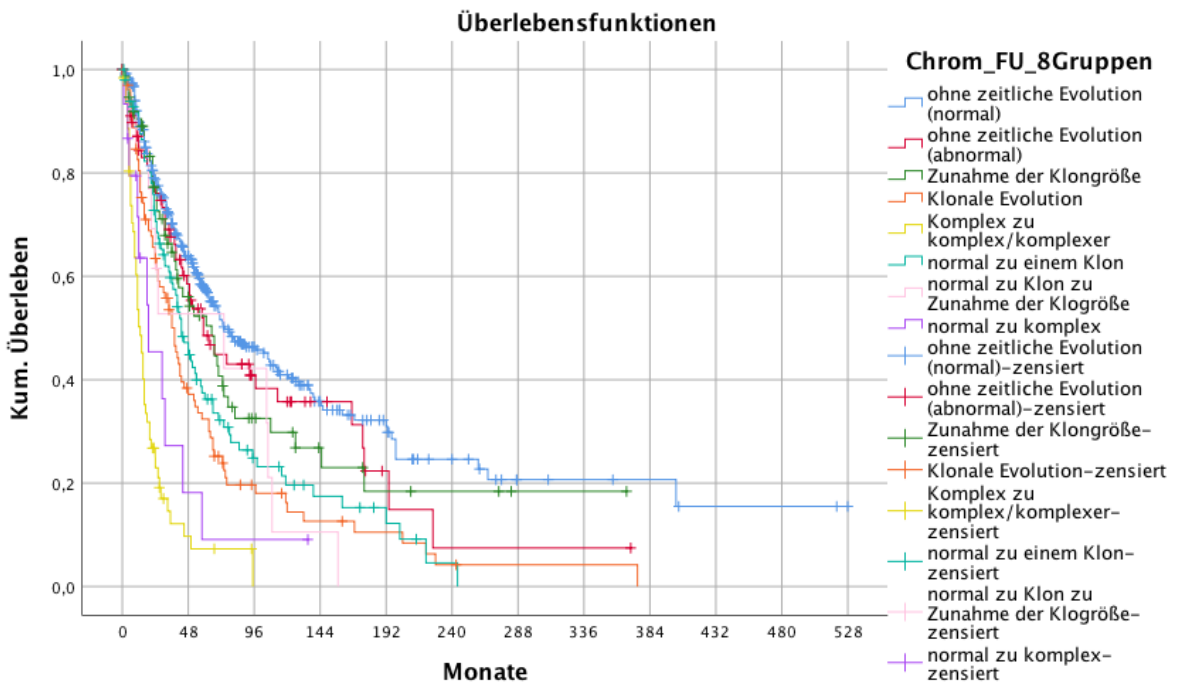


Abb. 19: Kaplan Meier Überlebenskurve nach chromosomalen *Follow-up*-Befunden in acht Gruppen

Tabelle 29: Übersicht Überlebenszeitanalysen

Variable	Kategorien	Häufigkeiten n (%)	Mediane ÜZ in Monaten	95%-KI	p-Wert	Anzahl der Ereignisse
Geschlecht	m	2134 (39,3)	36	32,91-39,08	<0,0005	1295
	w	1457 (43,9)	51	44,56-57,44		818
Alter	<70	2036 (56,7)	51	45,32-56,68	<0,0005	1167
	≥70	1555 (43,3)	31	28,06-33,95		946
Alter in Kategorien	<40	146 (4,1)	292	120,69-463,31	<0,0005	57
	40-50	228 (6,3)	140	83,28-196,73		94
	50-60	545 (15,2)	59	48,87-69,13		311
	60-70	1117 (31,1)	36	32,15-39,85		705
	70-80	1168 (32,5)	32	28,32-35,68		734
	>80	387 (10,8)	25	20,55-29,45		212
WHO 2016	MDS SLD	376 (10,5)	59		<0,0005	176
	MDS RS SLD	130 (3,6)	101			64
	MDS MLD	920 (25,6)	46			522
	MDS RS MLD	125 (3,5)	77			57
	MDS EB 1	461 (12,8)	30			280
	MDS EB 2	560 (15,6)	22			379
	MDS del(5q)	200 (5,6)	74			116
	CMMI o	121 (3,4)	36			73
	CMMI 1	141 (3,9)	28			100
	CMMI 2	79 (2,2)	23			50

	MDS U	61 (1,7)	53			23
	MDS/MPN-RS-T	44 (1,2)	71			23
	RAEB-T	353 (9,8)	15			248
	MDS, andere	12 (0,3)	21			1
	Hypoplastisches MDS	5 (0,1)	Nicht erreicht			1
	ICUS	3 (0,1)	Nicht erreicht			0
Hb g/dl	≤10	1894 (58,8)	28	25,47-30,52	<0,0005	1229
	>10	1327 (41,2)	54	49,22-58,78		731
Granulozyten/µl	≤1800	1358 (51,5)	31	27,86-34,16	<0,0005	913
	>1800	1277 (48,5)	41	36,29-45,71		813
Thrombozyten/µl	≤100.000	1501 (46,7)	25	22,43-27,57	<0,0005	993
	>100.000	1710 (53,3)	53	48,47-57,53		972
LDH U/l	≤200	1132 (42,7)	45	39,30-50,70	<0,0005	728
	>200	1521 (57,3)	30	27,13-32,87		976
Blasten (peripheres Blut) %	0	1704 (70,4)	42	37,64-46,36	<0,0005	1119
	>0	718 (29,6)	19	16,40-21,60		718
Blasten (KM) %	<5	1680 (53,3)	55	50,25-59,75	<0,0005	978
	≥5	1470 (46,7)	23	20,58-25,42		994
Chromosomensatz bei ED	normal	1715 (48,2)	55	50,13-59,88	<0,0005	894
	abnormal	1844 (51,8)	29	26,4-31,60		1202
Chromosomen-kategorie bei ED	normal	1715 (48,2)	55		<0,0005	894
	12p-	12 (0,3)	20			9

	20q-	53 (1,5)	59			30
	5q-	230 (6,5)	73			135
	7q-	32 (0,9)	36			21
	del(11q23)	19 (0,5)	20			13
	del(13q)	1 (0)	Nicht erreicht			0
	inv(3)/t(3;3)	22 (0,6)	24			14
	minus Y	116 (3,3)	77			37
	Trisomie 8	146 (4,1)	22			96
	Diverse 1-2 Aberrationen	665 (18,7)	35			425
	Komplex (=3 Aberrationen)	132 (3,7)	23			96
	Komplex (>3 Aberrationen)	416 (11,7)	11			326
<b>Diverse – neue Ordnung</b>	der(1;7)	13 (1,9)	Nicht erreicht	Nicht erreicht	0,001	4
	Deletion 5q + eine weitere Aberration	49 (7,4)	46	34,97-57,03		37
	Deletion 5q + Trisomie 8	17 (2,5)	56	30,20-81,80		10
	Deletion 9q	10 (1,5)	26	21,84-30,16		7
	Inversion 9 (Normalbefund)	14 (2,1)	49	25,77-72,24		9
	Isochromosom 17	6 (0,9)	21	14,56-27,44		5
	Minus 7	63 (9,5)	24	16,14-31,86		41
	Minus 7 + eine weitere Aberration	53 (8,0)	16	10,64-21,36		39
	Minus X	15 (2,3)	Nicht erreicht	Nicht erreicht		3
	Minus Y + eine weitere Aberration	20 (3,0)	56	45,31-66,69		14
	Trisomie 11	10 (1,5)	17	8,32-25,68		8

	Trisomie 19	7 (1,1)	26	0-70,21		4
	Trisomie 21	10 (1,5)	32	0-70,01		7
	Trisomie 8 + eine weitere Aberration	42 (6,3)	31	11,56-50,45		27
	Weitere Trisomien (außer +11, +19, +21)	30 (4,5)	63	25,88-100,12		16
	+ Markerchromosom	19 (2,9)	18	11,81-24,18		15
	Verlust eines Chromosoms (außer -7, -Y oder -X)	18 (2,7)	75	10,47-139,53		10
	Translokationen, diverse	51 (7,7)	56	20,33-91,67		26
	Sonstige (1 Aberration)	113 (16,9)	33	23,17-42,83		71
	Sonstige (2 Aberrationen)	105 (15,8)	31	21,60-40,40		72
<b>17p und 5q Beteiligung bei komplex (= 3) veränderten Karyotypen</b>	17p	2 (1,5)	8		0,765	2
	del5q	31 (23,5)	24	20,90-27,11		21
	17p und del5q	0				
	17p und del5q nicht betroffen	99 (75)	23	18,98-27,02		73
<b>17p und 5q Beteiligung bei komplex (&gt; 3) veränderten Karyotypen</b>	17p	4 (1,0)	3	0,06-5,94	<0,0005	4
	del5q	142 (34,2)	9	6,07-11,93		115
	17p und del5q	1 (0,2)	11			1
	17p und del5q nicht betroffen	269 (64,6)	13	10,94-15,06		206
<b>17p und 5q Beteiligung bei komplex (= 3) veränderten Karyotypen</b>	del5q	31 (23,8)	24	20,89-27,11	0,491	21
	17p und del5q nicht betroffen	99 (76,2)	23	18,98-27,02		73
<b>17p und 5q Beteiligung bei komplex (&gt; 3) veränderten Karyotypen</b>	del5q	142 (34,5)	9	6,07-11,93	<0,0005	115
	17p und del5q nicht betroffen	269 (65,5)	13	10,94-15,06		206

<b>17p und 5q Beteiligung bei komplex (<math>\geq 3</math>) veränderten Karyotypen</b>	del5q	173 (32,0)	11	8,02-13,98	0,001	136
	17p und del5q nicht betroffen	368 (68,0)	16	13,55-18,45		279
<b>Follow-up</b>	ohne Follow-up	2315 (64,5)	32	28,94-35,06	<0,0005	1304
	mit Follow-up	1276 (35,5)	54	48,42-59,58		809
<b>IPSS-R</b>	<i>Very low</i>	133 (4,1)	73	41,56-104,44	<0,0005	51
	<i>Low</i>	1862 (57,8)	60	55,72-64,28		981
	<i>Intermediate</i>	561 (17,4)	33	28,54-37,46		348
	<i>High</i>	265 (8,2)	24	21,09-26,91		184
	<i>Very high</i>	400 (12,5)	11	9,49-12,51		311
<b>CPSS</b>	<i>Low</i>	219 (65,0)	36	28,52-43,48	0,001	136
	<i>Intermediate</i>	49 (14,5)	33	11,40-54,60		33
	<i>High</i>	69 (20,5)	17	11,11-22,89		52
<b>Neue Unterteilung Intermediate-Gruppe nach IPSS-R</b>	Gruppe 1: der(1;7); -X	29 (4,8)	Nicht erreicht	Nicht erreicht	<0,0005	8
	Gruppe 2: Sonstige (1 Aberration); -Y + eine weitere Aberration	214 (35,1)	47	33,90-60,11		126
	Gruppe 3: Del(7q); +21; Sonstige (2 Aberrationen)	135 (22,1)	35	28,81-41,19		93
	Gruppe 4: +8; +19; i(17q); +mar; del(9q); +8 + eine weitere Aberration	222 (36,4)	22	18,10-25,91		148
	Gruppe 5: +11	10 (1,6)	17	8,32-25,68		8
<b>Einteilung der Karyotypen im Verlauf in drei Gruppen</b>	Ohne klonale Evolution	457 (55,7)	73	56,26-89,74	<0,005	240
	Zunahme der Klongröße	75 (9,1)	65	39,67-90,34		45
	Klonale Evolution	289 (35,2)	30	24,09-35,91		232

<b>Einteilung der Karyotypen im Verlauf in acht Gruppen</b>	Ohne zeitliche Evolution (normal)	378 (46,0)	75	53,12-96,88	<0,005	193
	Ohne zeitliche Evolution (abnormal)	79 (9,6)	59	38,43-79,57		47
	Zunahme der Klongröße	75 (9,1)	65	39,67-90,34		45
	Klonale Evolution	100 (12,2)	38	30,06-45,94		81
	Komplex zu komplex/komplexer	62 (7,6)	13	9,85-16,15		54
	Normal zu einem Klon	99 (12,1)	43	35,12-50,98		75
	Normal zu Klon, zu Zunahme der Klongröße	13 (1,6)	74	0-148,65		11
	Normal zu komplex	15 (1,8)	19	1,44-36,56		11

### 3.3 Übergang in eine AML

Die Analyse des Risikos, im Verlauf eine AML zu entwickeln, ergab signifikante Ergebnisse, die nachfolgend dargestellt werden. Eine Aufstellung aller Ergebnisse in Bezug auf den prozentualen Anteil der Patienten mit einer AML nach zwei und fünf Jahren findet sich am Schluss dieses Kapitels in Tabelle 30.

#### 3.3.1 Gesamte Kohorte

Von insgesamt 3.591 Patienten erlitten im Laufe ihrer Erkrankung 911 Patienten einen Progress in eine AML. Nach zwei Jahren lag der Anteil der Patienten mit einer Leukämie bei 24,4% und nach fünf Jahren bei 33,4%. Die mediane Zeit bis zum AML-Progress konnte nicht errechnet werden, da zum Zeitpunkt der Datenanalyse weniger als die Hälfte der Patienten einen Progress erlitten hatten und der Wert somit noch nicht erreicht wurde (s. Abb. 20).

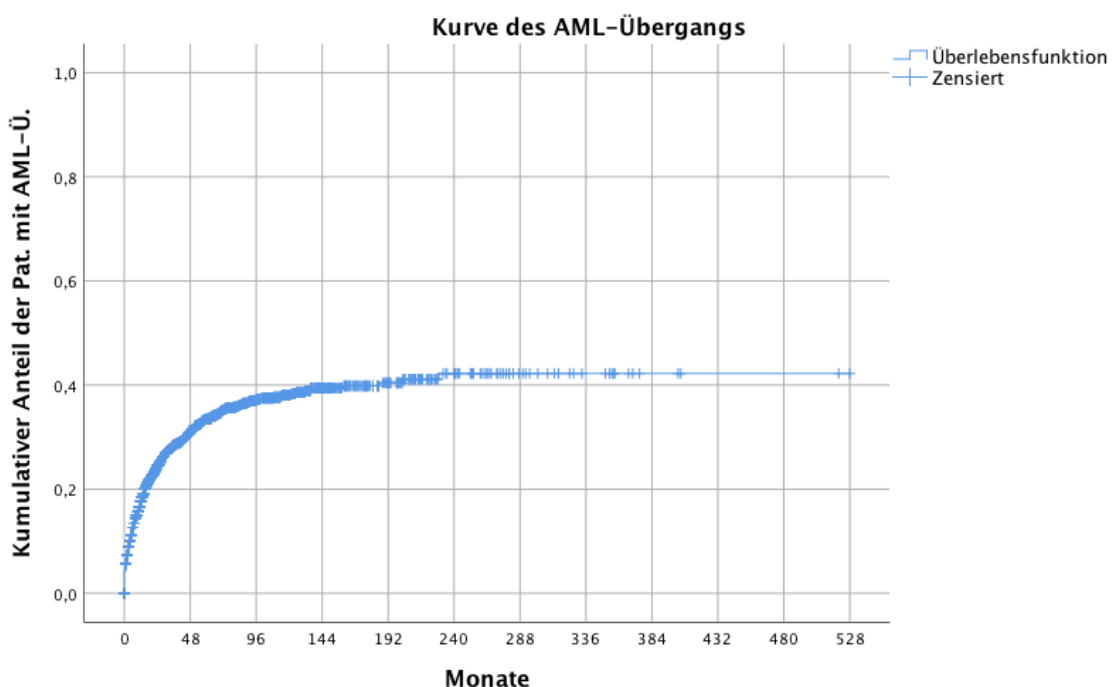
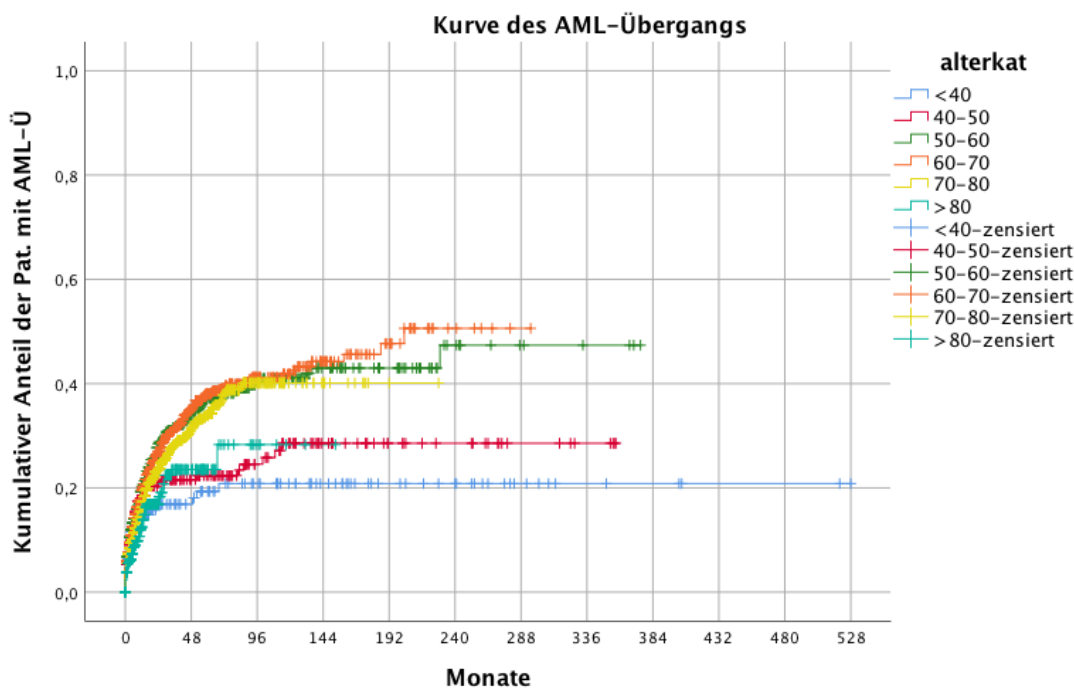


Abb. 20: Kaplan Meier Kurve des AML-Übergangs der gesamten Kohorte

#### 3.3.2 Alter in Kategorien

Vor allem Patienten der Altersgruppen 50-60 Jahre, 60-70 Jahre und 70-80 Jahre erlitten im Verlauf überdurchschnittlich häufig einen Progress ihrer Erkrankung. Nach zwei Jahren lag ihr Anteil bei 23,5-28,8% und nach fünf Jahren bei 33,9-38,0% während bei jüngeren Patienten und solchen über 80 Jahren nach zwei Jahren nur zu 16,8-20,9% und nach fünf Jahren zu 19,3-23,5% ein Progress nachzuweisen war. Dieser Zusammenhang war mit  $p < 0,0005$  hoch signifikant (s. Abb. 21).



**Abb. 21:** Kaplan Meier Kurve des AML-Übergangs nach Alter in Kategorien <40, 40-50, 50-60, 60-70, 70-80, >80

### 3.3.3 Hämoglobin (Hb)

Für Patienten mit einem Hämoglobin-Wert von 10g/dl oder weniger war das Risiko, im Krankheitsverlauf eine AML zu entwickeln, hoch signifikant ( $p<0,0005$ ) höher als für Patienten mit Werten über 10g/dl. Nach zwei Jahren hatten 28,7% der Patienten mit niedrigem Hb einen Progress erlitten, während es nach fünf Jahren 36,4% waren. Für Patienten mit niedrigem Hb entsprach der Anteil mit einem Leukämie-Übergang nach zwei Jahren 19,3% und nach 5 Jahren 29,7%. Dieser Zusammenhang ist dargestellt in Abbildung 22.

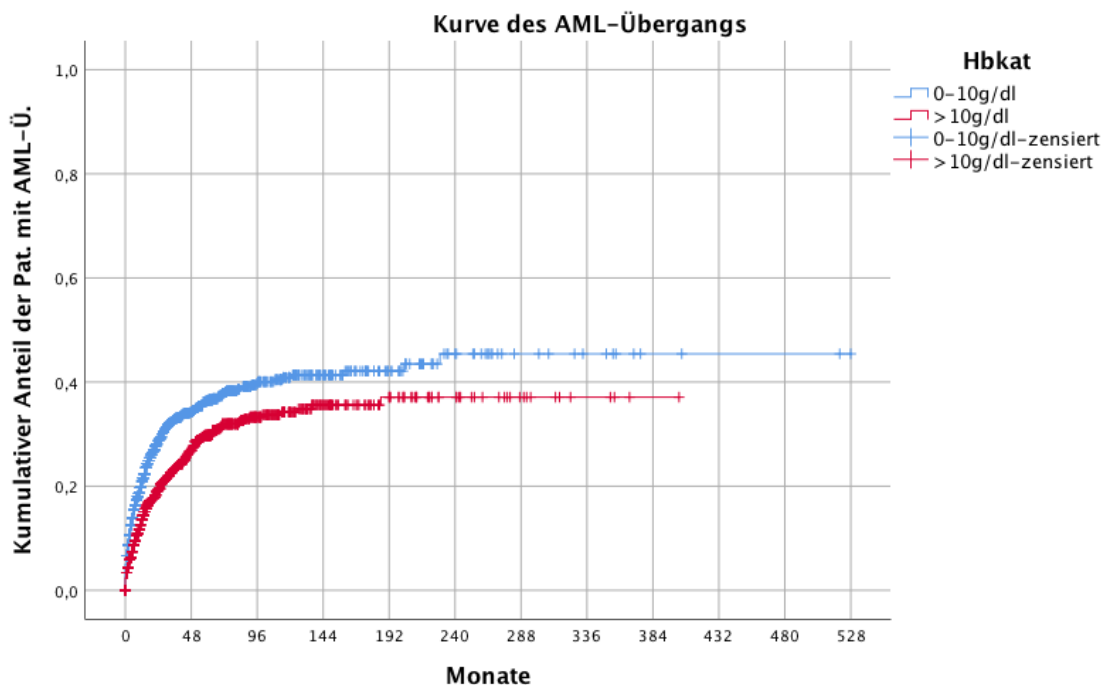


Abb. 22: Kaplan Meier Kurve des AML-Übergangs nach  $\text{Hb} \geq 10\text{g/dl}$

### 3.3.4 Granulozyten

Auch die Anzahl der neutrophilen Granulozyten hat einen hoch signifikanten Einfluss auf das Risiko, einen AML-Progress zu erleiden ( $p<0,0005$ ). So lag der Anteil der Patienten mit Werten gleich oder unter 1800 Granulozyten pro Mikroliter nach zwei Jahren bei 32,5% und nach 42,3%, während es für Patienten mit Werten darüber lediglich 18,3% nach zwei Jahren und 27,1% nach fünf Jahren waren.

Die mediane Zeit bis zu einem Progress lag für Patienten mit niedrigen Granulozytenwerten bei 229 Monaten. Diese Ergebnisse sind dargestellt in Abbildung 23.

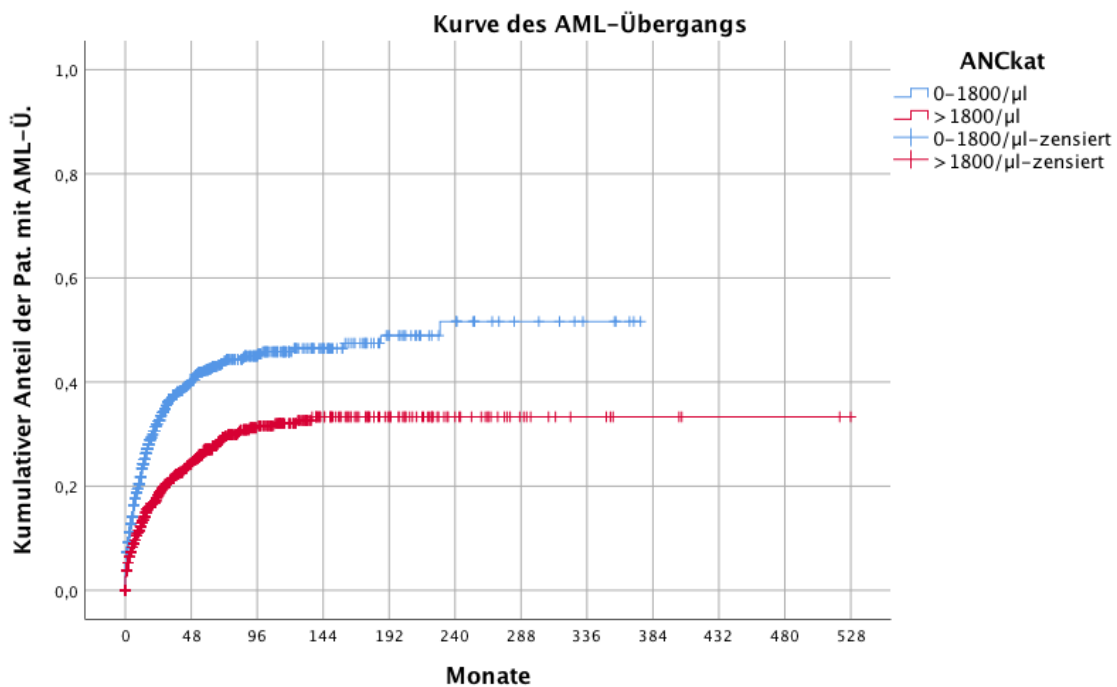


Abb. 23: Kaplan Meier Kurve des AML-Übergangs nach Granulozyten  $\geq 1800/\mu\text{l}$

### 3.3.5 Thrombozyten

Bei Patienten mit Werten unter 100.000 Thrombozyten pro Mikroliter konnte nach zwei Jahren zu 30,7% und nach fünf Jahren zu 39,5% ein Progress in eine Leukämie nachgewiesen werden, während es bei Patienten mit Werten darüber nach zwei Jahren nur bei 19,9% und nach fünf Jahren nur nach 29% zu einem Progress kam. Dieser Zusammenhang ist mit  $p < 0,0005$  ebenfalls hoch signifikant (s. Abb. 24).

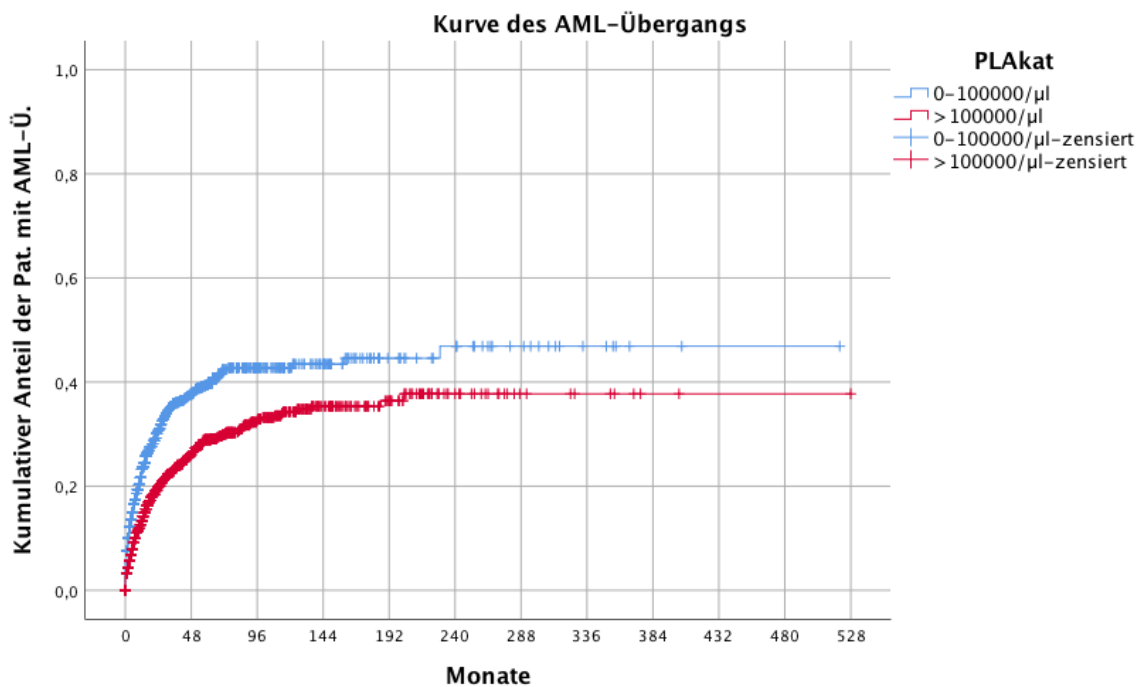


Abb. 24: Kaplan Meier Kurve des AML-Übergangs nach Thrombozyten  $\geq 100000/\mu\text{l}$

### 3.3.6 LDH

Auch für die Gruppen mit niedrigen und hohen LDH-Werten bei einem Grenzwert von 200U/l konnte ein hoch signifikanter Unterschied gefunden werden (s. Abb. 25). Dabei war die Prognose für Patienten mit niedrigen Werten mit einem Übergang in eine AML von 21,7% nach zwei Jahren und 30,2% nach fünf Jahren besser, als für Patienten mit hohen LDH-Werten, bei denen der Anteil nach zwei Jahren bei 30,0% und nach fünf Jahren bei 39,8% lag.

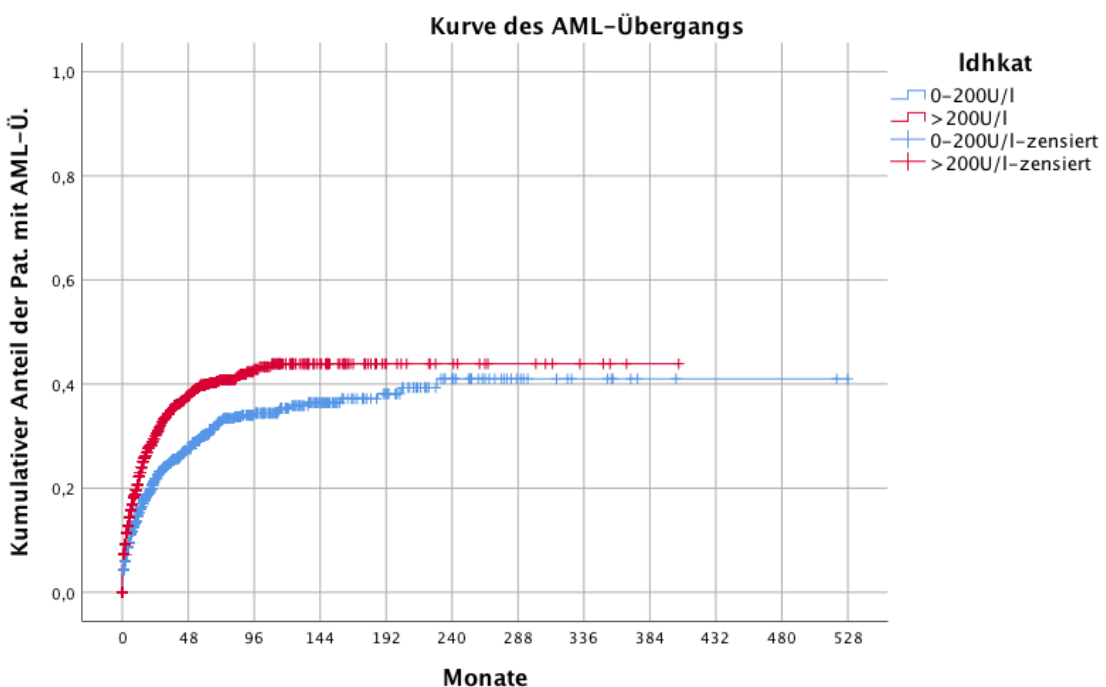


Abb. 25: Kaplan Meier Kurve des AML-Übergangs nach LDH  $\geq 200\text{U/l}$

### 3.3.7 Blasten peripheres Blut und Knochenmark

Für sowohl den prozentualen Anteil der Blasten im peripheren Blut als auch im Knochenmark ergab sich mit  $p<0,0005$  ein hoch signifikanter Zusammenhang zum Risiko, einen AML-Progress zu erleiden (s. Abb. 26 und 27).

So waren nach zwei Jahren 44,8% der Patienten mit erhöhtem Anteil peripherer Blasten und 42,2% mit erhöhtem Blastenanteil im Knochenmark an einer AML erkrankt, während es bei Patienten mit normalem Anteil der Blasten nur 19,7% (PB) bzw. 11,5% (KM) waren. Nach fünf Jahren entsprach der Anteil 53,8% (PB) und 53,4% (KM) bei erhöhten Werten versus normalen Befunden mit 28,4% (PB) und 19,9% (KM).

Die mediane Zeit bis zum AML-Progress entsprach bei erhöhtem Blastenanteil über 0% im peripheren Blut 37 Monate (95% KI 18-56 Monate) sowie 48 Monate (95% KI 37-59 Monate) bei erhöhtem Blastengehalt über 5% im Knochenmark.

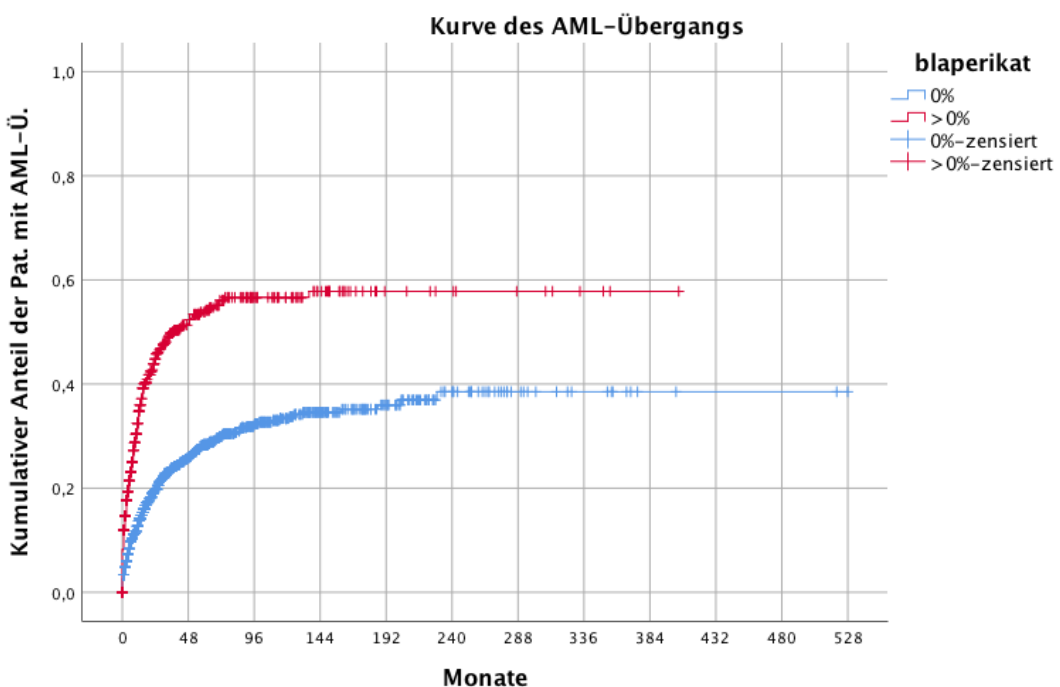


Abb. 26: Kaplan Meier Kurve des AML-Übergangs nach Blasten im PB  $\geq 0\%$

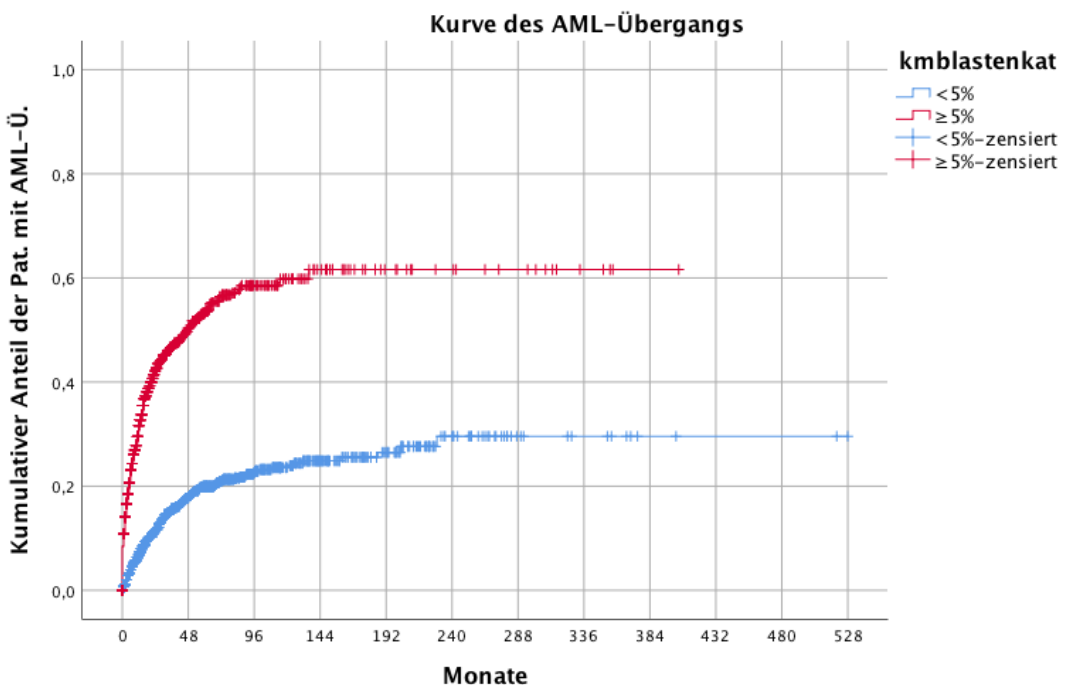


Abb. 27: Kaplan Meier Kurve des AML-Übergangs nach Blasten im KM  $\geq 5\%$

### 3.3.8 Chromosomensatz bei Erstdiagnose (ED)

Patienten mit normalem Chromosomensatz bei Erstdiagnose erlitten nach zwei (18,4%) und fünf Jahren (26,8%) wesentlich seltener einen Progress in eine AML als Patienten mit abnormalem Karyotyp. In der zweiten Gruppe lag der prozentuale Anteil nach zwei Jahren bei

30,4% und nach fünf Jahren bei 39,6%. Dieser Zusammenhang ist in Abbildung 28 dargestellt und mit  $p < 0,0005$  hoch signifikant.

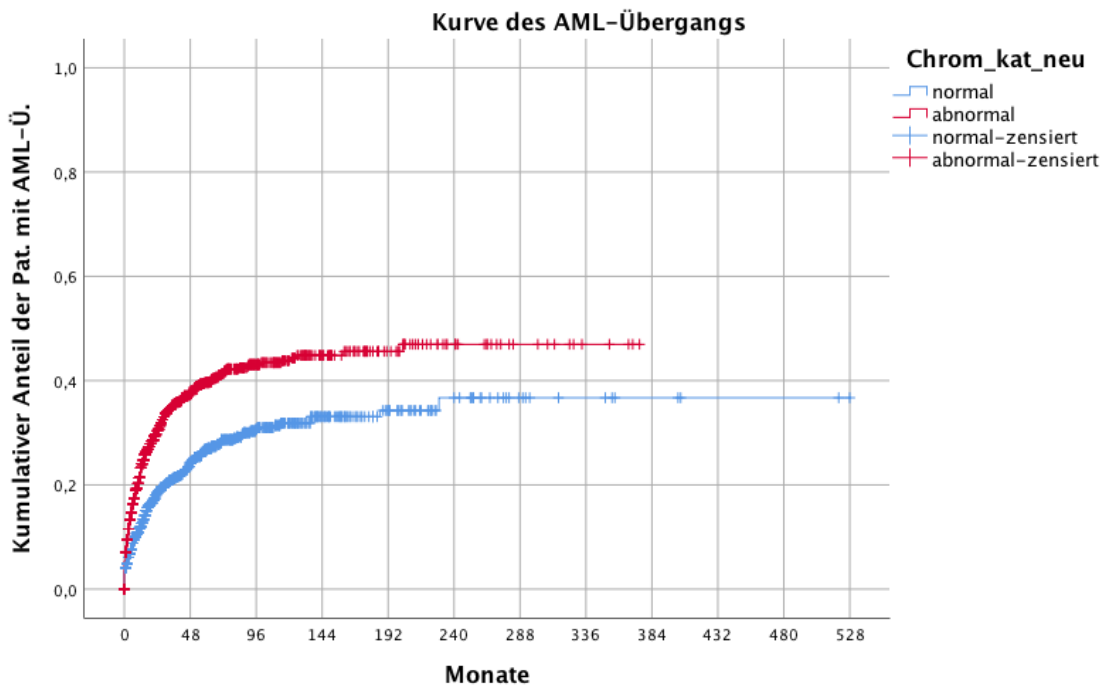


Abb. 28: Kaplan Meier Kurve des AML-Übergangs nach Chromosomensatz bei ED

### 3.3.9 Follow-up

Von allen Patienten mit einer *Follow-up* Untersuchung des Karyotyps erlitten nach zwei Jahren 22,4% und nach 5 Jahren 29,7% einen Progress in eine AML, während es für Patienten ohne *Follow-up* nach 2 Jahren 27,5% und nach fünf Jahren 37,8% waren. Dieser Zusammenhang ist mit  $p=0,001$  signifikant (s. Abb. 29).

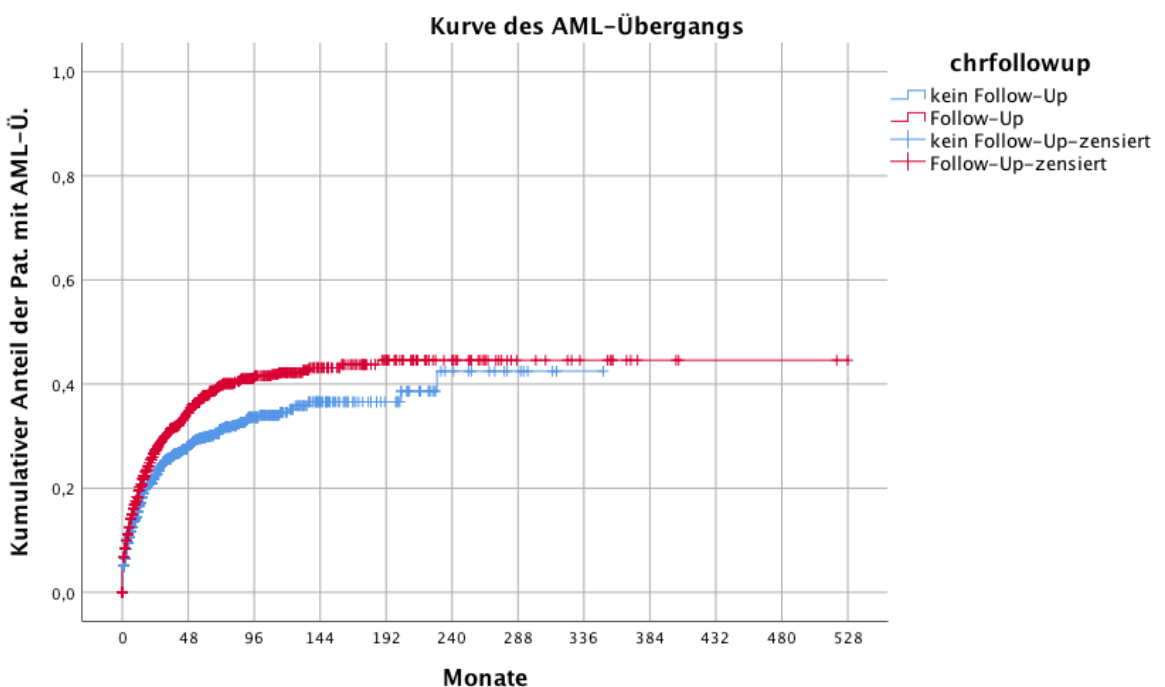


Abb. 29: Kaplan Meier Kurve des AML-Übergangs nach *Follow-up*

### 3.3.10 IPSS-R

Auch für den IPSS-R konnte mit  $p<0,0005$  ein hoch signifikanter Zusammenhang zum AML-Progress nachgewiesen werden. Je höher die Einteilung im Prognosescore war, desto höher auch das Risiko, im Verlauf der Erkrankung einen Progress zu erleiden (s. Abb. 30).

Bei Patienten der Risikogruppe *low* lag der Anteil nach zwei Jahren bei 5,6% und nach fünf Jahren bei 18,1%, während es bei Patienten der höchsten Risikogruppe *very high* nach zwei Jahren bei 53,2% und nach fünf Jahren bei 63,7% zu einem Übergang in eine Leukämie kam.

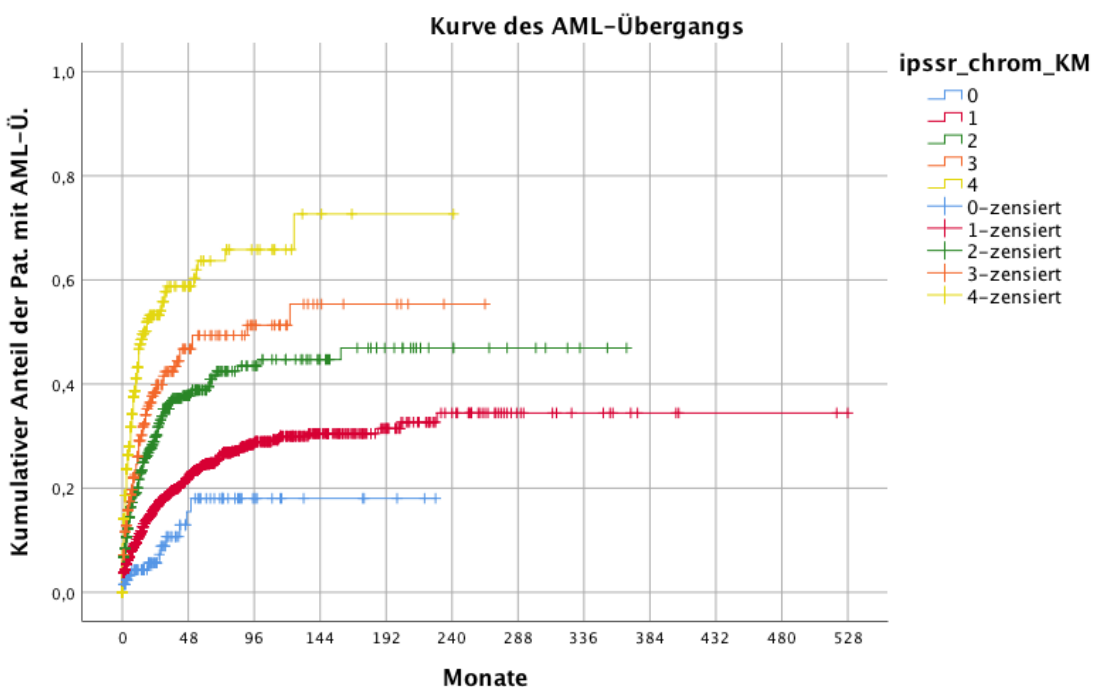


Abb. 30: Kaplan Meier Kurve des AML-Übergangs nach IPSS-R

### 3.3.11 Weitere Unterteilung der *Intermediate*-Gruppe nach IPSS-R

Am besten schnitten Patienten der Gruppe 1 mit einem Anteil von nur 10,6% AML-Übergängen nach zwei und fünf Jahren ab, während der Anteil der Patienten mit Progress in eine Leukämie bei Gruppe 5 schon nach zwei Jahren 100% betrug. Die Gruppen 2, 3 und 4 lagen mit 25,1-36,7% nach zwei Jahren und 30,6-47,8% nach fünf Jahren im Mittelfeld.

Da lediglich die Gruppen 3 und 5 den Median schneiden, konnte nur hier eine gemittelte Zeit bis zum AML-Progress berechnet werden. Diese lag für Gruppe 3 bei 69 Monaten (95% KI 18-120 Monate) und für Gruppe 5 bei nur 11 Monaten (95% KI 2-20 Monate).

Diese Unterschiede sind mit  $p<0,0005$  hoch signifikant. Diese Ergebnisse sind dargestellt in Abbildung 31.

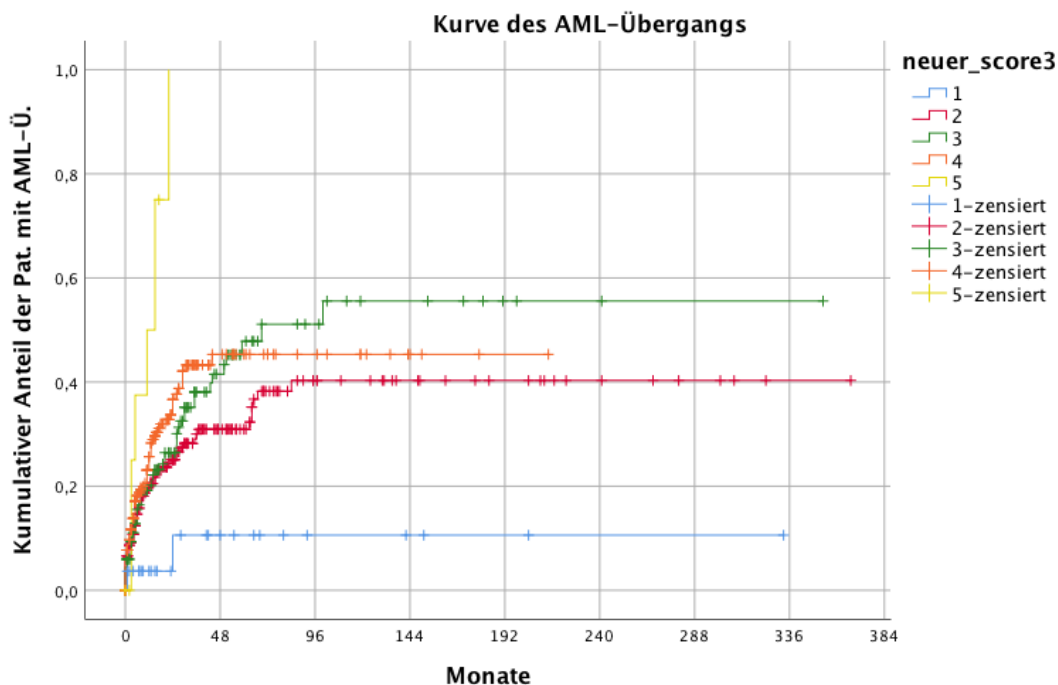


Abb. 31: Kaplan Meier Kurve des AML-Übergangs der „Intermediate-Gruppe“ nach neuem Score

### 3.3.12 Einteilung der Karyotypen im Verlauf in drei Gruppen

Auch für die Einteilung der Karyotypen im Verlauf konnte ein hoch signifikanter Zusammenhang nachgewiesen werden ( $p<0,0005$ ). So lag der Anteil der Patienten mit Progress in eine Leukämie bei den Gruppen „ohne klonale Evolution“ und „Zunahme der Klongröße“ bei 18,2% bzw. 9,5% nach zwei Jahren und 25,6% bzw. 14,4% nach fünf Jahren.

Der Unterschied zwischen der Gruppe „ohne klonale Evolution“ und „Zunahme der Klongröße“ ist mit  $p=0,037$  signifikant.

Patienten mit klonaler Evolution erlitten im Median nach 47 Monaten einen Progress in eine AML (95% KI 31-63 Monate). Der prozentuale Anteil lag nach zwei Jahren bei 37% und nach fünf Jahren bei 53,9% (s. Abb. 32).

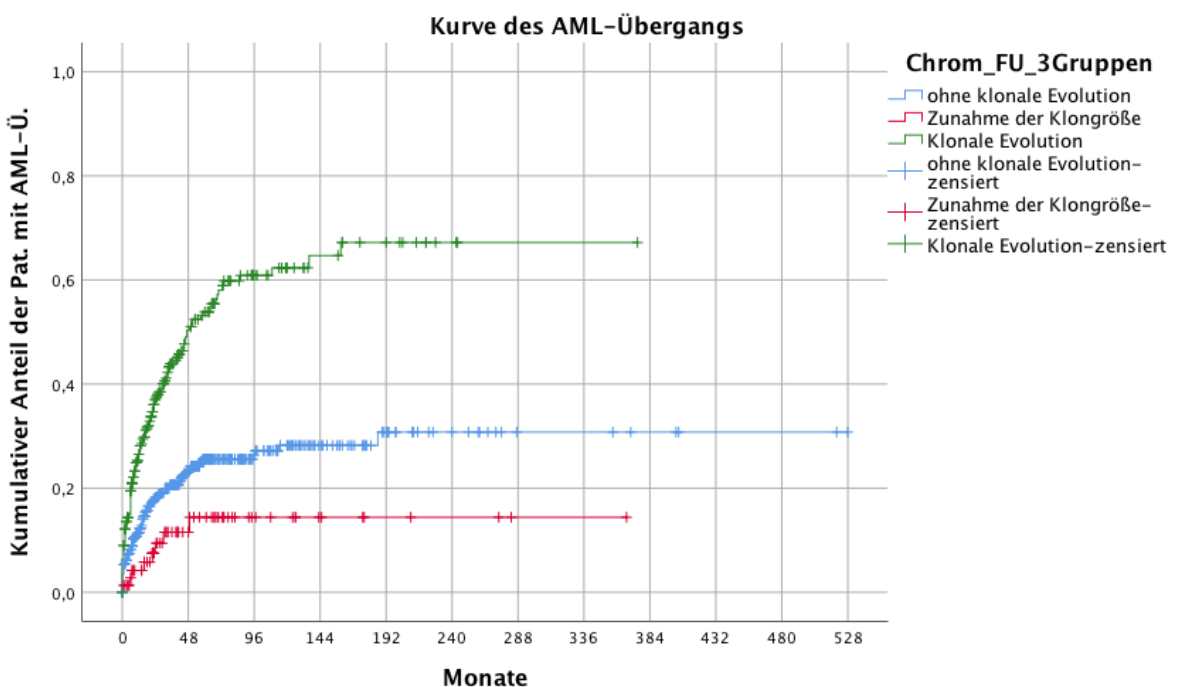


Abb. 32: Kaplan Meier Kurve des AML-Übergangs nach chromosomalen *Follow-up*-Befunden in drei Gruppen

### 3.3.13 Einteilung der Karyotypen im Verlauf in acht Gruppen

Ein niedriges Risiko, im Verlauf an einer AML zu erkranken, hatten Patienten der Gruppen „ohne zeitliche Evolution (normal)“, „ohne zeitliche Evolution (abnormal)“ und „Zunahme der Klongröße“ (s. Abb. 33). Der prozentuale Anteil der Leukämie-Übergänge lag dabei nach zwei Jahren zwischen 9,1-20% und nach fünf Jahren zwischen 14,4-26,5%. Für diese drei Gruppen konnte keine mediane Zeit bis zu einem AML-Progress berechnet werden.

Prognostisch etwas schlechter verhielten sich die prozentualen Anteile bei den Gruppen „klonale Evolution“, „normal zu einem Klon“ und „Normal zu Klon zu Zunahme der Klongröße“.

Das höchste Risiko für einen AML-Progress hatten Patienten mit im Verlauf neu komplex-aberranten Karyotypen bei initial normalem Befund sowie Patienten mit bereits initial komplex aberranten Chromosomensätzen. Hier lag der Anteil nach zwei Jahren zwischen 41,6-62,8% und nach fünf Jahren sogar bei 62,8-80,2%.

Die niedrigste Zeit bis zu einem Leukämie-Übergang hatten Patienten mit initial komplex aberranten Karyotypen – im Schnitt 10 Monate (95% KI 4-16 Monate). Die höchste Dauer lag bei der Gruppe „normal zu einem Klon“ mit durchschnittlich 70 Monaten vor (95% KI 6-134 Monate).

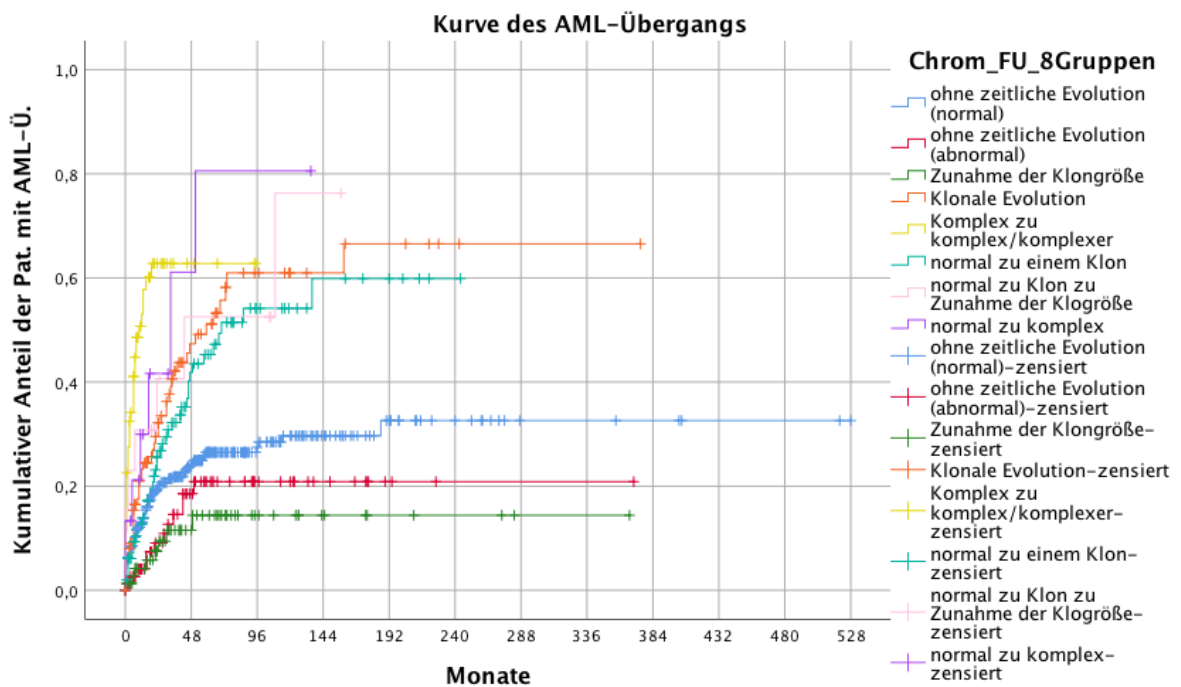


Abb. 33: Kaplan Meier Kurve des AML-Übergangs nach chromosomalen *Follow-up*-Befunden in acht Gruppen

Tabelle 30: Übersicht AML-Übergang

Variable	Kategorien	Häufigkeiten n (%)	AML- Übergang nach 2 Jahren in %	AML- Übergang nach 5 Jahren in %	Mediane Zeit bis AML-Ü. (95%KI)	p-Wert	Anzahl Ereignisse
Geschlecht	m	2134 (39,3)	25,2	35,4		0,075	557
	w	1457 (43,9)	24,0	31,1			354
Alter	<70	2036 (56,7)	26,0	35,0		0,159	576
	≥70	1555 (43,3)	22,1	32,3			335
Alter in Kategorien	<40	146 (4,1)	16,9	19,3		<0,005	25
	40-50	228 (6,3)	20,9	22,4			50
	50-60	545 (15,2)	28,8	37,2			172
	60-70	1117 (31,1)	27,0	38,0	203		329
	70-80	1168 (32,5)	23,5	33,9			281
	>80	387 (10,8)	16,8	23,5			54
WHO 2016	MDS SLD	376 (10,5)	10,0	23,1		<0,0005	56
	MDS RS SLD	130 (3,6)	5,0	9,0			10
	MDS MLD	920 (25,6)	12,7	21,0			134
	MDS RS MLD	125 (3,5)	10,0	14,0			13
	MDS EB 1	461 (12,8)	25,7	39,5			121
	MDS EB 2	560 (15,6)	45,8	56,0			230
	MDS del(5q)	200 (5,6)	5,3	15,0			26
	CMMI 0	121 (3,4)	22,0	31,1			25

	CMMI 1	141 (3,9)	23,0	34,1			35
	CMMI 2	79 (2,2)	48,0	61,4			33
	MDS U	61 (1,7)	8,3	22,4			8
	MDS/MPN-RS-T	44 (1,2)	3,0	10,2			4
	RAEB-T	353 (9,8)					
	MDS andere	12 (0,3)	12,5	Nicht erreicht			1
	Hypoplastisches MDS	5 (0,1)	Nicht erreicht	Nicht erreicht			0
	ICUS	3 (0,1)	0	0			0
Hb g/dl	≤10	1894 (58,8)	28,7	36,4		<0,0005	521
	>10	1327 (41,2)	19,3	29,7			301
Granulozyten/µl	≤1800	1358 (51,5)	32,5	42,3	229	<0,0005	447
	>1800	1277 (48,5)	18,3	27,1			271
Thrombozyten/µl	≤100.000	1501 (46,7)	30,7	39,5		<0,0005	431
	>100.000	1710 (53,3)	19,9	29,0			388
LDH U/l	≤200	1132 (42,7)	21,7	30,2		<0,0005	277
	>200	1521 (57,3)	30,0	39,8			448
Blasten (peripheres Blut) %	0	1704 (70,4)	19,7	28,4		<0,0005	385
	>0	718 (29,6)	44,8	53,8	37 (18,38-55,62)		304
Blasten (KM) %	<5	1680 (53,3)	11,5	19,9		<0,0005	249
	≥5	1470 (46,7)	42,2	53,4	48 (37,12-58,88)		590
Chromosomen-satz bei ED	normal	1715 (48,2)	18,4	26,8		<0,0005	345
	abnormal	1844 (51,8)	30,4	39,6			555

Chromosomen-kategorie bei ED	normal	1715 (48,2)	18,4	26,8		<0,0005	345
	12p-	12 (0,3)	41,8	53,4			5
	20q-	53 (1,5)	19,8	23,0			10
	5q-	230 (6,5)	9,0	18,0			39
	7q-	32 (0,9)	28,6	49,1			11
	del(11q23)	19 (0,5)	34,4	34,4			4
	del(13q)	1 (0)	Nicht erreicht	Nicht erreicht			0
	inv(3)/t(3;3)	22 (0,6)	37,0	37,0			7
	minus Y	116 (3,3)	3,0	17,1			9
	Trisomie 8	146 (4,1)	35,3	44,1			44
	Diverse 1-2 Aberrationen	665 (18,7)	28,5	38,8			198
	Komplex (=3 Aberrationen)	132 (3,7)	37,8	45,2			47
	Komplex (>3 Aberrationen)	416 (11,7)	53,4	63,5			181
Diverse – neue Ordnung	der(1;7)	13 (1,9)	0	0		<0,0005	0
	Deletion 5q + eine weitere Aberration	49 (7,4)	21,9	29,3			12
	Deletion 5q + Trisomie 8	17 (2,5)	6,7	20,0			2
	Deletion 9q	10 (1,5)	35,2	Nicht erreicht			4
	Inversion 9 (Normalbefund)	14 (2,1)	16,7	16,7			3
	Isochromosom 17	6 (0,9)	0	100			1
	Minus 7	63 (9,5)	42,4	54,2			21
	Minus 7 + eine weitere Aberration	53 (8,0)	49,7	60,0			24

	Minus X	15 (2,3)	23,1	23,1			2
	Minus Y + eine weitere Aberration	20 (3,0)	16,9	23,3			5
	Trisomie 11	10 (1,5)	100	100			7
	Trisomie 19	7 (1,1)	0	33,3			1
	Trisomie 21	10 (1,5)	48,6	48,6			5
	Trisomie 8 + eine weitere Aberration	42 (6,3)	38,5	38,5			13
	Weitere Trisomien (außer +11, +19, +21)	30 (4,5)	24,5	37,4			10
	+ Markerchromosom	19 (2,9)	56,1	56,1			8
	Verlust eines Chromosoms (außer -7, -Y oder -X)	18 (2,7)	16,7	27,1			5
	Translokationen, diverse	51 (7,7)	24,5	35,8			17
	Sonstige (1 Aberration)	113 (16,9)	25,8	29,6			26
	Sonstige (2 Aberrationen)	105 (15,8)	21,9	46,5			32
<b>17p und 5q Beteiligung bei komplex (= 3) veränderten Karyotypen</b>	17p	2 (1,5)	Nicht erreicht	Nicht erreicht	0,634	0	
	del5q	31 (23,5)	39,7	45,1		12	
	17p und del5q	0				0	
	17p und del5q nicht betroffen	99 (75)	37,7	47,2		35	
<b>17p und 5q Beteiligung bei komplex (&gt; 3) veränderten Karyotypen</b>	17p	4 (1,0)	Nicht erreicht	Nicht erreicht	0,546	1	
	del5q	142 (34,2)	59,7	64,7		63	
	17p und del5q	1 (0,2)	Nicht erreicht	Nicht erreicht		0	
	17p und del5q nicht betroffen	269 (64,6)	51,2	61,8		117	

<b>17p und 5q Beteiligung bei komplex (= 3) veränderten Karyotypen</b>	del5q	31 (23,8)	39,7	45,1	91 (10,76-171,24)	0,949	12
	17p und del5q nicht betroffen	99 (76,2)	37,7	47,2			35
<b>17p und 5q Beteiligung bei komplex (&gt; 3) veränderten Karyotypen</b>	del5q	142 (34,5)	59,7	64,7	12 (6,62-17,38)	0,231	63
	17p und del5q nicht betroffen	269 (65,5)	51,2	61,8	18 (5,1-30,9)		117
<b>17p und 5q Beteiligung bei komplex (<math>\geq 3</math>) veränderten Karyotypen</b>	del5q	173 (32,0)	56,8	61,3	16 (8,79-23,21)	0,164	75
	17p und del5q nicht betroffen	368 (68,0)	47,3	57,5	31 (11,65-50,36)		152
<b>Follow-up</b>	ohne Follow-up	2315 (64,5)	27,5	37,8		0,001	481
	mit Follow-up	1276 (35,5)	22,4	29,7			430
<b>IPSS-R</b>	<i>Very low</i>	133 (4,1)	5,6	18,1		<0,0005	12
	<i>Low</i>	1862 (57,8)	16,3	24,5			357
	<i>Intermediate</i>	561 (17,4)	29,8	38,8			169
	<i>High</i>	265 (8,2)	38,4	49,4	91 (25,6-156,4)		97
	<i>Very high</i>	400 (12,5)	53,2	63,7	16 (7,61-24,4)		174
<b>CPSS</b>	<i>Low</i>	219 (65,0)	25,0	35,8		0,085	53
	<i>Intermediate</i>	49 (14,5)	31,3	39,6			15
	<i>High</i>	69 (20,5)	38,1	59,1	43 (27,16-58,85)		23
	Gruppe 1: der(1;7); -X	29 (4,8)	10,6	10,6		<0,0005	2

<b>Neue Unterteilung Intermediate- Gruppe nach IPSS-R</b>	Gruppe 2: Sonstige (1 Aberration); -Y + eine weitere Aberration	214 (35,1)	25,1	30,9			59
	Gruppe 3: Del(7q); +21; Sonstige (2 Aberrationen)	135 (22,1)	26,4	47,8	69 (17,83-120,17)		46
	Gruppe 4: +8; +19; i(17q); +mar; del(9q); +8 + eine weitere Aberration	222 (36,4)	36,7	45,3			70
	Gruppe 5: +11	10 (1,6)	100	100	11 (1,76-20,24)		7
<b>Einteilung der Karyotypen im Verlauf in drei Gruppen</b>	Ohne klonale Evolution	457 (55,7)	18,2	25,6		<0,005	101
	Zunahme der Klongröße	75 (9,1)	9,5	14,4			8
	Klonale Evolution	289 (35,2)	37,0	53,9	47 (30,87-63,13)		136
<b>Einteilung der Karyotypen im Verlauf in acht Gruppen</b>	Ohne zeitliche Evolution (normal)	378 (46,0)	20,0	26,5		<0,005	89
	Ohne zeitliche Evolution (abnormal)	79 (9,6)	9,1	20,9			12
	Zunahme der Klongröße	75 (9,1)	9,5	14,4			8
	Klonale Evolution	100 (12,2)	32,2	51,1	59 (28,83-89,17)		46
	Komplex zu komplex/komplexer	62 (7,6)	62,8	62,8	10 (4,02-15,99)		35
	Normal zu einem Klon	99 (12,1)	25,6	45,3	70 (5,56-134,44)		41
	Normal zu Klon, zu Zunahme der Klongröße	13 (1,6)	40,7	52,5	43 (0-116,85)		7
	Normal zu komplex	15 (1,8)	41,6	80,5	33 (2,71-63,29)		7

## 3.4 Multivariate Analyse

Zur Analyse der Unabhängigkeit der in der univariaten Analyse signifikanten Variablen wurde im nächsten Schritt eine multivariate vorwärts gerichtete Regressionsanalyse mittels Cox Regression durchgeführt. Dies erfolgte sowohl für den Einfluss auf die Überlebenszeit als auch für das Risiko, einen AML-Progress zu erleiden.

### 3.4.1 Multivariate Analyse zum Gesamtüberleben

Folgende Variablen wurden zunächst in die Analyse eingeschlossen:

- Hämoglobin  $\leq 10 < 10$  g/dl (Hbkat)
- Thrombozyten  $\leq 100.000 < 100.000$  / $\mu$ l (PLAkat)
- LDH  $\leq 200 < 200$  U/l (ldhkat)
- Granulozyten  $\leq 1800 < 1800$  / $\mu$ l (ANCkat)
- Blasten im Knochenmark  $< 5 \geq 5\%$  (kmblasten)
- WHO Diagnose 2016 (wh02016)
- Karyotyp nach IPSS-R (ipssr\_chrom\_KM)

Bei eingeschlossenen 2.452 Fällen erwiesen sich die Parameter Hämoglobin-, Thrombozyten-, LDH- und Granulozyten-Wert sowie Blasten im Knochenmark und Karyotyp nach IPSS-R als unabhängig voneinander prognostisch relevant (s. Tab. 31).

Stärkster prognostischer Parameter war dabei der Chromosomensatz entsprechend IPSS-R ( $\chi^2 = 178,551$ ;  $p < 0,0005$ ).

**Tabelle 31: Multivariate Analyse zum Gesamtüberleben (n=2452)**

	$\chi^2$ (Wald)	p-Wert	Odds Ratio (OR)	95% KI für OR: UG	95% KI für OR: OG
<b>hbkat</b>	30,965	<0,0005	1,334	1,205	1,477
<b>PLAkat</b>	16,078	<0,0005	1,233	1,113	1,366
<b>ldhkat</b>	8,545	0,003	0,861	0,778	0,952
<b>ipssr_chrom_KM</b>	178,551	<0,0005			
<b>ipssr_chrom_KM(1)</b>	31,916	<0,0005	0,389	0,280	0,540
<b>ipssr_chrom_KM(2)</b>	173,421	<0,0005	0,375	0,325	0,434
<b>ipssr_chrom_KM(3)</b>	79,004	<0,0005	0,469	0,397	0,554
<b>ipssr_chrom_KM(4)</b>	30,645	<0,0005	0,567	0,464	0,693
<b>kmblasten</b>	41,473	<0,0005	0,712	0,642	0,789

Der Einschluss der Variablen normaler versus abnormaler Chromosomensatz bei Erstdiagnose (chrom\_kat\_neu) sowie die Einteilung in die Chromosomenkategorie (CHRKATEGORIE)

konnten keine Verbesserung des Regressionsmodells zeigen und waren somit schlechter in der prognostischen Wertigkeit als der Karyotyp nach IPSS-R.

Dagegen hielt der Einschluss der neuen Einteilung der *intermediate* Gruppe nach IPSS-R (neuer\_score3) bei eingeschlossenen 610 Patienten der Analyse stand und war mit einem  $\chi^2=32,792$  in der prognostischen Wertigkeit bester prognostischer Parameter. Alle anderen Variablen inklusive des Karyotyps nach IPSS-R wurden nicht in das Modell aufgenommen (s. Tab. 32).

**Tabelle 32: Multivariate Analyse zum Gesamtüberleben (n=610)**

	$\chi^2$ (Wald)	p-Wert	Odds Ratio	95% KI: UG	95% KI: OG
<b>neuer_score3</b>	32,792	<0,0005	1,370	1,203	1,525

Für die nachfolgende Analyse wurden die Variablen zur Einteilung der Granulozyten (ANCat) und zur Einteilung nach der WHO-Diagnose (who2016) ausgeschlossen, da sie keine prognostisch relevanten Ergebnisse erzielten.

Die neu eingeschlossene Variable zur klonalen Evolution im Verlauf der Erkrankung (clonale Ev) zeigte eine Verbesserung des Regressionsmodells und war bei eingeschlossenen 542 Patienten mit einem  $\chi^2=34,537$  nach dem Chromosomensatz entsprechend IPSS-R ( $\chi^2 = 54,517$ ) zweitstärkster prognostischer Parameter (s. Tab. 33).

**Tabelle 33: Multivariate Analyse zum Gesamtüberleben (n=542)**

	$\chi^2$ (Wald)	p-Wert	OR	95% KI: UG	95% KI: OG
<b>Hbkat</b>	5,849	0,016	1,29	1,049	1,586
<b>PLAkat</b>	9,733	0,002	1,403	1,134	1,736
<b>ipssr_chrom_KM</b>	54,517	<0,0005			
<b>ipssr_chrom_KM(1)</b>	0,584	0,445	2,253	0,281	18,073
<b>ipssr_chrom_KM(2)</b>	0,092	0,762	1,358	0,188	9,82
<b>ipssr_chrom_KM(3)</b>	0,452	0,501	1,985	0,269	14,628
<b>ipssr_chrom_KM(4)</b>	1,689	0,194	3,785	0,509	28,163
<b>ipssr_chrom_KM(5)</b>	2,16	0,142	4,464	0,607	32,834
<b>kmblastenkat</b>	17,806	<0,0005	0,631	0,509	0,781
<b>clonale Ev</b>	34,537	<0,0005	0,508	0,405	0,637

Im nächsten Schritt wurde ein Regressionsmodell unter Einbezug der Variablen „neuer\_score3“ und „clonale Ev“ erstellt. Jedoch erwies sich, vermutlich aufgrund der geringen Fallzahl, keine der eingeschlossenen Parameter mehr als signifikant. Von 610 Patienten aus der *intermediate* Gruppe des Karyotyps nach IPSS-R wiesen nur 57 auch eine klonale Evolution auf.

### 3.4.2 Multivariate Analyse zum AML-Progress

Auch für die multivariate Analyse zum kumulativen Risiko eines AML-Progress wurden die unter 3.4.1 genannten Variablen (Hbkat, PLAkat, Idhkat, ANCkat, kmblasten, who2016, ipssr\_chrom\_KM) in die Analyse eingeschlossen. Des weiteren wurde folgende Variable mit in das Regressionsmodell aufgenommen:

- Peripherie Blasten (im Blut) 0/>0% (blaperikat)

Hier erwiesen sich bei eingeschlossenen 2.176 Fällen die Parameter Hämoglobin- und Granulozyten-Wert sowie Blasten im Knochenmark und Karyotyp nach IPSS-R als unabhängig voneinander prognostisch relevant.

Stärkster prognostischer Parameter war dabei der prozentuale Anteil der Blasten im Knochenmark ( $\chi^2=187,946$ ;  $p<0,0005$ ). Diese Ergebnisse sind dargestellt in Tabelle 34.

**Tabelle 34: Multivariate Analyse zum AML-Progress (n=2176)**

	$\chi^2$ (Wald)	p-Wert	Odds Ratio	95% Kl: UG	95% Kl: OG
<b>Hbkat</b>	12,283	<0,0005	1,34	1,138	1,578
<b>ANCkat</b>	6,623	0,01	1,243	1,053	1,466
<b>ipssr_chrom_KM</b>	128,874	<0,0005			
<b>ipssr_chrom_KM(1)</b>	18,213	<0,0005	0,188	0,088	0,406
<b>ipssr_chrom_KM(2)</b>	109,529	<0,0005	0,321	0,259	0,397
<b>ipssr_chrom_KM(3)</b>	39,475	<0,0005	0,454	0,355	0,581
<b>ipssr_chrom_KM(4)</b>	4,302	0,038	0,74	0,557	0,984
<b>kmblastenkat</b>	187,946	<0,0005	0,291	0,244	0,347

Auch hier konnte nur der Einschluss der Variablen zur neuen Einteilung der *intermediate* Gruppe nach IPSS-R (neuer\_score3) bei eingeschlossenen 610 Fällen abermals eine Verbesserung des Regressionsmodells zeigen und war mit einem  $\chi^2=13,845$  der bedeutendste prognostische Parameter (s. Tab. 35). Die Variablen zur Einteilung des Chromosomensatzes in abnormal versus normal (chrom\_kat\_neu) und zur Einteilung in die Chromosomenkategorie (CHRKATEGORIE) sowie der Karyotyp nach IPSS-R (ipssr\_chom\_KM) wurden abermals nicht in das Modell aufgenommen.

**Tabelle 35: Multivariate Analyse zum AML-Progress (n=610)**

	$\chi^2$ (Wald)	p-Wert	Odds Ratio	95% Kl: UG	95% Kl: OG
<b>neuer_score3</b>	13,845	<0,0005	1,339	1,148	1,562

Für die nachfolgende Analyse wurden die Variablen zur Einteilung der Thrombozyten (PLAkat), der WHO-Diagnose (who2016), der peripheren Blasten (blaperikat) und der LDH (Idhkat) ausgeschlossen, da sie keine prognostisch relevanten Ergebnisse erzielten.

Die neu eingeschlossene Variable zur klonalen Evolution im Verlauf der Erkrankung (clonale Ev) zeigte wiederum eine Verbesserung des Regressionsmodells und war bei eingeschlossenen 555 Patienten mit einem  $\chi^2=36,285$  nach dem prozentualen Anteil der Blasen im Knochenmark ( $\chi^2=56,887$ ) zweitstärkster prognostischer Parameter (s. Tab. 36).

**Tabelle 36: Multivariate Analyse zum AML-Progress (n=555)**

	$\chi^2$ (Wald)	p-Wert	OR	95% Kl: UG	95% Kl: OG
ipssr_chrom_KM	22,627	<0,0005			
ipssr_chrom_KM(1)	2,198	0,138	0,215	0,028	1,640
ipssr_chrom_KM(2)	14,801	<0,0005	0,401	0,252	0,639
ipssr_chrom_KM(3)	11,356	0,001	0,280	0,133	0,587
ipssr_chrom_KM(4)	0,153	0,696	0,881	0,466	1,665
kmblastenkat	56,887	<0,0005	0,297	0,217	0,408
Hbkat	4,441	0,035	1,398	1,024	1,908
clonale Ev	36,285	<0,0005	0,356	0,255	0,499

Im nächsten Schritt wurde ein Regressionsmodell unter Einbezug der Variablen „neuer\_score3“ und „clonale Ev“ erstellt. Bei eingeschlossenen 47 Fällen erwies sich die klonale Evolution im Verlauf der Erkrankung als einziger prognostisch relevanter Parameter (s. Tab. 37). Alle anderen Variablen inklusive der neuen Einteilung der *intermediate* Gruppe nach IPSS-R (neuer\_score3) wurden nicht in das Modell mitaufgenommen.

**Tabelle 37: Multivariate Analyse zum AML-Progress (n=47)**

	$\chi^2$ (Wald)	p-Wert	Odds Ratio	95% Kl: UG	95% Kl: OG
Clonale Ev	5,589	0,018	0,079	0,010	0,648

## 4 Diskussion

Zytogenetische Analysen sind seit vielen Jahren im diagnostischen Procedere der Myelodysplastischen Syndrome (MDS) implementiert und aufgrund ihrer prognostischen Bedeutung sowohl im IPSS als auch im überarbeiteten IPSS-R als Prognosekriterien fest verankert [44, 59]. Dennoch gibt es bisher verhältnismäßig wenig Studien zu den Auswirkungen verschiedener Aberrationen auf die Lebenserwartung, das Progressrisiko oder Therapieansprechen. Die meisten Arbeiten beschäftigen sich mit speziellen Aberrationen wie der Deletion 5q oder umfassen häufig nur kleine Patientenkohorten mit 50-100 Patienten. Der IPSS-R ist mit seiner Gültigkeit wiederholt validiert worden, aber zur Erweiterung oder gar Verbesserung der chromosomalen Einteilung gibt es zum aktuellen Zeitpunkt nur wenige verfügbare Daten [60, 61].

Ebenso werden chromosomale Aberrationen zwar bei der Diagnosestellung gewertet, aber nur wenige Arbeiten beschäftigen sich mit den Auswirkungen der klonalen Evolution [81]. Es gibt kein standardisiertes Vorgehen zur Re-Punktion des Knochenmarks mit einer Analyse des Karyotyps, sondern das Vorgehen liegt meist im Ermessen des behandelnden Arztes. Damit variiert auch die Aussagekraft der erhobenen Daten und es stehen oft nur geringe Datenmengen zur Verfügung, da Patienten zum Einschluss in eine solche Analyse zumindest zweimal, aber besser häufiger eine Analyse des Karyotyps bekommen haben sollten.

In dieser Arbeit wurde anhand von 3.591 Patienten aus dem Düsseldorfer MDS-Register der Einfluss verschiedener chromosomal Aberrationen auf das Überlebenszeitrisiko sowie das Risiko eines AML-Progresses berechnet. Hierzu lassen sich folgende Kernaussagen treffen:

1. Aus dem peripheren Blut können ausreichend gute Karyotyp-Analysen gewonnen werden.
2. Jüngere Patienten unter 40 Jahren weisen häufiger die ungünstige Einteilung *very high* des Karyotyps nach IPSS-R auf als ältere Patienten.
3. Für das Auftreten von Veränderungen von 17p und/oder del5q bei komplexen Karyotypen ( $\geq 3$  Aberrationen) ließ sich kein signifikanter Unterschied im Überleben oder Progressrisiko nachweisen.
4. Patienten mit einem normalen Karyotyp bei Erstdiagnose zeigten eine hoch signifikant günstigere Prognose im Überleben sowie niedrigeres Risiko, einen AML-Progress zu erleiden, als Patienten mit initial aberranten Karyotypen.
5. Eine neue Einteilung der *intermediate-risk* Gruppe des Karyotyps nach IPSS-R, die in der vorliegenden Arbeit erstmals durchgeführt wurde, zeigt hoch signifikante Unterschiede im Überleben und Progressrisiko. Ein jeweils günstiges Outcome konnte

- für die Gruppe 1 (der(1;7); -X) nachgewiesen werden, während die Gruppe 5 (Trisomie 11) die schlechteste Prognose aufwies.
6. Eine Trisomie 11 stellt eine Hochrisiko-Aberration dar und ist mit einem aggressiven klinischen Verlauf und schlechtem *Outcome* assoziiert. Sie sollte daher nicht der *intermediate risk* Gruppe des Karyotyps nach IPSS-R, sondern der *high* oder *very high risk* Gruppe zugeordnet werden.
  7. Patienten mit einer klonalen Evolution im Verlauf der Erkrankung zeigten ein hoch signifikant kürzeres medianes Überleben und erlitten häufiger einen Progress in eine AML als Patienten ohne klonale Evolution.

## 4.1 Patientengut

Zum Zeitpunkt der Analyse waren 2.113 (58,9%) der 3.591 Patienten verstorben. Das Alter lag mit im Median 68 Jahren etwas unter dem in der Literatur beschriebenen Durchschnitt von 72 Jahren [2]. Grund dafür könnte sein, dass eines der Aufnahmekriterien für diese Arbeit das Vorliegen von mindestens einer Chromosomenanalyse war und diese standardmäßig aus Knochenmarkaspirat durchgeführt werden. Diese Art von invasiver Diagnostik wird unter Umständen favorisiert bei jüngeren Patienten mit weniger Komorbiditäten und einer längeren Lebenserwartung durchgeführt. Die Geschlechterverteilung entsprach mit einem Verhältnis von 3:2 (m:w) den Angaben der Literatur wie auch die diagnostische Einteilung in die WHO 2016 Subtypen [6, 82]. Auch die klinischen Parameter wie Hämoglobin, LDH-Werte im Blut und prozentuale Blastenanteile im Knochenmark entsprachen den Angaben der Literatur und sind Ausdruck der bei Erstdiagnose bestehenden Zytopenien [83].

Betrachtet man die IPSS-R Kategorien so fällt auf, dass in dieser Kohorte häufiger die Kategorien *high* (28,2%) und *very high* (31,5%) vertreten waren als dies von Greenberg et al. angegeben wird (respektive 13% und 10%) [59]. Grund dafür könnte sein, dass ein Großteil der in diese Arbeit eingeschlossenen Patienten an der Uniklinik Düsseldorf oder einer der kooperierenden universitären Zentren diagnostiziert und therapiert wird. Milde Krankheitsverläufe können gut in kleinen peripheren Häusern behandelt werden, während schwere oder weitfortgeschrittene Erkrankungen an ein Zentrum mit Möglichkeit zur Knochenmarktransplantation überwiesen werden.

In der untersuchten Kohorte lag das mediane Überleben aller 3.591 Patienten bei 40 Monaten, was deutlich über dem von Neukirchen et al. beschriebenen Durchschnitt von 26 Monaten liegt als auch über dem von Sole et al. von 30 Monaten [81, 84]. Grund dafür könnte sein, dass die Patienten dieser Kohorte im Median jünger waren und somit ein längeres Überleben aufwiesen und Karyotypanalysen favorisiert bei Patienten mit günstigeren Prognosen durchgeführt werden. Der Anteil der Patienten mit einer leukämischen Transformation lag nach zwei Jahren

bei 24,4% und nach fünf Jahren bei 33,4% und deckt sich dabei mit den Angaben von Nachtkamp et al. [57]. Die mediane Zeit bis zum AML-Progress konnte nicht errechnet werden, da zum Zeitpunkt der Datenanalyse der Wert somit noch nicht erreicht wurde.

## 4.2 Karyotyp-Analysen aus dem peripheren Blut

Die meisten Arbeiten, die sich mit Chromosomenanalysen aus dem peripheren Blut beschäftigen, variieren in den Analyse-Methoden von konventioneller Bänderungszytogenetik über FISH als auch *SNP-Arrays*, weshalb die Ergebnisse nur bedingt vergleichbar sind [31, 32, 85]. Zudem vergleichen die wenigsten Arbeit dabei zytogenetische Analysen des peripheren Blutes direkt mit dem Standardmaterial Knochenmark, weshalb zur qualitativen Aussagekraft dieser Analysen nur wenig bekannt ist.

In dieser Arbeit wiesen 118 Patienten sowohl eine Chromosomenanalyse aus dem peripheren Blut als auch aus dem Knochenmark auf. Um die Aussagekraft der nachfolgenden Analysen zu erhöhen, wurden retrospektiv Paare von Analysen aus peripherem Blut und Knochenmark gebildet, die zwischen den Analysen einen maximalen Zeitabstand von drei Monaten aufwiesen.

Von insgesamt 63 Paaren konnte bei 51 (81%) die gleiche ISCN-Formel nachgewiesen werden. Betrachtet man nur die Karyotyp-Kategorie nach IPSS-R so stieg der Anteil auf 53 Paare (84,1%) – es lag also trotz einer Veränderung der ISCN-Formel die gleiche IPSS-R Kategorie in beiden Untersuchungsmedien vor. Die quantitativ gleiche Anzahl der Metaphasen hatte dabei keinen Einfluss auf das Ergebnis.

Mohamedali et al. konnte mit Hilfe von SNP-Arrays in 95% der Fälle in Knochenmark und peripherem Blut den gleichen Chromosomensatz nachweisen, während es bei einer vorangegangenen Arbeit des gleichen Autors sogar 100% waren [31, 32]. Die Studienkohorte der zweiten Arbeit bestand allerdings nur aus 22 Patienten.

Insbesondere wenn nur wenige Metaphasen aus dem peripheren Blut zur Analyse zur Verfügung stehen, sollten die Ergebnisse mit Vorsicht interpretiert werden und wenn möglich, ergänzende diagnostische Mittel wie die FISH oder *SNP-Arrays* eingesetzt werden. Gerade für ältere oder durch Komorbiditäten beeinträchtigte Patienten oder zur engmaschigen Kontrolle auf ein Therapieansprechen können Chromosomenanalysen aus dem peripheren Blut wichtige Informationen zur prognostischen Einteilung liefern und Therapieentscheidungen beeinflussen.

Die in dieser Arbeit betrachtete Kohorten-Größe mit insgesamt 63 Paaren ist relativ gering, weshalb die Ergebnisse an einer größeren Gruppe validiert werden sollten. Es standen grundsätzlich mehr Analysen aus dem peripheren Blut zur Verfügung, doch da die Paare retrospektiv zeitlich korrelieren sollten, konnte für einige Analysen kein zeitliches *Match* gefunden werden. Hilfreich wären also vor allem eine geplante simultane Entnahme von

Knochenmark und peripherem Blut und eine Analyse im gleichen humangenetischen Zentrum, um eine möglichst hohe Datenqualität zu gewährleisten.

### 4.3 Karyotyp-Anomalien

Der IPSS-R teilt die zytogenetischen Aberrationen in 5 Risikogruppen und damit prognostisch relevante Kategorien ein. Die Gruppen beinhalten dabei Positionen für elf bekannte chromosomale Aberrationen, einen normalen Karyotyp und Positionen wie „andere Einzel- und Doppel-Klone“ oder „komplex  $\geq 3$ “ für alle zytogenetischen Veränderungen mit bisher unbekannter prognostischer Bedeutung. Die schlechte Prognose von komplexen Karyotypen ist mehrfach untersucht und gut belegt, aber gerade die *intermediate* Gruppe ist mit ihrem Aufbau von maximal ein bis zwei Veränderungen aller nicht anderweitig spezifizierten Aberrationen sehr divers [59].

Um eine möglichst hohe Vergleichbarkeit zu erzielen, sollten Karyotypen nach der ISCN-Formel dokumentiert und mindestens 20-25 Metaphasen analysiert werden [29]. Im Median konnten in dieser Arbeit bei Karyotyp-Analysen aus dem Knochenmark 20 Metaphasen und aus dem peripheren Blut 24 Metaphasen nachgewiesen werden, was somit der geforderten Anzahl entspricht.

Von 3.591 Patienten wiesen 1.715 (48,2%) einen normalen Karyotyp auf und häufigste Einzelaberration war mit 6,5% eine Deletion 5q, was den Angaben der Literatur entspricht beziehungsweise knapp darunter liegt [11, 84, 86]. Anzumerken ist für diese Arbeit die Verwendung eines alten Kategorisierungssystems der Chromosomen, die zum Beispiel eine Monosomie 7, Trisomie 19 und ein Isochromosom 17q unter „Diverse 1-2 Aberrationen“ subsummiert. In den letzten Jahren konnten viele neue Erkenntnisse zu bis dahin unbekannten somatischen Aberrationen und deren Bedeutung gewonnen werden. Dennoch fehlt es, abgesehen von der prognostischen Einteilung des Karyotyps nach IPSS-R, an einem System zur Einteilung von genetischen Aberrationen, was allein aufgrund der Vielzahl möglicher Veränderungen ein komplexes Unterfangen darstellt.

Die Verteilung der Karyotypen nach IPSS-R auf die Kategorien *very low*, *low*, *intermediate*, *high* und *very high* entsprach mit einem überwiegenden Anteil von 57% der Kategorie *low* den Angaben von Greenberg et al. [59]. In dieser Kategorie sind unter anderem alle Patienten mit einem normalen Chromosomensatz zu finden, was bei knapp 50% der Patienten der Fall war. Auch die medianen Langzeitüberlebensdaten stimmen mit den Angaben der Literatur überein [59, 61].

Die Inzidenz der MDS nimmt mit dem Lebensalter zu und betrifft vor allem Männer über 70 Jahren. Grund für eine Erkrankung in jungen Jahren und für das gehäufte Auftreten von *very high-risk* Karyotyp-Kategorien nach IPSS-R in Patienten unter 40 Jahren – wie sie in dieser Kohorte nachweisbar waren - könnten Keimbahnmutationen sein. Häufig sind Gene beteiligt, die an der DNA-Reparatur oder Telomer-Biologie beteiligt sind und deshalb schon früh zum

klonalen Charakter der Erkrankung beitragen, während sich bei älteren Patienten häufiger somatische Mutationen finden, die erst im höheren Lebensalter auftreten [87].

Schanz et al. konnte zeigen, dass Patienten mit einer 17p-Aberration häufiger eine klonale Evolution aufwiesen und ihr Langzeitüberleben im Vergleich zu Patienten ohne diese Veränderung kürzer war. Diese Ergebnisse ließen sich vermutlich aufgrund der geringen Fallzahl nicht in dieser Kohorte reproduzieren. In der univariaten Analyse ergaben sich keine signifikanten Auffälligkeiten im Auftreten von 17p und/oder del(5q) Aberrationen [88].

#### 4.4 Langzeitüberleben und Risiko eines AML-Progesses

MDS-Patienten weisen eine meist ungünstige Prognose in Bezug auf das Langzeitüberleben auf und rund 25-30% erleiden im Verlauf einen Progress in eine AML. Der Progress der Erkrankung erfolgt kontinuierlich und ist eng verknüpft mit einer genetischen Evolution des Karyotyps [89]. Auch retrospektiv lässt sich der Progress nicht einem genauen Zeitpunkt zuordnen. Entscheidend ist jedoch eine möglichst frühe Diagnose, um noch erfolgreich therapeutisch agieren zu können. Die erneute Analyse des Karyotyps erst bei Nachweis einer Blutbildverschlechterung hat sich dabei nicht als zielführend erwiesen, da die Zytopenien bereits Ausdruck der Knochenmarksuffizienz durch den Progress in eine AML sind und da die medulläre Blastenzahl die Krankheitslast häufig unterschätzt [81, 89]. Aktuell gibt es ausschließlich Empfehlungen, wann eine Re-Punktion mit Analyse des Chromosomensatzes stattfinden soll, meist liegt dies jedoch im Ermessen des behandelnden Arztes. Daraus ergibt sich die Notwendigkeit, weitere prognostisch relevante Assoziationen von zum Beispiel chromosomalen Aberrationen zum medianen Langzeitüberleben und dem Risiko eines Progresses in eine AML zu finden.

Die Prognose für Patienten mit initial normalem Chromosomensatz war mit einem medianen Überleben von 55 Monaten wesentlich besser als für Patienten mit initial aberranten Karyotypen mit 29 Monaten und die Ergebnisse somit mit der Arbeit von Neukirchen et al. vergleichbar (54,1 vs. 31,6 Monate) [81]. Auch das Risiko eines AML-Progesses war mit 18,4% nach zwei Jahren für Patienten mit einem normalen Karyotyp deutlich niedriger als mit 30,4% für Patienten mit aberranten Chromosomensätzen bei Erstdiagnose. Allerdings konnte die Einteilung in normale versus aberrante Karyotypen bei Erstdiagnose in der multivariaten Analyse keine Verbesserung des Regressionsmodells nach Cox im Vergleich zur Einteilung der Karyotypen entsprechend IPSS-R erzielen, weshalb dieser weiterhin zur Abschätzung des individuellen Krankheitsverlaufes und Progressrisikos eingesetzt werden sollte.

Zu einer Erweiterung der chromosomalen Kategorien – insbesondere der *intermediate* Gruppe - nach IPSS-R gibt es aktuell wenig verfügbare Daten. Die Ergebnisse sowohl der univariaten als auch multivariaten Analyse deuten jedoch auf eine hoch signifikante prognostische Relevanz bestimmter Karyotyp-Anomalien hin.

Als prognostisch günstige Aberrationen erwiesen sich in dieser Arbeit eine Monosomie X und das Derivatchromosom (1;7)(q10;p10). Das mediane Überleben konnte für diese Gruppe nicht berechnet werden, da zum Zeitpunkt der Analyse acht von 29 und somit weniger als die Hälfte der Patienten verstorben waren. Nach fünf Jahren betrug der Anteil der Patienten mit einem Progress in eine AML 10,6%.

Über die Monosomie X ist nur wenig bekannt. Erstmals beschrieben wurde sie 1997 in einem *Casereport* über fünf Patientinnen von Abruzzese et al. und danach finden sich keine weiteren Angaben in der Literatur. Zum damaligen Zeitpunkt konnten keine Aussagen zur prognostischen Wertigkeit dieser Aberration getroffen werden [90]. In dieser Arbeit wiesen Patientinnen dieser Gruppe jedoch ein besonders langes medianes Langzeitüberleben und ein niedriges Risiko für den Übergang in eine AML auf, weshalb sie prognostisch eher der *very low risk* Gruppe der Karyotyp-Kategorien nach IPSS-R (18,1% AML-Übergänge nach 5 Jahren) zuzuordnen sind.

Zum Derivatchromosom (1;7)(q10;p10) gibt es widersprüchliche Angaben in der Literatur. Während Ganster et al. von einem schlechten Langzeitüberleben von 26 Monaten berichtet, was im Kontrast zum niedrigen Progressrisiko von 11% in eine AML steht [91], konnte Pozdnyakova et al. dagegen eine günstige Prognose von 45,4 Monaten aufzeigen, die auch die Ergebnisse dieser Arbeit unterstützt [92].

Die neuen Gruppen 2, 3 und 4 bestätigen mit ihren Langzeitüberlebensdaten von 22 bis 47 Monaten Angaben der Literatur. So wirken sich zum Beispiel zwei Aberrationen des Chromosomensatzes im Vergleich zu nur einer Aberration negativ auf das mediane Gesamtüberleben und das Progressrisiko aus und die sonst günstige Prognose des Verlustes des Y-Chromosoms verschlechtert sich durch das Auftreten einer weiteren Aberration [59].

Besonders die Ergebnisse zur Trisomie 11 stechen aus der neuen Einteilung der *intermediate* Gruppe nach IPSS-R heraus. Patienten mit dieser Aberration wiesen im Vergleich zu anderen Patienten der *intermediate* Gruppe eine besonders schlechte Prognose mit nur 17 Monaten medianem Langzeitüberleben auf und erlitten zu 70% einen AML-Übergang nach im Median 11 Monaten (95% KI 2-20 Monate).

Die Ergebnisse entsprechen damit den Angaben von Wang et al., der für Patienten mit einer isolierten Trisomie 11 ein medianes Langzeitüberleben von 14 Monaten und den Übergang in eine AML bei 70% nach einem Median von nur 5 Monaten nachweisen konnte. Des Weiteren erwies sich diese Patientenkohorte bei Wang et al. als resistent für eine klassische Induktionschemotherapie beziehungsweise sie erlitten rasch ein Rezidiv und verstarben nach kurzer Zeit [93]. Weitere Arbeiten zu einer isolierten Trisomie 11 bei MDS-Patienten gibt es kaum, da die Aberration mit 0,01-0,3% äußerst selten auftritt und somit nur wenig Patientendaten zur Analyse zur Verfügung stehen. Eindeutig nachweisen lässt sich jedoch der aggressive klinische Verlauf mit einem hohen Risiko für den Übergang in eine AML und einem kurzen medianen Langzeitüberleben von knapp einem Jahr. Somit entspricht die Prognose der

Trisomie 11 eher der Kategorie *high risk* beziehungsweise *very high risk* des Karyotyps nach IPSS-R.

Bei der Trisomie 11 wurde außergewöhnlich häufig eine WHO 2016 Diagnose mit einer schlechten Prognose gestellt. Fast alle Patienten wiesen ein MDS mit Blastenexzess oder bereits eine sekundäre AML aus MDS auf, während bei nur einem Patienten ein MDS mit multilineärer Dysplasie vorlag. Bisher ist die Trisomie 11 als chromosomale Aberration meist im Zusammenhang mit primären und sekundären Akuten Myeloischen Leukämien beschrieben und dort ebenfalls mit einer schlechten Prognose assoziiert [94]. Unklar ist vor allem aufgrund der sehr kurzen Zeitspannen zwischen Erstdiagnose und AML-Übergang, ob die Trisomie 11 dem Progress in eine AML vorausgeht oder diesen begleitet. Allerdings handelt es sich um eine isolierte Aberration, die normalerweise nicht mit einem so hohen Risiko für einen AML-Übergang assoziiert ist wie zum Beispiel ein hoch komplexer Karyotyp. Einige Arbeiten diskutieren die Bedeutung des MLL-Gens, das auf dem Chromosom 11 liegt und bei einer Trisomie somit dreimal vorkäme. MLL ist eine Histon-Methyltransferase und beteiligt an der Transkriptionsregulation. Die genaue Bedeutung ist jedoch aktuell noch ungeklärt und weiterhin Gegenstand der Forschung [95].

Die zwei Patienten mit den längsten Überlebenszeiten von 54 und 88 Monaten wurden Knochenmark-transplantiert, was ihre deutlich bessere Prognose im Vergleich zum Rest der Gruppe mit 2 bis 19 Monaten erklärt.

Für die Gruppe 1 mit den Aberrationen Monosomie X und Derivatchromosom (1;7)(q10;p10) konnte kein Zusammenhang zu WHO 2016 Diagnosen mit einer besonders günstigen Prognose festgestellt werden.

In der multivariaten Analyse war die neue Einteilung der *intermediate* Gruppe nach IPSS-R sowohl für das mediane Langzeitüberleben als auch das Risiko für einen Progress bester prognostischer Parameter und damit auch besser als die bisherige Einteilung des Karyotyps nach IPSS-R.

Dennoch sollten die Ergebnisse an einer unabhängigen Kohorte überprüft und validiert werden, um Kohorten-spezifische Auffälligkeiten in dieser Arbeit auszuschließen. Gerade aufgrund der Seltenheit einiger Aberrationen empfiehlt sich eine möglichst große Studienkohorte zu bilden, um eine ausreichende Fallzahl und damit gute Datenqualität zu gewährleisten.

Die Ergebnisse des medianen Überlebens und Risikos, einen AML-Progresses zu erleiden, korrelieren für die neu gebildeten Untergruppen und sind somit Ausdruck des bekannten Verlaufes einer MDS-Erkrankung. Dennoch sollten weitere *Confounder* wie zum Beispiel der Einfluss verschiedener Therapiestrategien, die Todesursache und molekulargenetische Befunde untersucht und in zukünftigen Arbeiten in die Analyse eingeschlossen werden. Wichtig wäre zu prüfen, ob unabhängige prognostische Parameter wie zum Beispiel eine Hypozellularität des Knochenmarks mit bestimmten zytogenetischen Aberrationen wie dem Derivatchromosom (1;7) korrelieren und dadurch die Prognose positiv beeinflussen [92].

## 4.5 Klonale Evolution

Schon 1988 gab es erste Arbeiten zum Einfluss der klonalen Evolution auf die Prognose und das Langzeitüberleben von MDS-Patienten [96]. Zum aktuellen Zeitpunkt fehlen aber weiterhin größere Studien, die sich mit dem Einfluss der klonalen Evolution beschäftigen. Die bisher größte Studienkohorte mit 988 Patienten konnte Haferlach et al. in 2011 präsentieren, gefolgt von 729 Patienten von Schanz et al. in 2018 [88, 97]. Da in der Arbeit von Haferlach et al. nicht zwischen den verschiedenen Formen einer klonalen Evolution unterschieden wurde, soll in diesem Zusammenhang weiterhin die Arbeit von Neukirchen et al. als Vergleich dienen. Diese untersuchte an 549 Patienten die Auswirkungen der klonalen Evolution auf das Überleben sowie das Progressrisiko in eine Leukämie [81].

Die in dieser Arbeit betrachtete Gruppe mit insgesamt 1.276 Patienten ist somit die aktuell größte bekannte Kohorte zur Untersuchung der klonalen Evolution. Jeder der in die Arbeit eingeschlossenen Patienten wies zumindest eine zweite Chromosomenanalyse im Verlauf der Erkrankung auf und das Maximum lag bei 24 *Follow-Up* Befunden, das heißt insgesamt 25 Chromosomenanalyse inklusive der Erstdiagnose.

In dieser Arbeit wurde der Zeitpunkt der chromosomalen Nachuntersuchungen zwar festgehalten, aber aufgrund des unbekannten Anlasses zur Punktionsnicht in die Analysen mit einbezogen. Retrospektiv ist oft nicht zu erkennen, warum eine erneute Knochenmarkpunktion mit Analyse des Karyotyps erfolgte. Gründe dafür könnten zum Beispiel sein:

- Verschlechterung des Allgemeinzustandes oder Blutbildes mit Verdacht auf Krankheitsprogress
- Standardisierte Kontrollen im Rahmen von Studienprotokollen zu festgelegten Zeitpunkten
- Kontrolle auf Therapieansprechen (v.a. auch im Rahmen von Stammzelltransplantationen)
- Langer Abstand zur vorherigen Punktion

Eine Verschlechterung des Blutbildes, bei zuvor stabilem Krankheitsverlauf, tritt meist bei einem Progress auf. Eine Punktionszeit zu diesem Zeitpunkt ist also mit einem schlechteren *Outcome* assoziiert als eine Punktionszeit bei einem Patienten in einem Studienprotokoll zu standardisierten Zeitpunkten.

Alleine die Tatsache, dass die Patienten erneut punktiert werden konnten, verschafft ihnen einen statistischen Überlebensvorteil – die sogenannte *Lead Time* –, da Patienten mit ungünstigen Aberrationen ggf. vor einer zweiten oder gar ersten Punktionszeit verstorben waren und deren Überlebenszeiten somit nicht in die Analyse eingeschlossen werden konnten. Die Selektion von Patienten mit mindestens zwei oder mehr Karyotyp-Analysen zu Beginn des Studiendesigns der klonalen Evolution schafft somit also einen *Bias* in Bezug auf das mediane Langzeitüberleben. So lässt sich auch erklären, warum Patienten mit einer *Follow-Up*

Untersuchung des Chromosomensatzes im Median 54 Monate lebten, während es für Patienten ohne Nachuntersuchung nur 32 Monate waren.

In dieser Kohorte lag der Anteil der Patienten mit einer klonalen Evolution bei 35,2%, was deutlich über den Angaben von Haferlach et al. mit 17,3%, Neukirchen et al. mit 24% und Schanz et al. mit 25,8% liegt [81, 88, 97]. Grund dafür könnte der lange Nachbeobachtungszeitraum von im Median 38 Monaten mit einem Maximum von 528 Monaten sein. Zum Vergleich lag die mediane Nachbeobachtungszeit von Haferlach et al. nur bei 12,5 Monaten (*Range* 1-60,6 Monate). Des weiteren lagen in der Kohorte von der vorliegenden Arbeit häufiger die IPSS-R Kategorien *high* (32,6%) und *very high* (34,2) vor als in der Vergleichsarbeit von Neukirchen et al. (respektive 20,4% und 20,6%). Eine höhere IPSS-R Kategorie bei Erstdiagnose ist mit einem gehäuften Auftreten von klonaler Evolution assoziiert und könnte somit zu dem hohen Prozentsatz von Patienten mit einer klonalen Evolution beigetragen haben [98]. Diese These deckt sich ebenfalls mit den Ergebnissen dieser Arbeit – so lag der Anteil einer klonalen Evolution in der IPSS-R Kategorie *high* bei 33,3% und in der Kategorie *very high* bei 37,5%.

Gut untersucht und belegt ist die schlechte Prognose von Patienten, die im Verlauf ihrer Erkrankung eine klonale Evolution erleiden. Ihr medianes Überleben lag bei nur 30 Monaten im Vergleich zu 73 Monaten bei Patienten ohne klonale Evolution und ähnelt damit den Angaben der Literatur [88, 99]. Besonders ungünstig ist die Prognose von Patienten mit bereits initial komplex aberranten Karyotypen und einer klonalen Evolution im Verlauf mit einem medianen Überleben von 13 Monaten. Grund für die besonders schlechte Prognose könnte eine Instabilität des Genoms sein, die schon früh zur Anhäufung somatischer Mutationen führt, häufiger mit einem Progress in eine AML assoziiert ist und das mediane Langzeitüberleben im Vergleich zu anderen MDS-Patienten deutlich verkürzt [88, 98]. Die beste Prognose mit 75 Monaten medianem Langzeitüberleben weisen sowohl in der Literatur als auch in dieser Arbeit Patienten mit einem normalen Karyotyp ohne klonale Evolution auf [88].

Die Wahrscheinlichkeit, einen AML-Progress zu erleiden, war für Patienten mit einer klonalen Evolution nach fünf Jahren mit 53,9% wesentlich höher als für Patienten ohne klonale Evolution mit 25,6%. Diese Ergebnisse decken sich somit ebenfalls mit den Angaben von Schanz et al. (respektive 48% und 21,5%) [88].

Auch in der multivariaten Analyse erwies sich die Einteilung der Patienten in die drei Gruppen „ohne klonale Evolution“, „Zunahme der Klongröße“ und „klonale Evolution“ sowohl für das mediane Langzeitüberleben als auch das Progressrisiko nach der Einteilung des Karyotyps entsprechend IPSS-R als zweitstärkster prognostischer Parameter.

Der Fokus dieser Arbeit lag auf dem Nachweis einer klonalen Evolution mit der Angabe ihrer Häufigkeit und den Auswirkungen auf das mediane Langzeitüberleben sowie des Progressrisikos. Zu untersuchen bleiben somit aber weiterhin verschiedene Gesichtspunkte, wie zum Beispiel der Einfluss verschiedener Therapiestrategien oder die Bedeutung des Zeitpunktes der klonalen Evolution.

Schanz et al. konnte zeigen, dass der Zeitpunkt der klonalen Evolution die Prognose beeinflusst. Patienten mit einer frühen Karyotypevolution wiesen ein kürzeres medianes Langzeitüberleben auf als Patienten, bei denen eine Verschlechterung des Karyotyps erst im Verlauf festgestellt wurde. Grund dafür könnte zum Beispiel eine Instabilität des Genoms sein [88]. Interessant wäre es also herauszufinden, ob das Risiko für eine klonale Evolution nach einem bestimmten Zeitraum abnimmt oder zumindest stabil bleibt und regelmäßige Chromosomenanalysen somit nur noch mit größeren Zeitabständen nötig wären.

Es lässt sich jedoch festhalten, dass eine klonale Evolution mit einer schlechteren Prognose assoziiert ist als ein stabiler Karyotyp und somit einem Monitoring unterliegen sollte. Anbieten würden sich dazu zum Beispiel Chromosomenanalysen aus dem peripheren Blut für Patienten mit *low* oder *intermediate risk* MDS-Typen, um Patienten mit einer klonalen Evolution und somit schlechteren Prognose frühzeitig zu identifizieren, damit sie von einer veränderten Therapiestrategie profitieren können.

## 4.6 Schlussfolgerung

Zusammenfassend kann festgehalten werden, dass sowohl bestimmte zytogenetische Aberrationen bei Diagnosestellung als auch die Entwicklung des Karyotyps im Verlauf einen hoch signifikanten Einfluss auf das mediane Überleben und das Risiko, einen AML-Progress zu erleiden, haben und somit die Prognose beeinflussen. Der stärkste unabhängige Parameter war in dieser Arbeit die neue Einteilung der *intermediate risk* Gruppe des Karyotyps nach IPSS-R. Der Einfluss von möglichen *Confoundern* wie zum Beispiel verschiedenen Therapiestrategien konnte in dieser Studie nicht untersucht werden. Eine Analyse des Chromosomensatzes wird dennoch seit Jahren routinemäßig zu Beginn der Diagnosestellung durchgeführt. Im Zuge dieser Untersuchung sollten vor allem die Einordnung der neu entdeckten zytogenetischen Aberrationen mit einer besonders guten Prognose wie der Monosomie X oder dem Derivatchromosom (1;7) sowie die Trisomie 11 mit ihrer ungünstigen Prognose eine Berücksichtigung finden, da sie das klinische *Outcome* signifikant beeinflussen. Außerdem sollten die chromosomal Befunde im Verlauf, wann immer möglich, durch weitere *Follow-up*-Untersuchungen zum Beispiel aus dem peripheren Blut ergänzt werden, da eine klonale Evolution die Prognose hoch signifikant verschlechtert. Dadurch ließe sich ein Progress der Erkrankung früh detektieren und das therapeutische Vorgehen an den individuellen Krankheitsverlauf des Patienten anpassen.

## 5 LITERATUR- UND QUELLENVERZEICHNIS

1. Nachtkamp, K., et al., *P094 - Topic: AS06-Prognosis/AS06a-Prognostic factors of outcome and risk assessment: INTERMEDIATE RISK KARYOTYPE BY IPSS-R CAN BE SEPARATED INTO 5 PROGNOSTICALLY DISTINCT SUBGROUPS IN MDS PATIENTS.* Leukemia Research, 2023. **128**: p. 107229.
2. Aul, C., N. Gattermann, and W. Schneider, *Age-related incidence and other epidemiological aspects of myelodysplastic syndromes.* Br J Haematol, 1992. **82**(2): p. 358-67.
3. Aul, C., et al., *Increasing incidence of myelodysplastic syndromes: real or fictitious?* Leuk Res, 1998. **22**(1): p. 93-100.
4. Neukirchen, J., et al., *Incidence and prevalence of myelodysplastic syndromes: data from the Dusseldorf MDS-registry.* Leuk Res, 2011. **35**(12): p. 1591-6.
5. Zeidan, A.M., et al., *Epidemiology of myelodysplastic syndromes: Why characterizing the beast is a prerequisite to taming it.* Blood Rev, 2019. **34**: p. 1-15.
6. Germing, U., et al., *No increase in age-specific incidence of myelodysplastic syndromes.* Haematologica, 2004. **89**(8): p. 905-10.
7. Hata, T., D. Imanishi, and Y. Miyazaki, *Lessons from the atomic bomb about secondary MDS.* Curr Hematol Malig Rep, 2014. **9**(4): p. 407-11.
8. Kennedy, A.L. and A. Shimamura, *Genetic predisposition to MDS: clinical features and clonal evolution.* Blood, 2019. **133**(10): p. 1071-1085.
9. Haferlach, T., et al., *Landscape of genetic lesions in 944 patients with myelodysplastic syndromes.* Leukemia, 2014. **28**(2): p. 241-7.
10. Ogawa, S., *Genetics of MDS.* Blood, 2019. **133**(10): p. 1049-1059.
11. Hosono, N., *Genetic abnormalities and pathophysiology of MDS.* Int J Clin Oncol, 2019. **24**(8): p. 885-892.
12. Medyoub, H., et al., *Myelodysplastic cells in patients reprogram mesenchymal stromal cells to establish a transplantable stem cell niche disease unit.* Cell Stem Cell, 2014. **14**(6): p. 824-37.
13. Sallman, D.A., et al., *Unraveling the Pathogenesis of MDS: The NLRP3 Inflammasome and Pyroptosis Drive the MDS Phenotype.* Front Oncol, 2016. **6**: p. 151.
14. Germing, U., et al., *Myelodysplastic syndromes: diagnosis, prognosis, and treatment.* Dtsch Arztebl Int, 2013. **110**(46): p. 783-90.
15. Malcovati, L., et al., *Diagnosis and treatment of primary myelodysplastic syndromes in adults: recommendations from the European LeukemiaNet.* Blood, 2013. **122**(17): p. 2943-64.
16. Verburgh, E., et al., *A new disease categorization of low-grade myelodysplastic syndromes based on the expression of cytopenia and dysplasia in one versus more than one lineage improves on the WHO classification.* Leukemia, 2007. **21**(4): p. 668-77.
17. Greenberg, P.L., et al., *Cytopenia levels for aiding establishment of the diagnosis of myelodysplastic syndromes.* Blood, 2016. **128**(16): p. 2096-2097.
18. Arber, D.A., et al., *The 2016 revision to the World Health Organization classification of myeloid neoplasms and acute leukemia.* Blood, 2016. **127**(20): p. 2391-405.

19. Valent, P., et al., *Proposed minimal diagnostic criteria for myelodysplastic syndromes (MDS) and potential pre-MDS conditions*. Oncotarget, 2017. **8**(43): p. 73483-73500.
20. Boutault, R., et al., *A novel complete blood count-based score to screen for myelodysplastic syndrome in cytopenic patients*. Br J Haematol, 2018. **183**(5): p. 736-746.
21. Montalban-Bravo, G. and G. Garcia-Manero, *Myelodysplastic syndromes: 2018 update on diagnosis, risk-stratification and management*. Am J Hematol, 2018. **93**(1): p. 129-147.
22. Mufti, G.J., et al., *Diagnosis and classification of myelodysplastic syndrome: International Working Group on Morphology of myelodysplastic syndrome (IWGM-MDS) consensus proposals for the definition and enumeration of myeloblasts and ring sideroblasts*. Haematologica, 2008. **93**(11): p. 1712-7.
23. Germing, U., et al., *Evaluation of dysplasia through detailed cytomorphology in 3156 patients from the Dusseldorf Registry on myelodysplastic syndromes*. Leuk Res, 2012. **36**(6): p. 727-34.
24. Itzykson, R., et al., *Diagnosis and Treatment of Chronic Myelomonocytic Leukemias in Adults: Recommendations From the European Hematology Association and the European LeukemiaNet*. Hemasphere, 2018. **2**(6): p. e150.
25. Valent, P., et al., *Definitions and standards in the diagnosis and treatment of the myelodysplastic syndromes: Consensus statements and report from a working conference*. Leuk Res, 2007. **31**(6): p. 727-36.
26. Buesche, G., et al., *Marrow fibrosis predicts early fatal marrow failure in patients with myelodysplastic syndromes*. Leukemia, 2008. **22**(2): p. 313-22.
27. Westers, T.M., et al., *Standardization of flow cytometry in myelodysplastic syndromes: a report from an international consortium and the European LeukemiaNet Working Group*. Leukemia, 2012. **26**(7): p. 1730-41.
28. Mufti, G.J., et al., *Diagnostic algorithm for lower-risk myelodysplastic syndromes*. Leukemia, 2018. **32**(8): p. 1679-1696.
29. Steidl, C., et al., *Adequate cytogenetic examination in myelodysplastic syndromes: analysis of 529 patients*. Leuk Res, 2005. **29**(9): p. 987-93.
30. Hussein, K., et al., *Peripheral blood cytogenetic studies in hematological neoplasms: predictors of obtaining metaphases for analysis*. Eur J Haematol, 2008. **80**(4): p. 318-21.
31. Mohamedali, A.M., et al., *High concordance of genomic and cytogenetic aberrations between peripheral blood and bone marrow in myelodysplastic syndrome (MDS)*. Leukemia, 2015. **29**(9): p. 1928-38.
32. Mohamedali, A.M., et al., *Utility of peripheral blood for cytogenetic and mutation analysis in myelodysplastic syndrome*. Blood, 2013. **122**(4): p. 567-70.
33. An international system for human cytogenetic nomenclature (1978) ISCN (1978). Report of the Standing Committee on Human Cytogenetic Nomenclature. Cytogenet Cell Genet, 1978. **21**(6): p. 309-409.
34. Cherry, A.M., et al., *Comparison of interphase FISH and metaphase cytogenetics to study myelodysplastic syndrome: an Eastern Cooperative Oncology Group (ECOG) study*. Leuk Res, 2003. **27**(12): p. 1085-90.
35. Haase, D., et al., *New insights into the prognostic impact of the karyotype in MDS and correlation with subtypes: evidence from a core dataset of 2124 patients*. Blood, 2007. **110**(13): p. 4385-95.

36. Haase, D., *Cytogenetic features in myelodysplastic syndromes*. Ann Hematol, 2008. **87**(7): p. 515-26.
37. Lindsley, R.C. and B.L. Ebert, *Molecular pathophysiology of myelodysplastic syndromes*. Annu Rev Pathol, 2013. **8**: p. 21-47.
38. Gargallo, P., et al., *Next-Generation DNA Sequencing-Based Gene Panel for Diagnosis and Genetic Risk Stratification in Onco-Hematology*. Cancers (Basel), 2022. **14**(8).
39. Cazzola, M., M.G. Della Porta, and L. Malcovati, *The genetic basis of myelodysplasia and its clinical relevance*. Blood, 2013. **122**(25): p. 4021-34.
40. Bennett, J.M., et al., *Proposals for the classification of the myelodysplastic syndromes*. Br J Haematol, 1982. **51**(2): p. 189-99.
41. Gattermann, N., C. Aul, and W. Schneider, *Two types of acquired idiopathic sideroblastic anaemia (AISA)*. Br J Haematol, 1990. **74**(1): p. 45-52.
42. Rosati, S., et al., *Refractory cytopenia with multilineage dysplasia: further characterization of an 'unclassifiable' myelodysplastic syndrome*. Leukemia, 1996. **10**(1): p. 20-6.
43. Germing, U., et al., *Two types of acquired idiopathic sideroblastic anaemia (AISA): a time-tested distinction*. Br J Haematol, 2000. **108**(4): p. 724-8.
44. Greenberg, P., et al., *International scoring system for evaluating prognosis in myelodysplastic syndromes*. Blood, 1997. **89**(6): p. 2079-88.
45. Estey, E., et al., *Treatment of myelodysplastic syndromes with AML-type chemotherapy*. Leuk Lymphoma, 1993. **11 Suppl 2**: p. 59-63.
46. Bernstein, S.H., et al., *Acute myeloid leukemia-type chemotherapy for newly diagnosed patients without antecedent cytopenias having myelodysplastic syndrome as defined by French-American-British criteria: a Cancer and Leukemia Group B Study*. J Clin Oncol, 1996. **14**(9): p. 2486-94.
47. Michaux, J.L. and P. Martiat, *Chronic myelomonocytic leukaemia (CMML)--a myelodysplastic or myeloproliferative syndrome?* Leuk Lymphoma, 1993. **9**(1-2): p. 35-41.
48. Germing, U., et al., *Problems in the classification of CMML--dysplastic versus proliferative type*. Leuk Res, 1998. **22**(10): p. 871-8.
49. Harris, N.L., et al., *The World Health Organization classification of neoplastic diseases of the hematopoietic and lymphoid tissues. Report of the Clinical Advisory Committee meeting, Airlie House, Virginia, November, 1997*. Ann Oncol, 1999. **10**(12): p. 1419-32.
50. Vardiman, J., *The classification of MDS: from FAB to WHO and beyond*. Leuk Res, 2012. **36**(12): p. 1453-8.
51. Vardiman, J.W., et al., *The 2008 revision of the World Health Organization (WHO) classification of myeloid neoplasms and acute leukemia: rationale and important changes*. Blood, 2009. **114**(5): p. 937-51.
52. Malcovati, L., et al., *Clinical significance of SF3B1 mutations in myelodysplastic syndromes and myelodysplastic/myeloproliferative neoplasms*. Blood, 2011. **118**(24): p. 6239-46.
53. Mallo, M., et al., *Impact of adjunct cytogenetic abnormalities for prognostic stratification in patients with myelodysplastic syndrome and deletion 5q*. Leukemia, 2011. **25**(1): p. 110-20.

54. Wang, S.A., et al., *Acute erythroid leukemia with <20% bone marrow blasts is clinically and biologically similar to myelodysplastic syndrome with excess blasts*. Mod Pathol, 2016. **29**(10): p. 1221-31.
55. Schuler, E., et al., *Refined medullary blast and white blood cell count based classification of chronic myelomonocytic leukemias*. Leuk Res, 2014. **38**(12): p. 1413-9.
56. Garcia-Manero, G., *Prognosis of myelodysplastic syndromes*. Hematology Am Soc Hematol Educ Program, 2010. **2010**: p. 330-7.
57. Nachtkamp, K., et al., *Causes of death in 2877 patients with myelodysplastic syndromes*. Ann Hematol, 2016. **95**(6): p. 937-44.
58. Germing, U. and A. Kundgen, *Prognostic scoring systems in MDS*. Leuk Res, 2012. **36**(12): p. 1463-9.
59. Greenberg, P.L., et al., *Revised international prognostic scoring system for myelodysplastic syndromes*. Blood, 2012. **120**(12): p. 2454-65.
60. Neukirchen, J., et al., *Validation of the revised international prognostic scoring system (IPSS-R) in patients with myelodysplastic syndrome: a multicenter study*. Leuk Res, 2014. **38**(1): p. 57-64.
61. Savic, A., et al., *Validation of the Revised International Prognostic Scoring System for patients with myelodysplastic syndromes*. Acta Haematol, 2014. **131**(4): p. 231-8.
62. Pfeilstocker, M., et al., *Time-dependent changes in mortality and transformation risk in MDS*. Blood, 2016. **128**(7): p. 902-10.
63. Bernard, E., et al., *Molecular International Prognostic Scoring System for Myelodysplastic Syndromes*. NEJM Evidence, 2022. **1**(7): p. EVIDoa2200008.
64. Wu, J., et al., *IPSS-M has greater survival predictive accuracy compared with IPSS-R in persons >/= 60 years with myelodysplastic syndromes*. Exp Hematol Oncol, 2022. **11**(1): p. 73.
65. Platzbecker, U., *Treatment of MDS*. Blood, 2019. **133**(10): p. 1096-1107.
66. Carraway, H.E. and C. Saygin, *Therapy for lower-risk MDS*. Hematology Am Soc Hematol Educ Program, 2020. **2020**(1): p. 426-433.
67. Bazinet, A. and G.M. Bravo, *New Approaches to Myelodysplastic Syndrome Treatment*. Curr Treat Options Oncol, 2022. **23**(5): p. 668-687.
68. Angelucci, E., et al., *Iron Chelation in Transfusion-Dependent Patients With Low-to Intermediate-1-Risk Myelodysplastic Syndromes: A Randomized Trial*. Ann Intern Med, 2020. **172**(8): p. 513-522.
69. Meng, F., et al., *Safety and Efficacy of Eltrombopag and Romiplostim in Myelodysplastic Syndromes: A Systematic Review and Meta-Analysis*. Front Oncol, 2020. **10**: p. 582686.
70. Platzbecker, U., et al., *Luspatercept for the treatment of anaemia in patients with lower-risk myelodysplastic syndromes (PACE-MDS): a multicentre, open-label phase 2 dose-finding study with long-term extension study*. Lancet Oncol, 2017. **18**(10): p. 1338-1347.
71. Santini, V., et al., *Impact of Lenalidomide Treatment on Overall Survival in Patients With Lower-Risk, Transfusion-Dependent Myelodysplastic Syndromes*. Clin Lymphoma Myeloma Leuk, 2022. **22**(9): p. e874-e883.
72. Stahl, M., et al., *The use of immunosuppressive therapy in MDS: clinical outcomes and their predictors in a large international patient cohort*. Blood Adv, 2018. **2**(14): p. 1765-1772.

73. Fenaux, P., U. Platzbecker, and L. Ades, *How we manage adults with myelodysplastic syndrome*. Br J Haematol, 2020. **189**(6): p. 1016-1027.
74. Sockel, K. and U. Platzbecker, *When to transplant MDS, and what to do when transplant fails*. Curr Hematol Malig Rep, 2013. **8**(4): p. 379-85.
75. Rautenberg, C., et al., *Influence of somatic mutations and pretransplant strategies in patients allografted for myelodysplastic syndrome or secondary acute myeloid leukemia*. Am J Hematol, 2021. **96**(1): p. E15-E17.
76. Silverman, L.R., et al., *Randomized controlled trial of azacitidine in patients with the myelodysplastic syndrome: a study of the cancer and leukemia group B*. J Clin Oncol, 2002. **20**(10): p. 2429-40.
77. Fenaux, P., et al., *Azacitidine (AZA) Treatment Prolongs Overall Survival (OS) in Higher-Risk MDS Patients Compared with Conventional Care Regimens (CCR): Results of the AZA-001 Phase III Study*. Blood, 2007. **110**(11): p. 817-817.
78. Kantarjian, H., et al., *Decitabine improves patient outcomes in myelodysplastic syndromes: results of a phase III randomized study*. Cancer, 2006. **106**(8): p. 1794-803.
79. DiNardo, C.D., et al., *Azacitidine and Venetoclax in Previously Untreated Acute Myeloid Leukemia*. N Engl J Med, 2020. **383**(7): p. 617-629.
80. Koenig, K.L. and U. Borate, *New investigational combinations for higher-risk MDS*. Hematology Am Soc Hematol Educ Program, 2022. **2022**(1): p. 368-374.
81. Neukirchen, J., et al., *Cytogenetic clonal evolution in myelodysplastic syndromes is associated with inferior prognosis*. Cancer, 2017. **123**(23): p. 4608-4616.
82. Strupp, C., et al., *New proposals of the WHO working group (2016) for the diagnosis of myelodysplastic syndromes (MDS): Characteristics of refined MDS types*. Leuk Res, 2017. **57**: p. 78-84.
83. Volpe, V.O., G. Garcia-Manero, and R.S. Komrokji, *Myelodysplastic Syndromes: A New Decade*. Clin Lymphoma Myeloma Leuk, 2022. **22**(1): p. 1-16.
84. Sole, F., et al., *Incidence, characterization and prognostic significance of chromosomal abnormalities in 640 patients with primary myelodysplastic syndromes*. Grupo Cooperativo Espanol de Citogenetica Hematologica. Br J Haematol, 2000. **108**(2): p. 346-56.
85. Braulke, F., et al., *Peripheral blood cytogenetics allows treatment monitoring and early identification of treatment failure to lenalidomide in MDS patients: results of the LE-MON-5 trial*. Ann Hematol, 2017. **96**(6): p. 887-894.
86. Zahid, M.F., et al., *Cytogenetic Abnormalities in Myelodysplastic Syndromes: An Overview*. Int J Hematol Oncol Stem Cell Res, 2017. **11**(3): p. 231-239.
87. Feurstein, S., et al., *Germline variants drive myelodysplastic syndrome in young adults*. Leukemia, 2021. **35**(8): p. 2439-2444.
88. Schanz, J., et al., *Detailed analysis of clonal evolution and cytogenetic evolution patterns in patients with myelodysplastic syndromes (MDS) and related myeloid disorders*. Blood Cancer J, 2018. **8**(3): p. 28.
89. Menssen, A.J. and M.J. Walter, *Genetics of progression from MDS to secondary leukemia*. Blood, 2020. **136**(1): p. 50-60.
90. Abruzzese, E., et al., *Monosomy X as a recurring sole cytogenetic abnormality associated with myelodysplastic diseases*. Cancer Genet Cytogenet, 1997. **93**(2): p. 140-6.

91. Ganster, C., et al., *Comprehensive analysis of isolated der(1;7)(q10;p10) in a large international homogenous cohort of patients with myelodysplastic syndromes*. Genes Chromosomes Cancer, 2019. **58**(10): p. 689-697.
92. Pozdnyakova, O., et al., *Cytogenetic abnormalities in a series of 1,029 patients with primary myelodysplastic syndromes: a report from the US with a focus on some undefined single chromosomal abnormalities*. Cancer, 2008. **113**(12): p. 3331-40.
93. Wang, S.A., et al., *Trisomy 11 in myelodysplastic syndromes defines a unique group of disease with aggressive clinicopathologic features*. Leukemia, 2010. **24**(4): p. 740-7.
94. Sierra, M., et al., *Hematological, immunophenotypic, and cytogenetic characteristics of acute myeloblastic leukemia with trisomy 11*. Cancer Genet Cytogenet, 2005. **160**(1): p. 68-72.
95. Andersen, M.K., et al., *Duplication or amplification of chromosome band 11q23, including the unarranged MLL gene, is a recurrent abnormality in therapy-related MDS and AML, and is closely related to mutation of the TP53 gene and to previous therapy with alkylating agents*. Genes Chromosomes Cancer, 2001. **31**(1): p. 33-41.
96. Horiike, S., et al., *Chromosome abnormalities and karyotypic evolution in 83 patients with myelodysplastic syndrome and predictive value for prognosis*. Cancer, 1988. **62**(6): p. 1129-38.
97. Haferlach, C., et al., *Cytogenetic Clonal Evolution in MDS Is Associated with Shifts towards Unfavorable Karyotypes According to IPSS and Shorter Overall Survival: A Study on 988 MDS Patients Studied Sequentially by Chromosome Banding Analysis*. Blood, 2011. **118**(21): p. 968-968.
98. Bernasconi, P., et al., *Does cytogenetic evolution have any prognostic relevance in myelodysplastic syndromes? A study on 153 patients from a single institution*. Annals of Hematology, 2010. **89**(6): p. 545-551.
99. Wang, H., et al., *Cytogenetic evolution correlates with poor prognosis in myelodysplastic syndrome*. Cancer Genet Cytogenet, 2010. **196**(2): p. 159-66.

## 6 ANHANG

**Tabelle 38: Chromosomensätze bei Erstdiagnose der Kategorie "Diverse 1-2"**

Nr.	ID	Chromosomensatz bei Erstdiagnose
<b>1</b>	9245	46,XY,add(6)(p2?3)[3]/46,XY[19]
<b>2</b>	8916	46, XY,t(3;12)(q26;p13)[11]/45,X,-Y[11]/46,XY[2]
<b>3</b>	9253	46,XY,-7,+mar[23]/46,XY[3]
<b>4</b>	8942	47,XY,+19[22]/46,XY[4]
<b>5</b>	7905	46,XX,t(6;12;21)(q13;p12;q22)[2]/46,XX[19]
<b>6</b>	8827	46,X,der(Y)?add(Y)(q12)?cl[20]
<b>7</b>	9235	46,X,inv(Y)(p11q12)[20]
<b>8</b>	9121	46,XY[18]/47,XY,+3[1]/46,XY,del(6)[1]
<b>9</b>	9118	46,XX,del(9)(q13)[24]
<b>10</b>	9053	45,XX,-7,del(20)(q13.1)[24]/46,XX[1]
<b>11</b>	9109	45,XY, -7 [20]
<b>12</b>	3662	46,XX,del(5)(14q31)[25]/47,XX,del(5)(14q31),+8[2]
<b>13</b>	1319	46,XX,add(7)(q3?) [9]46,XX[11]
<b>14</b>	9016	46,XY,del(9)(q21q34)[8]/47,XY,+del(9)(q21q34),del(9)(q21q34)[2]/46,XY[11]
<b>15</b>	8548	46,XY,del(1)(p13p22),del(20)(q11q13)[21]/46,XY[3]
<b>16</b>	9061	47,XX,+8[16]/48,XX,+8,+9[3]/46,XX[1]
<b>17</b>	1441	46,XY,t(1;15)(p36;q15)[20]
<b>18</b>	8967	47,XY,+19[25]
<b>19</b>	9029	46,XY,del(5)(q14q34)[14]/47,XY,+8[3]/46,XY[6]
<b>20</b>	8427	46,XY,del(3)(q25)[2]/46,XY[22]
<b>21</b>	8297	46,XX,del(5)(q22q34)[3]/46,idem,+21[21]
<b>22</b>	7839	46,XY,del(5)(q22q33)[13]/47,idem,+21[11]
<b>23</b>	7419	46,XY,del(5)(q22q33)[14]/45,XY,-7[3]/46,XY[2] (PB)
<b>24</b>	7213	46,XX,del(5)(q14,q34)[6]/47,XX,+8[1]/46,XX[8]
<b>25</b>	3853	46,XX,del(5)(q13;q34),del(11)(q22)[14]/46,XX[1]
<b>26</b>	9006	46,XX[25]/46,XX,t(15;19)[1]
<b>27</b>	8215	46,XY,t(5;21)(q31;q22)[21]
<b>28</b>	5717	46,XX,del(11)(q23)[2]/46,XX,del(5)(q15q33),del(11)(q23)[20]/ 46,XX[3]
<b>29</b>	1927	46,XX,del(5)(q13q33)[10]/46,idem,del(12)(p12)[6]/46,XX[4]
<b>30</b>	8226	45,XY,del(5)(q15q31),-7[25]
<b>31</b>	2622	46,XY,+1,der(1;7)(q10;q10)[5]/46,XY[17]
<b>32</b>	9013	45,X,-X[24]
<b>33</b>	8230	47,XY,+8[12]/48,XY,+8,+8[11]
<b>34</b>	7139	46,XY,t(2;3)(p22;q26)[15]

<b>35</b>	1147	47,XY,+19[2]/46,YX,del(7q)[1]/46,XY[17]
<b>36</b>	8931	47,XY,+13[3]/46,XY[20]
<b>37</b>	6185	46,XY,add(11)(q23)[27]
<b>38</b>	8299	45,X,-X?c,del(5)(q13q?31)[6]
<b>39</b>	5864	45,XX, rob(13;15)(q10;q10)[2]
<b>40</b>	8002	46,XX,t(8;12)(p11;q12)[20]
<b>41</b>	1689	47,XY,+15[5]
<b>42</b>	8914	47,XX,+8[30]/47,XX,+12[2]/46,XX[9]
<b>43</b>	2964	46,XY,der(1;7)(q10;p10)[4]/46,XY[11]
<b>44</b>	8913	45,XY,-21[3]/46,XY[22]
<b>45</b>	7314	46,XX,del(5)(q14q34)[14]/47,XX,+8[5]/46,XX[1]
<b>46</b>	8322	46,XY,del(5)(q14q34)[6]/45,X,-Y[7]/46,XY[7]
<b>47</b>	8903	46,XY,-7[20]
<b>48</b>	8876	46,XX,der(16;17)(p10;q10)[13]/46,XX[7]
<b>49</b>	8648	46,XX,+1,der(1;7)(p10;p10)[11]/46,XX[14]
<b>50</b>	7924	45,X,-Y,t(8;21)(q22;22)[18]/46,XY[6]
<b>51</b>	8807	45,XX-7[4]/45,XX,-7,t(12;13)(p13;q14)[4]/46,XX[14]
<b>52</b>	8691	45,XY,-7[20]/46,XY[6]
<b>53</b>	8598	46,XX,del(5)(q14q33)[21]/46,idem,del(13q)[2]
<b>54</b>	8760	47,XY,+11[13]/46,XY[7]
<b>55</b>	8746	46,XY,t(8;12)(p11;q13)[16]/46,XY[4]
<b>56</b>	8620	45,XY,-7[14]/46,XY,i(17)(q10)[5]/46,XY[6]
<b>57</b>	1909	46,XX,del(13)(q13q31)[17]/46,XX[3]
<b>58</b>	8771	46,XY,t(2;12)(p13;q24,1)?c[27]
<b>59</b>	6593	47,XY,+C[3]/46,XY[3]
<b>60</b>	7601	47,XX,+8,del(17)(q11q11)[18]/46,XX[7]
<b>61</b>	8759	45,X,-X?c[10]/46,XX[20]
<b>62</b>	8787	46,XY,del(3)(q24q26)[10]/46,XY[10]
<b>63</b>	8674	45,XO[12]/46,XX[6]
<b>64</b>	6122	46,XY,+1,der(1;7)(q10;q10)[14]/46,XY[6]
<b>65</b>	8656	46,XY,del(9(q13)[1] (KM); 46,XY,del(9)(q13)[22]/46,XY[2] (PB)
<b>66</b>	5598	46,XX,t(4;6)(p14,p21)[24]
<b>67</b>	8523	46,XY[21]/45,XY,-7[2]
<b>68</b>	8514	45,XX,-7[23]/46,XX[1] (PB)
<b>69</b>	7403	45,XY,-7[2]/45,XY,t(6;8)(q21;q24),-7[19]/46,XY[4]
<b>70</b>	8046	47,XX,del(5)(q15q33),+21[4]/46,XX[2]
<b>71</b>	8411	45,X,-Y,del(5)(q21q35)[15]/46,XY[7]

<b>72</b>	8673	48,XX,+der(11)(11pter->11p15::11q23::11p11::11q22->11q11: :11q22->11qter)x2[20]/46,XX[4]
<b>73</b>	1844	46,XX,t(1;3)(p36;p21),del(5)(q13q33)[16]/46,XX[3]
<b>74</b>	8318	45,XX,-7[24]
<b>75</b>	8498	45,XX,-7[25]/46,XX[2]
<b>76</b>	5510	45, XY,-7[19]/45,XY,-7,add(10)(q24)[2]/46,XY[1]
<b>77</b>	7449	46,XY[9]/45,XY,-7[8]
<b>78</b>	8544	46,XX,i(17)(q10)[19]/46,idem,add(11)(q23)[5]
<b>79</b>	8082	47,XY,+11[27] (KM); 46,XY[24] (PB)
<b>80</b>	8534	46,XX,der(2)t(1;2)(q21;q32)[20]/46,idem,del(16)(p11)[3]/46,XX[1]
<b>81</b>	8196	46,XX,del(11)(q21)[6]/47,XX,+8,del(11)(q21)[20]
<b>82</b>	3878	46,XY,add(4)(p1?6)[20]/46,XY[10]
<b>83</b>	7931	46,XY,del(5)(q14q34)[2]/47,XY,del(5)(q22q33),+8[6]/46,XY[15]
<b>84</b>	8062	46,XY,der(7),del(7)(q22)[14]
<b>85</b>	8518	46,X,-Y,+15[13]/46,XY[9]
<b>86</b>	7237	47,XY,+X[20]
<b>87</b>	1717	45,XX,-5[3]46,XX[17]
<b>88</b>	5931	46,XY,der(11)t(3;11)(q13;q22)[18]/46,XY[4]
<b>89</b>	5727	45,X,-X[20]
<b>90</b>	7307	46,XX,t(3;11)(q25;q13)[6]/46,XX,t(3;11)(q25;q13),der(11)t(3;11) (q25;q13)[14]
<b>91</b>	1044	46,XX[19]/47,XX,+c[1]
<b>92</b>	3254	45,X,-X[21]/46,XX[2]
<b>93</b>	5848	46,XY,t(6;12)(q23;15)[19]/46,XY[6]
<b>94</b>	1128	45,XX,-7[31]
<b>95</b>	7464	46,XY,der(4)(4qter->4q24::4p15->4q21::4q24->14qter),der(14)t(4;14) (p15;q24)[15]/46,XY[5]
<b>96</b>	2840	46,XX[19]/45,XX,-7[1]/44,XX,-7,-7[2]
<b>97</b>	593	45,X0[3]/56,XX[27]
<b>98</b>	8304	45,X,-X[4]/46,XX[23]
<b>99</b>	6509	46,XX,+1,der(1;7)(q10,p10)[1]/46,XX[28]
<b>100</b>	6055	46,XX,t(1;21)(q21;q22)[6]/46,XX[24]
<b>101</b>	6079	46,XX,t(11;19)(q23;?p13)[25]
<b>102</b>	774	46,XX[13]/47,XX,+mar[1]/48,XX,+mar,+mar[1]
<b>103</b>	6569	45,X,-Y[27]/45,idem,del(20)(q11)[3]
<b>104</b>	2762	46,XY,t(5;10)(q33;q21?2)[21]/46,XY[1]
<b>105</b>	4030	46,XX,del(5)(q22q34)[13]/47,XX,del(5)(q22q34),+21[3]/46,XX[5]
<b>106</b>	8435	46,XX,del(5)(q14q34)[9]/47,XX,+8[2]/46,XX[9]
<b>107</b>	7440	46,XY,del(20)(q11q13)[3]/46,XY,ider(20)(q10),del(20)(q11q13) [2]/46,XY[16]

<b>108</b>	8492	46,XX,del(13)(q13q14)[12]/46,idem,t(12;17)(p12;p13)[6]/46,XX[8]
<b>109</b>	7843	46,XX[2]/46,XX,t(4;12)(q12;p12?)[14]
<b>110</b>	2485	46,XY,t(4;22)(q;q)[18]/46,XY[4]
<b>111</b>	7693	46,XX,-7,+mar[23]/46,XX[1] (PB)
<b>112</b>	7371	47,XX,+8,del(20)(q11)[23]/46,XX[1]
<b>113</b>	8018	46,XY,inv(7)(p23p23)?del(7q)[17]/46,XY[6]
<b>114</b>	5858	47,XX,+11[22]
<b>115</b>	8434	46,XX,inv(1)(q25q41/2)c?[12]/46,XX[12]
<b>116</b>	8160	47,XY,+21[22] (PB)
<b>117</b>	5922	46,XY,t(2;8)(q12;q24)[22]
<b>118</b>	7359	46, XY,inv(3)(q21q26)[10]/46,idem.del(9)(q22)[18]
<b>119</b>	7626	47,XX,+der(1,19)(q10,q10)[24] (PB)
<b>120</b>	1999	46,XX[6]/46,XX,t(6;9)(p23q34)[14]
<b>121</b>	7319	45,XY,-7[12]/46,XY[8]
<b>122</b>	6262	46,XY[29]/46,XY,t(5;19)[1]
<b>123</b>	5643	46,XY,t(2;11)(p21;q23),del(5q)(q22q33)[20]/46,XY[3]
<b>124</b>	8485	46,XY,del(1)(p34p36)[16]/46,XY[4] (KM); 46,XY,del(1)(q36)[20]/46,idem,add(3)(q26-7)[4] (PB)
<b>125</b>	6618	46,XX,del(5)(q14q34),del(20)(q11q13)[2]/46,XX[1]
<b>126</b>	2047	46,XX[20]/46,XX,del(14q)[1]
<b>127</b>	1719	47,XY,+mar[3]46,XY[17]/45,X,-Y[2]
<b>128</b>	7797	47,XX,+11[24]
<b>129</b>	3432	46,XY,inv(9)(p11q13)[16]/46,idem,add(7q)[6]
<b>130</b>	1998	46,XY,t(3;5)(q23?;q33?)[17]/45,idem,-19[3]
<b>131</b>	8488	45,X,-Y[7]/46,XY[1]/46,X,-Y,+8[1] (PB)
<b>132</b>	7660	46,XX,inv(1)(q21q32)[24]/46,XX[2]
<b>133</b>	7727	47,XY,del(7)(q22),+8[28]
<b>134</b>	6248	46,XY,+1,der(1;7)(q10;p10)[25]/46,XY[3]
<b>135</b>	7768	46,XY,der(7)(del7q11),del(7)(p)[31]
<b>136</b>	7583	45,XY,-7[9]/46,XY[11]
<b>137</b>	6564	47,XX,+9[5]/46,XX[24]
<b>138</b>	1720	46,XY[19]/47,XY,+mar[1]
<b>139</b>	2669	46,XY,+1,der(1;7)(q10;p10) [18]/46,XY[2]
<b>140</b>	599	46,XX[15]/46,XX,del(10p)[1]
<b>141</b>	790	46,XX[13]/46,XX,del(13)(q12;q14)[4]
<b>142</b>	1748	46,XY,del(15q)[2]/46,XY[18]
<b>143</b>	3017	46,XY[18]/47,XY,+mar[4]
<b>144</b>	2195	46,XY,+der(1;14)(q11;q11),-14[20]/46,XY[2]

<b>145</b>	7414	46,XX,del(12)(q21;q24)[20]
<b>146</b>	7108	46,XX,t(8;11)(?p23;7q11)[2]/46,XX[7]
<b>147</b>	2118	46,XX[18]/46,XX,del(11q)[1]/47,XX,+3[1]
<b>148</b>	7426	46,XY,del(11)(q14)[23]/46,XY[4]
<b>149</b>	7144	46,XY,del(12)(p12p13),del(20)(q11q13)[20]/46,XY[2]
<b>150</b>	8399	47,XX,+14[1]/46,XX,+14,der(14;14)(q10;q10)[9]/46,XX[10]
<b>151</b>	1082	46,XX,del(5q)[2]/46,XX[17]/46,XX,i(10)(q)[1]
<b>152</b>	8441	46,XY,inv(16)(p13q22)[5]/46,XY[1]
<b>153</b>	8610	46,XX,del(5)(q14q34)[10]/47,XX,+8[4]/46,XX[6]
<b>154</b>	6082	45,X,-Y[4]/46,XY,del(20)(q11.2)[1]/46,XY[12]
<b>155</b>	8026	46,XX,t(2;3)(p16~21;q2?6)[24]/46,XX[1]
<b>156</b>	7666	46,XX,del(2)(q32),del(5)(q12;q33)[18]/46,XX[8]
<b>157</b>	7256	45,XY,-7[24]/46,XY[5]
<b>158</b>	6070	45,X,-Y[3]/46,XY[25]/47,XY,+8[1]
<b>159</b>	2714	47,XY,+mar[4]/46,XY[17]
<b>160</b>	7024	46,XY,i(14)(q10)[14]/46,XY[10]
<b>161</b>	6023	46,XX,t(2;3)(p23;q26)[22]/46,XX[2]
<b>162</b>	6044	46,XY,del(6)(q21q23),t(10;12)(q11;p11)[4]/46,XY[17]
<b>163</b>	7676	46,XX,t(9;22)(q34;q11)[24]
<b>164</b>	8443	45,XX,dic(9;15)(q11;p11),der(11)t(9;11)(q31;22)[16]/46,XX[6]
<b>165</b>	7142	45,XX,-7[20]
<b>166</b>	2359	46,XY,+1,der(1;7)(q10;p10)[15]/46,XY[8]
<b>167</b>	7124	46,XY,del(11)(q14q25)[16]/46,XY[4]
<b>168</b>	6321	48,XY,+8,+14[3]/46,XY[19]
<b>169</b>	8174	45,XY,-7[18]/46,XY[2]
<b>170</b>	6537	46,XX,t(1;5)(p31;q?33)[20]/46,XX[3]
<b>171</b>	8892	46,XX,+1,der(1;7)(q10;p10)[13]/46,XX[7]
<b>172</b>	6516	46,XY,i(17)(q10)[11]
<b>173</b>	8102	45,X,-X[20]
<b>174</b>	7057	46,XY,t(3;3)(q21;q26)[21]/46,idem,t(7;18)(p10;q10)[3] (PB)
<b>175</b>	8167	45,XY,-7[22]/46,-7,+mar[5]/46,XY [1]
<b>176</b>	6243	46,XY,der(7)t(1;7)(q11;q21)[18]/46,XY[2]
<b>177</b>	7621	45,XY,-7[8]/46,XY[12]
<b>178</b>	7268	45,X,-Y,inv(3)(q21q26)[2]
<b>179</b>	3562	46,XX,del(6)(q?24)[6]/46,XX[17]
<b>180</b>	7054	47,XY,+8[19]/46,XY,del(7)(q21)[1]/46,XY[2]
<b>181</b>	7487	46,XX,del(5)(q14q33)[2]/46,idem,der(5;7)[4]/46,XX[13]
<b>182</b>	5945	45,XX,-7[11]/46,XX[9]

<b>183</b>	8444	46,XX[15]/46,XX,del(21)q(22)[6]
<b>184</b>	5998	47,XY,+21[7]/46,XY[16]
<b>185</b>	7087	47,XX,+19[6]/48,XX,+8,+19[2]
<b>186</b>	6596	46,XY,t(11;12)(q23;p12)[26]/46,XY[1]
<b>187</b>	3107	47,XY,+?Y,del(20)(q11)[9]/46,XY[14]
<b>188</b>	1765	46,XY,inv(9)(p11q13)[21]
<b>189</b>	2635	46,XX,inv(9)(p11q12)[17]
<b>190</b>	6557	45,XX,-21[5]/46,XX[23]
<b>191</b>	6531	46,XY,del(4)(q24q24)[3]/46,XY[18]
<b>192</b>	6353	44,X,-Y,-7[29]/46,XY[1]
<b>193</b>	6104	45,XX,-7[20]/46,XX[5]
<b>194</b>	6316	46,XX,del(12)(q?13q15)[10]/46,XX[14]
<b>195</b>	6073	46,XY,der(9)[4]/46,XY[15]
<b>196</b>	6394	47,XY,+del(1)(p22)[27]
<b>197</b>	2701	46,XX[19]/46,XX,del(10p)[1]/46,XX,t(8;14)[1]
<b>198</b>	5972	46,XY,del(11)(q21)[6]/46,XY,del(9)(q22)[4]/46,XY[18]
<b>199</b>	6051	46,XX,del(9)(q22)[3]/46,XX[14]
<b>200</b>	6469	45,XX,-7[19]/46,XX[9]
<b>201</b>	3088	47,XX,+4[8]/46,XX[16]
<b>202</b>	6547	47,XY,+10[11]/46,XY[9]
<b>203</b>	1541	46,XY[21]/45,XY,-7[1]
<b>204</b>	3289	46,XY,der(6)[23]
<b>205</b>	6362	45,XY,-7[5]/46,XY,-7,+mar[4]/46,XY[19]
<b>206</b>	3871	46,XX,del(5q)(q14-34)[2]/46,XX(del5q)(q14-34),del(13q)(14q-32)[10]
<b>207</b>	5821	47,XX,+9[3]/47,XX,+8[2]/46,XX[19]
<b>208</b>	6367	46,XX,+1,der(1;7)(p10:p10)[6]/46,XX[20]
<b>209</b>	6156	45,XX,t(3;3)(q21;q26),-7[18]/46,XX[3]
<b>210</b>	7457	45,XX,-7[13]/46,XX[8]
<b>211</b>	5704	46,XY,del(7)(q21q36)[15]/47,XY,+8[2]/46,XY[4]
<b>212</b>	6153	46,XY,idic(21)(p11)[13]/46,XY[7]
<b>213</b>	6200	46,XY,inv(9)(p12q13)c[20]
<b>214</b>	6159	45,XY,-7[12]/46,XY[11]
<b>215</b>	5809	46,XY,inv(9)(p11q13)[22]
<b>216</b>	5868	46,XX,inv(9)(p11q12)c[24]
<b>217</b>	7622	47,XY,+ 19[3]/46,XY[7]
<b>218</b>	6388	46,XY[5]/45,XY,-21[1] (KM); 46,XY[15]/45,XY,-21[2]/46,XY,-21,+c[1] (PB)
<b>219</b>	5941	45,XY,-20[3]/46,XY[21]
<b>220</b>	3070	46,XX,del(5)(q22q33)[11]/46,idem,del(17)(q25)[8]/46,XX[6]

<b>221</b>	6017	46,XY,der(20)del(20)(p11p13)del(20)(q11q13)[9]/46,XY[11]
<b>222</b>	7468	46,XX,i(17)(q11)[10]/46,XX[13]
<b>223</b>	5665	47,XY,+21[3]/46,XY[17]
<b>224</b>	5402	45,XY,-7[19]/46,XY[1]
<b>225</b>	5718	46,XY[21]/47,XY,+22[1]
<b>226</b>	5854	45,XY,-7[4]/46,XY[3]
<b>227</b>	5487	46,XY[23]/46,XY,add(8q)[1]
<b>228</b>	2160	46,XX[19]/47,XX,+18[1]
<b>229</b>	2266	47,XY,+8,del(11)(q13)[19]/46,XY[3]
<b>230</b>	5144	45,X,-Y[3]/46,XY[17]/44,-X,-Y[3]
<b>231</b>	5423	46,XX[5]/47,XX,+mar[5]
<b>232</b>	5653	45,XY,-7[17]/46,XY[5]
<b>233</b>	6190	47,XY,+9[10]
<b>234</b>	3183	46,XY,del(22)(q11)[7]/46,XY[16]
<b>235</b>	7481	46,XY,del(13)(q13q21)[15]/46,XY[8]
<b>236</b>	1551	46,XY,inv(9)(p11q13)[19]
<b>237</b>	5700	46,XY,+1,der(1;7)(q10,p10)[14]/46,XY[6]
<b>238</b>	5697	46,X,-Y,der(7)t(Y;7)(p11;p11)[6]
<b>239</b>	3956	46,X,t(X;17)(p11.2;q11.2)[12]/46,XX[13]
<b>240</b>	3433	45,X,-Y,del(20q)[23]
<b>241</b>	5833	46,XX,add(7)(q22)[22]
<b>242</b>	5855	46,XY,del(6)(q14q25)[6]/47,idem,+13[2]/46,XY[7]
<b>243</b>	5967	45,XY,-7[9]/46,XY[13]
<b>244</b>	2816	47,XY,-7[18]/46,XY[4]
<b>245</b>	5873	45,XX -7[16]/46,XX[9]
<b>246</b>	3629	46,XY,+1,der(1;7)(q10,p10)[6]/46,XY[16] (KM); 46,XY,+1,der(1;7)(q10,p10)[3]/46,XY[3] (PB)
<b>247</b>	8133	46,XY,inv(9)(q11q12)c[16]
<b>248</b>	5706	46,XY,inv(9)(p22q12)[18]/46,XY[2]
<b>249</b>	5676	46,XY,del(1)(q3?)[4]/46,XY[20]
<b>250</b>	3273	48,XY,+8,+19[23]/46,XY[1]
<b>251</b>	4043	47,XX,+q[4]/46,XX[19]
<b>252</b>	3376	46,XX,inv(9)(p11q13)[20]
<b>253</b>	3700	45,XX,i(14)(q11)[1]/46,idem,+14[1]/46,XX[18]
<b>254</b>	1034	46,XX,t(15;18)(q26;q21)[6]/46,XX[14]
<b>255</b>	2276	46,XY,t(4;11)(23;p13)[20]
<b>256</b>	3764	46,XY,inv(9)(p11q13)[25]
<b>257</b>	3328	46,XY,t(1;2)(p36;p21)[16]/46,XY[9]

<b>258</b>	3883	45,XX,-7[20]/46,XX[5]
<b>259</b>	5710	46,XY,del(11)(q21)[17]
<b>260</b>	2681	47,XX,+19[14]/46,XX[8]
<b>261</b>	2933	46,XY,del(13)(q12q32)[24]
<b>262</b>	5811	45,XY,-22[3]/46,XY[20]
<b>263</b>	7095	45,X,-X[24]
<b>264</b>	1846	46,XY[18]/45,XY,-22[2]
<b>265</b>	8151	46,XY,der(5;9)(q?22;q?13),t(11;20)(p15;q11)[11]/46,XY[12]
<b>266</b>	3934	47,XX,+11[12]
<b>267</b>	5308	46,XX,del(1)(p43)[3]/46,XX[20]
<b>268</b>	5360	46,XX,del(5)(q22q33)[26]/45,XX,del(5)(q22q33),-17[2]/46,XX[1]
<b>269</b>	4052	48,XY,+19,+r[23]
<b>270</b>	4001	46,XX[15]/45,X,-X[2]
<b>271</b>	4058	45,X,-Y,del(5)(q13q33) [26]
<b>272</b>	1339	47,XX,del(5)(q22q33),+21[22]
<b>273</b>	3314	46,XY,del(20)(q11)[14]/46,idem,del(12)(p11)[5]/46,XY[4]
<b>274</b>	5339	46,XX,del(5)(q13q31)[7]/47,XX,+8[6]/46,XX[13]
<b>275</b>	5645	46,XY,del(7)(q22q35)[3]/47,XY,del(7)(q22q35),+13[21]
<b>276</b>	1724	46,XY,del(1)(q23)[4]
<b>277</b>	2354	46,XX[17]/46,XX,del(11)(q21)[1]
<b>278</b>	2808	46,XX,del(7)(q22)[11]/46,XX,idem,add(13q)[2]/46,XX[4]
<b>279</b>	4002	46,XX,del(9)(q22q34)[2]/46,XX[18]
<b>280</b>	3817	46,XY,add(14)(q32)[7]/46,XY[16]
<b>281</b>	1599	46,XX[20]/45,XX,-5[4]
<b>282</b>	3490	47,XX,+21[12]/46,XX[6]
<b>283</b>	2523	46,XX[20]/45,XX,-13[2]
<b>284</b>	5371	46,XX,5q-[12]/47,XX,5q-,+8[8]/46,XX[5]
<b>285</b>	3855	46,XY,add(7)(q22)[3]/46,XY[20]
<b>286</b>	3822	46,XX,inv(2)(p25q35)[11]/46,XX[9]
<b>287</b>	9089	46,XX,t(1;14)(q11;q32)c?[3]/45,idem,-7[19]
<b>288</b>	3864	45,XX,del(5)(q14q34),-7[2]/46,XX[14]
<b>289</b>	3796	46,XX[4]/47,XX,+mar[1]
<b>290</b>	1695	45,XY,-22[5]/46,XY[15]
<b>291</b>	3203	47,XY+19[10]/47,XY,+8[2]/46,XY[11]
<b>292</b>	3338	47,XY,+mar[2]/46,XY[21]
<b>293</b>	3454	47,XY,+del(1)(p13),del(20)(q11)[20]
<b>294</b>	2445	46,XY[19]/46,XY,del(7q)[1]/46,XY,del(11)(p10)[1]
<b>295</b>	3564	47,XY,+19[21]

<b>296</b>	2958	47,XY,del(1)(p34p36),+8 [21]/46,XY [2]
<b>297</b>	3212	46,XY[21]/45,XY,-7[3]
<b>298</b>	3469	47,XX,+mar[23]
<b>299</b>	2730	46,XY[21]/46,XY,del(6q)[1]
<b>300</b>	3259	46,XX[9]/47,XX,+8[10]/48,XX,+8,+mar[1]/47,XX,+mar[3]
<b>301</b>	3410	46,XX,i(17)(q10)[20]/26,XX[4]
<b>302</b>	3240	46,XY[20]/47,XYY[1]/45,X0,-Y[2]
<b>303</b>	2790	46,XY[20]/46,XY,t(10;12)[1]
<b>304</b>	3034	46,XX[2]/47,XX,+c[1]
<b>305</b>	3334	46,XX,del(12)(p11)[19]/47,XX,idem,+21[3]/47,XX,+21[2]/46,XX[1]
<b>306</b>	3020	46,XY,inv(9)(p12q11)c[22]
<b>307</b>	3840	47,XY,+8,i(17)(q10)[7]
<b>308</b>	5959	45,XY,del(5)(q31),-7[7]/46,XY[4]
<b>309</b>	4067	46,XY,t(1;3)(p36;q21)[11]/46,XY[8]
<b>310</b>	3733	47,XX,+c[2]
<b>311</b>	3353	46,XX,der(4)[20]
<b>312</b>	3399	45,XX,t(3;3)(q21;q26),-7[20]
<b>313</b>	2384	46,XX,del(5)(q14q34)[1]/46,idem,del(12)(p12p13)[25]
<b>314</b>	3063	46,XY,inv(1)(q11-2p32)[3]/47,idem,+8[7]
<b>315</b>	2883	45,X,-X[23]
<b>316</b>	1979	46,XY,t(1;7)(q22?;q?)[11]/46,XY[10]
<b>317</b>	3290	46,XX,del(5)(q22;q33)[16]/47,idem,+8[4]/46,XX[2]
<b>318</b>	3604	47,XY,+11[8]/46,XY[10]
<b>319</b>	1926	45,X,-Y[7]/46,XY[12]/46,XY,del(5)(q13q33)[1]
<b>320</b>	3437	46,XX[29]/46,XX,der(5)[1]
<b>321</b>	3858	47,XY,+15[10]/46,XY[5]
<b>322</b>	2676	46,XY[4]/46,XY,del(9)(q22?)[16]/47,XY,+8[3]
<b>323</b>	3690	47,XX,+mar[2]
<b>324</b>	5425	46,XY[18]/47,XY,+mar[2]
<b>325</b>	2991	45,XY,-7[11]
<b>326</b>	3207	46,XY,del(17p)[2]/46,XY[18]
<b>327</b>	2831	46,XY,der(5)t(?;5)[2]/46,XY[19]
<b>328</b>	3305	45,X,-X[11]/46,XX[1]
<b>329</b>	2568	46,XY[21]/45,XY,-7[1]
<b>330</b>	3286	45,XY,-7[19]/46,XY[1]
<b>331</b>	3117	45,XY,rob(13;14)(q10;q10)[22]
<b>332</b>	3226	45,XY,-7[22]
<b>333</b>	3285	45,XY,-7[24]

<b>334</b>	3257	45,X,-X [11] / 46,XX [1]
<b>335</b>	1826	46,XY[15]/46,XY,del(6q)[1]
<b>336</b>	8260	46,XY[20]/45,X,-Y[2]/45,XY,-7[1]
<b>337</b>	3177	45,XY,-7[18]/46,XY,dup(1)(q34q25)[6]
<b>338</b>	3171	46,XY,del(20)(q11)[8]/46,idem,inv(3)(q21q26[7]/46,XY[7]
<b>339</b>	3052	46,XY[20]/45,XY,-7[2]
<b>340</b>	3938	46,XX,del(5)(q22q33)[5]/47,idem,+8[2]/46,XX[7]
<b>341</b>	2331	46,XY,t(1,7)(q21,q22)[22]/46,XY[3]
<b>342</b>	3906	46,XY,del(20)(q11)[14]/45,XY,-7,del(20)(q11)[6]/46,XY[2]
<b>343</b>	2625	46,XX,t(3;7)(p21;q3?6),del(20)(q13.1q13.3)[3]/46,XX[12]
<b>344</b>	3108	46,XX,?idic(20)(q11)[16]
<b>345</b>	3512	46,XX,del(5)(q13q33)[18]/47,XX,+8[1]/46,XX[1]
<b>346</b>	3591	46,XY,inv(7)[4]/46,XY[21]
<b>347</b>	3834	45,XX,t(3;12)(q26;p13),-7[11]
<b>348</b>	1865	46,XX,del(5)(q13q33)[3]/47,XX,del(5)(q13q33),+21[9]/46,XX[2]
<b>349</b>	3718	45,XY,-7[6]/46,XY[2]
<b>350</b>	2761	45,XX,t(3;3)(q21;q26),-7[17]/46,XX[3]
<b>351</b>	3717	46,XY,del(12)(p12)[14]/46,XY,del(7)(q21)[3]/46,XY[7]
<b>352</b>	3468	45,XX,-7[19]/46,XX[4]
<b>353</b>	2979	46,XY[5]/46,XY,der(4q)[16]/46,XY,t(11;12)[1]
<b>354</b>	1879	46,XY[18]/46,XY,del(13q)[1]/46,XY,del(20q)[1]
<b>355</b>	3071	46,XX,del(5)(q22q33)[12]/46,idem,t(3;8)(q21;q24)[7]/46,XX[4]
<b>356</b>	3016	46,XX[17]/46,XX,del(5)(q22q33)[5]/47,idem,+?[1]
<b>357</b>	3186	46,XY,t(2;3)(p23;q26)[23]
<b>358</b>	3584	46,X,-Y,+21[23]
<b>359</b>	8397	47,XY,+11,del(20)(q11)[22]
<b>360</b>	3181	46,XY,inv(16)(p13q22)[20]/46,XY[4]
<b>361</b>	3548	46,XX,del(3)(q21),6p?[2]/46,XX[23]
<b>362</b>	1446	45,XY,del(3)(p11),der(5;?)(p10;?)[13]/46,XY[9]
<b>363</b>	3545	46,XX,inv(16)[2]/46,XX[18]
<b>364</b>	2412	46,XY,inv(9)(p11q13)[21]
<b>365</b>	2037	46,XY,der(7)t(9;7)(q10;p10)[21]
<b>366</b>	3101	46,XX[17]/47,XX,+8[4]/47,XX,+mar[3]
<b>367</b>	2810	45,XY,-7[20]/46,XY[2]
<b>368</b>	3770	46,XX,del(9)(q22)[20]
<b>369</b>	3094	46,XY[19]/47,XY,+8[1]/45,X,-Y[2]
<b>370</b>	3993	46,XY,i(17)(q10)[18]/46,XY[5]
<b>371</b>	2271	46,XX,del(5)(q14q33)[11]/47,idem,+21[2]/46,XX[7]

<b>372</b>	2574	46,XY,del(5)(q13;q33)[13]/46,XY,del(5)(q13q33),t(3;10)(q26;q11) [3]/46,XY[4]
<b>373</b>	2450	46,XY[2]/46,XY,del(5)(q22q33)[19]/47,idem,+13[1]
<b>374</b>	2815	47,XY,+13[10]/46,XY[12]
<b>375</b>	2325	46,XY,inv(16)(p13q22)[6]/46,XY,idem,add(11p)[6]/46,XY[11]
<b>376</b>	3780	46,XX[11]/45,XX,-7[11]
<b>377</b>	4061	47,XY,+21[2]/48,idem,+21[6]/46,XY[12]
<b>378</b>	2867	46,XX,i(17)(q11)[18]/46,XX[2]/47,XX,+mar[1]
<b>379</b>	2218	47,XY,+8[16]/48,XY,+8,+mar[4]/46,XY[2]
<b>380</b>	2580	46,XY,i(17)(q10)[20]
<b>381</b>	2560	45,X,del(X)(q22),-7[21]/46,XX[1]
<b>382</b>	2864	46,XY,add(21q)[7]/46,XY[11]
<b>383</b>	2687	47,XX,+13[2]
<b>384</b>	2885	46,XY,inv(9)(p11q12)[7]/47,idem,+8[15]
<b>385</b>	2551	46,XY[20]/47,XY,+mar[2]
<b>386</b>	2652	46,XY,inv(3)(q21q26)[13]/47,idem,+14[5]
<b>387</b>	2524	46,XX[19]/45,XX,-7[2]/44,XX,idem,-7[1]
<b>388</b>	2119	46,XY,del(10p)[1]/46,XY[19]
<b>389</b>	1833	46,XX,t(9,22)(q34;q11)[3]/46,XX[13]
<b>390</b>	2753	46,XX,t(3;3)(q21;q26)[5]/47,idem,+mar[2]/46,XX[5]
<b>391</b>	2475	45,XY,-?[1]
<b>392</b>	2552	46,XX[21]/47,XX,+mar[1]/45,XX,-7[1]
<b>393</b>	2377	46,XX,del(9)(q22)[14]/46,XX[6]
<b>394</b>	2120	47,XX,del(5)(q15q33),+21[15]
<b>395</b>	2362	47,XX,iso(14)(q11),+14[22]
<b>396</b>	2724	47,XY,+1,der(1;7)(q10;p10)[9]/46,XY[16]
<b>397</b>	2675	46,XX[22]/47,XX,+mar[1]
<b>398</b>	2582	45,XY,-7[15]/46,XY[13]
<b>399</b>	2845	45,X,-Y[21]/46,idem,+8[2]/46,XY[18]
<b>400</b>	1934	46,XX[19]/45,XX,-13[2]
<b>401</b>	2242	46,XX[20]/46,idem,del(11q)[1]/46,idem,del(12p)[1]
<b>402</b>	2168	45,XY,-7[13]/46,XY,-7,+14[12]
<b>403</b>	2245	46,XX[19]/46,XX,add(1p)[1]/45,XX,-17[2]
<b>404</b>	2264	46,XY[21]/47,XY,+20[1]
<b>405</b>	1578	46,XY,add(17)(q)[4]/46,XY[16]
<b>406</b>	2517	46,XY,del(1q)[1]/45,XY,del(1q),-7[2]/46,XY[19]
<b>407</b>	2239	45,XY,-7[1]/46,XY,del(11q)[1]/46,XY[21]
<b>408</b>	2129	45,X,-Y,del(5)(q14q34)[17]/46,XY[4]
<b>409</b>	2554	46,XY,add(3)(q11)[12]/46,XY[10]

<b>410</b>	2482	45,XX,-7[16]/46,XX[6]
<b>411</b>	2515	47,XX,+11[21]/47,XX,+8[1]
<b>412</b>	2493	46,XY,i(17)(q11)[22]
<b>413</b>	2513	46,XY[19]/45,XY,-21[2]/46,XY,del(11q)[1]
<b>414</b>	1469	46,XY,del(11)(q22?q23)[11]/45,X0,-Y,del(11)(q22?q23)[7]
<b>415</b>	2747	46,XY,del(5)(q14q34)[23]/45,idem,-7[2]
<b>416</b>	2170	46,XY,t(6,7)(p23,q22),t(9,13)(q34,q14)[22]
<b>417</b>	2481	45,XY,-7[11]/45,XY,-7,i(17)(q10)[6]/46,XY[2]
<b>418</b>	1450	46,XX[8]/45,XX,-7,del(12)(p12)[12]
<b>419</b>	2304	45,XY,-7[14]/46,XY[6]
<b>420</b>	2640	46,XY,i(14)(q10)[12]/46,XY[13]
<b>421</b>	3716	46,XY,del(12)(p12)[14]/46,XY,del(7)(q21)[3]/46,XY[7]
<b>422</b>	2453	46,XX[2]/45,XX,-7[7]/45,XX,idem,del(18q)[13]
<b>423</b>	2128	46,XX,del(5)(q13;q33)[5]/47,XX,+8[12]/46,XX[3]
<b>424</b>	2458	46,XY,del(1)(p3?4.1),del(5)(q13q33)[23]
<b>425</b>	1186	46,XY,del(7)(q3?)[17]/46,idem,del(18q)[3]
<b>426</b>	2353	47,XX,del(5)(q13q31),+21[20]
<b>427</b>	2081	46,XY[16]/46,XY,der(4)[1]/45,X0,-Y[4]
<b>428</b>	2417	46,XX,del(5)(q13q33)[4]/47,XX,+8[11]/46,XX[4]
<b>429</b>	2189	46,XX,inv(1)(p11q32)[22]/46,idem,der(17)[7]
<b>430</b>	2327	46,XX,del(5)(q13q31)[23]/47,XX,idem,+4[2]
<b>431</b>	3206	45,XY,-7[21]/46XY[1]
<b>432</b>	1818	46,XX,del(5)(q13q33)[16]/47,XX,+8[3]/46,XX[4]
<b>433</b>	2045	46,XY,del(1)(q?),inv(3)(q21;q26)[7]/46,XY[13]
<b>434</b>	2012	46,XY[19]/46,XY,del(13q)[1]
<b>435</b>	1903	46,XX,inv(16)(p13;q23)[10]
<b>436</b>	1976	46,XX,add(1q)[13]/46,idem,del(10q)[5]/46,XX[3]
<b>437</b>	1822	45,XX,-21[3]/46,XX[17]
<b>438</b>	2237	46,XX,add(17p)[23]/46,XX[1]
<b>439</b>	2104	47,XY,+8[1]/45,XY,-5[1]/46,XY,-5,+8[2]/46,XY[16]
<b>440</b>	2191	46,XX,-8,+mar[2]/46,XX[21]
<b>441</b>	2068	46,XY,del(11)(q21)[15]
<b>442</b>	5435	46,XY,t(5;13)(q13;q12?)[2]/47,idem,+8[20]
<b>443</b>	2434	46,XY,iso(17)(q10)[17]/46,XY,+13,iso(17)(q10)[3]
<b>444</b>	1853	46,XX[20]/46,XX,del(17)(p10)[1]
<b>445</b>	2188	46,XX,del(5)(q13q33)[1]/46,idem,add(18q)[4]/46,XX[15]
<b>446</b>	2490	48,XY,+8,+14[2]/46,XY[18]
<b>447</b>	1827	46,XY,del(9q)[20]/46,XY[1]

<b>448</b>	1850	46,XX[3]/45,XX,-7[13]/44,X0,-X,-7[6]
<b>449</b>	1624	45,X,-Y[3]/46,XY[16]/45,XY,-7[1]
<b>450</b>	2087	46,XY[10]/46,XY,del(5)(q22q33)[10]/47,idem,+8[1]
<b>451</b>	2040	46,XX,+1,der(1;7)(q10;q10)[18]/46,XX[3]
<b>452</b>	2134	45,XY,-22[3]/46,XY[16]/46,XY,del(2q)[1]
<b>453</b>	2117	46,XY[4]/45,XY,inv(3)(q21q26),-7[16]
<b>454</b>	2062	46,XY,inv(9)(p11;q13)[1]/47,XY,idem,+8[19]
<b>455</b>	1949	47,XX,+8[4]/47,XX,+21[2]/46,XX[16]
<b>456</b>	1590	46,XY[19]/46,XY,del(13q)[1]
<b>457</b>	1837	46,XX[19]/46,XX,add(9p)[2]
<b>458</b>	1810	46,XX,del(2)(p13)[8]/46,idem,der(5)[11]/46,XX[2]
<b>459</b>	7001	45,XY,inv(3)(q21q26),-7[9]/46,XY[1]
<b>460</b>	1857	46,XY[18]/46,XY,add(11p)[1]/46,XY,add(5q)[1]
<b>461</b>	2025	46,XX,del(20)(q11)[8]/47,XX,+C[2]/46,XX[10]
<b>462</b>	2034	46,XY[14]/45,XY,-5[1]/46,XY,del(18q)[1]
<b>463</b>	5214	46,XY[19]/46,XY,del(17)[1]
<b>464</b>	5205	46,XY,16qh+[19]
<b>465</b>	1852	46,XX,del(20)(q11)[18]/46,idem,der(8)[2]
<b>466</b>	2135	46,XX[1]/46,XX,del(20)(q11)[5]/46,idem,del(5)(q22q33)[14]
<b>467</b>	2033	45,XY,-7[21]
<b>468</b>	4673	46,XX,der(15)t(14;15)(q21;q26)[23]
<b>469</b>	2002	46,Y,t(X,1)(q28q21)[7]
<b>470</b>	1648	47,XX,+c[5]/46,XX[15]
<b>471</b>	5203	46,Xy[18]/46,XY,del(13)[1]/46,XY,del(19)[1]
<b>472</b>	2096	46,XY[16]/47,XY,+mar[1]/46,XY,del(10q)[1]
<b>473</b>	1711	46,XY[6]/46,XY,del(7)(q22)[10]/46,XY,del(11)(q21)[7]
<b>474</b>	1845	46,XX[19]/46,XX,t(8;22)[1]
<b>475</b>	1342	46,XY[19]/46,XY,del(10p)[1]
<b>476</b>	1313	46,XY[12]/46,XY,2p-[1]/45,X0[2]
<b>477</b>	5182	46,XY,9qh+[20]
<b>478</b>	4663	46,XX[7]/47,XX+14[13]
<b>479</b>	1898	47,XY,+21[15]/46,XY[5]
<b>480</b>	5154	45,XX,-7[18]
<b>481</b>	5166	47,XY,+8,t(11,20,21)(q12;q11;q11)[20]
<b>482</b>	5159	45,XX,-7[16]
<b>483</b>	5161	46,XY,t(6;9)(p23;q34)[20]
<b>484</b>	1048	46,XY[12]/45,X0[1]/46,XY,del(20)(q)[1]
<b>485</b>	5169	46,XY,+19,-22[10]

<b>486</b>	1394	47,XY,t(9;21)(q13;q22),+der(9)t(9;21)(q13q22)[20]
<b>487</b>	2036	46,XX,del(15q)[20]
<b>488</b>	1766	46,XY[1]/46,XY,-7,+mar[14]
<b>489</b>	4474	45,XX,del(3)(p21),-5[10]/46,XX[2]
<b>490</b>	1959	46,XY,del(5)(q23~31q34~35),inv(11)(p12q4)[19]/46,XY[2]
<b>491</b>	1830	46,XY[18]/46,XY,del(13)[1]/46,XY,der(12)[1]
<b>492</b>	1207	46,XX[18]/46,XX,del(6)(p?)[1]/46,XX,del(17)(p11)[1]
<b>493</b>	1677	46,XY[22]/46,XY,del(9p)[1]/47,XY,+8[2]
<b>494</b>	1856	46,XY,-7[15]/46,XY,-7,der(1q)[2]/46,XY[3]
<b>495</b>	1906	46,XY[19]/45,XY,-22[2]
<b>496</b>	5436	48,XX,+8,+20[21]
<b>497</b>	1789	46,XY,add(16q)[12]/47,idem,+8[6]
<b>498</b>	1661	46,XY,del(5)(q13q33)[6]/46,XY,del(5)(q13q33);t(4;12)(q21;p11)[13]
<b>499</b>	1154	46,XY[21]/47,XY,+15[1]
<b>500</b>	5138	45,XY,-7[14]
<b>501</b>	1880	46,XY,t(2;5)(q23;q2?5)[21]
<b>502</b>	2527	46,XY[12]/46,XY,add(10p)[5]/46,idem,del(9p)[4]
<b>503</b>	1672	46,XX,+der(1;7)(q10q10),-7[13]/46,XX[7]
<b>504</b>	1729	46,XY[14]/47,XY,+17[1]
<b>505</b>	1811	46,XX,del(11)(q21)[19]/46,XX[1]
<b>506</b>	1474	46,XX[18]/46,XX,del(9p)[1]/46,XX,del(12p)[1]
<b>507</b>	1008	46,XX[19]/46,XX,del(4)(p)[1]
<b>508</b>	1869	47,XY,+8[9]/48,XY,+8,+21[1]/46,XY[10]
<b>509</b>	5284	47,XY,+14[20]
<b>510</b>	5189	46,XX,9qh+[20]
<b>511</b>	5433	46,XY[4]/46,XY,del(7)(q21?2)[14]/46,idem,t(6;13)(q;q)[2]
<b>512</b>	5289	47,XX,del(5q),+9[14]
<b>513</b>	5164	45,XY,-7[20]
<b>514</b>	2491	46,XY,der(7)[20]
<b>515</b>	1735	46,XY,inv(9)(p11q13)[20]
<b>516</b>	1613	46,XY,del(13q)[2]/46XY[18]
<b>517</b>	1986	46,XY,del(11)(q13)[19]/47,XY,+8[1]
<b>518</b>	5250	46,XY[6]/45,XY,-7[17]
<b>519</b>	1824	46,XY,del(12p)[2]/46,XY,add(6q),del(12p)[3]/46,XY[15]
<b>520</b>	4676	47,XY,+11[8]/46,XY[21]
<b>521</b>	5133	46,XX,del(5)(q13q33),del(9)(q22)[18]
<b>522</b>	4696	46,XX[1]/45,XX,-7[37]
<b>523</b>	2024	46,XY,t(1;1)(q32,p36)[20]

<b>524</b>	1736	46,XY[21]/46,XY,del11[1]
<b>525</b>	1795	45,XY,-7[19]/46,XY[1]
<b>526</b>	931	46,XY,inv(11)(p112q13)[3]/46,XY[16]
<b>527</b>	5442	46,XX[18]/45,XX,-5[2]
<b>528</b>	1990	46,XY[21]/45,XY,-20[2]/46,XY,del(20q)[1]
<b>529</b>	5305	47,XY,+19[12]
<b>530</b>	4408	46,XY,t(2;11)(p14;q23),del(5)(q14q23)[17]/46,XY[3]
<b>531</b>	4401	46,XY,inv(12)(p13q14)[14]/46,XY[6]
<b>532</b>	4534	46,XY[19]/47,XY,+7[1]
<b>533</b>	4400	46,XY,del(9)(q12q21)[3]/46,XY[14]
<b>534</b>	4397	46,XY,add(11)(q14?)[5]/46,XY[19]
<b>535</b>	4497	46,XY,t(2;11)(p16;q23)[12]/45,idem,-7[8]
<b>536</b>	4461	46,XY[19]/47,XY,+del(9)(p10)[1]
<b>537</b>	4444	47,XX,+5[3]/46,XX[17]
<b>538</b>	4399	46,XY,del(16)(q13q24)[13]/46,XY[7]
<b>539</b>	4657	46,XY,t(7;9;11)(q35;p11;q23),del(7)(q23)[17]
<b>540</b>	1686	46,XX[16]/45,X,-X[4]
<b>541</b>	1556	46,XX,del(16)(q22?)[9]/47,XX,del(16)(q22?),+22[2]
<b>542</b>	4402	47,XX,+13[15]/46,XX[5]
<b>543</b>	5259	46,XX,-5,-13(q13q21)[14]
<b>544</b>	1422	46,XX[19]/46,XX,add(7q)[1]
<b>545</b>	1594	46,XY,t(11,19)(q23q13)[20]
<b>546</b>	1636	46,XY[19]/45,XY,-7,del(13q)[1]
<b>547</b>	1626	45,XY,-7[10]/45,XY,-7,add(18)(p11)[10]
<b>548</b>	1642	46,XX,del(11q),del(12p)[20]
<b>549</b>	1555	46,XY[19]/46,XY,del(10)(p11)[1]
<b>550</b>	1577	46,XX,del(8p)[3]/46,XX[17]
<b>551</b>	4472	47,XX,del(1)(p35),+del(1)(p35)[18]/46,XX[2]
<b>552</b>	1350	45,X,-X,t(8;21)(q22;q22)[20]
<b>553</b>	4394	45,XX,-19[4]/46,XX[16]
<b>554</b>	4569	45,XX,-7[20]
<b>555</b>	1595	46,XX,-7,+21[20]
<b>556</b>	807	46,XY[14]/47,XY,+mar[4]/46,XY,del20q[1]
<b>557</b>	1074	45,X,-Y[14]/45,X,-Y,del(11)(q23)[4]46,XY[4]
<b>558</b>	1138	45,XY,-7[20]
<b>559</b>	5304	46,XY,+19[14]
<b>560</b>	4563	46,XX,dup(12)(q12q14)[9]/46,XX[11]
<b>561</b>	1161	46,XY[7]/46,XY,-15,+mar[1]

<b>562</b>	1416	46,XY[19]/47,XY,+mar[1]
<b>563</b>	4631	46,XX,del(5)(q13q33),del(15)(q23)[19]/46,XX[1]
<b>564</b>	1434	46,XY[13]/46,XY,t(10;11)(q22;q23)[7]
<b>565</b>	5244	48,XY,+8,+13[18]/47,XY,+13[6]
<b>566</b>	4475	46,XY,del(7)(q22)[19]/47,XY,idem,+del(7)(q22)[1]
<b>567</b>	945	46,XY[8]/45,X0,-Y[1]/45,XY,-9[1]
<b>568</b>	1165	46,XX[21]/47,XX,+mar[1]
<b>569</b>	1387	46,XX[19]/47,XX,+mar[1]
<b>570</b>	5261	45,XY,-7[14]
<b>571</b>	1343	45,XY,-7[11]/46,XY,-7,+21[5]/46,XY[4]
<b>572</b>	5283	46,XY,t(1;3)[18]
<b>573</b>	5460	47,XY,+8,del(20q)[20]
<b>574</b>	750	46,XX,del(5)(q22q33),del(9)(p11)[13]/46,XX[7]
<b>575</b>	1204	45,XX,-7[13]/46,XX[7]
<b>576</b>	4652	46,XY,i(21)q10[20]
<b>577</b>	5426	46,XY,t(9;22)(q34;q11)[20]
<b>578</b>	4451	46,XX,t(11;19)(q23;p12)[14]/46,idem,der(18)[6]
<b>579</b>	5422	46,XX[10]/48,XX,+11,+13[16]
<b>580</b>	4323	46,XX,+15[1]/46,XX[19]
<b>581</b>	998	46,XY[19]/47,XY,+mar[1]
<b>582</b>	5454	46,XY[3]/47,XY,+14[17]
<b>583</b>	1193	46,XY[20]/47,XY,+mar[1]
<b>584</b>	749	47,XX,inv(16)(p13;q22),+19[3]/46,XX[12]
<b>585</b>	1174	45,XX,-7[19]/47,XX,+8[1]
<b>586</b>	1066	47,XY,+?[5]/46,XY[19]
<b>587</b>	871	45,XX,-16,der(17)[18]
<b>588</b>	1285	45,XX,-7[20]
<b>589</b>	4516	46,XY,del(3)(q12q25)[5]/46,XY[15]
<b>590</b>	1072	46,XX[3]/46,XX,del(5)(q12q33)[14]/46,XX,del(3)(p13),del(5)(q12q33)[3]
<b>591</b>	4571	46,XX,der(7)?inv(7)[20]
<b>592</b>	4666	46,XY,inv(9),+20[2]/46,XY,inv(9)[18]
<b>593</b>	5211	46,XX[19]/47,XX,+14[1]
<b>594</b>	1084	45,XX,-7[13]
<b>595</b>	1037	46,XY[21]/46,XY,+mar,-17[1]
<b>596</b>	1796	46,XY[14]/46,XY,-8,+mar[1]
<b>597</b>	4616	46,XX[18]/45,XX,-22[2]
<b>598</b>	1077	45,XY,-7[19]
<b>599</b>	4682	46,XX[3]/46,XX,del(5)(q13q33),t(8;21)(q22;q22)[17]

<b>600</b>	949	45,XY,-7,t(9;22)(q34q11)[23]
<b>601</b>	1058	45,XY,-3[20]
<b>602</b>	4477	45,XY,-7[12]/46,XY,-7,+8[4]/46,XY[4]
<b>603</b>	5242	45,XY,-7[16]
<b>604</b>	1221	46,XY[20]/46,XY,inv(7)[1]
<b>605</b>	4354	46,XX,del(5)(q14q33)[15]/47,XX,del(5)(q),+8[3]/46,XX[2]
<b>606</b>	1067	45,XY,-7[5]
<b>607</b>	1168	45,XX,-7,del(12p)[16]
<b>608</b>	813	46,XX[17]/46,XX,t(11;13)[1]
<b>609</b>	4517	46,XY,t(5;17)(q13;q23)[11]/46,XY[14]
<b>610</b>	4693	46,XX[10]/47,XX +11[10]
<b>611</b>	932	46,XY,del(5q)[5]/45,XY,-5[2]/46,XY[9]
<b>612</b>	575	46,XX,del(6q)[1]/46,XX,del(7q)[1]/46,XX[18]
<b>613</b>	5198	46,XX[8]/46,XX,del(3)(q)[12]
<b>614</b>	4468	46,X,der(Y)[5]/45,X,-Y[18]
<b>615</b>	743	46,XY[2]/46,XY,add(3p),del(1q)[8]
<b>616</b>	1202	46,XX[15]/47,XX,+mar[1]
<b>617</b>	1156	45,XX,-7[14]/46,XX[6]
<b>618</b>	963	46,XY[13]/45,XY,-18[3]
<b>619</b>	579	46,XY,i(17)(q10)[4]/47,XY,+8[1]/46,XY[10]
<b>620</b>	948	46,XY,t(9;22)(q34;q22)[2]/46,XY[9]
<b>621</b>	4440	46,XX,add(11)(q)[13]/46,XX[7]
<b>622</b>	4653	46,XX, inv(9)[12]
<b>623</b>	1135	46,XX,del(6p)[7]/46,XX[11]
<b>624</b>	1124	45,XY,-7[11]
<b>625</b>	4425	46,XX,9qh[14]
<b>626</b>	865	46,XY[9]/44,XY,-7,-12[1]
<b>627</b>	4565	46,XY,del(1)(p35pter)[25]/46,XY[7]
<b>628</b>	4589	47,XY,+11[17]/46,XY[5]
<b>629</b>	4398	46,XY,add(13)(p)c,add(21)(p)c[23]
<b>630</b>	4359	46,XX,del(5)(q13q34)[16]/47,XX,+12[1]/46,XX[5]
<b>631</b>	1115	47,XY,+21[16]/46,XY[9]
<b>632</b>	1120	46,XY,inv5[1]
<b>633</b>	596	47,XXX[2]/46,XX[25]
<b>634</b>	281	46,XX,der(1p+)[23]
<b>635</b>	4583	47,XY,+15,der(16),c[16]/46,XY,der(16)c[5]
<b>636</b>	510	46,XX[6]/45,XX,-11[2]/45,XX,-17[1]
<b>637</b>	4494	47,XX,+21[20]/46,XX[1]

<b>638</b>	4439	45,X,-X[23]
<b>639</b>	4519	45,XY,-7[20]
<b>640</b>	4355	46,XY,del(5)(q13q34]del(20)(q11)[22]
<b>641</b>	566	46,XX,18q-[1]
<b>642</b>	4581	45,XY,-7,t(12;22)(p21;q12)[24]
<b>643</b>	4533	46,XX,t(4;7)(p15;p21)[8]/46,XX[10]
<b>644</b>	4361	46,XX[25]/47,XX,+21[1]
<b>645</b>	4403	48,XY,+2mar1[21]/46,XY[3]
<b>646</b>	4489	46,XY[23]/47,XY,+mar[1]
<b>647</b>	4442	46,XY,+t(8;21),-21[4]/46,XY[9]
<b>648</b>	4471	46,XX,der(21)c[19]
<b>649</b>	4493	46,XX,t(9;11)(p22;q23)[17]
<b>650</b>	4424	46,X,dery(?c)[22]
<b>651</b>	4441	46,XX,t(17;20)(p;p)[20]
<b>652</b>	4414	46,XX,-7,+21[22]
<b>653</b>	406	46,XX[21]/47,XXX[1]/45,X0[2]
<b>654</b>	4530	45,XX,-5,del(7)(q)[12]/46,XX[5]
<b>655</b>	4575	46,XY,t(8;22)(p;q)[18]
<b>656</b>	4515	46,XY,del(22)(q)[9]/46,XY[4]
<b>657</b>	4579	45,XX,add(6)(q),-7[16]/46,XX[1]
<b>658</b>	4393	42-46,XX,+mar[cp4]
<b>659</b>	4564	46,XY,add(13)(p)[19]
<b>660</b>	4396	46,XX,del(1)(q)[5]/46,XX[16]
<b>661</b>	4445	47,XY,+21[2]/46,XY[47]
<b>662</b>	4566	46,XY,del(9)(q)[4]/46,XY[3]
<b>663</b>	4567	46,XY,t(9;22)[4]/46,XY[10]
<b>664</b>	4568	47,XX,+11[20]
<b>665</b>	4588	46,XY,der(22)[20]

**Tabelle 39: Chromosomensätze bei Erstdiagnose der Kategorie "Komplex=3"**

Nr.	ID	Chromosomensatz bei Erstdiagnose
<b>1</b>	7366	49,XX,+8,+9,+19[12]/46,XX[12]
<b>2</b>	8325	45,XX,-7,add(5)(q33),del(11)(q21)[10]/46,XX[19]
<b>3</b>	5805	46,XX,del(5)(q22q33),del(6)(q23),del(20)(q13)[22]
<b>4</b>	8347	46,XX,add(6)(q25),t(15;17)(q22;q22)[23]/47,idem,+21[5]
<b>5</b>	7561	45,X,-Y[3]/45,X,-Y,del(5)(q21q34)[10]/46,X,-Y,del(5)(q21q34),+8[7]
<b>6</b>	2765	46,XX,del(5)(q12q33)(13),t(6;11)(q21q23)[2]/46,XX,del(5)(q12q33),der(19)[4]

<b>7</b>	6525	46,XY,t(6;8)(q21;p23),del(11)(q22~23)[11]/46,XY,t(6;15)(q21;26),del(11)(q22~23)[4]/46,XY[5]
<b>8</b>	5677	47,XY,+8[3]/47,idem,del(12)(p11)[12]/47,idem,del(12)(p11),del(13)[4]/46,XY[3]
<b>9</b>	8704	46,XY,del(3)(q?21),add(5)(q?15),add(7)(q22)[23]/46,XY[2]
<b>10</b>	7525	46,XX,t(3;11)(q26;q21)[10]/46,idem,-11,+der(11)t(3;11)(q26;q21) [9]/46,XX[1]
<b>11</b>	8762	46,XX,del(5)(q14q34)[11]/46,idem,del(7)(q21q31)[1],idem,del(13)(q12q31)[1]
<b>12</b>	6410	45,X,-Y[6]/46,XY,del(20)(q11q13)[3]/46,XY,del(5)(q21q34),del(20)(q11q13)[2]/46,XY[9]
<b>13</b>	8767	45,XX,del(7)(q22),-17[6]/45,idem,del(5)(q14q33)[10]/46,XX[8]
<b>14</b>	8199	46,XY,dic(1;1)dup(1)(q11q41)[2]/46,idem,del(7)(q11)[22]
<b>15</b>	7151	49,XY,+der(1)(?),+8,del(9)(q11)[6]/50,idem,+der(9)[17]
<b>16</b>	5746	46,XX,t(8;10)(q23;q21),del(12)(p11)[22]/46,idem,del(1)(q41)[2]
<b>17</b>	1819	46,XX[19]/48,XX,+mar,+mar[1]/46,X0,-X,+mar1[1]
<b>18</b>	7644	48,XY,+X,+8,add(21)(p11)[3]/46,XY[21]
<b>19</b>	1369	46,XY,t(8;21)(q22;q22)[19]/48,XY,t(8;21)(q22;q22),+18,+18[1]
<b>20</b>	8162	46,XY,+13,+14,der(13;14)(q10;q10)x2[24]
<b>21</b>	7444	46,XY,del(20)(q11q13)[8]/46,XY,r(7)(p11q11),del(20)(q11q13)[4]/46,XY,-7,del(20)(q11q13)[7]/46,XY[1]
<b>22</b>	3252	46,XY,del(20)(q11)[5]/47,XY,del(12)(p11),del(20)(q11),+21[15]
<b>23</b>	7522	46,XY,del(5)(q14q33),del(17)(p11),del(20)(q11)[20]/46,XY[4]
<b>24</b>	7344	46,X,-X,del(20)(q11)+mar[2]/46,XX,del(20)(q11)[3]/46,XX[11] (PB)
<b>25</b>	7818	45,XX,-?5,-?7,+mar[15]/46,XX[1]
<b>26</b>	8015	45,XY,-7,-20,+mar[16]/46,XY[10]
<b>27</b>	7143	47,XY,del(6)(p21p24),+19[5]/48,idem,+8[15]
<b>28</b>	7569	45,XY,-5,der(12)t(5,12)(p13;p13)[4]/46,XY[19]
<b>29</b>	7401	45,XX,del(5)(q14q33),-7,del(12)(q11)[22]/46,XX[2]
<b>30</b>	7756	45,XX,t(3;21(q26;q22),-7[14]/45,idem,del(17)(p11)[4]/46,XX[6]
<b>31</b>	7246	45,X,-Y,del(11)(q14q25)[1]/45,X,-Y,del(5)(q21q34),del(11)(q14q25)[16]/46,XY[3]
<b>32</b>	7264	45,XY,del(5)(q22q33),-7[20]/46,idem,+21[6]/46,XY[2]
<b>33</b>	2216	46,XY,del(5)(q13q33),del(7)(q22)[9]/46,idem,del(6q)[5]/46,XY[8]
<b>34</b>	7252	46,XY,del(1)(q21),der(7)t(1;7)(q21q22)[20]/46,XY,del(7)(q22)[4]/46,XY[4]
<b>35</b>	3018	46,XY,del(5)(q21q34),t(7;10)(q10;q10),add(10)(p12)[21]/46,XY[4]
<b>36</b>	6042	46,XY,del(5)(q14q34),t(7;12)(p13;q24),del(20)(q11q13)[17]/46,XY, [5]
<b>37</b>	6466	47,XY,+14[10]/46,XY,i(17)(q10)[10]/47,XY,+13,i(17)(q10)[3]/ 46,XY[4]
<b>38</b>	6075	46,XX,del(5)(q22q35)[19]/46,XX,t(2;3)(p21;q2?7),del(5)(q22q35) [2]/46,XX[4]/47,XX,del(5)(q22q35),+8[1]
<b>39</b>	7876	47,XY,del(7)t(1;7),+8[27]
<b>40</b>	6046	45,XX,-7,del(12)(p11),+mar[2]/46,XX[21]
<b>41</b>	6147	46,XY,t(12;20)(?q11;?q11)[12]/46,idem,t(15;19)(q21;q13)[16]/46,idem,add(9)(p24)[2]

<b>42</b>	7478	48,XY,del(1)(p34p36),+8,+14[20]
<b>43</b>	6019	44,XY,r(5;18)(p15q?q14;??),der(7;17(p10;q10),der(11)t(1;11)(p31;?p13[2]
<b>44</b>	7150	45,X,-Y[4]/46,X,-Y,+8,del(20)(q11q13)[17]
<b>45</b>	6048	46,XY,del(20)(q11q13)[6]/47,XY,+12[3]/45,X,-Y[2]/46,XY[4]
<b>46</b>	5804	47,XX,+8,del(12)(p11)[4]/47,idem,del(7)(q11.3)[18]/46,XX[1]
<b>47</b>	8027	45,XX,del(5)(q13q33),-7[2]/44,XX,del(5)(q13q33),-7,-17[13]
<b>48</b>	2641	46,XX,der(1)t(1;2)(p13;?),der(2)t(1;2)(p13;q21)der(2)(p23),del(5)(q15;q31)[19]/46,XX[1]
<b>49</b>	7446	45,XX,der(1)t(1;5)(p21~22;p11),der(3)t(1;3)(p21~22;q10),-5[1]
<b>50</b>	4253	46,XY,del(5)(q14q33),inv(13)(p11q14)[18]/46,idem,del(9)(q22)[4]/46,XY[2]
<b>51</b>	5486	46,XX,t(3;3)(q21;q26),-7,+mar[22]/46,XX[2]
<b>52</b>	5808	45,XY,der(12)t(12;17)(p13;q11),-17[23]/47,XY,+13[3]/46,XY[4]
<b>53</b>	5783	46,XX,add(5)(q31),add(7)(q21)[21]/47,idem,+mar[5]
<b>54</b>	3385	46,XY,dup(1)(p21p36)[6]/46,XY,del(3)(p11)[2]/46,X,-Y[5]/46,XY[10]
<b>55</b>	5626	46,XY[3]/47,XY,+8[3]/49,XY,+8,+19,+21[1]
<b>56</b>	5605	46,XY,t(17)(q10)[1]/44,XY,-14,t(17)(q10),-21[1]/46,XY[25]
<b>57</b>	3851	45,XX,-7[3]/46,XX,der(7)del(7)(p12)del(7)(q12)[9]/46,XX[9]
<b>58</b>	9120	45,XY,der(7)?t(7;8)(q22;?),-8[23]/46,XY[1]
<b>59</b>	3649	47,XX,+mar[1]/46,XX,del(11)(q21)[1]/45,XX,-7[1]
<b>60</b>	3860	46,XY,+1,der(1)(1;7)(p10q10),-7[25]
<b>61</b>	9114	46,XY,+8,add(11)(q23),-17[21]/46,XY[3]
<b>62</b>	8221	46,XY,-7[8]/45,XY,der(3)inv(3)(p21q2?)t(3;6)(q?;p21)[9]/46,XY[5]
<b>63</b>	3850	46,X,-Y,t(1;1)(q3?;q3?),+8[22]
<b>64</b>	3346	46,XY,t(3;3)(q21;q26),del(7)(q22)[14]/46,idem;t(1;12)(p32,p12)[7]/46,XY[3]
<b>65</b>	3951	47,XY,add(7)(q3?),+8[12]/46,add(7)(q3?),del(20)(q11)[11]
<b>66</b>	1892	46,XX[17]/46,XX,del(11p)[1]/46,XX,del(17p)[1]/46,XX,del(16q)[1]
<b>67</b>	3686	45,XY,del(3)(q2?6),-7,add(8)(q24)[22] (KM); 46,XY[5] (PB)
<b>68</b>	2190	46,XY,der(1)del(1q),der(16),der(22)[18]/46,XY[5]
<b>69</b>	2852	46,XY,del(20)(q11)[19]/45,idem,-Y[2]/47,XY,+?[1]
<b>70</b>	5927	45,XX,t(3;3)(q21;q26), -7[8]/45,idem,del(12)(p11)[2]
<b>71</b>	2950	46,XX,dup(1)(q23>qter)[4]/46,XX,der(7)t(1;7)(q23;p22)[3]/47,XX,+del(1)(p12)[3]/46,XX[12]
<b>72</b>	4037	46,X,?t(X;11)(p11;q34),add(1)(p11),del(5)(q22q33)[23]
<b>73</b>	3319	46,XX,del(2)(p11p23),add(5)(q22)[7]/46,XX,idem,-17[4]
<b>74</b>	3193	48,XX,+6,+8[10]/49,XX,+6,+8,+9[3]/46,XX[10]
<b>75</b>	2528	46,XX,del(5)(q13q33)[5]/47,idem,+21[7]/48,idem,+21,+g[10]
<b>76</b>	2887	47,XY,+8[3]/48,idem,+19[9]/49,idem,+19,+21[11]
<b>77</b>	3515	47,XY,del(1)(q36),+del(1)(q36)[10]/48,idem,+9[11]/46,XY[2]

<b>78</b>	2871	47,XY,+8[5]/49,XY,+8,+21,+22[3]/46,XY[14]
<b>79</b>	3511	47,XY,+1,der(1;7)(q10;p10),+9[13]/46,XY[3]
<b>80</b>	2952	45,X,-Y[17]/45,X,-Y,der(10)[5]/45,idem,der(5p)[3]/46,XY[6]
<b>81</b>	3337	49,XY,+3,+13,+19[10]/46,XY[11]
<b>82</b>	2288	46,XX[20]/48,XX,+13,+c,+g[5]
<b>83</b>	2180	46,X,i(Xq)[15]/47,idem,+7[2]/45,idem,-21[3]
<b>84</b>	8413	44,XX,del(5)(q13q33),-16,-17,~10dmin[15] (KM); 44,XX,del(5)(q13q33),-16,-17,~10dmin[15] (PB)
<b>85</b>	2262	46,XY[19]/46,XY,t(8,21)(q22,q22)[1]/46,XY,add(17q)[1]/46,XY,add(7p)[1]
<b>86</b>	2822	47,XY,+8[8]/48,idem,+13[8]/45,XY,-7[3]/46,XY[3]
<b>87</b>	2715	47,XY,del(7)(q11),+19[12]/45,X0,-Y[4]/46,XY[8]
<b>88</b>	1360	46,XY[18]/46,XY,del(4p)[1]/46,XY,del(9q)[1]/46,XY,del(12p)[1]
<b>89</b>	2464	48,XX,+der(5),add(5)(q11),del(5)(q11)x2[14]
<b>90</b>	2066	46,XY[17]/46,XY,del(8p)[1]/46,XY,del(9q)[1]/46,XY,del(9q),+21[1]
<b>91</b>	2060	46,XY[18]/46,XY,del(9q)[1]/46,XY,add(15q),del(15q)[1]
<b>92</b>	2277	46,XY[8]/46,XY,t(3;3)(q21;q26)[5]/46,idem,der(16)[3]/46,idem, der(20)[4]
<b>93</b>	3698	47,XX,+1,der(1;7)(q10;p10),+8[19]/46,XX[1]
<b>94</b>	1778	46,XY,del(11)(q23)[3]/46,XY[19]/46,XY,-17,+mar[1]
<b>95</b>	1011	46,XY,t(1;12)(p10;q10),add(1)(p11),inv(3)(p27?9p13)[14]/46,XY[7]
<b>96</b>	1867	46,XY,del(7)(q22)[4]/46,idem,der(4p)[3]/46,idem,del(11q)[1]/46,XY[13]
<b>97</b>	2178	45,XY,-7[24]/45-46,XY,-7,der(21)t(15;21)(q22;q21),+mar[cp2]
<b>98</b>	5178	46,XX,del(9),del(20)[18]/47,XX,+8[2]
<b>99</b>	2015	46,XY[15]/46,XY,del(13q)[1]/46,XY,del(11q)[1]/47,XY,+8[1]
<b>100</b>	1276	46,XY,del(7)(q11)[2]/46,XY,der(7)t(7;9)(q11;p22),del(9)(p22)[2]/46,XY[14]
<b>101</b>	5215	44,XY,-7,der(8)t(8;18)-18[15]/46,XY[1]
<b>102</b>	1829	45,X,-Y[4]/46,XY,t(2,21)(q23q22)[10]/46,XY,del(5)(q31q33)[2]/46,XY[4]
<b>103</b>	1902	46,XY,t(9;22)(q34q11)[13]/46,idem,del(11)(q21)[5]/47,idem,del(11)(q21),+C[2]
<b>104</b>	1586	46,XY,add(14)(q32),del(20)(q11)[19]/47,idem,+8[1]
<b>105</b>	4413	45,XY,del(5)(q14q31),-7,der(20)[4]/46,XY[16]
<b>106</b>	1701	46,XX,del(6)(q12q24)[3]/46,idem,dup(1)(q12q42)[10]/46,idem,del(15)(q?15)[9]
<b>107</b>	4449	46,XX,del(5)(q13q34),+21,-22[2]/46,XX[7]
<b>108</b>	4391	46,XY,del(5)(q13q32)[11]/46,XY,+14,random[3]/46,XY,i(14)(q10)[1]/46,XY[6]
<b>109</b>	5206	46,XY,del(12)[17]/47,XY,del(12),+19[2]/47,XY,del(12),+mar[1]
<b>110</b>	595	46,XX[3]/46,XX,add(1p)[5]/46,XX,del(3p)[4]/45,XX,-15[1]
<b>111</b>	1632	46,XY,del(11)(q14)[10]/46,XY,del(11)(q14),del(20)(q13,2),der(21) [10]
<b>112</b>	1046	46,XX,+1,der(1;7)(q10;p10),add(15)(p13)[9]
<b>113</b>	1326	45,XX,der(3;20)(q10;q10),del(5)(q13q33)[14]/46,XX,del(5)(q13q33)[2]/46,XX,t(3;20)(q10;q10),del(5)(q13q33)[4]

<b>114</b>	1429	46,XY[14]/46,XY,del(17p)[1]/45,XY,-12[1]/47,XY,+mar[1]
<b>115</b>	1243	45,XY,-7,-20,+mar[16]/46,XY[5]
<b>116</b>	5149	46,XX,-3,+der(3)t(3;5)(q23;q13)[12]
<b>117</b>	4654	46,XX,der(5)t(5;12)(q15;q22),der(12)t(5;12)(q15;q22)[26]
<b>118</b>	1068	46,XY,-7,+mar[14]/46,XY,-7,+20[2]/46,XY[5]
<b>119</b>	666	44,XY,-18,-22[1]/46,XY,del(1p)[5]/46,XY[6]
<b>120</b>	4685	46,XX,-7,der(7),t(1;7)(q10,q10)[15]
<b>121</b>	5243	46,XX,del(5)(q?),del(7)(q22?),del20(q11)[cp9]
<b>122</b>	1071	45,XY,del(5)(q22q33),-18[10]/44,XY,del(5)(q22q33),-8,-18[12]/46,XY[1]
<b>123</b>	5290	46,XX,dup(1)(q21q44),der(3)t(3;?)(q26;?),del(7)(q22)[18]
<b>124</b>	390	47,XXY[1]/47,XXY,del(5)(q22q33)[10]/47,XXY,del(5)(q22q33-12)[8]/46,XY[1]
<b>125</b>	941	46,XX,del(9)(q22)[2]/45,XX,-7,del(8p)[1]/46,XX[13]
<b>126</b>	781	45,XY,-7[1]/46,XY,-12,+2[1]
<b>127</b>	5424	46,XY,+8,+mar[13]/47,idem,+7[1]
<b>128</b>	441	47,XX,add(6p),+8[15]/47,XX,+8[1]/47,XX,add(6p),+12[1]
<b>129</b>	787	46,XY[8]/45,X,-Y[1]/45,XY,-7,del(3p)[1]
<b>130</b>	5180	46,XX[2]/45,XX,der(3),del(5),-7[12]
<b>131</b>	4418	47,X,-Y,+15,+21[22]
<b>132</b>	4476	46,XX,del(5)(q13q33),t(6;17)(q10;q10),del(13)(q13q32)[18]/46,XX[3]

**Tabelle 40: Chromosomensätze der Kategorie "Komplex >3"**

Nr.	ID	Chromosomensätze bei Erstdiagnose
<b>1</b>	9132	45,XY,del(5)(q22q33),del(7)(q22),-9,-17,+mar[6]/45,idem,i(11)(q10)[5]/46,XY[20]
<b>2</b>	8218	45~48,XX,del(8)(q2??),add(9)(q13~q21),add(12)/p1?,-13,del(13)(q12q14),+3~5mar, ?inc[cp16],46,XX[10]
<b>3</b>	9252	43,XX,del(3)(p21),-5,-7+8,der(12)t(12;15)(q10;q10),-15,der(21)t(8;21)(p11;q10)[14]/ 43,idem,+8,der(21)t(8;21)(p11;q10)[10]
<b>4</b>	9116	47,XX,add(1)(p36),del(5)(q22q33),add(11)(p11),+mar[5]/46,XX[33]
<b>5</b>	8779	43-44,XX,t(X;1)(q28;p13),del(5)(q22q33),-14[7],add(16)(q24)del(17)(p11),-18[12]/ 46,XX[6]
<b>6</b>	8663	46,XX,del(5)(q14q34)[12]/50~51,XX,+1,t(3;5)(q29;q31),del(5)(q14q34),dup(10)(q11 q23),lder(10) (q10)t(10;17)(q26;q24),r(10)(p15q26),+11,+1,+14,del(17)(p11p13),+i(22) (q10),i(22)(q10)[cp6]/46,XX[5]
<b>7</b>	7815	45,XX,add(3)(p21),der(5)t(5;7)(q12;p11),-7,der(18)[20]/46,XX[4] (PB)
<b>8</b>	8908	46,XX,inv(16)(p13q22)[1]/47XX,+8,inv(16)(p13q22)[15]/47,XX,del(7)(q22q374),+8,inv (16)(p13q22)[5]/46,XX[5]
<b>9</b>	8998	46,XX,+1,der(1;15)(q10;q10)[12]/46,XX,del(5)(q14q34)[1]/46,XX,del(5)(q14q34),der (18;21)(q10;q10)+21[4]/46,XX[5]
<b>10</b>	9022	46,XX,der(6)t(1;6)(q21;p21) [14]/46,XX,der(5)t(5;7)(p11;q36),der(6)t(5;6)(p11;q16), der(7)t(7;12)(q35;q21),der(12) t(6;12)(q16;q21)[5]/46,XX [6]

<b>11</b>	9000	47,XY,+del(20)(q11q13),del(20)(q11q13)[21]/48,XY,+3,+12[2]/46,XY[7]
<b>12</b>	9012	45,XY,del(1)(q21),add(2)(q37),add(4p),-7[2]/46,XY[24]
<b>13</b>	7979	46,XX,del(1)(p13p32),del(3)(p13),+der(3),del(5)(q14q33),t(6;12)(q13;p11),add(9)(p24),del(13)(q12q22),add(19)(q13),+add(19)(q13),-20[10]/46,XX[8]
<b>14</b>	8852	45,XY,del(5)(q32q35),der(5;12)t(5;12)(q10;q10)del(5)(q14q34),der(7)t(5;7)(p11;q11),+8,der(20;22)(p10;q10)[7],46,idem,+19[2] 45,XY,der(4)t(4;11)(q23;q23),der(5)t(5;21)(q14;q11),Dder(7)T(7;15)(q21;q21),+8,del(11)(q22q25),der(12;20)(q10;p10),der(15)t(4;15)(q31;q21),der(17;22)(q10;q10),der(21)t(5;21)(q34;q11)[10]46,YY[2]
<b>15</b>	5412	43,XY,der(5q)(q11;?),-13,-18[5]/44,XY,idem,der(5)t(5?q20)[4]/ 45,idem,der(5)(5?)(q20,?),der(20)[6]/46,XY[7]
<b>16</b>	8073	44,XY,der(5)t(5;17)(q11;q11),del(6)(q23),-7,add(12)(p12),-17,-18,+mar[23]/46,XY[1]
<b>17</b>	8718	46,XX(del(5)(q14q34)[10]/46,XX,del(4)(q24q34),der(20)t(4;20)(q26;13)[1]/47,XX+8[2]/46,XX[7]
<b>18</b>	8955	46,XY,t(6;11)(p21;q2?3)?c[5]/46,XY,del(5)(q1?5q3?1),t(6;11)(p21;q2?3)?c[13]/46,XY,del(5)(q2?2q3?1),t(6;11)(p21;q2?3)?c[8]
<b>19</b>	8763	44,XY,del(5)(q22q33),-7,-18,del(20)(q11)[23]/46,XY[1]
<b>20</b>	8706	47,XX,der(21),+der(21),+der(21)[18]/48,idem,der(21)[4]/46,XX[2]
<b>21</b>	7757	43,X,-Y,-5,der(6)t(6;12)(q15;q13),add(7)(q22),-12,der(19)t(19;?7;5)[20]/43,idem,del(3)(q)[4]
<b>22</b>	2760	47,XY,del(20)(q11),+del(20)(q11)[14]/48,idem,+8[6]/47,idem,-7,+8[2]
<b>23</b>	8984	46,XY,del(13)(q14q14)[7]/46,XY,der(2)t(2;4)(q34;p15),der(4)t(4;11)(p15;q23),der(11)t(2;11)(q34;q14),del(13)(q14q14)[2]/46,XY,del(17)(p13p12)[2]/46,XY[23]
<b>24</b>	8654	46,XX,del(5)(q14q33),add(21)(q22)[1]/46,idem,del(1)(q22), del(2)(p11),add(19)(p13)x2[19]/46,idem,del(1)(q22),del(2)(p11), del(7)(q22),add(19)(p13)x2[3]/46,XX[1]
<b>25</b>	9129	45,XX,del(5)(q22q33),add(12)(p11),der(16),add(21)(p11),-22[7]/45,idem,t(2;12)(q11;p11)[4]/43,idem,-7,add(11)(p15),del(12)(p11),-18[11]
<b>26</b>	8919	46,XY,-7,-18,+2mar[18]/46,XY[2]
<b>27</b>	6407	92,XXXX[5]/46,XX[15]
<b>28</b>	6440	44-46,XY,t(2;?3)(p23~25;q12*21),-5,add12(p1?),-17,-19,+1~3mar[19]/88~90,idemx2[2]/46,XY[4]
<b>29</b>	8693	45-46,XY,-3,-5,-6,-7,+8,del(12)(p11.2),+1-3mar,inc[cp27]
<b>30</b>	8803	41,XY,?add(5)(q13),der(7)t(7;12)(q22;q13),-12,-16,-17,-18,-20,-22,+mar[17]/41,XY?add(5)(q13),der(7)t(7;12)(q22q13), i(11)(q10),-12,-16,-17,-18,-20,-22,+mar[23]/46,XY[4]
<b>31</b>	7511	43,XY,der(1)add(1)(q32)add(1)(p36),der(3)t(3;?)(p13;?),5,der(?)t(?;12)(?;13),add(16)(p13)[20]/42,XY,der(1)add(1)(q32)(add(1)(q11)t(1;2);?;q12),del(2)(q11),-3,-5,add(7)(q31),der(?)t(?;12)(?;13),-13,-17,der(18)t(3;18)(p11;q22)[6]
<b>32</b>	8541	46,XY,del(5)/q14q34)/46,XY,del(5)(q12q34),der(7)t(1;/(p31;q11)del(12)(p11p13)[12]/46,XY,del(5)(q12q34),der(7)t(1;/(p31;q11)(11=(q10)del(12)(p11p13)[3]/46,XY,+1,inv(3)(p25q13),-5,der(7)t(7;18)q22;q12),der(18)t(5;18)(p12;q12)[3]
<b>33</b>	8612	44,XY,del(5)(q21q34),der(7;18)(18qter->18q12::7p22->7p11::18q 12->18p11::7p11->7qter),dic(7;18)(q11;p11)[17]/ 88,idemx2[1]/46,XY[3]
<b>34</b>	8772	46,XX,add(1)(p?36),del(p?21).inv(9)(p11q13)c,del(12)(q13),inc[9]/46,XX,del(3)(p13),der(5)(?:5q33::?5p13->?5q11::?::5q31->5q31->5q31::?),inv(9)(p11q13)c,inc[3]/46,XX,inv(9)(p11q13)c[1]

<b>35</b>	8696	53-57,XX,+1,+2,add(2)(q37),del(5)(q14q33),+6,+8,+10,+11,+13,-17,+19,+21,+22[24] (PB)
<b>36</b>	8613	42-45,XX,t(2;3)(q10;q10),add(3)(p21),-5,-7,-9,-12,-13,-15,-16,-17,-17,+4-8mar,inc [cp20]/46,XX[6]
<b>37</b>	8685	45,XY,der(1)(1;12)(p31;q24),der(4)del(4)(p11;p16)(t(4;7)(q13;q31),-7,der(7)t(4;7) (q26;q31),der(12),del(12)(p13;p16), t(1;12)(p31;q15)[8]/46,XY[12]
<b>38</b>	7953	46,XX,+8,add(8)(p11),add(8)(p11),-16[8]/46,XX[16]
<b>39</b>	8669	46,XY,del(5)(q11)[7]/43,XY,del(5)(q11),-7,-15,-17,add(19)(q13)[6]/43,idem,del(6)(q23) [6]/46,XY,del(1) (q32),add(3)(p21),del(5)(q11),-7,-15[4]
<b>40</b>	8414	43-46,XX,t(3;11),del(5q),-7,add(14)(q11),der(18),-19,-21,+2mar[20]/46,XX[4]
<b>41</b>	8424	45,XY,t(2;19)(p23;q13),-5,-7,del(7)(q21q36),del(12)(p13),der(16)t (16;17)(q21;q21), -17,add(19)(q11),+2mar[7]/46,XY[3]
<b>42</b>	2615	45,XY,add(12)(p11),-20[11]/46,XY,-20,-22,+mar[5]/46,XY [6]
<b>43</b>	6094	46,XY,dup(1)(q21q32),del(11)(q23q25)[2]/46,XY, trp(1)(q21q32), del(11)(q23q25)[6]/ 47,XY,dup(1)(q21q32),+8, del(11)(q23q25)[10]/ 46,XY,trp(1)(q21q32),del(6)(q14q27), del(11)(q23q25)[2]
<b>44</b>	8937	47,XY,add(3)(p22),+4,del(5),t(5;?;17)(q11?;?;q11),+8,del(12)(q23q24.3),-17[12]
<b>45</b>	3560	49,XY,+1,del(5q),+11,+22[22]/50,idem,+9[15]
<b>46</b>	8104	44-48,XY,der(2)del(2)(p11)t(2;13)(q37;q?12),del(5)(q14q33),-13,-15,add(17)(p11),-19, +2-5mar[23]/46,XY[1]
<b>47</b>	7767	46,XY,+1,t(1,7)(q10;p10)[22]/45,XY,+1,-7,t(1;14)(q10;q10)[2]
<b>48</b>	6549	49,XX,+8,+12,+13,i(17)(q10)[4]/46,XX[12]
<b>49</b>	8466	42-43,XX,del(1)(q12),der(4), 5,add(6)(p23),der(7)t(5;7)(q14;q32),del(7q)(q36),add(13) (q21),-16,-21,+mar[19]/46,XX[9]
<b>50</b>	7840	46,XX,der(3)(?t(4;3;5),del(4)(q21),del(5)(q22q33),-17,+mar[21]/46,XX[3] (PB)
<b>51</b>	8032	47,XY,add(3)(q12),+8,del(11)(q14),der(20),der(21)[5]/46,XY[0] (KM); 47,XY,add(3)(q12),+8,del(11)(q14),der(20),der(21)[18]/46,XY[3] (PB)
<b>52</b>	7500	43,XX,add(5)(q11),-11,-13,add(14)(p11),add(17)(p11),add(19)(q13),i(21)(q10),+21, add(22)(q13)[4]/42,idem,-16,add(18) (q23)[20] (PB)
<b>53</b>	5709	46,XY,der(14)t(14;20)(q11;q13),der(20)t(14;20)(q11;q11)[11]/47, XY,der(14)t(14;20) (q11;q13),der(20)t(14;20)(q11;q11),+der (20)t(14;20)(q11;q11)[7]/46,XY,der14t(14;20) (q11;q13),ider(20) (q10)t(14;20)(q11;q11)[2]
<b>54</b>	7983	45,XY,dic(5;12)(q11;q13),-5,+8,-12,-16,-17,+mar[26]
<b>55</b>	7178	46,XX,+1,del(5q)(q14q34),der(8)t(8;12)(q22;q22),der(12)t(8;12)(q24;p12)t(8;12)(q22; q22),der(13;17)(q10;q10)[9]/46,XX[3]
<b>56</b>	7981	46,XY,t(2;8)(q34;q13)del(5)(q13q34)t(12;17)(q21;q25),-18,+der(21)del(21)(q22q22) hsr(21)(q22)[16]/45,XY,t(2;8)(q34;q13) del(5)(q13q34)der(6;17)t(6;17)(q23;p11)del (17)(q11q24)t(12;17)(q21;q25)der(18;20)(p10;q10)+der(21)del(21)(q22q22)hsr(21) (q22)[8]/46,XY[2]
<b>57</b>	3721	49,XX,add(3)(q27),+21,+2mar[2]/46,XX[21]
<b>58</b>	7741	44,XY,del(4)(q31),-5,del(7)(q22),add(9)(p21),add(17)(q11),add(20)(p12),-21,-22,+r[5], +mar[6][22]/46,XY[4]
<b>59</b>	7850	46,XY,der(5)t(5;13)(q13;q21),der(7)ins(7;13)(p14;q14q21)del(7)(q11q35),del(13)(q14 q34)[2]/47,idem,+del(13)(q14q34)[7]46, XY,der(5)t(5;13)(q13;q21),-7,+del(13) (q14q34),der(13)t(7;13)(p14;q14)[2]/46,XY[9]

<b>60</b>	7531	44,XX,del(5)(q14q33),der(7)t(7;12)(q10;q10),-9,-12[3]/ 44,idem,t(1;3)(q32;q12)[22]
<b>61</b>	7502	46,XY,del(3)(q12q29),der(5;17)(p10;q10)del(17)(q11q12),der(21) t(3;21)(q25;?p11),+i(22)(q10)[3]/46,idem,i(11) (q10)[2]/46,XY[18]
<b>62</b>	7239	46,XY,-5,-7,del(12)(p11),+2mar[11]/46,idem,del(17)(p11)[3]/ 46,XY[12]
<b>63</b>	7149	46,XY,del(5)(q22q23),-7,del(12)(p11),+mar[21]/46,XY[5]
<b>64</b>	7513	45,Y,der(X)t(X,10)(q28,q25),t(3,5)(q21;p21),der(5;17)(p10;q10),+?,+r?(?)(p11q11),der(7;7)(7pter->7q11::4q12->4q13::7p11-> 7q11::4q32->4qter),der(10)t(X;10)(q26;q21),der(11)(11pter->11q23::10q21->10q25::?5q34->?5q34::11q24->11qter)[5]/46,XY[7]
<b>65</b>	7361	47,XY,del(5)(q13q34),r(6)(p25q27),+8,del(13)(q14q34),der(16),t(13;16)(q14;q11)[5]/ 46,XY[6]
<b>66</b>	7162	46,XX,del(5)(q14q33)[7]/45,idem,der(13)(q11;q12),der(16)t(13;16)(q14;q11),-20[18]/ 46,XX[3]
<b>67</b>	8071	45-47,XX,-9,add(11)(p16),del(20)(q11q13),add(21)(p11),+2mar[9]/46,XX[6]
<b>68</b>	7421	46-49,XY,del(5)(q?15q?31),?add(21)(q22),+1-3mar,?inc[cp15]
<b>69</b>	7160	46,XY,del(5)(q14q33),-7,add(12)(p11),+21[3]/46,XY[22]
<b>70</b>	7881	44,XY, t(2;8;15)(p24;p12;q21),-5,del(7)(q21q35),t(5;10)(p12;p11),dic(12;20)(p11;q12),del(13)(q14q33),+22[16]/46,XY[4]
<b>71</b>	7293	46,XX,r(4)(p16q35)[9]/47,XX,der(4)(4pter->4q34::8q11->8q24::hsr::4q34->4qter)x2,del(5)(q31q35),r(17)(p13q23),r(17) (p11q11)[4]/47,XX,+r(4)(p16q35),der(4)(4pter->4q34::8q11->8q24::hsr::4q34->4qter)x2,del(5)(q31q35),r(17)(p13q23)[2]/46,XX,r(4)(p16q35),del(5)(q31q35),r(17)(p13q23),20dmin[1]
<b>72</b>	7726	47,XX,del(5)(q15q33),+8[10]/42-43,XX,add(1)(q21),del(1)(q21),-4,-5-7-10,-18,-20, add(21)(q22),+2mar,inc[cp10]/46,XX[5]
<b>73</b>	7879	47,XY,-3,der(5)t(3;5)(q25;q23),der(7)t(5;7)(q?35;p13),der(7;13) (p10;p10),+8,der(12) t(12;13)(p11;q13),del(13)(q13q34),+der(18)t(18;21)(p11;q22),der(18)t(18;21)(p11; q22),+22[7]/48,idem,+del(13)(q13q34)[4]/46,XY[4]
<b>74</b>	6608	90,XXXX,der(5)t(5;17)(q11;q23)x2,-12,-12,der(17)(5qter->5q35: :17p13->17q23::12?->12?)x2,dup(17)(q21q25)x2[4]/46,XX[17]
<b>75</b>	7102	48-51,XY,+?Y,+12,+?del(20)(q11),+l(21)(q10),+i(21)(q10)[28]
<b>76</b>	9102	45,XY,-5,der(16)hsr(16)(q22)add(16)(q22),-17,+i(22)(q10)[15]/45,idem,i(2)(p10)[5]
<b>77</b>	6617	47,XX,+8,del(12)(p12)[11]/48,idem,+add(9)(q11)[5]/50,idem,+9,+13,+22[8]
<b>78</b>	7696	46,XX,del(1)(p22p23),der(2)t(2;3)(p?25;q?24)t(2;2)(q11;?),der(3)t(2;3)(q21;q21),del(5) (q22q33),-7,del(12)(?q15q22),+mar[28] (KM); 46,XX,del(1)(p22p23),der(2)t(2;3)(p?25; q?24)t(2;2)(q11;?),der(3)t(2;3)(q21;q21),del(5)(q22q33),-7,del(12)(?q15q22),+mar[2] (PB)
<b>79</b>	8442	46,XY,del(3)(p13p26),del(5)(q23q34)[4]/45,XY,der(1)t(1;3)(p31;q25),der(1)t(1;8)(q25;q24),der(3)(3pter->3q13::1q25->1q32: :8q23->8q24::1qter),del(4)(q26q35),del(5)(q23 q34),-7,der(8)(8pter->8q23::3q13->3q25::1p31->1pter),r(16)(p11q11),del(17)(q11q25),der(17)t(17;17)(p12;q12),der(21)(21pter->21q11)::hsr::21q11->21qter)[3]/45,XY,der (1)t(1;3)(p31;q25),der(1) t(1;8)(q25;q24),der(3)(3pter->3q13::1q25->1q32::8q23->8q 24::1q25->1qter),del(4)(q26q35),del(5)(q23q34),-7,der(8)(8pter->8q23::3q13->3q25: :1p31->1pter),r(16)(p11q11),del(17)(q11q25),der(17)t(17;17)(p12;q12),der(21)(21pter ->21q11)::hsr: :21q11->21q22::21q11->21qter)[5]/46,XY[2]
<b>80</b>	8177	44~46,XX,-2,-2,del(5)(q13?33),-8,del(13)(q12q14),?-18,+2~3mar,?inc[cp9]

<b>81</b>	6491	46,X,t(X;1)(p11;p21),der(5)t(5;22)(q12;11),r(7)(p15q11),del(12) (p12p13)[4]/47,idem, der(X)t(X;13)(q27;q21), +i(8)(q10)x2,del(13) (q13q34),dic(18;21)(q12;p11),del(22) (q11q13)[7]/46,XX[14]
<b>82</b>	8312	47,XX,del(3)(p14p26),r(5)(p11;q11),del(5)(q13q34),der(6)t(6;22)(p21;q13),der(12)(12pter->12q24::6p21->6p25::5q13->5qter),+der(22)t(5;22)(p11;q13),der(22)t(5;22) (p11;q13).ishdel(17)(p13p13)(TP53-) [9]/ 47,idem,der(14)(20qter->20q12: :20q12->20q11::14p11->14qter),del(20)(q12q13)[6]/46,XX[1]
<b>83</b>	7339	46,XX,del(5)(q14q34)[1]/45,XX,del(5)(q14q34),der(7;16)(p10;p10),der(11)t(11;16)(q14; q21),der(12)t(12;13)(q21;q13),der(13)t(11;13)(q23q13)[12]/46,XX,del(5)(q14q34),der (7;16)(p10;p10),der(11)t(11;16)(q14;q21),der(12)t(12;13)(q21;q13),der(13)t(11;13) (q23;q13),+der(16)r(16;11)(p11q11;q?q?)[2]/46,XX[1]
<b>84</b>	6128	43,XY,add(2)(q?35),-3,del(3)(q11q33),del(7)(q22),der(9)t(9;11),-10,-11,-18,-21,+1-2 mar[21]/47,XY,+12,add(14)(q32)[3]/47,idem,del(11)(q32)[4]/46,XY[3]
<b>85</b>	7266	41-44,X,-Y,del(3)(p21),del(5)(q14q22),add(8)(p11),-9,-16,-17,-19,-21,-21,+2-5mar [7]/46,XY[24]
<b>86</b>	9124	43,XY,-2,der(4)t(4;13)(q?27;q?11),del(5)(q11q33),-7,-13,add(17)(q23),-19,+r[25]/ 46,XY[2]
<b>87</b>	7878	46,XY,+1,der(1;15)(p10q10),+5,der(5;5)(5pter->5q11::17?p11->17?p12::17?p12->17? p11::5q11->5pter),der(7)(7pter->7q22: :5q?14->5q?23::7q34->7qter);der(17) t(5;17)(p11;p11)[8]/45,XY,+1,der(1;15)(p10;q10),-5,der(7)(7pter->7q22::5q?14->5q?23::7q34->7qter),der(17)t(5;17)(p11;p11)[7]/46,XY[7]
<b>88</b>	6470	46, XY,del(1)(p22),der(5)t(1;5)(p22;q14),del(7)(q22),add(15)(p11) [5]/45,XY,-6,der(9) ?t(6;9)(p11;23)inv(6)(q13p23) [3]/46,XY[25]
<b>89</b>	7680	45,XX,inv(3)(q21,q26),-7,inv(7)(p12-3q11.2)[7]/45,idem,del(X) (q13q22)[6]
<b>90</b>	7970	44,XY,der(1;3)(3pter->3p25::3p14->3q26::1p36->1p36::3q26->3q29::1p36>1p36::3q26 ->3q36::1p36->1qter),-5,del(7)(q21q36),der(17)t(5;17)(p14;p13)[7]/43,XY,der(1;3) (3pter->3pter->3p25::3p14->3q26::1p36->1p36::3q26->3q29::1p36->1p36::3q26->3 q26::1p36->1qter),-5,der(7)t(7;20)(q11;q13),der(17)t(5;17)(p14;p13),-20[2]/43,XY,der (1;3)(3pter->3p25::3p14->3q26::1p36->1p36::3q26->3q29::1p36->1p36::3q26->3q26: :1p36->1qter),-5,der(7;20)(20qter->20q13::7p22->7q10::20p10->20pter),del(12)(p11 p12),der(17)t(5;17)(p14;p13),der(19)(3?pter->3?p23::12p?11->12p?12::19?p13-> 19qter)[2]/46,XY[11]
<b>91</b>	3852	43-44,Y,add(X)(q22),-5,-7,+8,der(12;15)(q10;q10),-15,-18,+mar[19]/46,XY[4]
<b>92</b>	6587	51,XX,der(1)t(1;5)(p31;q34),t(1;17)(p21;q23),der(5)del(5)(q14q34)t(1;5)(p31;q34),r(9) (p24q11),+r(9)(p24q11)x2,+r(9)(p11q11)x2,+r(22)(p11q11)[13]/46,XX[7]
<b>93</b>	7463	44,XY,der(1),del(1)(p33),inv(1)(p33q24),-5,-13,dic(14;20)(p11;q13),-18,+mar1,+mar2 [8]/46,XY[2]
<b>94</b>	7096	59-63,XY,+X,+1,-4,-7,+13,+14,-16,-17,-18,+21[7]/46,XY[15]
<b>95</b>	6506	45,XY,add(5)(q11),add(6)(p11),-7,t(18;22)(q11;q11)[19]/45,idem,add(3)(p11)[4]/45, idem,del(12)(q24)[3]/46,XY[4]
<b>96</b>	7407	44,XX,del(3)(p11q?),-5,-12[7]/43,idem,-18[8]/46,XX [2]
<b>97</b>	6269	46,XX,del(5)(q14q33),del(9)(q22)[15]/46,idem,del(17)(p11)[5]/46,XX,del(5)(q14q33), del(20)(q11)[4]
<b>98</b>	6299	45,XX add(5)(q22),del(6)(q21),-7,del(12)(q11),del(20)(q11),+r[9]/45,idem,del(6)(q21), del(6)(q21)[4]/46,idem,-r,mar,+mar[9]/ 47,idem,add(11)(p15),+der(11),-r[7]
<b>99</b>	8117	46,XX,der(2)t(2;15)(p13;q13)t(2;8)(q35;q24),del(5)(q14q34),+r(8)(p11q12),der(8;15)(q 10;p10),del(12)(p13p13),der(16)t(15;16)(q11;q24)t(2;15)(p13q13)[2]/46,idem,r(3)(p12

		q13),r(7)(p13q21),der(17)t(3;17)(?p25;p11)[5]/45,idem,r(3)(p12q13),-7,der(17)t(3;17)(?p25;p11)[4]/46,XX[1]
<b>100</b>	6514	46-52,XX,r(3)(p26q29),del(5)(q13q?31),+8,del(9)(q?22),+21,+22,+r,+1~5mar,inc[27]
<b>101</b>	6512	48,X,-X,+idic(X)(q13)x2,+i(X)(q10),+8 [2]/46,XX[26]
<b>102</b>	6093	45,XY,dic(1;11)(p22;q13),del(5)(q22;q33),der(7)t(1;7)(p32;q32)[28]
<b>103</b>	8293	47,XY,+1,der(1;7)(q10;q10),+8,del(20)(q11q13)[12]/46,XY[3]
<b>104</b>	5818	53,Y,der(X)t(X;12)(q21;q23),der(?;5;12;?),add(1)(q10),add(1)(p10),+6,add(7)(q33),+8,+8,+13,+14,+19,+22[20]/46,XY[3]
<b>105</b>	5940	45,XY,-1,del(5)(q11),add(9)(p11),-9,del(11)(q21),del(12)(p11),-15,-17,+mar1,+mar2 [13]/45,XY,del(1)(q32),del(5)(q11),add(9)(p11),add(11)(p11),-12,-13,add(14)(p11),-15,-17,+mar1,+mar3[11]/46,XY[3]
<b>106</b>	6419	48,XX,+1,del(5)(q22q34),+11[9]/50,idem,+9,der(14;15)(q10;q10),+14,add(17)(p11),add(21)(p11),+22[4]/51,idem,+6,+9,der(14;15)(q10;q10),+14,add(17)(p11),add(21)(p11),+22[11]/52,idem,+6,+9,der14;15)(q10;q10),+der(14;15),+14,+14,+15,add(17)(p11),add(21)(p11),+22[6]
<b>107</b>	7292	42-46,XX,-7,-10,-11,-12,add(14)(p11),add(19)(q13),+1-3mar,+r[10] /46,XX[14]
<b>108</b>	6271	46,XY,+1,del(5)(q22q33),del(7)(q13),-16[27]/46,XY[1]
<b>109</b>	6311	43,XY,der(1)t(1;7)(p13;q11),-3,der(5)t(1;5)(p22;q15),del(7)(q11),-7,der(10)t(3;10)(q21;q26),der(11)t(11;?12)(q13;?q13),-12,-21,+mar[22]/46,XY,der(1),der(5)t(1;5)(p22;q15),-7,+mar[5]/46,XY[4]
<b>110</b>	5641	46,XY,+1,der(1;7)(q10;p10),del(20)(q11)[6]/45,idem,-22[5]/47,idem,+8[1]/46,XY[10]
<b>111</b>	3501	46,XX,-17,dup(17)(q12q24),+21,idic(21)(p11)[10]/46,idem,del(7)(q21q35),add(12)(q21)[5]
<b>112</b>	6021	46,XX,add(1)(p13),der(1;8)(p10;p10),der(5)t(5;8)(q13;q22),-20,20~25dmin[20]/46,XX[1]
<b>113</b>	6338	46,XY,add(2)(q?35),del(3)(p21), der(7)?del(7)(q11)der(3;7)(p21;p12),del(16)(p?11)[25]
<b>114</b>	7697	55-61,XY,-4,-5,-7,+8,-12,+13,add(12)(p11),-15,-17,-18,-22,-22,+mar[17]/59-61,XY,del(3)(q11),-4,-5,-7,add?(9)(q34),-10,-11,-12,+13,-15,-17,-18,-19,+2mar[11]/46,XY[1]
<b>115</b>	6022	46,XX,del(5)(q13q33)[1]/44-45,XX,del(4)(q25),del(5)(q13q33),del(3)(q?15),del(7)(q22),add(9)(q34),-17[23]/46,XX[1]
<b>116</b>	6580	42,XX,der(4)t(4;15)(q31;q25),-5,-7,der(7;8)(16?ter->16?::5?->5?::15?->15?::8p21->8q11::18q11->18q12::7p22->7qter),+8,+der(8)r(8;19)(p21q11;?q11?q13),dic(8;19)(p11;p11),der(15;16)(8pter->8p11::18q11->18q12::16?p12->16?q13::hsr::18?::15p11->15qter);der(17;18)(q10;p10)[8]/46,XX[13]
<b>117</b>	6145	46,XY,der(X)t(X;4)(p22;?),+dic(1;11)(11pter->11q11::1p11->1qter),-11[3]/46,sl,del(20)(q12)[5]/46,XY[3]
<b>118</b>	5944	46,XX,del(5)(q14q33)[2]/45,idem,-2,der(7)t(7;?)(q22;2),i(11)(q10),add(16)(q22),-18,+mar[11]/46,XX,idem,der(2) t(2;11)(p13;q13),-3,der(7)t(7;?)(q22;?),i(11)(q10),+11,+mar[9]
<b>119</b>	5964	45,XY,dic(2;5)(p11;q12),+der(2;20)(p10;p10),-4,der(20)t(4;20)(p11;q11),del(4)(q21q28)[4]/46,XY[12]
<b>120</b>	5937	42-45,XY,add(1)(p32),der(5)t(1;5)(p32;q31),der(9)t(5;9;7;?,-10,der(17)t(7;17;17;?,-18,der(22)t(?17;22)(q21;p11),-22,+2-4mar[21]/46,XY[2]

<b>121</b>	6077	43-47,X,-Y,der(2)t(2;3)(q35;q26),der(3)t(3;?)(q11;?)[12],der(4)t(4;7;20)(q33;?;q11), del(5)(q11q33),del(7)(q22), der(9)t(9;?;9)(p22;?;?),der(10)t(5;10)(?q28),del(12)(q11), add(13)(p11),-15[4],17[17],-18[13],+19,-20[14],+1-5mar[32]
<b>122</b>	6047	44,XY,del(5)(q13q33),del(7)(q22),add(11)(q13.3),add(12)(p1?3),-13,der(16,22)(q10, q10),inc[cp32]
<b>123</b>	5781	47,XY,del(13)(q14q14),+19[11]/48,idem,+del(13)(q14q14)[8]/49,idem,+del(13)(q14 q14),+21[1]/46,XY[4]
<b>124</b>	2602	46,XY,add(1)(p36),del(6)(q11)[1]/46,idem,del(10)(q24),der(11),del(11)(q14)add(11) (p14)[14]/46,XY[7]
<b>125</b>	5826	46,XX,del(5)(q14q34)[8]/46,XX,del(5)(q14q34),dic(8;20)(p11;q12),+dic(8;20)(p11;q12) [2]/47,XX,del(5)(q14q34),dic(8;20)(p11; q12), +dic(8;20)(p11;q12),+dic(8;20)(p11;q12) [2]/46,XX[10]
<b>126</b>	1842	44-49,XX,73-80,XX,-5,del(5q),add(7p),del(8p),+8,t(10;12)(p;q),-20,del(q20),+21,mar+ mar[21]
<b>127</b>	7089	48,XX,-3,der(5)t(5;7)(q12;?),r(7)(p11q11),t(9;14) (q22;q24),idic(13 q14),+idic(13)q14) x2,der(22)t(3;22)(q21;q13),+der(22) t(3;22)(q21;p13)[5]/49,XX,-3,der(5)t(5;7)(q12,?), r(7)(p11q11), t(9;14) (q22;q24),idic(13q14),+idic(13)q14)x3,der(22)t(3;22) (q21;q13) [4]/46,XX[5]
<b>128</b>	9108	47,XX,+8,inv(9)(q21p13)c[15]/48,XX,+8,+9,inv(9)(q21p13)c[3]/46,XX,inv(9)(q21q13) c[2]
<b>129</b>	7253	45,XY,der(3)t(3;17)(p24;?),der(4)t(4;21)(q13;q22),-5,r(7)(p15q21)ins(7;5)(?;??),der(9) t(9;19)(p21;q13), t(19;21)(q13;q22)[1]/44,XY,der(4)t(4;21)(q13;q22),-5,-7,der(9)t(9;19) (p21;q13),t(19;21)(q13;q22)[16]/46,XY[4]
<b>130</b>	3848	46-48,XY,der(5)t(5;6)(q13;?),der(6)t(6;?),+der(6),ins(6;18)(q?;?),del(7)(q1?),der(9)t (9;14)(?;?),der(9)t(6;9)(?;?),+der(9), der(17)t(7;17)(?;p13),-20,+21,+mar[10]/46,XY[1]
<b>131</b>	9111	53,XY,+4,t(6;11;14)(q27,q23,q24),+9,+13,+16,+21,+22[15]
<b>132</b>	1966	46,XY[18]/45,X0,-Y[2]/46,XY,t(9,11)[1]/46,XY,der(17)[1]/46,XY,del(20q)[1]
<b>133</b>	5661	50,XX,+1,del(5)(q14q34),+6,+9,+11[13]/50,XX,+1,del(5)(q14q34),+6,+9,+11,idic(22) (p11)[4]/46,XX[3]
<b>134</b>	6566	45,XX,der(2)del(2)(p11p16)ins(2;21)(p11;q22q22)amp(21)(q22q22),del(5)(q23q34),del (7)(q21q35),der(8)(8pter->8q24::8q24->8q11) ,der(16)ins(16;8)(q11;q23q24),-18,der (20)t(2;20)(p11;p11)del(2)(p16p25),amp(21)(q22q22)[5]/46,XX,idem+del(20)(q11q13), +del(20)(q11q13),amp(21)(q22q22)[4]/46,XX,idem,+r(20),amp(21)(q22q22)[3]/46,XX[4]
<b>135</b>	5782	64-65,XY,-XorY,-3,del(5)(q14q33),+del(5)(q14q33),-9,del(12)(p11),-13,-17,add(19p),+1- 3mar[9]/46,XY[6]
<b>136</b>	5496	43,XX,der(3;19)t(3,19)(q10;q10),-5,der(7;17)(q10;q10),add(11)(p15)[22]
<b>137</b>	4244	45,XY,del(3)(q1?),+4,der(5;17)(p11;q11),-7,+8,-18,-22[13]/46,XY[20]
<b>138</b>	5654	46,XX,del(5)(q13q33),-11,add(14)(p11),add(19)(p13),del(20)(q13.1),+mar[25]
<b>139</b>	8140	46,XY,del(3)(p11p25),r(5)(p15q11)[1]/46,XY,del(3)(p11p25),r(5)(p15q11),der(6)r(6;16) (q11;p13),der(16)t(6;16)(q11;p13)[17]/ 46,XY[5]
<b>140</b>	8045	47-48,X,-X,der(7;17)(p10;q10), del(11)(q23),-18,der(20)t(5;20)(q13;q13),+4-6mar[23]
<b>141</b>	5623	46,XX,del(5)(q14q33)[4]/44-46,XX,del(5)(q14q33),+8,?hsr(11)(q23),-16,-18,-22[cp16]
<b>142</b>	2361	46,XY,add(5p)[5]/46,idem,der(8,12),t(8,12)(q11,q11),del(12)(p11)[2]/46,idem,add(1p) [2]/46,XY[13]
<b>143</b>	5650	46,XY,der(2;3)(q11;q11),der(5)t(3;5)(q22;?),der(6)t(2;6)(?,q23),i(22)(q11),+i(22)(q11) [8]/46,XY[16]

<b>144</b>	3217	44,XY,del(5)(q11q33),-9,-11,add(12)(q24),-17,+mar[24]/46,XY[1]
<b>145</b>	3745	47,XY,-3,der(5)t(3;5)(q13;q12),+der(5)t(3;5)(q13;q12),+8,del(12)(p12p13),der(13)ins(13;5)(q14;q34q35)[9]46,XY[13]
<b>146</b>	2275	43,XY,der(5)t(5;13,22;?),-7,add(15)(p11),-13,-20,-22[24]
<b>147</b>	3847	46,XX,dic(3;4)(p1?;p1?),der(5)t(5;17)(q1?;q1?),der(9),der(12)t(12)t(1;12)(?;p?),der(17)t(4;17)(q?;q1?),+22[10]/46,XX[3]
<b>148</b>	4021	46,XY,del(5q)[1]/45,idem,-7,der(16),i(21)(q10),-21,+marC[9]/46,XY[1]
<b>149</b>	5395	46,XX,del(5)(q13q34)[2]/58,XX,+1,+2,+5,del(5)(q13q34)x2,+6,+8,+9,+10,+13,+14,+16,+19[4]/46,XX[2]
<b>150</b>	4059	45,XY,del(5)(q21q34),-7,t(6;21)(p25;q11)[2]/45,XY,del(5)(q21q34),der(2;6)dic(2;6)(p11;p12)ins(2;6)(q13;??)t(6;11) (q27q13),del(11)(q13)[10]/46,XY[6]
<b>151</b>	4250	44-45-,XY,del(1)(q32),del(3)(q25),der(?;5)(?;q23),der(9)t(9;11)(q34;q13),-11,add(19)(q13),del(21)(q22)[11]/46,XY[12]
<b>152</b>	3888	46,XY,der(2)t(2;5)(p23;?),der(3;7)(p10;p10),der(5)t(5q;?),+8,-19,+mar[17]5-21dmin[7]/46,XY[7]
<b>153</b>	5926	45,XY,-5,del(9)(p11),del(12;15)(q11;q11),-15,+mar[3]/45,idem,-3, -15,+mar[10]/46,XY[1]
<b>154</b>	5336	45-48,XY,der(5)ins(5;7)(p14;p11q11t(5;7)(q13;?),dwl(8)(q13),+rt(8)(p22q13),t(11;16)(p13;q11),der(12)t(12;14)(p12;q11) t(8;14)(?;q32)t(8;16)(?;?),der(14)t(8;14)(q13;q11), idic(14)(q12)ins(14;8)(q12;??),r(18)(p11q21) ,der(21)t(18;231)(?;q22)[cp10]/46,XY[6]
<b>155</b>	4051	46,XY,del(5)(q14q34),del(7)(q21q35),+8,del(11)(q13),der(14;20)(q10,p10)t(11;14)(q14; q23),+der(14;20)(q10;p10)t(11;14)(q14;q23),-18[1]
<b>156</b>	5391	46,XX,del(3)(q23),del(13;15)(q10;q10),add(14)(q24),-21,+2mar[23]
<b>157</b>	3740	45-48,XY,der(5;7)(p10;p10),+der(5)0-3x,-20,+mar[12]/46,XY[12]
<b>158</b>	3767	46,XY,del(12)(p11)[4]/47,XY,del(12)(p11),+19[3]/48,idem,+13[4]/49,idem,+X,+8[12]/46,XY[1]
<b>159</b>	9123	41-42,XY,t(1;3)(p21;p25),add(3)(q2?),-4,-7,del(11)(q23),-16,-17,-18,-20,+1-2mar[11]/46,XY[1]
<b>160</b>	5389	46-49,XX,del(5q),-7,del(7q),+8[37]
<b>161</b>	3730	49,XX,del(5)(q13q33),+11,+?19,+?22[6]
<b>162</b>	3861	46,XY,del(12)(p11),add(19)(p13)[14]/46,XY,add(1)(q31),der(12)del(12)(p11),add(12)(q24)[8]
<b>163</b>	8266	45,X,del(Y)(q11),-3,der(5)t(3;5)(q12;q14),del(7)(q21),+8,-12,der(22)t(12;22)(q13;q13) [cp10]
<b>164</b>	3559	46-47,XY,add(4)(q23),del(5)(q22q33)[4]/del(7)(q22),+8,+8,del(9)(p11),-20[21]
<b>165</b>	3742	45-46,XY,add(2)(p21),del(2)(q24),del(6)(q24),i(7)(q10),+8,+11,-13,-15,-16,-17[cp][22]
<b>166</b>	5329	44,XX,del(5)(q14q34),der(7)t(7;13)(q32;q?),der(12;15)(q10;q10)del(15)(q24),del(13)(q14q31),der(17)t(15;17)(q24;p11),-18[7]/46,XX[3]
<b>167</b>	3828	46,XX,del(5)(q13q34),dic(22;?)(p13;?)x2[19]/45,idem,-20[3]/46,idem,-20,+22[2]
<b>168</b>	3743	45,XY,del(5)(q13),add(7)(q34),add(13)(p11),-19,add(20)(q11)[23]
<b>169</b>	3355	51,XX,+1,del(5)(q22q33),+11,+14,+15,-21,+mar[23]
<b>170</b>	3926	46,XY,del(5)(q14q33),del(7)(q22),del(19(q22),del(12)(p11),der(13),inv(16)(p13q22), +19,-22[22]/45-46,idem,add(2)(p21)[3]

<b>171</b>	9127	45,XX,der(12)t(5;?;12),-15,der(17)t(12;17)(p11;q11),+der(19)t(19,12)(q13;?);+add(21)(q22),+add21(q22)[11]/46,idem,+8[5]/47,idem+8,+der(12)t(12;5)[6]/46,XX[2]
<b>172</b>	3496	44,der(X)t(X;19)(q12;q12),der(5)t(X;5)(q?25;p11)ins(5;X)(q23;??),del(5)(q14q34);der(7)t(7;16)(p11q11)t(7;15)(q21;q22),der(11)t(5;11)(p11;p15),-13,-15,der(16)t(7;16)(p11;q11),der(19)del(19)(p12)del(19)(q11)[13]/46,XX[7]
<b>173</b>	2483	46,XY[12]/39-45,XY[10]
<b>174</b>	3538	44-45,XY,-3,add(5)(q33),del(5)(q22q33),del(7)(q13),der(7;12)(q10),add(11)(p11),12,-16,der(21),+1-2mar[20] (PB)
<b>175</b>	3456	45,XY,t(3;15)(p25;q22),-5,-7,add(17)(p11),+mar[5]/46,XY[18]
<b>176</b>	3368	45,XX,del(2)(p13),add(4)(p14),add(5)/(q12),-7[8]/55-59,XX,del(2)(p13),+2,add(4)(p14),+4,+6,+8,add(16)(q22),+16,+16,+19,+20,+21,+2-4mar[14]
<b>177</b>	8242	45,XY,-7,del(12)(p11),del(20)(q11)[12]/47,XY,+8[2]/46,XY[7]
<b>178</b>	3525	45,XX,del(1)(p36),-5,-7,+mar[7]/46,XX[14]
<b>179</b>	2755	46,XX,del(5)(q22q33),-7,-22[3]/45,idem,der(1),+mar[15]/46,XX[4]
<b>180</b>	3843	44-46,XY,del(6)(q21),del(7)(q22q32),-9,add(10)(p?),-13,+14,-16,-21,+2mar,inc[24]/46,XY[1]
<b>181</b>	2913	46,XX,del(5)(q21q34)[4]/46,idem,+9,del(9;17)(p10;q10),add(11)(q23)[19]/46,XX[2]
<b>182</b>	3235	48-49,XX,+2-3mar[9]/47-48,X,+2-3mar[11]/47-49,XX,~11-16dmin[4]
<b>183</b>	3394	44-48,XY,del(1)(p32),der(3q),del(5)(q14q33),del(7)(q22),-7,+8,add(9)(q34),-13,-20,+1-4mar[16]/46,XY[6]
<b>184</b>	3303	45-51,XY,+4,+5,+6,del(7)(q22),+del(7)(q22),+8,add(12)(p11),-15,add(17)(p11),+1-3mar[23]/46,XY[3]
<b>185</b>	3214	43,X,-X,?der(5,7)(p10;p10),-17,add(18)(q22),-21,+2mar[22]/46,XX[1]
<b>186</b>	3225	48,XX,i(1)(p10),add(1)(q10),+der(1)t(?;1)(q10),add(1)(q4?),add(3)(q11),del(5)(q13q33),add(12)(p11),1-2mar[22]
<b>187</b>	5975	46 XX,[18]/46,XX,del(7q)[1]/49,XX,+8,+9,+10[1]/46,XX,der(8)[1]
<b>188</b>	1222	45,X,-Y[2]/idem,t(1;9)(q21;q22),-7,+der(9),+t(1;9)(q21;q22)[6]/46,XY[12]
<b>189</b>	2834	46,XY[8]/43,X,-Y,der(4),del(5)(q22q33),der(7;12)(q22;q13),-12,-16,-20,add(22)(p11),+mar[10]/44,idem,+mar[4]
<b>190</b>	3652	44-46,XY.-4,del(5)(q13q3?5),add(7)(q11),-13,5add(19)(p1?),+mar,?inc[cp16]/46,XY[11]
<b>191</b>	3293	45,XY,-7,inv(9)(p13q22),del(20)(q12q13)[9]46,idem,+21[4]46,XY, inv(9)(q13q21)c[11]
<b>192</b>	3251	44,XY,-2,-5,-6,-16,-18,-20,+4mar[3]/46,XY[1]
<b>193</b>	3098	45,XY,der(5)t(5;17)(q13;q21),add(6)(p23),-17[5]/44,idem,-7[13]/46,XY[5]
<b>194</b>	3336	46,XY,del(6)(q15),add(17)(q25),add(18)(p11)[12]/46 idem,del(14)(q31)[7]/46,XY[3]
<b>195</b>	3175	44,XY,t(3;12)(p13;p12),-7,+8,-13,-15[4]/46,XY[19]
<b>196</b>	3827	46,XX,del(5)(q13q34),dic(22;?)(p13;?)x2[19]/45,idem,-20[3]/46,idem,-20,+22[2]
<b>197</b>	3024	46,XY[24]/45,X0,-Y[3]/47,XY,add(3q),t(5,11),+mar[1]/46,XY,t(17,21)[1]/46,XY,der(16)[1]
<b>198</b>	2200	46,XY[18]/92,XXYY[3]
<b>199</b>	3075	46,XX[17]/48,XX,+8,+15[1]/50,XX,+7,+8,+15,+19 [1]
<b>200</b>	3109	45,X,-Y[3]/46,XY,del(5)(q31q33),del(7)(q22),-14,add(21)(q22),+mar[3]/46,XY[17]

<b>201</b>	3292	46-49,XY,-4,-5,add(7q),+8,-18,del(20)(q11),+21,+3-5mar[10]/46-49,idem,add(3)(q11),add(12)(p12),-13,-18,+1-5mar[10]/46,XY[2]
<b>202</b>	4066	45,X,-Y,der(5)t(5;17)(q22;q11.2),der(7)add(7)(p22)add(7)(q22), del(12)(q21.3q24.3),-13,der(20)t(Y;20)(q11.2-q13.1),+mar[38]/ 46,XY[2]
<b>203</b>	3073	46,XX,dic(1;11)(q11;p15)add(11)(q23),+dic(19;11)(q11;p15)add(11)(q23),ino(2)(p25 q33)[13]/46,XX[11]
<b>204</b>	2821	45,X,-Y,del(2)(p23),der(3)t(3;5)(p13;?),der(5)t(3;5)(p21;q13)[2]/44,X0,-Y,del(2)(p23),der(3)t(3;5)(p13;?),-5[7]/46,XY[11]
<b>205</b>	4068	44,XX,add(5)(q13),-7,add(8)(q22),add(10)(p11.2),del(12)(p11.2p13),der(13;17)(q10; q10),-16,add(20)(q?11.2),+mar1[6]/44,idem,-3,add(8)(q22),-add(20),+?der(20)t(11;20) (q13;q13)[4]/45-46,idem,add(20),+mar2,+mar3[3],+1-2mar[cp6]/43,idem,-3,11q?, add(11)(p15)[2]/46,XX[3]
<b>206</b>	3713	46,XY,+5,der(5;7)(q10;q10),del(5)(q11),rob(14;22)(q10;q10)[17]/46,XY[6]
<b>207</b>	3041	46,XY[2]/45,X,-Y[6]/81-85,XXY,-Y,del(5)t(q5);?)(q?22;?)2x-12,-15,-15,del(16)(q2?),-17, add(21)(q22),+1-3mar[8]/81-85,del(1)(p22)[6]
<b>208</b>	3373	39-43,XY,der(2),der(3)t(3;9),-5,-7,+8,der(10)t(10;17)t(12;17)t(2;10)t(3;10),-12[7]/49- 58,XY,der(3)t(3;7)(q11;q11)X2,+4,-5,+6,der(7)t(3;7)(q11;q22),der(7)t(3;7),+8,der(10), +11,+11,+13,+13,+14,+15,del(17)(q11),der(17)t(7;17),+19,+21,+22[14]/46,XY[1]
<b>209</b>	3449	46,X,add(X)(p11.2),inv(3)(p21q26.2),12p?,der(17)t(X;17)(p11.2;q11.2)[9]/46,XX[11]
<b>210</b>	3706	45,XY,-3,der(5)t(3;5)(?,q14),der(7)del(7)(q11)del(7)(p15?)[25]/46,XY[5]
<b>211</b>	3023	46,X,der(3),t(3;X)(q27;q13)t(3;13)(p25;q14),del(5)(q22q33),add(12)(p12)[22]
<b>212</b>	2884	46,XX,del(5)(q15q35),-6,add(17p),der(21),+mar[12]/46,XX[13]
<b>213</b>	3050	43,XY,-2,der(5q),del(7)(q11),add(12)(p11),-16,-17,-18,+mar[18]/42,idem,der(12;15) (q11;q11),-15[4]/46,XY[1]
<b>214</b>	2739	43-47,XY,t(1;8)(q21;q21);der(3)t(3;21)(p11;q11),-5,del(5)(q13),+del(8)(q22),+21,der (21)t(5;21)(p11;q22),+der(21) t(5;21)(p11q22),+der(21)t(5;21)(p11q22)[cp9]/46,XY[5]
<b>215</b>	3044	43-44,del(5)(q14q31),del(8)(q22),-10,-16,-17,-18,+mar,inc[cp19]/43,XX,del(1)(p22), add(2)(q37),-3,del(5)(q31),add(14)(q32),add16(q24),-17,-18,-21,+1-3mar,inc[cp6]
<b>216</b>	1503	46-47,XY,der(5q),del(7)(q22),del(11)(q21),-13,+2mar[18]
<b>217</b>	5749	45,XX,del(5)(q13q33),dic(14;20)(p12-13;q11.2-12)[26]/45,idem,der(12)inv(12) (p13q22)?del(12)(q24?1q24?2)[2]/46,XX[2]
<b>218</b>	2994	46,XY,del(12)(p12)[6]/44,idem,-1,der(4)t(1;5)(q11;?;q13),-7,der(17p)[12]/46,XY[4]
<b>219</b>	2907	45,XY,del(5)(q11q33),-7,-9,add(11q),+mar[22]
<b>220</b>	2544	46,XX[21]/50,XX,+4mar[2]
<b>221</b>	1981	45,X0,-Y[3]/46,XY[14]/46,XY,del(3q)[1]/46,XY,t(1;7)[1]/46,XY,del (11q)[1]/46,XY, del(15q)[1]
<b>222</b>	3959	43,XX,-4,-5,-7,-9,add(12)(p12),?add(17)(p?11.2),-21,+mar1,+mar2[4]/43,idem,dup(11) (q21q23)[8]/46,XX[2]
<b>223</b>	2358	46,XX[2]/47,X,del(Xq),del(5q),del(11q),+21[17]
<b>224</b>	2789	43-44,XY,add(2)(p16),-13[12]/idem,der(3)[3]/idem,del(5)(q22q33),add(5)(q34),-7,-10, +mar[15]/46,XY[7]
<b>225</b>	2705	46,XX[8]/45,XX,del(2)(p?21),der(5;17)(p10;q10),der(6)(p11),-7,+8,add(12)(p12),+13[4]/ idem,-18[2]/idem,+2mar[15]

<b>226</b>	2888	44-45,XY,der(2;9)(q10;q10),add(2)(q11),del(5)(q14q33),add(7)(q11),add(8)(q24),-16 [14]/add(1)(p11)[4]/-18,-20,i(21)(q10) [15]/+2mar[21]/46,XY[2]
<b>227</b>	1769	45-47,XX,-5,-7,+2mar[5]/46,XX[17]
<b>228</b>	3601	44,X,-X,-5,del(6)(q22?2p2?5),inv(6)(p22.2q15),add(22)(p11p13),add(22)(p11.2)[2]/ 44,idem,del(13)(q12q14)[9]/46,XX[1]
<b>229</b>	2599	46,XY,add(5)(q33),del(5q),del(7)(q1?),del(10)(q24),der(10),del(12)(p12),-13,add(16q),- 17,+1,-mar[22]
<b>230</b>	2618	47-48,XY,del(3q)[3],-5,-7,+8,add(9)(q32),+10,add(11)(p11),-12,der (16),+19,+22,+2-3 mar[22]
<b>231</b>	2827	62-66,XX,-X,+2,del(4q),add(5)(p15),del(5)(q22q33),+6,der(9),del (9p),add(9)(q34)[7]/ 46,idem,add(11)(q2?3),+12,-13,-14, add(14)(p11),i(17)(q10),+19,-20,-22,+mar[19]
<b>232</b>	2748	43-45,X,del(X)(q2?),add(1)(q3?),-4,der(5)del(5q),-7,del(8)(p12),add(17)(p11),+1-3mar [9]/46,XX[14]
<b>233</b>	2742	48,XX,add(4)(p11),del(5)(q22q33),-6,?del(7)(q22),+8,add(15)(p11),+19,+2mar[9]/48, idem,-3,der(14;15)(q10q10),+mar[8]/46,XX[6]
<b>234</b>	2605	46,XX[4]/46,XX,del(5)(q22q33)[2]/46,XX,add(2p),del(5)(q22q33)[4]/46,idem,del(1q), add(1q)[2]/47,idem,del(11q),del(13q),add (18q),+mar[5]/46,XX,del(10q),del(1q),+2?, del(5)(q22q33)[4]
<b>235</b>	2173	46,XX,del(5)(q13q33),-9,+mar[2]/46,idem,add(1p),der(3),-18[8]/46,idem,add(1p), der(3),del(12p),-18[7]/46,XX[5]
<b>236</b>	2594	53,XY,+8,+12,+14,+18,+19,+20,+21[13]/46,XY[7]
<b>237</b>	1631	44,XX,del(5q),del(7),add(10q),del(18),der(20)[5]/46,XX,del(9q)[2]/46,XX[3]
<b>238</b>	2300	45-48,XY,der(4),t(4;12)(q21;q13),-5,-7,-9,-12,der(17),add(20)(q13),-22,+4-8mar[13]/ 46,XY[10]
<b>239</b>	2297	46,XY[3]/46,XY,del(7)(q22)[11]/47,idem,+21[5]/46,idem,add(16q)[2]/47,idem,+17[1]
<b>240</b>	2466	46,XX,del(5)(q13q33),-7,del(12)(p11),del(16)(q13),+mar[25]
<b>241</b>	2512	46,XX,del(5)(q13q33)[2]/43-45,idem,-3,add(6)(p21),-7,der(8),+del(10)(p1?),+der(11),- 12,-13,-18,+mar,+mar[17]/46,XX[3]
<b>242</b>	2586	44,XY,der(5;17)(10;q10),-7[13]/44,XY,del(3)(q21),der(5;17)(p10; q10),-7[4]/44,XY, der(5;17)(p10;q10),-7,der(11),t(7;11)(?;p15) [3]/ 46,XY[1]
<b>243</b>	2260	46,X,-Y,+8[1]/45,X,-Y,add(18p)[4]/45,idem,+der(1;14)(q11;q11),-14[17]
<b>244</b>	2182	48,XY,+8,+13[14]/49,idem,+mar[5]
<b>245</b>	2410	42-44,XY,del(5)(q22q33),-7,der(7),t(7;?)(q11;?),der(12p),der(15;18)(q11;q11),-17,-18, -20,-22,+2-3mar[19]/44,idem,t(14;22) (q11;q11),-12,+r[3]/46,XY[2]
<b>246</b>	2548	46,XY[2]/43-45,XY,-5,-6,add(12p)[9]/46-47,XY,-19,1-2mar[18]/46,XY,del(2q)[2]
<b>247</b>	2614	45,XY,t(1;3)(p36;q2?),?del(5)(q14q33),-7,der(12)[24]
<b>248</b>	2522	44,XY,del(5)(q13q33),-7,del(11)(q23),der(20;21)(p10;q10)[1]/ 43,XY,idem,-17,der(18) t(q21;q23)[4]/44,XY,idem,+mar[4]/ 46,XY[4]
<b>249</b>	2402	45,X,-Y,del(5)(q22q33),del(19),add(20q)[17]/44,idem,-18[5]
<b>250</b>	2489	47,XY,del(20)(q11),+del(20)(q11)[3]/49,idem,+21,+22[18]/46,XY[1]
<b>251</b>	2232	46,XX[5]/47-48,XX,-5,-7,+8,+3-4mar[16]
<b>252</b>	2498	45,XY,add(2q),del(3q),der(5q),del(7)(q22),-13,der(17)[7]/46,XY[15]
<b>253</b>	3377	46,XX,-2,add(7q),+mar[18]/46,idem,del(12p)[3]/46,XX[1]

<b>254</b>	2326	43,XX,del(5)(q22q33),-7,inv(9)(p11q13),-17,-18,-20,+mar[13]/46,XX,inv(9)(p11q13)[9]
<b>255</b>	2559	43-44,XY,add(1q),del(1q),+der(1),add(5q),-5,der(7p),add(8q), der(8),der(8),add(11p),-15,add(17p),-18,+der(19),-22,+2-3mar [21]/46,XY[1]
<b>256</b>	3527	44,X,-Y,-7,del(9)(q22),add(12)(p1?),add(16)(p13),-17,+mar,inc[cp21]/46,XY[2]
<b>257</b>	2363	43-45,XX,del(2p),add(3p),-4,-5,add(6p),-7,add(7q),+8,add(9q),-12,-16,-17,-21,+3-5mar [22]
<b>258</b>	2404	44-47,XY,der(7),add(15)(p11),-18,-21,+2-4mar[6]/44-47,idem,-Y,-20[9]/46,XY[17]
<b>259</b>	2001	46,XY,del(5)(q13q33)[9]/45,idem,-21[2]/47,idem,+8[10]/46,idem,+8,-21[1]
<b>260</b>	1029	46,XY,del(12q)[2]/46,XY,del(15q)[4]46,XY[11]/47,XY,+mar[1]/47,XY,+mar[1]/47,XY,+mar[1]/47,XY,+mar[1]
<b>261</b>	2333	46,XY[14]/43-46,XY,-4,-5,del(7q),-10,-19,-19,-21,+22,+2-5mar[7]
<b>262</b>	2436	45,XY,add(5)(p15),del(5)(q13q33),-11,-17,del(20)(q11),+mar[20]
<b>263</b>	2211	44,XX,der(3)t(3;13)(p25;q?),t(5;21)(p15;q11),dic(5;12)(q13;p11),del(6)(q23)7,del(13)(q22)[cp6]/46,XX[14]
<b>264</b>	3025	46,XX[5]/48-50,XX,-5,-7,+8,add(19q),+11,-17,-18,der(17;18),+19,+20,+21,+22,+2-5mar [17]
<b>265</b>	2270	46,XX,del(5q),add(8p),+2-3mar[16]/46,XX[1]
<b>266</b>	1962	86-89,XXXX,del(3)(p11),del(3)(q11),del(5)(q13q31),del(5)(q13q31)[6]/46,XX[14]
<b>267</b>	2215	46,XX,del(5)(q13q31),ins(13;17)(q12;q11q35)[2]/45,XX,der(q10;p10),del(5)(q13q31),-7,+21[12]/46,XX[1]
<b>268</b>	2194	46,XY,del(5)(q23q32),-7,+8,add(12)(p12),-18,add(18)(p11),+19[19]
<b>269</b>	2503	46,XX,del(5)(q13q33)[13]/47,XX,+1,der(3)t(3,12)(p11,q22),del(5)(q13q33),r(12)(p12 q12+21[14])
<b>270</b>	2184	51,XY,+1,del(5)(q13q33),+6,+11,+22,+22[16]/52,idem,+15[5]
<b>271</b>	1721	46,XY[17]/45,XY,-22[2]/46,XY,del(13q)[1]/46,XY,t(X;8)[1]/46,XY,del(6q)[1]
<b>272</b>	1076	44,XX,del(4p),del(5)(q13q33),der(7q),+8,add(10p),add(13p),-14,der(17q),-18,-20[22]
<b>273</b>	2858	46,XX,der(3)t(1;3)(q12;29),del(5)(q22q35),del(20)(q11.2)[8]/46,XX,del(5)(q22q35),der (15)t(1;15)(q12;p11.2),del(20)(q11.2)[2]
<b>274</b>	2241	44-45XY,der(X;5)(q11.2;p15),del(5)(q13),dic(5:14)(q13;p10),-7,der(7)t(7;11)(p15;q13), der(12;16);ris(16;12)(p12;p12;q24) del(16)(p13.1),der(22)t(16;22)(p13.1;p10)[8]
<b>275</b>	2332	46,XX[12]/43-44,XX,der(2),t(2,5),-5,-6,-7,del(12p),-17,-18,+3mar[11]
<b>276</b>	5257	47,XY,der(7;10)(p10;q10),+8,add(10)(q10),del(11)(q23)dup(12)(q12q23),-20,-21,+mar2 [10]
<b>277</b>	2179	45-46,XY,-5,-8,add(9p),-17,+2-4mar[18]
<b>278</b>	1882	45-48,XX,-4,der(5)t(5;17)(q13;q21),der(15)t(15;21)(p10;q11),der(17)del(17)(q21) t(4;17)(?;p13),del(9)(q11),+der(21)X(21)X2-4[20]
<b>279</b>	2155	44,XY,der(1)t(1;9),der(3)t(3;5),+del(3)(q11),der(4)t(4;12),der(4;12),-7,der(8)t(1;8), der(9)t(9;12),-10,der(19)t(10;19),der(20) t(7;20),-21,+mar,inc[19]/46,XY[4]
<b>280</b>	2043	46,XX[16]/47-49,XX,del(2q),del(5q),add(11p),-17,2-5mar[5]
<b>281</b>	1868	46,XY[2]/44,XY,-4,-5,der(14),t(14,4),del(20)(q11),-22[18]/44,idem,add(12p)[2]
<b>282</b>	1950	47,XX,t(1;11)(q31;q2?5),del(7)(q32),+8[2]/46,XX[19]/47,XX,+7[1]

<b>283</b>	1774	$44, X, -X, \text{del}(5)(q22;q33), \text{add}(6)(p2?3), -7, i(8)(q10), \text{add}(12)(p12?3), -16, \text{der}(17), -18, \text{add}(19)(q12), +2\text{mar}[12]/44, \text{idem}, \text{add}(3)(q2?) [8]$
<b>284</b>	1542	$42, XY, \text{der}(5), -7, +8, \text{der}(9)t(9;12)(q22;q13), -12, \text{add}(14)(p11), \text{add}(15)(p11)x2, -16, \text{der}(19), -21[19]$
<b>285</b>	1730	$46, XX[20]/50, XX, +4\text{mar}[1]$
<b>286</b>	3014	$46, XY[3]/46, XY, \text{add}(1p)[3]/91-93, XXYY, \text{der}(1), t(1,7)(q10,p10)[9]/\text{idem}, -2[6] \text{idem}, +11[8]\text{idem}, i(11)(q10)[3]\text{idem}, +13[13] \text{idem}, \text{der}(16) [7][cp18]$
<b>287</b>	2072	$46, XY, \text{inv}(9)(p11q13)[7]/45, XY, -5, -7, \text{inv}(9)(p11q13), \text{add}(12p), \text{del}(20)(q11), +\text{mar}[12]/46, \text{idem}, +\text{mar}[2]$
<b>288</b>	1913	$44, XX, -5, -12[4]/44, \text{idem}, -7, +\text{mar}[5]/44, \text{idem}, -7, \text{add}(20p)[9]$
<b>289</b>	5186	$46, XY[8]/46, XY, \text{der}(1)t(1;?)\text{der}(11)t(4;11), \text{del}(20)[6]/46, XY, \text{der}(1)t(1;?)t(4;11), -20, \text{der}(21)t(21;?) [2]$
<b>290</b>	5307	$45, XY, \text{inv}(3)(q21;q26), -5, \text{del}(7)(q11), \text{del}(12)(p12)[14] (\text{Freiburg}); 45, XY, \text{inv}(3)(q21;q26), -5, -7, \text{del}(12)(p12), +\text{mar}[16]/45, \text{idem}, \text{del}(13)(q1?2q21)[4] (\text{Dortmund})$
<b>291</b>	2050	$47, X, \text{del}(Xq)2X[6]/45, X, \text{del}(Xq), \text{add}(5p), -7, \text{del}(18q)[10]/48, X, \text{del}(Xq), +15, +\text{mar}[2]/47, XX, +21[1]/46, XX, 19p+[1]/46, XX, \text{der}(6)[1]$
<b>292</b>	1983	$46, XY, \text{add}(5)(p11), \text{add}(19)(q13)[2]/44/46, \text{idem}, \text{der}(9p), \text{add}(15)(q2?), -15, \text{add}(16)(p13), -18, \text{der}(21q)(1/3X)[18]$
<b>293</b>	2008	$46, XY, t(2;15)(q?, q?), \text{del}(5q), \text{add}(5q), \text{inv}(7), t(11;17), -15, -17, +\text{mar}[18]/46, XY[2]$
<b>294</b>	1625	$44-46, XY, \text{der}(2;5;2;7), t(2;6)(q23;?), \text{der}(3;17)(p;?), \text{del}(5)(q13q33), -7, t(19;20), t(21;21)(q10;q10), +21[24]$
<b>295</b>	1893	$45, XX, \text{inv}(3)(q21q26), -7[13]/\text{idem}, -14, +\text{mar}[3]/46, XX[4]$
<b>296</b>	1784	$46, XY[20]/44, XY, -9, -10, -21, +\text{mar}[1]$
<b>297</b>	1944	$88-91, XXXX, \text{del}(1q), \text{del}(1q), \text{del}(5q), \text{del}(5q), \text{del}(11q), \text{del}(11q), -13, -13, +\text{mar}, +\text{mar}, +\text{mar}[5]/46, XX[15]$
<b>298</b>	1771	$46, XY, \text{del}(2)(p13q?4), \text{del}(5)(q13q33), \text{add}(17)(p11), \text{del}(20)(q11)[20]/46, XY[1]$
<b>299</b>	5217	$46, XX, \text{inv}(3)[17]/46, XX, \text{add}(11)[3]/47, XX, \text{inv}(3), +\text{der}(8)\text{del}(8)[1]$
<b>300</b>	1884	$48, XY, +8, +21[3]/49, \text{idem}, +18[1]/49, \text{idem}, t(2;6), +18[1]/46, XY, [15]$
<b>301</b>	1917	$46, XX[15]/46, XX, \text{del}(3)(p10)[2]/50, \text{idem}, \text{del}(5)(q22q33), \text{del}(8p), +14, +20, +\text{mar}, +\text{mar}[4]$
<b>302</b>	1700	$47, XY, +8, t(11;17)(q12;q25), \text{del}(20)(q11)[18]/46, XY, +8, t(11;17)(q12;q25), -20[2]$
<b>303</b>	3037	$44, XY, \text{add}(2)(p11), \text{del}(5)(q22q33), \text{add}(6)(p23?), \text{der}(7q), \text{del}(12)(p12?), -16, \text{del}(17)(p10), \text{del}(20)(q11), -21[15]/44, \text{idem}, i(8)(p10)[6]$
<b>304</b>	1840	$44, XY, \text{del}(5)(q22q33), -7, -13[14]/45, XY, \text{del}(5)(q22q33), \text{del}(7p), -13[1]/44, \text{idem}, \text{del}(11)(q23)[10]/44, \text{idem}, \text{add}(1p), \text{del}(11)(q23)[8]/44, \text{idem}, \text{del}(11)(q23), \text{dup}(20p11.2)[5]/44, XY, \text{del}(5)(q22q33), -7, -13, +\text{mar}[6]$
<b>305</b>	1908	$46, XX[2]/46, XX, \text{del}(5)(q13q33)[3]/46, XX, \text{del}(5)(q13q33), \text{add}(13)(p10), -15, -18, \text{der}(19), \text{add}(21)(p10), +\text{mar}, +\text{mar}[15]$
<b>306</b>	1790	$45, XY, -7, i(21)(q10)[7]/46, XY, -7, i(21)(q10), +\text{mar}[3]/47, XY, +\text{mar}[3]/48, XY, +10, +\text{mar}[3]/49, XY, +10, +21, +\text{mar}[3]/46, XY[3]$
<b>307</b>	4518	$46, XY[33]/92, XXYY[3]$
<b>308</b>	5208	$46, XY[5]/44-46, Y, -X, \text{del}(3), \text{del}(5), -7, -9, -11, -15, \text{add}(16), -19, -20, +4-6\text{mar}[15]$
<b>309</b>	1764	$46, XY, \text{inv}(3)(p21q29), -3, \text{del}(5)(q13q33), \text{add}(7)(q22), +8, -12, -14, +\text{mar}, +\text{mar}[21]$
<b>310</b>	5185	$45, X, -Y[14]/86-90, XY[4]$

<b>311</b>	4694	45,XY,der(3)t(3;12)(q12;p13),del(6)(q15),del(11)(p14),del(12)(p11.2),der(12)t(3;12)(12 qter->12p12.3::3q?::12p11.2->12p13: :3q12->3qter)2x,-13,-20[17]
<b>312</b>	1756	46,XX[8]/45,XX,add(1)(p22),del(5)(q13q33),del(7q),-13,-15[15]
<b>313</b>	4524	38-44,XY,der(1),dic(5;17)(q14;p13),t5;12)(q13;q12),dic(12;16)(q12;q10),-13,-14, add(19)(q13),-21,+2var mar,1dmin[cp10]/ 46,XY[6]
<b>314</b>	4690	41-44,XX,der(1)t(1;3;4)(p?;?;?),der(3),der(4),-5,-7,der(16),der(17)t(16;?;17)(?;?;p11), +mar1,+mar2[cp3]/46,XX[11]
<b>315</b>	5297	43,XY,del(5),-12,-13,-14,-16,+der(14)t(14;16)(p11;p13)[10]
<b>316</b>	1688	45,XX,+X,-3,t(4;11),(q2?;q21),-5,der(7;19)(p15;q13),+mar[17]/46,XX[3]
<b>317</b>	4417	46,XY,t(5;12)(p10;q10),-5,del(6)(q13q26),del(7)(q22),add(8)(p10),-21,+2mar[10]/45, idem,del(3)(q21)/-3,+1mar[9]/46,XY[1]
<b>318</b>	1640	44,XY,-5,-7,-17,+mar[6]/43,XY,-5,-7,-13,-15,-17,+mar,+mar[4]/46,XY[22]
<b>319</b>	5233	46-48,XY,+8[3],+iso(8q)?,del(11q),del(20q)?+mar[cp6]
<b>320</b>	1679	46,XX,del(5)(q13;q33)[2]/44,XX,del(5)(q13q33),-17,-20,der(20)t(17;20),mar2[4]/ 44,XX,del(5)(q13q33),-17,-20,mar1[12]/46,XX[3]
<b>321</b>	3046	43,XY,del(2)(q?),-3,-5,-7,add(11)(p11.2),add(12)(p11.2)del(14)(q?),add(15)(p11.2),-19, -20,+mar1,+min[9]
<b>322</b>	988	47,XY,+8[7]/48,XY,t(1;3)(p;q),+8,+19[1]/48,XY,+8,+mar[1]/46,X0,+8-Y[1]
<b>323</b>	1601	45-46,XX,der(2;12)(q11;q11),del(5)(q13q33),del(9)(p11),der(12), t(13;19)(q12;q13),- 15,der(17),add(20)(p12?),-21,+mar, +mar[20]
<b>324</b>	1192	46,X,-Y,inv(1)(p13?q43?),t(10;17)(q24;q25),add(16)(q24),+mar[7]/46,XY,t(10,17)(q24 q25)[6]/46,XY[14]
<b>325</b>	1685	44,XY,t(3;20)(p21;q13),del(5)(q13q33),add(6)(p25),-10,-13[22]/44,XY,del(5)(q13q33) [2]/46,XY[3]
<b>326</b>	942	46,XY,t(4;21)(q21;q22)[4]/46,XY,t(4;21)(q21;q22),del(7)(q22)[18]/47-48,XY,t(4;21) (q21;q22),add(5)(p15),del(7)(q22),+2-3mar[2]/46,XY[8]
<b>327</b>	4537	44,XX,der(2)t(2;15)(q35;q22),t(5;17)(q14;q10),-7,del(13)(q13q32),-13,-17,der(18),-19, +2mar[20]
<b>328</b>	5298	83-89,XXXX,12p-,+2-5mar,2-4dmin[10]
<b>329</b>	1353	44,XX,-2,-3,der(4)t(3;4)(p21?;p14?),del(5)(q13q33),-6,der(7),add(12)(p11)[13]/43, idem,der(7)[7]/46,XX[1]
<b>330</b>	1372	46,XX,add(2p),del(5)(q13q33)[13]/45,idem,-22[4]/45,idem,der(6)[3]
<b>331</b>	1290	45,XY,-7,-8,-18,der(7;8)(q34;q11.2),der(8,7,18) (q11.2;q34?;q36;q12?;21)[18]/46,XY[2]
<b>332</b>	1634	48,XX,+1,del(5)(q31q33),+21[19]/49,idem,+del(5)(q13q33)[1]
<b>333</b>	5184	42,XY,del(5),-6,-9,del(10),del(12),-13,-15,-16,-17,-20,+3mar[20]
<b>334</b>	4577	44,t(X;5)(q11;q10),-X,t(7;12)(p21;p13),-7,del(18)(q21),add(19)(q13),-22,+mar[20]
<b>335</b>	5150	48,XY,-7,+der(7)t(1;7)(q21;q12),-12,+ins(12;1)(q12;p31p33)[12]
<b>336</b>	1540	48-49,XX,del(5)(q13q33),-13,+19,del(20q),+22,+1-2mar[18]/46,XX[2]
<b>337</b>	1287	46,XY[1]/46-48,XY,del(3)(p21->pter),der(16),add(17)(q25),+mar, +mar[17]
<b>338</b>	4699	46,XX[1]/45,XX,del(4)(q21,q31),der(5)t(5;9)(q13;p10),dic(9;17)(q11;p11.2)[9]/45,idem, hsr(1)(p32)[14]
<b>339</b>	4539	46,XY,t(X;1)(q12;q28),del(5)(q14q23)[3]/46,idem,-17,+mar[1]

<b>340</b>	1432	44,XX,t(1;7)(p13q21),-5,-15,-6,-8,+2mar[4]/43,idem,-7[3]
<b>341</b>	1033	46,XY[9]/45,XY,-7[2]/45,XY,-C[2]/46,XY,-9,+mar[5]
<b>342</b>	5264	44,XY,-1+der(1)t(1;?)q32;?-3,del(5)(q13q33)-6,+mar[10]
<b>343</b>	4443	46,XY,fra(4),(8),(9),(16)[20]
<b>344</b>	5193	46,XX[6]/46,XX,del(5)[2]/46,XX,del(5),t(1;9),t(20;21)[5]/46,XX, del(5),+6,+8,t(20;21)[1]
<b>345</b>	5256	44-48,XY,3-6mar,dmin[10]
<b>346</b>	4689	46 XX[3]/46,XX,del(5)(q13q33),del(12)(q13),t(13;16) (q22;q24)[16]/46,XX,del(5) (q13q33),del(12)(q13),t(13;16(q22;q24), add(15)(p10)[1]
<b>347</b>	5143	46,XX,-5,-20,+mar2x[14]
<b>348</b>	5172	44,XX,-6,-7,12q-,18q+,t(12;18)(q13;q23)[13]
<b>349</b>	4593	42-44,XX,t(3;13)(q11;p11),del(5)(q13q33?)-5,del(7)(q21?)-7,t(11;19)(q22?;p13?),+del (22)(q11),+1-2mar[cp11]
<b>350</b>	1366	44-45,X,-X,-5,add(6)(q22),t(7;12)(q34;q13),-21,+mar,+mar[18]
<b>351</b>	4538	44,XX,der(3),-5,t(7;12)(q35;q13),-7,-12,del(14)(q12q21),del(17)(p12),del(18)(q12q22), +t(1;22)(p22;p13)[23]
<b>352</b>	1347	44,XX,der(3;7),(q13;q21),-5,-7,+8,add(9)(q34),-12,add(14)(p11),add(17)(p11)[17]/46, XX[3]
<b>353</b>	4412	43,XX,t(1;7)(p33;p15),-7,-19,-20[1]/46,XX[19]
<b>354</b>	1203	46,XY,der(2),-5,del(7)(q22),+8,-18,-21,+mar,+mar[20]
<b>355</b>	1442	46,XY,del(9)(q22)[8]/45,XY,-7,del(9)(q22),-11,+mar[5]
<b>356</b>	957	46,XY[13]/45,XY,-1,-17,-21,+mar,+mar[1]/46,XY,-11,+mar[1]
<b>357</b>	1116	42,XY,-2,-5,-12,-17,+mar,+mar[10]/46,XY[2]
<b>358</b>	1258	45,XX,del(5)(q12q33),der(9;17)(p11;q11),-14,+mar[25]
<b>359</b>	4415	46,XX,add(3)(q)[4]/XX,idem,del(12)(p)[1]/46,XX,idem,del(2)(q)[1]/46,XX,add(3)(q),add (9)(p),del(12)(p)[1]/46,XX[3]
<b>360</b>	4632	46,XX[2]/46,XX,del(5)(q13q31)[16]/92,XX,del(5)(q13?)[2]
<b>361</b>	1296	45,XY,-18[4]/47,XY,+mar1[3]/46,XY,-18,+add(18)(q10)[9]/46,XY,del(7)(q22),-18,+add (18)(q10)[7]
<b>362</b>	1003	48,XY,del(7q),-11,del(12q),del(12)(p11),+3mar[7]/46,XY[1]
<b>363</b>	1087	37-40,XX,del(3p),-5,add(7p),del(7q),t(9;22)(q34;q11),-10,add(12p),-15,-16,-18,-18,add (19q),-20,-21,-22,-22,+3mar[25]
<b>364</b>	4478	46,XY,del(5)(q13q33)[8]/46,XY,idem,+11,-17,+t(1;17)(q11;p10)[3]/47,XY,idem,i(22)(q [5]
<b>365</b>	1081	47,XX,del(5)(q12q33),+22[8]/47,XX,del(q12q33),t(16;17)(q24;q12),+22[1]/46,XX,del(5) (q12q33),t(9;22)(q34q11),-12,t(16;17) (q24;q12),+22[1]/46,XX,del(5)(q12q33),t(9;22) (q34;q11),-12,t(16;17)(q24;q12),+22[10]
<b>366</b>	1234	46,XY[22]/46,XY,-13,+18,-22,+mar[1]
<b>367</b>	1079	44,X,-Y,-18[11]/45,X,-Y,-18,+mar[6]/45,X,-Y,-18,+mar2[3]/46,XY[7]
<b>368</b>	1162	45-48,XY,-4, -19,t(4;19)(q;q),del(7q),del(17q),del(13q),+mar, +mar,+mar[20]
<b>369</b>	960	46,XY,del(5q)(q12q33)[8]/49,idem,+1,+11,+21[5]/50,XY,idem,+1,+8,+13,+2[3]
<b>370</b>	955	41-48,XX,del(3)(q21),del(5)(q22q33),del(8p),-11,-12,-17,+mar,+mar,+mar[21]/46,XX[2]

<b>371</b>	4311	46,X,-Y,der(2),del(5)(q),+8,del(9)(q),del(11)(q),der(16)[2]/46,X,-Y,idem,der(5)[18]
<b>372</b>	980	46,XX[15]/47,XX,-8,mar,+mar,+mar[1]/45,XX,-9,-21,+mar,+mar[1]/45X0,-3,-X,+mar[1]
<b>373</b>	1153	38-42,XY,-5,add(7q),del(7q),-10,-11,-12,-14,-16,-18,-21,-22,+3mar[29]
<b>374</b>	1083	46,XX[3]/45,XX,-1,der(1;4)(q;q),-4,del(5)(q11;q33),-10,+mar[14]/45,XX,idem,add(Xq)[2]/45,XX,idem,del(6q)[1]/45,XX,idem,add(7p)[1]/45,XX,idem,add(komplex)[3]
<b>375</b>	918	46,-X,-Y,dup(1)(q11;q23),+10,+5[6]/46,X0,-Y,dup(1)(q11;q23),+8[5]
<b>376</b>	4310	44,XY,der(1)t(1;18)(p;p),t(3;6)(q;p)(ñ),del(3)(p)ñ,-5,-7,der(12)t(1;12)(p;q),del(12)(p),t(13;18)(q;q)[18]/46,XY[2]
<b>377</b>	590	46,XY,inv(7p)[1]/44,X,-Y,-8[1]/45,XY,-9,-12,t(9;12),del(22q)[1]/46,XY,-13,+mar[1]/47,XY,+9[1]/46,XY,-21,+mar[1]
<b>378</b>	906	43-44,XY,t(3;6)(p22;q13?)-5,-7,del(8p),-17[17]/46,XY[5]
<b>379</b>	4658	46,XY[5]/43,XY,-5,-7,-8,-9,-12,-17,-20,+4mar[15]
<b>380</b>	927	41-42,XY,-3,-5,-7,-15,del(17p),-20,-21,+mar[11]/46,XY[7]
<b>381</b>	4697	44-46,X0,del(5)(q11q31)t(11;14)(p13q11),-18,t(18,21)(q11;q22),add(20)q(13),+1-2mar,+dmin[15]
<b>382</b>	911	48-49,XX,+X,+8,i(17)(q10),t(12;13),t(q;q),t(7;?),del(7p),del(12p),+19,[16]
<b>383</b>	952	42,XX,-4,-7,-12,-13,-18,-22,del(5)(q13q33),+mar,+mar[18]
<b>384</b>	860	42-45,XX,-5,-7,-12,-17,-18,+mar1,+mar2,+mar3,+mar4[14]
<b>385</b>	4686	46-50,XY,-5,-7,+10,+19,+2,-5mar[25]
<b>386</b>	5167	46-49,XY,+5,del(5)(q11q22),der(9),del(9)(q22),t(9;22),-20[11],+22,+der(22)t(9;22)[20]
<b>387</b>	714	47,XY,+8[2]/45,XY,-16[1]/40,XY,-8,-12,-14,-18,-20,-21[1]/44,XY,-1,-16[1]/46,XY,8p-[1]/46,XY[4]
<b>388</b>	954	48,XY,+12,+8[17]/49,XY,+2,+8,+mar[3]
<b>389</b>	4691	46-49,XX,del(3)(p21),del(4)(p14),del(5)(q31q35),+del(6)(q12),+del(12)(q13),-18,-19,-20,+21,+1-3mar[10]/46,XX[8]
<b>390</b>	972	57-58,XX,+X,+1,+2,+3,+4,+5,+6,+8,+9,+10,+11,+12,+13,+14,+15,+16,+18,+19,+20,+21,+22[9]
<b>391</b>	1166	46,XX[16]/46,XX,-13,+mar[1]/46,XX,-3,-9,+mar[1]
<b>392</b>	702	46,XY[9]/46,XY,+12,+15,+21,-7,-18,-20[1]
<b>393</b>	629	46,XX[16]/46,XX,-2,-10,+t(2;10)(q;p),+t(2;10)(p;q)[1]/47,XX,-10,-4,+t(10;4),+mar1,+mar2[1]
<b>394</b>	940	46,XX[3]/45,XX,del(5),-7[6]/47,XX,-21,+3mar[7]
<b>395</b>	4395	45,XY,t(10;20),t(12;17)[5]/80-90,idemx2[5]/46,XY[2]
<b>396</b>	4499	66,XY,+del(1)(q),+2,+3,+der(6),add(7)(q),+8,+9,+11,+12,+13,+14,+15,+16,+18,+20,+20,+22,+add(22)(q),+2mar1,+mar2[12]
<b>397</b>	4527	43-46,XY,der(3),+der(3),der(5),ñder(5),+del(5)(q),-7,+8,t(12;13)(p;p),der(15),-17,der(17),-18,+add(19)(p),-22[18]/46,XY[2]
<b>398</b>	589	42,XY,-4,-6,-17,-18,-21,-22,+3mar[15]
<b>399</b>	635	45,XY,-15[2]/45,XY,-17[1]/46,XY,Ph1[2]/47,XY,-3,-17,+16,+2mar[1]
<b>400</b>	581	47,XY,+ring3+13g,+10g,+8g,+11g[25]
<b>401</b>	864	43,XX,-3,-4,-7,-11,-12,-15,+4mar[25]

<b>402</b>	514	46,XY,del(5)(q13),-7,+11,del(12)(p12),add(17)(p12)[4]/46,XY,del(5)(q13),-7,+der(8)t(8;14)(p11.2;q11.2),+11,del(12)(p12),-14, add(17)(p12)[14]/46,XY,der(3)t(3;?)(q26;?), del(5)(q13),+i(8)(q10)?,+11,del(12)(p12),add(14)(p13),add(17)(p12),-18/46,XY[1]
<b>403</b>	4532	46,XX,del(5)(q13q34)[13]/49,XX,del(5)(q),+11,+14,der(16)(?t(5;16)(q13;q12)-18, +2mar1[7]/46,XX[2]
<b>404</b>	4578	45,XX,-5,i(11)(q),add(16)(q),der(17),der(21),der(22)[27]
<b>405</b>	4334	46,XX[21]/92<4n>,XXXX,+2mar1[1]
<b>406</b>	4582	46,XX,del(3)(q)[31]/45,XX,del(3)(q),-7[5]/44,XX,del(3)(q),-10,-15[2]
<b>407</b>	4438	35-85,XX,del(1)(q25)[13]/46,XX[8]
<b>408</b>	1092	42-46,XX,-5,t(5;14)del(5)(5qter-5q31::5q13-5p153::)(14q11-14qter),t(6;17)(p21;q12),-14v.a.[11]/49-52,XX,+6,+8,+8,+10[7]
<b>409</b>	4528	44,XY,-5,-7,der(17),-20,-21,+mar[21]
<b>410</b>	4525	41-44,X,-Y,der(2),-3,-5,der(12),der(16),+mar[cp23]
<b>411</b>	4498	49,XY,+8,+8,+mar1,+mar2[cp18]
<b>412</b>	4529	45-48,XX,-8,del(22q),+mar1,+mar2,+mmar3,+mar4[cp15]/46,XX[7]
<b>413</b>	4526	42-55,XX,-5,+9,+10,+13,+16,+18,+mar[cp16]
<b>414</b>	4496	45,XX,t(5;10),del(7)(q),del(12)(q),del(13)(q),-17,-18,+mar[18]
<b>415</b>	4450	49,XX,del(1)(p),+del(1)(p),+9,+mar[20]
<b>416</b>	4576	35-48,XY,+8,+mar,min[25]

**Tabelle 41: Chromosomensätze der Kategorie "Sonstige - 1 Aberration"**

Nr.	ID	Chromosomensatz bei Erstdiagnose
<b>1</b>	4475	46,XY,del(7)(q22)[19]/47,XY,idem,+del(7)(q22)[1]
<b>2</b>	8427	46,XY,del(3)(q25)[2]/46,XY[22]
<b>3</b>	9245	46,XY,add(6)(p2?3)[3]/46,XY[19]
<b>4</b>	8827	46,X,der(Y)?add(Y)(q12)?cl[20]
<b>5</b>	9235	46,X,inv(Y)(p11q12)[20]
<b>6</b>	1319	46,XX,add(7)(q3?)[9]46,XX[11]
<b>7</b>	6185	46,XY,add(11)(q23)[27]
<b>8</b>	5864	45,XX, rob(13;15)(q10;q10)[2]
<b>9</b>	7426	46,XY,del(11)(q14)[23]/46,XY[4]
<b>10</b>	2964	46,XY,der(1;7)(q10;p10)[4]/46,XY[11]
<b>11</b>	8876	46,XX,der(16;17)(p10;q10)[13]/46,XX[7]
<b>12</b>	1909	46,XX,del(13)(q13q31)[17]/46,XX[3]
<b>13</b>	8787	46,XY,del(3)(q24q26)[10]/46,XY[10]
<b>14</b>	7124	46,XY,del(11)(q14q25)[16]/46,XY[4]
<b>15</b>	3878	46,XY,add(4)(p1?6)[20]/46,XY[10]
<b>16</b>	8434	46,XX,inv(1)(q25q41/2)c?[12]/46,XX[12]
<b>17</b>	7626	47,XX,+der(1,19)(q10,q10)[24] (PB)

<b>18</b>	8485	46,XY,del(1)(p34p36)[16]/46,XY[4] (KM); 46,XY,del(1)(q36)[20]/46,idem,add(3)(q26-7)[4] (PB)
<b>19</b>	2047	46,XX[20]/46,XX,del(14q)[1]
<b>20</b>	7660	46,XX,inv(1)(q21q32)[24]/46,XX[2]
<b>21</b>	599	46,XX[15]/46,XX,del(10p)[1]
<b>22</b>	790	46,XX[13]/46,XX,del(13)(q12;q14)[4]
<b>23</b>	1748	46,XY,del(15q)[2]/46,XY[18]
<b>24</b>	7414	46,XX,del(12)(q21;q24)[20]
<b>25</b>	8441	46,XY,inv(16)(p13q22)[5]/46,XY[1]
<b>26</b>	7024	46,XY,i(14)(q10)[14]/46,XY[10]
<b>27</b>	3562	46,XX,del(6)(q?24)[6]/46,XX[17]
<b>28</b>	8444	46,XX[15]/46,XX,del(21)q(22)[6]
<b>29</b>	6531	46,XY,del(4)(q24q24)[3]/46,XY[18]
<b>30</b>	6316	46,XX,del(12)(q?13q15)[10]/46,XX[14]
<b>31</b>	6073	46,XY,der(9)[4]/46,XY[15]
<b>32</b>	6394	47,XY,+del(1)(p22)[27]
<b>33</b>	3289	46,XY,der(6)[23]
<b>34</b>	6153	46,XY,idic(21)(p11)[13]/46,XY[7]
<b>35</b>	5487	46,XY[23]/46,XY,add(8q)[1]
<b>36</b>	3183	46,XY,del(22)(q11)[7]/46,XY[16]
<b>37</b>	7481	46,XY,del(13)(q13q21)[15]/46,XY[8]
<b>38</b>	5833	46,XX,add(7)(q22)[22]
<b>39</b>	5676	46,XY,del(1)(q3?)[4]/46,XY[20]
<b>40</b>	2933	46,XY,del(13)(q12q32)[24]
<b>41</b>	5308	46,XX,del(1)(p43)[3]/46,XX[20]
<b>42</b>	1724	46,XY,del(1)(q23)[4]
<b>43</b>	3817	46,XY,add(14)(q32)[7]/46,XY[16]
<b>44</b>	5710	46,XY,del(11)(q21)[17]
<b>45</b>	3855	46,XY,add(7)(q22)[3]/46,XY[20]
<b>46</b>	3822	46,XX,inv(2)(p25q35)[11]/46,XX[9]
<b>47</b>	2730	46,XY[21]/46,XY,del(6q)[1]
<b>48</b>	3353	46,XX,der(4)[20]
<b>49</b>	3437	46,XX[29]/46,XX,der(5)[1]
<b>50</b>	3207	46,XY,del(17p)[2]/46,XY[18]
<b>51</b>	2354	46,XX[17]/46,XX,del(11)(q21)[1]
<b>52</b>	3117	45,XY,rob(13;14)(q10;q10)[22]
<b>53</b>	1826	46,XY[15]/46,XY,del(6q)[1]
<b>54</b>	3108	46,XX,?idic(20)(q11)[16]

<b>55</b>	3591	46,XY,inv(7)[4]/46,XY[21]
<b>56</b>	3181	46,XY,inv(16)(p13q22)[20]/46,XY[4]
<b>57</b>	3548	46,XX,del(3)(q21),6p?[2]/46,XX[23]
<b>58</b>	3545	46,XX,inv(16)[2]/46,XX[18]
<b>59</b>	2864	46,XY,add(21q)[7]/46,XY[11]
<b>60</b>	2119	46,XY,del(10p)[1]/46,XY[19]
<b>61</b>	2475	45,XY,-?[1]
<b>62</b>	1578	46,XY,add(17)(q)[4]/46,XY[16]
<b>63</b>	2554	46,XY,add(3)(q11)[12]/46,XY[10]
<b>64</b>	2640	46,XY,i(14)(q10)[12]/46,XY[13]
<b>65</b>	2012	46,XY[19]/46,XY,del(13q)[1]
<b>66</b>	1903	46,XX,inv(16)(p13;q23)[10]
<b>67</b>	2237	46,XX,add(17p)[23]/46,XX[1]
<b>68</b>	1853	46,XX[20]/46,XX,del(17)(p10)[1]
<b>69</b>	1590	46,XY[19]/46,XY,del(13q)[1]
<b>70</b>	1837	46,XX[19]/46,XX,add(9p)[2]
<b>71</b>	5214	46,XY[19]/46,XY,del(17)[1]
<b>72</b>	5205	46,XY,16qh+[19]
<b>73</b>	1342	46,XY[19]/46,XY,del(10p)[1]
<b>74</b>	5182	46,XY,9qh+[20]
<b>75</b>	2036	46,XX,del(15q)[20]
<b>76</b>	1008	46,XX[19]/46,XX,del(4)(p)[1]
<b>77</b>	5189	46,XX,9qh+[20]
<b>78</b>	2491	46,XY,der(7)[20]
<b>79</b>	1613	46,XY,del(13q)[2]/46XY[18]
<b>80</b>	931	46,XY,inv(11)(p112q13)[3]/46,XY[16]
<b>81</b>	4401	46,XY,inv(12)(p13q14)[14]/46,XY[6]
<b>82</b>	4397	46,XY,add(11)(q14?) [5]/46,XY[19]
<b>83</b>	4461	46,XY[19]/47,XY,+del(9)(p10)[1]
<b>84</b>	4399	46,XY,del(16)(q13q24)[13]/46,XY[7]
<b>85</b>	1422	46,XX[19]/46,XX,add(7q)[1]
<b>86</b>	1555	46,XY[19]/46,XY,del(10)(p11)[1]
<b>87</b>	1577	46,XX,del(8p)[3]/46,XX[17]
<b>88</b>	4563	46,XX,dup(12)(q12q14)[9]/46,XX[11]
<b>89</b>	4652	46,XY,i(21)q10[20]
<b>90</b>	1066	47,XY,+?[5]/46,XY[19]
<b>91</b>	4516	46,XY,del(3)(q12q25)[5]/46,XY[15]
<b>92</b>	1221	46,XY[20]/46,XY,inv(7)[1]

<b>93</b>	743	46,XY[2]/46,XY,add(3p),del(1q)[8]
<b>94</b>	4440	46,XX,add(11)(q)[13]/46,XX[7]
<b>95</b>	1135	46,XX,del(6p)[7]/46,XX[11]
<b>96</b>	4425	46,XX,9qh[14]
<b>97</b>	4565	46,XY,del(1)(p35pter)[25]/46,XY[7]
<b>98</b>	1120	46,XY,inv5[1]
<b>99</b>	281	46,XX,der(1p+)[23]
<b>100</b>	566	46,XX,18q-[1]
<b>101</b>	4471	46,XX,der(21)c[19]
<b>102</b>	4424	46,X,dery(?c)[22]
<b>103</b>	4515	46,XY,del(22)(q)[9]/46,XY[4]
<b>104</b>	4564	46,XY,add(13)(p)[19]
<b>105</b>	4396	46,XX,del(1)(q)[5]/46,XX[16]
<b>106</b>	4588	46,XY,der(22)[20]
<b>107</b>	2068	46,XY,del(11)(q21)[15]
<b>108</b>	5931	46,XY,der(11)t(3;11)(q13;q22)[18]/46,XY[4]
<b>109</b>	2831	46,XY,der(5)t(?;5)[2]/46,XY[19]
<b>110</b>	1811	46,XX,del(11)(q21)[19]/46,XX[1]
<b>111</b>	1736	46,XY[21]/46,XY,del11[1]
<b>112</b>	4673	46,XX,der(15)t(14;15)(q21;q26)[23]
<b>113</b>	5198	46,XX[8]/46,XX,del(3)(q)[12]

**Tabelle 42: Chromosomensätze der Kategorie "Sonstige - 2 Aberrationen"**

Nr.	ID	Chromosomensatz bei Erstdiagnose
<b>1</b>	8534	46,XX,der(2)t(1;2)(q21;q32)[20]/46,idem,del(16)(p11)[3]/46,XX[1]
<b>2</b>	7307	46,XX,t(3;11)(q25;q13)[6]/46,XX,t(3;11)(q25;q13),der(11)t(3;11)(q25;q13)[14]
<b>3</b>	7359	46,XY,inv(3)(q21q26)[10]/46,idem.del(9)(q22)[18]
<b>4</b>	9016	46,XY,del(9)(q21q34)[8]/47,XY,+del(9)(q21q34),del(9)(q21q34)[2]/46,XY[11]
<b>5</b>	1998	46,XY,t(3;5)(q23?;q33?)[17]/45,idem,-19[3]
<b>6</b>	8673	48,XX,+der(11)(11pter->11p15::11q23::11p11::11q22->11q11::11q22->11qter)x2[20]/46,XX[4]
<b>7</b>	7057	46,XY,t(3;3)(q21;q26)[21]/46,idem,t(7;18)(p10;q10)[3] (PB)
<b>8</b>	6017	46,XY,der(20)del(20)(p11p13)del(20)(q11q13)[9]/46,XY[11]
<b>9</b>	2170	46,XY,t(6,7)(p23,q22),t(9,13)(q34,q14)[22]
<b>10</b>	1810	46,XX,del(2)(p13)[8]/46,idem,der(5)[11]/46,XX[2]
<b>11</b>	3171	46,XY,del(20)(q11)[8]/46,idem,inv(3)(q21q26[7]/46,XY[7]
<b>12</b>	2625	46,XX,t(3;7)(p21;q3?6),del(20)(q13.1q13.3)[3]/46,XX[12]
<b>13</b>	2652	46,XY,inv(3)(q21q26)[13]/47,idem,+14[5]

<b>14</b>	2753	46,XX,t(3;3)(q21;q26)[5]/47,idem,+mar[2]/46,XX[5]
<b>15</b>	2045	46,XY,del(1)(q?),inv(3)(q21;q26)[7]/46,XY[13]
<b>16</b>	9121	46,XY[18]/47,XY,+3[1]/46,XY,del(6)[1]
<b>17</b>	8548	46,XY,del(1)(p13p22),del(20)(q11q13)[21]/46,XY[3]
<b>18</b>	1147	47,XY,+19[2]/46,YX,del(7q)[1]/46,XY[17]
<b>19</b>	8544	46,XX,i(17)(q10)[19]/46,idem,add(11)(q23)[5]
<b>20</b>	8062	46,XY,der(7),del(7)(q22)[14]
<b>21</b>	7464	46,XY,der(4)(4qter->4q24::4p15->4q21::4q24->14qter),der(14) t(4;14)(p15;q24)[15]/46,XY[5]
<b>22</b>	774	46,XX[13]/47,XX,+mar[1]/48,XX,+mar,+mar[1]
<b>23</b>	7440	46,XY,del(20)(q11q13)[3]/46,XY,ider(20)(q10),del(20)(q11q13)[2]/46,XY[16]
<b>24</b>	8492	46,XX,del(13)(q13q14)[12]/46,idem,t(12;17)(p12;p13)[6]/46,XX[8]
<b>25</b>	8018	46,XY,inv(7)(p23p23)?del(7q)[17]/46,XY[6]
<b>26</b>	3432	46,XY,inv(9)(p11q13)[16]/46,idem,add(7q)[6]
<b>27</b>	7768	46,XY,der(7)(del7q11),del(7)(p)[31]
<b>28</b>	2195	46,XY,+der(1;14)(q11;q11),-14[20]/46,XY[2]
<b>29</b>	2118	46,XX[18]/46,XX,del(11q)[1]/47,XX,+3[1]
<b>30</b>	7144	46,XY,del(12)(p12p13),del(20)(q11q13)[20]/46,XY[2]
<b>31</b>	8399	47,XX,+14[1]/46,XX,+14,der(14;14)(q10;q10)[9]/46,XX[10]
<b>32</b>	6044	46,XY,del(6)(q21q23),t(10;12)(q11;p11)[4]/46,XY[17]
<b>33</b>	8443	45,XX,dic(9;15)(q11;p11),der(11)t(9;11)(q31;22)[16]/46,XX[6]
<b>34</b>	6243	46,XY,der(7)t(1;7)(q11;q21)[18]/46,XY[2]
<b>35</b>	3107	47,XY,+?Y,del(20)(q11)[9]/46,XY[14]
<b>36</b>	2701	46,XX[19]/46,XX,del(10p)[1]/46,XX,t(8;14)[1]
<b>37</b>	5972	46,XY,del(11)(q21)[6]/46,XY,del(9)(q22)[4]/46,XY[18]
<b>38</b>	5855	46,XY,del(6)(q14q25)[6]/47,idem,+13[2]/46,XY[7]
<b>39</b>	3700	45,XX,i(14)(q11)[1]/46,idem,+14[1]/46,XX[18]
<b>40</b>	8151	46,XY,der(5;9)(q?22;q?13),t(11;20)(p15;q11)[11]/46,XY[12]
<b>41</b>	4052	48,XY,+19,+r[23]
<b>42</b>	3314	46,XY,del(20)(q11)[14]/46,idem,del(12)(p11)[5]/46,XY[4]
<b>43</b>	5645	46,XY,del(7)(q22q35)[3]/47,XY,del(7)(q22q35),+13[21]
<b>44</b>	2808	46,XX,del(7)(q22)[11]/46,XX,idem,add(13q)[2]/46,XX[4]
<b>45</b>	3454	47,XY,+del(1)(p13),del(20)(q11)[20]
<b>46</b>	2445	46,XY[19]/46,XY,del(7q)[1]/46,XY,del(11)(p10)[1]
<b>47</b>	3334	46,XX,del(12)(p11)[19]/47,XX,idem,+21[3]/47,XX,+21[2]/46,XX[1]
<b>48</b>	3717	46,XY,del(12)(p12)[14]/46,XY,del(7)(q21)[3]/46,XY[7]
<b>49</b>	2979	46,XY[5]/46,XY,der(4q)[16]/46,XY,t(11;12)[1]
<b>50</b>	1879	46,XY[18]/46,XY,del(13q)[1]/46,XY,del(20q)[1]

<b>51</b>	8397	47,XY,+11,del(20)(q11)[22]
<b>52</b>	1446	45,XY,del(3)(p11),der(5;?)(p10;?)[13]/46,XY[9]
<b>53</b>	2037	46,XY,der(7)t(9;7)(q10;p10)[21]
<b>54</b>	2325	46,XY,inv(16)(p13q22)[6]/46,XY,idem,add(11p)[6]/46,XY[11]
<b>55</b>	2867	46,XX,i(17)(q11)[18]/46,XX[2]/47,XX,+mar[1]
<b>56</b>	2362	47,XX,iso(14)(q11),+14[22]
<b>57</b>	2242	46,XX[20]/46,idem,del(11q)[1]/46,idem,del(12p)[1]
<b>58</b>	2245	46,XX[19]/46,XX,add(1p)[1]/45,XX,-17[2]
<b>59</b>	2513	46,XY[19]/45,XY,-21[2]/46,XY,del(11q)[1]
<b>60</b>	3716	46,XY,del(12)(p12)[14]/46,XY,del(7)(q21)[3]/46,XY[7]
<b>61</b>	1186	46,XY,del(7)(q3?)[17]/46,idem,del(18q)[3]
<b>62</b>	2189	46,XX,inv(1)(p11q32)[22]/46,idem,der(17)[7]
<b>63</b>	1976	46,XX,add(1q)[13]/46,idem,del(10q)[5]/46,XX[3]
<b>64</b>	2191	46,XX,-8,+mar[2]/46,XX[21]
<b>65</b>	2434	46,XY,iso(17)(q10)[17]/46,XY,+13,iso(17)(q10)[3]
<b>66</b>	2134	45,XY,-22[3]/46,XY[16]/46,XY,del(2q)[1]
<b>67</b>	1857	46,XY[18]/46,XY,add(11p)[1]/46,XY,add(5q)[1]
<b>68</b>	2025	46,XX,del(20)(q11)[8]/47,XX,+C[2]/46,XX[10]
<b>69</b>	2034	46,XY[14]/45,XY,-5[1]/46,XY,del(18q)[1]
<b>70</b>	1852	46,XX,del(20)(q11)[18]/46,idem,der(8)[2]
<b>71</b>	5203	46,Xy[18]/46,XY,del(13)[1]/46,XY,del(19)[1]
<b>72</b>	2096	46,XY[16]/47,XY,+mar[1]/46,XY,del(10q)[1]
<b>73</b>	1711	46,XY[6]/46,XY,del(7)(q22)[10]/46,XY,del(11)(q21)[7]
<b>74</b>	5169	46,XY,+19,-22[10]
<b>75</b>	1394	47,XY,t(9;21)(q13;q22),+der(9)t(9;21)(q13q22)[20]
<b>76</b>	4474	45,XX,del(3)(p21),-5[10]/46,XX[2]
<b>77</b>	1830	46,XY[18]/46,XY,del(13)[1]/46,XY,der(12)[1]
<b>78</b>	1207	46,XX[18]/46,XX,del(6)(p?)[1]/46,XX,del(17)(p11)[1]
<b>79</b>	2527	46,XY[12]/46,XY,add(10p)[5]/46,idem,del(9p)[4]
<b>80</b>	5433	46,XY[4]/46,XY,del(7)(q21?2)[14]/46,idem,t(6;13)(q;q)[2]
<b>81</b>	1824	46,XY,del(12p)[2]/46,XY,add(6q),del(12p)[3]/46,XY[15]
<b>82</b>	1990	46,XY[21]/45,XY,-20[2]/46,XY,del(20q)[1]
<b>83</b>	4657	46,XY,t(7;9;11)(q35;p11;q23),del(7)(q23)[17]
<b>84</b>	1556	46,XX,del(16)(q22?)[9]/47,XX,del(16)(q22?),+22[2]
<b>85</b>	5259	46,XX,-5,-13(q13q21)[14]
<b>86</b>	1642	46,XX,del(11q),del(12p)[20]
<b>87</b>	4472	47,XX,del(1)(p35),+del(1)(p35)[18]/46,XX[2]
<b>88</b>	807	46,XY[14]/47,XY,+mar[4]/46,XY,del20q[1]

<b>89</b>	1161	46,XY[7]/46,XY,-15,+mar[1]
<b>90</b>	4451	46,XX,t(11;19)(q23;p12)[14]/46,idem,der(18)[6]
<b>91</b>	5422	46,XX[10]/48,XX,+11,+13[16]
<b>92</b>	749	47,XX,inv(16)(p13;q22),+19[3]/46,XX[12]
<b>93</b>	871	45,XX,-16,der(17)[18]
<b>94</b>	4571	46,XX,der(7)?inv(7)[20]
<b>95</b>	4666	46,XY,inv(9),+20[2]/46,XY,inv(9)[18]
<b>96</b>	1037	46,XY[21]/46,XY,+mar,-17[1]
<b>97</b>	1796	46,XY[14]/46,XY,-8,+mar[1]
<b>98</b>	575	46,XX,del(6q)[1]/46,XX,del(7q)[1]/46,XX[18]
<b>99</b>	4398	46,XY,add(13)(p)c,add(21)(p)c[23]
<b>100</b>	4583	47,XY,+15,der(16),c[16]/46,XY,der(16)c[5]
<b>101</b>	510	46,XX[6]/45,XX,-11[2]/45,XX,-17[1]
<b>102</b>	4403	48,XY,+2mar1[21]/46,XY[3]
<b>103</b>	4442	46,XY,+t(8;21),-21[4]/46,XY[9]
<b>104</b>	406	46,XX[21]/47,XXX[1]/45,X0[2]
<b>105</b>	4530	45,XX,-5,del(7)(q)[12]/46,XX[5]

**Tabelle 43: Chromosomensätze aller *Follow-up* Befunde**

Nr.	ID	Chromosomensätze der <i>Follow-up</i> Befunde nach dem Schema Monat/Jahr: Chromosomensatz
<b>1</b>	2364	1/05: 46,XY[22]; 12/05: 46,XY[21]; 05/13: 46,XY[24]
<b>2</b>	7965	5/17: 46,XY[25]; 8/17: 46,XY[24]; 11/17: 46,XY[22]; 3/18: 46,XY[23]; 7/18: 46,XY[24]; 9/18: 46,XY[24]; 11/18: 46,XY[23]; 2/19: 46,XY[22]; 5/19: 46,XY[23]; 11/19: 46,XY[24]; 6/20: 46,XY[23]
<b>3</b>	3466	4/09: 46,XY[12] (PB); 7/10: 46,XX[23]/46,XY[1]; 9/10: 46,XX[14]/46,XY[10]; 12/10: 46,XX[26]
<b>4</b>	5403	6/12: 46,XY[20]; 2/13: 46,XY[23]
<b>5</b>	5835	5/13: 46,XY[23]; 5/14: 46,XY[27]; 11/14: 46,XY[28]
<b>6</b>	9101	2/22: 46,XY[25]; 6/22: 46,XY[20]
<b>7</b>	9119	4/09: 46,XY[22]
<b>8</b>	8520	12/20: 46,XX[22]
<b>9</b>	8214	3/14: 46,XY[28]; 6/14: 46,XY[28]
<b>10</b>	3116	1/07: 46,XY[22]; 3/07: 46,XY[20]/45,XY,-12[3]; 4/07: 46,XX[23]; 7/07: 46,XX[24]
<b>11</b>	7912	10/18: 46,XY[24]; 3/19: 46,XY[24]; 4/19: 46,XY[25]; 5/19: 46,XY[24]; 8/19: 46,XY[24]; 12/19: 46,XY[26]
<b>12</b>	7794	4/18: 46,XY[24]; 5/18: 46,XY[24]; 6/18: 46,XY[24]; 9/18: 46,XY[7]/46,XY,del(12) (p11.2)[8]/46,XY,inv(9)(p12q13)[9]; 11/18: 46,XY[9]/46,XY,del(12) (p11.2)[6]/46,XY, inv(9)(p12q13)[9]; 2/19: 46,XY[3]/46,XY,inv(9)(p12q13)[21]; 4/19: 46,XY[3]/46,XY,

		inv(9)(p12q13)[21]; 7/19: 46,XY[2]/46,XY,inv(9)(p12q13)[22]; 10/19: 46,XY,inv(9)(p12q13)[24c]; 4/20: 46,XY,inv(9)(p12q13)[24c]
<b>13</b>	8268	5/19: 46,XY[23]; 8/19: 46,XY[24]; 9/19: 46,XY[24]; 11/19: 46,XY[24]; 4/20: 46,XY[24]
<b>14</b>	3453	8/08: 46,XY,del(20)(q11)[2]/46,XY[20]
<b>15</b>	7584	11/18: 46,XY[20]
<b>16</b>	8453	11/18: 46,XX[23]; 3/19: 46,XX[24]; 5/19: 46,XX[24]; 9/19: 46,XY[24]; 11/19: 46,XX[24]; 2/20: 46,XX[23]
<b>17</b>	5773	1/13: 46,XY[13]
<b>18</b>	8098	6/19: 46,XX[20]; 7/19: 46,XX[24]; 9/19: 46,XX[24]; 12/19: 46,XX[24]; 3/20: 46,XX[23]
<b>19</b>	6063	12/14: 46,XY[6]/46,XY,+1,der(6)t(1;6)(q21;p23)[4]/46,XY[23]; 1/15: 46,XY,+1,der(6)t(1;6)(q21;p23)[16]/46,XY[14]; 2/15: 46,XY,+1,der(6)t(1;6)(q21;p23) [1]/46,XY[25]; 5/15: 46,XY[26]; 7/15: 46,XY[28]; 10/15: 46,XY[25]; 1/16: 46,XY[26]; 2/16: 46,XY[26]; 11/17: 46,XY,t(12;21)(p11;p11)[2]/46,XY[22]; 3/18: 46,XY[24]; 8/18: 46,XY[25]; 1/19: 46,XY[24]; 4/19: 46,XY[24]; 7/19: 46,XY[23]; 3/20: 46,XY[24]; 4/20: 46,XY[24]
<b>20</b>	5939	10/13: 46,XY[21]; 2/14: 46,XY[32]
<b>21</b>	8451	7/19: 46,XY,del(7q)[5]/46,XY[15]
<b>22</b>	7810	2/18: 46,XY[24]; 3/18: 46,XY[24]; 4/18: 46,XY[25]; 9/18: 46,XY[23]; 11/18: 46,XY[24]; 1/19: 46,XY[22]; 4/19: 46,XY[21]; 5/19: 46,XY[24]; 8/19: 46,XY[24]
<b>23</b>	7957	3/18: 46,XY[18] (PB); 6/18: 46,XY[23]; 7/18: 46,XY[24]
<b>24</b>	5971	6/13: 46,XY,del(3)(q21)[2]/46,XY[18]
<b>25</b>	6039	11/19: 46,XX[20]
<b>26</b>	7750	5/19: 46,XY[20]
<b>27</b>	3458	11/08: 46,XX[21]/46,XY[3]; 1/09: 46,XX[24]; 2/09: 46,XY[23]/46,XY[1]; 4/09: 46,XX[23]; 1/11: 46,XX[7]/48,XY,+8,+21[16]; 7/11: 46,XX[24]
<b>28</b>	7907	11/15: 46,XX[23]; 1/19: 46,XX[23]; 4/19: 47,XX,+3[3]/46,XX[21]; 5/19: 46,XX[24]; 7/19: 46,XX[24]; 10/19: 46,XX[24]; 2/20: 46,XX[23]; 5/20: 46,XX[24]
<b>29</b>	7888	02/19: 46,XY[24]; 3/19: 46,XY[24]; 5/19: 46,XY[23]; 7/19: 46,XY[24]; 8/19: 46,XY[24]; 12/19: 46,XY[24]; 3/20: 46,XY[22]
<b>30</b>	2473	2/07: 46,XX[23]; 3/08: 46,XX[23]; 5/09: 46,XX[22]
<b>31</b>	7311	12/17: 46,XY[30]
<b>32</b>	1786	5/00: 46,XX[18]/46,XX,inv(16?)[2]; 7/00: 46,XX[20]; 8/00: 46,XX[17]/46,XX,del(17p)[1]/46,XX,del(20)(q11)[1]/46,XX,del(11)(q23)[1]; 11/00: 46,XX[21]; 11/00: 46,XX[17]/46,XX,del(1q)[1]/45,XX,-13[2]; 3/00: 46,XX[20]/46,XX,add(11q)[1]; 10/07: 46,XX[21]; 01/08: 46,XX[20]; 7/09: 46,XX[23]
<b>33</b>	7523	2/18: 46,XY[22]; 3/18: 46,XY[23]; 5/18: 46,XY[23]; 6/18: 46,XY[23]; 9/18: 46,XY[24]; 1/19: 46,XY[24]
<b>34</b>	3845	7/06: 46,XY[20]
<b>35</b>	6598	4/19: 47,XX,+8[3]/46,XX[24]; 5/19: 47,XX,+8[2]/46,XX[22]; 7/19: 46,XY[24]; 8/19: 46,XY[24]; 10/19: 46,XY[24]; 11/19: 46,XY[24]; 12/19: 46,XY[21]; 2/20: 46,XY[18]; 3/20: 45,XO[3]/46,XY[18]
<b>36</b>	3736	6/08: 46,XY[24]; 9/08: 46,XY[24]; 5/09: 46,XY[23]; 2/10: 46,XY[22]
<b>37</b>	9067	1/21: 46,XY[23]
<b>38</b>	8985	5/21: 46,XX[24]

<b>39</b>	7721	3/17: 46,XX[30]
<b>40</b>	7510	8/17: 46,XY[24]; 9/17: 46,XY[24]; 12/17: 46,XY[24]; 2/18: 46,XY[24]; 3/19: 46,XY[24]; 5/19: 46,XY[24]; 6/19: 46,XY[24]; 7/19: 46,XY[22]; 11/19: 46,XY[24]; 3/20: 46,XY[23]
<b>41</b>	7538	3/19: 46,XY[23]
<b>42</b>	8968	11/10: 46,XY[20]; 3/19: 46,XY[20]
<b>43</b>	7173	10/16: 46,XY[25]
<b>44</b>	6007	07/21: 46,XY[20]
<b>45</b>	7190	3/20: 46,XX[20]
<b>46</b>	8947	4/20: 46,XY[22]; 4/21: 46,XY[20]; 9/21: 46,XY[20]
<b>47</b>	8928	7/21: 47,XX,+1[2]/48-52,XX,del(4)(q31),del(5)(q22q33),add(11)(q15),add(17)(p11), der(19)t(1;19)(q23;p13.3),+21,+21,+21,+21[16]/46,XX[6]
<b>48</b>	7451	8/15: 46,XY[28]; 3/16: 46,XY[25]; 5/16: 46,XY[24]; 10/16: 46,XY[24]; 1/17: 46,XY[23]
<b>49</b>	5636	12/11: 46,XY[23]
<b>50</b>	3040	7/06: 46,XX[20]; 8/06: 46,XX[23]; 9/06: 46,XX[23]; 12/06: 46,XX[24]; 2/07: 46,XX[23]
<b>51</b>	1710	2/00: 46,XX[21]
<b>52</b>	3879	5/10: 46,XY[22]; 8/10: 46,XY[22]
<b>53</b>	1801	11/00: 46,XY[18]/46,XY,del(11q)[1]/46,XY,del(17p)[1]; 01/01: 46,XY[20]; 8/01: 46,XY[20]/46,XY,del(17p)[1]
<b>54</b>	6507	04/21: 46,XY [20]
<b>55</b>	6118	12/20: 46,XX[6]; 5/21: 46,XX[20]
<b>56</b>	7698	1/19: 46,XY[21]
<b>57</b>	6414	2/16: 46,XX,del(5)(q14q34)[11]/46,XX[5]
<b>58</b>	8877	1/21: 45,X,-Y[3]/46,XY[18]
<b>59</b>	1671	4/99: 46,XY[20]
<b>60</b>	3443	5/09: 45,X,-Y[3]/46,XY[19]; 7/09: 46,XY[24]; 9/09: 46,XY[22]; 6/10: 46,XY[21]; 8/10: 46,XY[23]; 9/16: 45,X,-Y[2]/46,XY[20]; 10/16: 46,XY[22]; 12/16: 46,XY[24]; 6/17: 46,XY[24]; 12/19: 46,XY[23]; 2/20: 46,XY[24]; 3/20: 45,X,-Y[1]/46,XY[21]
<b>61</b>	8395	7/15: 46,XY[26]; 9/19: 46,XY[22]; 02/21: 46,XY,del(7)(q21)[13]/45,XY,-7[4],46,XY[6] (PB)
<b>62</b>	6301	8/14: 47,XX,+8[2]/46,XX[31]
<b>63</b>	8809	2/21: 46,XX[26]
<b>64</b>	8853	9/16: 46,XY[20]
<b>65</b>	7751	6/18: 46,XY[20]
<b>66</b>	5404	3/12: 46,XX[20]; 6/14: 46,XX[31]; 6/16: 46,XX[23]
<b>67</b>	8662	1/21: 46,XY[11] (PB)
<b>68</b>	4027	1/12: 46,XY[21]; 03/14: 46,XY[33]; 04/17: 47,XY,+14[3]/46,XY[17]; 1/12: 46,XY[21]; 03/14: 46,XY[33]; 04/17: 47,XY,+14[3]/46,XY[17]; 12/17: 46,XY[23]
<b>69</b>	8640	12/16: 46,XY[24]; 1/17: 46,XY[23]; 12/17: 46,XY[21]; 3/18: 46,XY[24]; 11/19: 46,XY[24]
<b>70</b>	7992	1/19: 46,XY[24]; 4/19: 46,XY[24]; 11/19: 46,XY[23]; 2/20: 46,XY[23]

<b>71</b>	8326	9/19: 46,XY[18] (PB); 9/19: 46,XY[24] (KM); 1/20: 46,XX[22]; 3/20: 46,XX[23], 6/20: 46,XX[25]
<b>72</b>	8619	4/20: 46,XY[21]; 7/20: 46,XY[22]
<b>73</b>	7805	6/18: 46,XY[24]; 7/18: 46,XY[24]; 8/18: 46,XX[24]/46,XY[1]; 10/18: 46,XX[8]/46,XY [16]; 4/19: 46,XY[22]
<b>74</b>	6105	11/13: 46,XY[20]
<b>75</b>	8675	6/20: 46,XX[27]
<b>76</b>	7648	12/18: 46,XX[24] (PB)
<b>77</b>	8445	8/18: 47,XX,+21[2]/46,XX[20]; 3/00: 46,XX[20]
<b>78</b>	6125	10/15: 46,XY[26]
<b>79</b>	7207	9/16: 46,XY[26]
<b>80</b>	8811	9/20: 46,XX[23]
<b>81</b>	7548	4/18: 46,XY[22]; 5/18: 46,XY[24]; 6/18: 46,XY[25]; 10/18: 46,XY[24]; 2/19: 46,XY[24]
<b>82</b>	7593	4/18: 46,XY[24]; 8/18: 46,XY[25]; 11/18: 46,XY[24]; 11/18: 46,XY[19] (PB); 2/19: 46,XY[21]; 9/19: 46,XY[22]; 11/19: 46,XY[20]; 1/20: 46,XY[24]
<b>83</b>	8335	4/20: 46,XX[24]
<b>84</b>	6308	12/07: 46,XX[24]; 1/18: 46,XX[24]; 5/18: 46,XX[24]; 9/18: 46,XX[24]; 2/20: 46,XX[24]
<b>85</b>	8508	2/20: 46,XX,t(3;6)(q27;q27)[16]/46,XX[8]; 6/20: 46,XX[24]; 7/20: 46,XX[24]
<b>86</b>	6401	12/14: 46,XX[14]
<b>87</b>	8421	8/19: 46,XY[23]; 5/20: 52,XY,+X,+4,+6,del(13q),+14,add(16q),+19,+21,+22[14]/ 46,XY[24] (PB)
<b>88</b>	1777	11/00: 46,XX[20]; 06/02: 46,XX[19]; 12/04: 46,XX[20]; 01/07: 46,XX[21]; 09/07: 46, XX[23]; 3/08: 46,XX[23]; 12/09: 46,XX[22]; 8/11: 46,XX[21]
<b>89</b>	3350	3/09: 46,XX[23]; 5/09: 46,XX[22]; 12/09: 46,XX[24]
<b>90</b>	7803	9/19: 46,XY[20]
<b>91</b>	7044	3/15: 46,XX[20]; 5/19: 46,XX,del(17)(p11)[2]/46,XX,add(17)(p7)[3]/46,XX[22]
<b>92</b>	7563	06/18: 46,XX[24]; 8/18: 46,XX[24]; 1/19: 46,XY[1]/46,XX[23]; 02/19: 46,XY[3]/46, XX[21]; 3/19: 46,XX[24]
<b>93</b>	8668	12/19: 46,XX,t(2;11)(p21;q23)[17]/46,XX[8]; 4/20: 46,XX,t(2;11)(p21;q23)[15]/46, XX[9]
<b>94</b>	8561	4/20: 46,XX[21]
<b>95</b>	6490	04/17: 46,XY[20]; 11/17: 46,XY[20]; 02/20: 46,XY[22]
<b>96</b>	971	6/94: 46,XX[16]
<b>97</b>	7367	3/17: 46,XY[26] (PB); 7/19: 46,XY[24]; 4/20: 46,XY[22]
<b>98</b>	7194	02/20: 47,XY,+8[4]/46,XY[17]
<b>99</b>	8511	2/20: 46,XX[22]; 6/20: 46,XX[23]
<b>100</b>	8653	12/18: 46,XY[25]
<b>101</b>	7329	03/16: 47,XY,+8[19]/46,XY,del(7)(q21)[1]/46,XY[2]
<b>102</b>	8311	3/19: 46,XY[24]; 6/09: 46,XY[2]/46,XX[22]; 6/19: 46,XX[24]; 8/19: 46,XX[24]; 9/19: 46,XX[24]; 12/19: 46,XX[24]; 3/20: 46,XX[23]

<b>103</b>	6368	06/16: 46,XY[24]; 12/16: 46,XY[23]; 01/17 46,XY[23]; 6/17: 46,XY[24]; 9/17: 46,XY[24]
<b>104</b>	7283	10/17: 46,XY,inv(16)(p12q22)[3]/46,XY[21]; 11/17: 46,XY[24] (PB); 5/18: 46,XY[24] (PB); 6/18: 46,XY[18]; 01/19: 46,XY[25]; 8/19: 48, XY,+8,i(11)(q10),+13,inv(16)(p13 q22)[20]/48,idem,t(2;7)(p25;q22)[4]; 10/19: 46,XY[24]; 11/19: 46,XY[28]; 1/20: 37-96,XXYY,+8,+8,i(11)(q10),i(11)(q10),+13,inv(16) (p13q22),inv(16)(p13q22)[25]
<b>105</b>	7845	11/18: 46,XX[23]; 1/19: 46,XX[21]
<b>106</b>	7597	8/17: 46,XY[21]
<b>107</b>	7822	10/16: 46,XX[2]
<b>108</b>	7895	7/18: 46,XX[24]
<b>109</b>	8639	1/20: 45,X,-Y[7]/46,XY[14]
<b>110</b>	8465	10/19: 46,XX[22]
<b>111</b>	8521	11/19: 46,XX[24]; 2/20: 45,X,-?Y/X[7]/46,XY[14]; 3/20: 45,X,-?Y/X[1]/46,XY[23]
<b>112</b>	5491	7/12: 46,XY[23]; 9/12: 46,XY[24]; 12/12: 46,XY[22]; 10/13: 46,XY[25]
<b>113</b>	7351	3/17: 46,XY[23]; 4/19: 46,XY[24]
<b>114</b>	5628	3/13: 46,XY[21]; 11/13: 46,XY[22]; 12/13: 46,XY[25]
<b>115</b>	8031	12/15: 46,XY[23]
<b>116</b>	6135	6/14: 46,XY[30]; 10/15: 46,XY[26] (PB)
<b>117</b>	7378	3/17: 46,XY[22]
<b>118</b>	6355	10/13: 46,XY,dup(1)(q11q32)[5]/46,XY[19]; 10/14: 46,XY,dup(1)(q11q32)[3]/46,XY[25]
<b>119</b>	8389	1/14: 46,XY[20]
<b>120</b>	8105	11/18: 46,XY[4]
<b>121</b>	8400	6/16: 46,XY[20]
<b>122</b>	7856	5/18: 46,XY[24]; 6/18: 46,XY[22]; 7/18: 46,XY[22]; 8/18: 46,XY[24]; 12/18: 46,XY[20]; 3/19: 46,XY[24]
<b>123</b>	6400	11/15: 46,XY[25]; 5/16: 46,XY[25]; 9/17: 46,XY[23]; 2/18: 46,XY[22]; 7/18: 46,XY[24]
<b>124</b>	5646	8/12: 46,XY[23]; 12/12: 46,XY[24]
<b>125</b>	3216	11/07: 46,XY[22]
<b>126</b>	7270	1/17: 46,XX[10]
<b>127</b>	7312	1/16: 46,XY[26]; 12/16: 46,XY[22]; 3/17: 46,XY[24]
<b>128</b>	6481	3/15: 46, XX[22]; 8/15: 46,XX[20]
<b>129</b>	3694	2/09: 46,XX[22]; 3/09: 46,XX[23]; 6/09: 46,XX[20]
<b>130</b>	982	7/94: 46,XX[3]
<b>131</b>	598	11/94: 46,XX[18]
<b>132</b>	264	01/90: 46,XX[17]
<b>133</b>	7945	1/19: 46,XY[23]; 11/19: 46,XY[24] (PB)
<b>134</b>	5728	6/20: 46,XY[24]
<b>135</b>	8313	6/17: 46,XX[20]
<b>136</b>	6103	09/14: 46,XX,del(13)(q13q21)[17]/46,XX[6]

<b>137</b>	6483	8/15: 46,XX[26]; 10/15: 46,XY[25]; 7/16: 46,XY[24]
<b>138</b>	6216	1/15: 46,XX[27]
<b>139</b>	3682	4/10: 46,XX[22]
<b>140</b>	8092	4/10: 46,XY[22]
<b>141</b>	2575	1/11: 46,XY[21]; 1/12: 46,XY[20]; 7/12: 46,XY,inv(9)(p11q12)[21c]
<b>142</b>	1832	5/02: 46,XX[16]/46,XX,del(11q)[2]/46,XX,del(20q)[1]/46,XX,del (12p)[1]; 9/02: 46,XX[22]; 1/03: 46,XY[22]; 7/03: 46,XY[11]; 8/03: 46,XY[11]; 01/04: 46,XY[21]/47,XY, +10[1]; 7/04: 46,XY[23]
<b>143</b>	2067	10/11: 46,XX[22]; 11/11: 46,XX[23]; 3/14: 46,XY[28]; 12/17: 46,XX[22]
<b>144</b>	1170	12/94: 46,XY[15]; 8/95: 46,XY[18]; 8/96: 46,XY[20]; 8/97: 46,XY[18]
<b>145</b>	7530	1/18: 46,XY[24]
<b>146</b>	6247	7/14: 46,XX[28]; 1/15: 46,XY[29]; 5/15: 46,XY[27]; 8/16: 46,XY[24]
<b>147</b>	8472	10/19: 46,XY[24]
<b>148</b>	7101	4/16: 46,XX[24]; 7/16: 46,XY[23]; 9/16: 46,XY[24]; 5/17: 46,XY[24]
<b>149</b>	5852	8/10: 46,XY[20]; 10/12: 46,XY[20]; 10/15: 46,XY[24]
<b>150</b>	3452	4/09: 46,XY[23]
<b>151</b>	3877	8/10: 46,XX[24]; 9/11: 46,XY[14]/46,XX[8]
<b>152</b>	3950	8/10: 47,XX,+8[2]/46,XX[20]; 7/15: 46,XX[25]
<b>153</b>	5952	3/15: 48,XX,+11,+19[1]/46,XY[25]; 4/15: 46,XX,+5,del(6q),-13[1]/ 46,XY[26]; 5/15: 46,XY[29]; 6/15: 46,XX,t(6;10)(q21;p11)[1]/46,XX [2]/46,XY[25]; 8/15: 46,XY[28]; 10/15: 46,XY[24]; 2/17: 46,XY[26] (PB)
<b>154</b>	587	10/95: 46,XX[21]; 10/96: 46,XX[20]; 4/05: 46,XX,fra(10q)[2]/ 46,XX[22]; 3/06: 46,XX[22]
<b>155</b>	8159	3/15: 46,XY[30]; 8/17: 46,XY[8] (PB); 4/18: 46,XY[23]; 7/18: 46,XY,del(3)(q13q24) [18]; 8/18: 46,XY[24]; 11/18: 46,XY,del(3)(q13q24)[4]/47, idem,+8[2]/ 46,XY[18]; 12/18: 46,XY,del(3)(q13q24)[14]/47,idem, +8[10]; 1/19: 46,XY[24]
<b>156</b>	7620	1/16: 46,XX[20]; 3/16: 46,XX[20]; 5/17: 46,XX[20]
<b>157</b>	6109	6/14: 46,XY[30]; 8/14: 46,XY[27]; 9/14: 46,XY[30]; 11/14: 46,XY[26]; 1/15: 46,XY[28]; 8/15: 46,XY[28]; 8/16: 46,XY[24]
<b>158</b>	10	1/19: 46,XY[24]; 7/19: 46,XY[23]
<b>159</b>	7495	4/17: 45,X,-Y[13]/46,XY[13]; 11/17: 45,X,-Y[7]/46,XY[13]; 12/17: 45,X,-Y[7]/46,XY[13]
<b>160</b>	6095	6/14: 46,XY[29]; 9/14: 46,XY[30]; 1/15: 46,XY[27]; 6/15: 46,XY[28]; 11/18: 46,XY[24]
<b>161</b>	8396	2/17: 46,XX[24]; 6/17: 46,XX[22]; 11/17: 46,XX[24]
<b>162</b>	2514	3/06: 46,XX[23]
<b>163</b>	8017	10/17: 46,XY[24]; 11/17: 46,XY[24]; 8/18: 46,XY[24]; 11/18: 46,XY[21]; 1/19: 46,XY[23] (PB)
<b>164</b>	2598	9/04: 46,XY[22]; 4/07: 46,XY[23]
<b>165</b>	3198	5/07: 46,XY[22]; 7/07: 46,XY[24]; 9/07: 46,XY[12]; 3/08: 46,XY[19]; 2/09: 46,XY[22]
<b>166</b>	8178	2/19: 46,XY[25] (PB); 9/19: 47,XY,+21[3]/46,XY[37]
<b>167</b>	8009	8/18: 47,XY,+8[18]/46,XY[2]
<b>168</b>	8217	12/18: 46,XY[20]

<b>169</b>	3407	10/11: 46,XY[24]; 1/13: 46,XY[21]
<b>170</b>	7415	4/17: 46,XY[24]
<b>171</b>	6143	10/15: 46,XY[20]
<b>172</b>	5719	11/12: 46,XX[22]
<b>173</b>	7591	3/18: 46,XY[23]; 6/18: 46,XY[23]; 7/18: 46,XY[24]; 9/18: 46,XY[24]
<b>174</b>	7702	4/18: 46,XX[23]
<b>175</b>	6377	8/18: 45,XY,inv(3)(q2126),-7 [27]; 10/18: 45,XY,inv(3)(q21q26),-7[22]/45,idem, t(1;15)(q21;q22)[3]
<b>176</b>	7586	12/17: 46,XY[24]
<b>177</b>	7792	2/18: 46,XX[7]; 2/18: 46,XY[9] (PB)
<b>178</b>	8054	3/17: 46,XX[11] (PB); 9/18: 47,XX,+21[5]/46,XX[2]
<b>179</b>	6458	10/15: 46,XY[24] (PB)
<b>180</b>	7923	7/15: 46,XY,t(1;12)(p36;p12)[4]/47,idem,+20[2]/46,XY[18]; 1/17: 46,XX[28]; 4/17: 46,X,t(X;20)(q11;q13)[2]/46,XX[22]; 8/17: 46,XX[24]; 4/18: 46,X,t(X;20)(q11;q13)[6]/46,XX[18]; 8/18: 46,X,t(X;20)(q11;q13)[6]/46,XX[19]
<b>181</b>	7125	5/18: 45,X,-Y[3]/46,XY[18]; 6/18: 46,XY[24]
<b>182</b>	7920	8/18: 46,XY[23]
<b>183</b>	7156	10/17: 46,XY[18]
<b>184</b>	7053	8/16: 92,XXXX[3]/46,XX[20]
<b>185</b>	1022	2/12: 47,XX,+8[15]/46,XX[7]
<b>186</b>	6397	3/15: 46,XX[26] (PB)
<b>187</b>	6435	8/14: 46,XY[27]
<b>188</b>	6416	6/18: 47,XX,+8[4]/46,XX[26]
<b>189</b>	7796	11/14: 46,XX[26]; 1/15: 46,XX[23]; 2/15: 46,XX[28]; 6/15: 46,XX[26]; 10/15: 46,XX[24]; 4/16: 46,XX[24]; 7/16: 46,XX[24]; 4/18: 46,XX[24]
<b>190</b>	6164	6/13: 46,XX[25]; 11/16: 46,XX,del(20q)(q13;1)[5]/46,XX[20]
<b>191</b>	5733	1/18: 47,XY,+8[20]
<b>192</b>	3471	11/08: 46,XY[25]; 03/14: 46,XY[20]
<b>193</b>	7005	12/15: 46,XY[22]
<b>194</b>	7375	4/15: 46,XX[25]; 1/16: 46,XX[22]
<b>195</b>	6632	2/16: 46,XY[22]; 4/17: 46,XY[1]/46,XX[23]; 5/17: 46,XX[18]/46,XY,-7[6]
<b>196</b>	8365	1/16: 45,X,-Y[3]/46,XY[18]; 3/16: 45,X,-Y[2]/46,XY[21]; 12/16: 46,XY,t(2;21)(q31;q22),der(9q)[20]/45,X,-Y[1]/46,XY[3]; 8/17: 46,XY,del(3)(p11p21)[3]/46,XY,t(2;21)(q31;q22),der(9)[2]/45,X,-Y[1]/46,XY[18]
<b>197</b>	2044	5/06: 46,XY[20]
<b>198</b>	1158	2/99: 46,XY[20]; 1/03: 46,XY[22]
<b>199</b>	3204	5/07: 47,XY,+8[7]/46,XY[16]
<b>200</b>	1947	4/03: 46,XY[22]
<b>201</b>	5823	8/13: 46,XY[20]; 6/14: 46,XY[20]
<b>202</b>	3445	2/09: 46,XY[23]; 10/11: 46,XY[23]; 01/13: 46,XY[22]

<b>203</b>	7528	8/17: 46,XY[20]
<b>204</b>	5878	2/13: 46,XX[26]
<b>205</b>	3897	9/09: 46,XY[21]; 1/17: 46,XX[5]/45,XX,-7[2]
<b>206</b>	7755	6/17: 45,XY,-3,del(5q)(q14q33),del(7)(q22),-17,+mar[6]/46,XY[9]
<b>207</b>	3083	3/07: 46,XX[23]; 6/07: 46,XX[23]; 5/08: 46,XX[23]; 6/09: 46,XX[23]; 7/09: 46,XX[22]; 11/09: 46,XX[21]; 1/10: 46,XX[21]; 2/10: 46,XX[25]; 3/10: 46,XX[22]; 08/13: 47,XX, +21[7]/47,idem,del(13)(p12q14)[3]/46,XX[10]
<b>208</b>	8542	10/18: 46,XY[25]
<b>209</b>	7505	4/17: 46,XY[20]
<b>210</b>	7475	12/14: 46,XX[20]; 1/15: 46,XX[11]
<b>211</b>	7447	9/14: 46,XY[28]; 11/14: 46,XX[28]; 12/14: 46,XY[1]/46,XX[27]; 2/15: 46,XX[27]; 9/15: 46,XX[28]; 10/16: 46,XX[24]
<b>212</b>	2186	12/06: 46,XY[23]; 2/08: 46,XY[16]; 7/08: 46,XY[22]; 3/09: 46,XY[23]; 3/10: 46,XY[22]; 46,XY[19]
<b>213</b>	7781	3/12: 46,XY[22] (PB); 3/17: 46,XY[12] (KM)
<b>214</b>	6297	05/15: 46,XY,del(5q)[2]/46,XY[25]; 9/15: 46,XY[28]
<b>215</b>	6543	11/15: 46,XX[24]; 10/16: 46,XX[25]
<b>216</b>	8086	1/15: 46,XY[15]; 3/15: 46,XY[20]; 10/15: 46,XY,del(5)(q13q31[1]/46,XY[23]; 1/16: 46,XY[7] (PB)
<b>217</b>	2413	1/05: 46,XY[20]; 6/05: 46,XY[23]; 11/05: 46,XY[2]; 2/07: 46,XY[21]
<b>218</b>	7204	8/17: 46,XX[20]
<b>219</b>	5857	11/13: 46,XY[22]; 6/14: 46,XY[28]; 12/14: 46,XY[25]; 3/17: 46,XY[23]
<b>220</b>	3494	3/09: 46,XY[20]
<b>221</b>	7492	11/11: 46,XY[2]
<b>222</b>	7033	11/16: 46,XY[25]
<b>223</b>	1418	11/96: 46,XX[20]; 5/97: 46,XX[28]; 10/97: 46,XX[20]; 11/98: 46,XX[19]; 7/00: 46,XX [17]/45,XX,-19[3]; 10/02: 46,XX[22]
<b>224</b>	8597	11/16: 46,XY[22]; 12/16: 46,XY,del(7)(q22)[7]/92,XY,del(7)x2[5]/46,XY[12]; 12/16: 92,XXYY,del(7)(q22q32)x2[8]/46,XY[7]
<b>225</b>	984	1/00: 46,XY[20]
<b>226</b>	7063	7/16: 46,XY,+13,del(17)(p11)[25]; 8/16: 47,XY,+13,del(17)(p11)[10]/48,idem,+8[1]; 9/16: 47,XY,+13,del(17)(p11)[12]/46,XY[8]
<b>227</b>	7452	4/13: 46,XY[20]; 8/13: 46,XY[22]; 11/13: 46,XY[22]; 2/14: 46,XY[23]
<b>228</b>	6571	10/14: 46,XY[20]
<b>229</b>	6554	2/16: 46,XX[28] (PB); 4/16: 46,XY[24]; 5/16: 45,X[3]/46,XY[21]; 6/16: 46,XY[23]; 9/16: 46,XY[24]
<b>230</b>	2344	2/97: 46,XX[20]; 7/98: 46,XX[21]; 7/03: 46,XX[22]; 2/07: 46,XX[22]/46,XX,del(6p)[2]; 2/08: 46,XX[20]
<b>231</b>	769	6/94: 46,XX[15]; 6/96: 46,XX[20]; 9/97: 46,XX[19]/47,XX,+mar[1]; 2/00: 46,XX[19]
<b>232</b>	8083	2/16: 90,XXYY,-13,-13[9]/46,XY[1]; 3/16: 46,XY[24]; 6/16: 52-81,XXYY,add(1)(q25), der(1;14)(q10;q10),der(1;3)(q10;q10),del(1)(q11),der(1;5)(p10;q10),dup(3)(p21)

		p26),add(3)(q10),der(3;6),del (3)(p11),add(4)(p11),add(5)(p15),add(8)(p11),del(11) (q14),del(12)(p11),der(14;22)(q10q10),+4mar[17]/ 46,XY[7]
<b>233</b>	6475	11/15: 46,XY[8]
<b>234</b>	6315	6/15: 46,XY[26]; 6/16: 46,XY[24]
<b>235</b>	8637	3/13: 46,XY[24]; 12/13: 46,XY[24]; 12/15: 46,XY[26]; 1/16: 46,XY[26]; 3/16: 46,XY [24]; 4/16: 46,XY[24]; 5/16: 46,XY[23]/46,XX[1]
<b>236</b>	1482	7/12: 46,XY[22]
<b>237</b>	6510	04/15: 46,XX[28]
<b>238</b>	6438	8/12: 46,XY[17]; 2/15: 46,XY,inv(2)(?p24q13)[4]/46,XY[24]
<b>239</b>	7910	3/15: 47,XY,+20[2]/46,XY[24]; 4/15: 46,XY[27]
<b>240</b>	162	04/97: 46,XX[20]; 11/98: 46,XX[20]; 11/01: 46,XX[19]; 9/04: 46,XX[21]; 1/05: 46,XX [22]; 3/06: 46,XX[23]; 12/06: 46,XX[21]; 8/11: 46,XX[8]
<b>241</b>	5495	9/12: 45,X,-Y[4]/46,XY[30]
<b>242</b>	5396	3/11: 46,XX,der(6)t(6:9)[8]/46,XX[13]
<b>243</b>	2564	1/06: 46,XX[24]
<b>244</b>	3268	11/07: 46,XY[21]; 12/08: 46,XY[21]; 4/09: 46,XY[24]; 3/13: 46,XY[26]; 7/15: 47,XY, +8[3]/48,XY,+8,+21[13]/46,XY[13]; 11/15: 48,XY,+8+21[5]/46,XX[21]; 12/15: 48,XY, +8,+21[4]/46,XX[22]; 1/16: 48,XY,+8,+21[22]/46,XY[2]
<b>245</b>	6385	07/12: 46,XY[22]; 10/12: 46,XY[20]; 02/13: 46,XY,der(5;17) (q10;q10)[4]/46,XY[19]; 06/13: 46,XY[24]; 09/13: 46,XY[23]; 9/14: 44-46,XY,-5,der(6)t(6;17) (p25;q11),+1-2 mar[24]/46,XY[8]; 1/15: 44-46,XY,-5,der(6)t(6;17)(p25;q11),+2mar[2]/46,XX[26]; 4/15: 46,XX[28]; 6/15: 46,XY[1]/46,XX[26]; 11/15: 46,XX[24]
<b>246</b>	5355	1/10: 46,XY[20]; 11/11: 46,XY[20]; 5/12: 46,XY[20]; 9/12: 46,XY[20]; 4/13: 46,XY[20]; 8/14: 46,XY[20]; 4/14: 46,XY[20]
<b>247</b>	6402	12/12: 46,XX[22]; 1/13: 46,XX[23]; 2/13: 46,XX[16]/45,XX,-21[3]; 5/13: 46,XX[22]; 8/13: 46,XX[22]; 9/14: 46,XX[28]; 12/14: 46,XX[28]
<b>248</b>	6085	5/15: 46,XX[5]
<b>249</b>	6603	9/15: 46,XY[23] (PB)
<b>250</b>	3819	7/11: 46,XY[23]; 8/11: 46,XY[22]; 1/12: 46,XY[23]; 06/14: 46,XY[32]
<b>251</b>	8136	9/08: 46,X,-Y[18]/46,XY[2]; 2/09: 45,X,-Y[19]/46,XY[1]
<b>252</b>	6049	3/15: 46,XY[20]
<b>253</b>	6494	2/15: 46,XY[27]
<b>254</b>	5935	4/14: 46,XX[31]; 9/14: 46,XX[29]; 1/15: 46,XX[28]; 7/15: 46,XX[24]
<b>255</b>	1858	7/00: 46,XX[18]
<b>256</b>	5806	1/13: 46,XY[23]
<b>257</b>	5635	4/13: 46,XY[20]; 11/13: 46,XY[11]; 10/14: 45,X,-Y[5]/46,XY[18]
<b>258</b>	6166	10/14: 45,XY,-7,der(17)(17qter->17q12::17q11->17p11::17p11-> 17q11::17q12-> 17qter)[12]/46,XY[8]
<b>259</b>	5494	5/14: 46,XY[29]; 11/14: 46,XY[27]
<b>260</b>	6513	10/13: 45,X,-Y[4]/46,XY[19]; 4/14: 45,X,-Y[5]/46,XY[17]; 5/15: 46,XY[25]
<b>261</b>	6277	2/15: 46,XY[20]

<b>262</b>	7473	5/15: 46,XY,t(11,19)(q23,p13.3)[28] (PB)
<b>263</b>	7192	4/14: 47,XX,+8[7]/46,XX[13]
<b>264</b>	7424	5/15: 46,XY[21]
<b>265</b>	5652	5/14: 46,X,idic(X)(q13)[16]/46,XX[13]
<b>266</b>	6167	4/15: 46,XY[20]
<b>267</b>	5490	5/14: 46,XX[29]; 11/14: 46,XX[27]
<b>268</b>	6589	11/14: 46,XY[25]
<b>269</b>	5600	10/11: 46,XY[19]; 12/13: 46,XY[22] (PB)
<b>270</b>	6061	10/15: 46,XY[15]; 01/16: 46,XY[15]; 02/16: 46,XY[16]
<b>271</b>	5392	2/11: 46,XX,del(6)(q21)[5]/46,XX,der(15)t(1;15)(q12;q11)[6]/46,XY[12]; 7/12: 46,XY[27]
<b>272</b>	6020	4/14: 46,XY[29]; 1/15: 46,XY[27]
<b>273</b>	1643	8/11: 46,XX[6]
<b>274</b>	5383	8/09: 46,XY[23]; 6/11: 46,XY[17]; 7/12: 46,XY[23]; 7/13: 46,XY[4]/46,XX[19]; 12/13: 46,XX[26]; 5/14: 46,XX[14]
<b>275</b>	3400	11/07: 46,XY[17]; 01/11: 46,XY,t(2;6)(q23;q25)[13]/46,idem,add(17)(p11)[12]; 02/11: 46,XY,t(2;6)(p23;q25)[1]/46,idem,der(9;17)(q11;q11)[22]/46,XY[1]; 4/11: 46,XY[24]
<b>276</b>	3015	5/07: 46,XX[23]
<b>277</b>	4049	04/13: 46,XY[25]; 9/13: 46,XY[20]
<b>278</b>	5503	1/13: 46,XY[23]; 7/14: 47,XX,+8[2]/48,XX,+8,+21[23]/48,XX,+8,+i(21)(q10)[4]
<b>279</b>	6203	10/14: 46,XY[26]
<b>280</b>	7214	7/13: 46,XY[19]
<b>281</b>	2509	10/13: 46,XY[22]
<b>282</b>	1704	02/00: 46,XY[21]; 06/14: 46,XY[28]
<b>283</b>	3794	02/07: 46,XY[29]/47,XY,+21[1]
<b>284</b>	5825	7/14: 46,XX[20]
<b>285</b>	6134	11/13: 46,XY[20]
<b>286</b>	6387	5/14: 46,XY[20]
<b>287</b>	6535	9/12: 46,XY[20]
<b>288</b>	6066	3/14: 46,XY[31]
<b>289</b>	6132	7/13: 46,XY[21]
<b>290</b>	6548	2/14: 46,XY[20]
<b>291</b>	5617	7/13: 46,XY[23]
<b>292</b>	5692	10/12: 46,XY[24]; 1/13: 46,XY[22]; 6/13: 47,XY,+8[1]/46,XY[23]; 10/13: 46,XY[23]
<b>293</b>	2729	7/05: 45,XY,del(5),-7,del(12p),add(17),del(20)[10]/46,XY[12]; 8/05: 46,XY[22]; 9/05: 46,XY[21]; 11/05: 46,XY[23]; 10/06: 46,XY[6]/45, XY,del(5) (q22q33),-7,del(12)(p12), add(17)(p11),del(20)(q11)[17]; 12/06: 46,XY[23]; 2/13: 46,XY[25];
<b>294</b>	2812	04/05: 45,X,-Y[8]/46,XY[14]; 01/08: 45,X,-Y[9]/46,XY[14]
<b>295</b>	2467	10/04: 46,XX[22]; 4/05: 46,XY[21]/45,X0[1]; 3/07: 46,XY[23]

<b>296</b>	3900	4/10: 47,XX,+8[2]/46,XX[21]; 8/10: 46,XX[22]; 11/10: 46,XX[20]; 12/10: 46,XX[4]/46,XY[22]; 2/11: 46,XY[23]; 8/13: 46,XY[24]
<b>297</b>	2606	8/05: 46,XY[20]
<b>298</b>	5729	10/13: 46,XY[19]
<b>299</b>	3354	1/09: 46,XY[23]; 2/09: 46,XY[23]; 9/11: 46,XY[20]
<b>300</b>	2860	11/05: 46,XX,t(15;17)(q22;q21)[22]; 1/06: 46,XX[20]; 2/06: 46,XX[22]; 2/07: 46,XX[24]
<b>301</b>	2246	5/03: 46,XY[20]; 5/05: 46,XY[19]
<b>302</b>	2172	2/04: 46,XX[20]
<b>303</b>	1905	8/00: 46,XX[20]; 10/00: 46,XX[16]; 11/06: 46,XX[24]; 9/08: 46,XX[20]
<b>304</b>	2537	8/00: 46,XX[18]/46,XX,del(11q)[1]/45,XX,-20[2]; 12/03: 46,XY[18]/46,X0[2]; 6/20: 46,XY[24]
<b>305</b>	3489	11/13: 46,XY[26]
<b>306</b>	5649	8/11: 46,XY[20]
<b>307</b>	2014	2/00: 46,XY[21]; 8/01: 46,XY[22]; 6/13: 47,XY,+8[21]/46,XY[3]
<b>308</b>	3691	4/08: 46,XX[23]
<b>309</b>	6028	11/14: 46,XX[20]
<b>310</b>	7458	2/12: 46,XY[11]; 2/12: 46,XY [12] (PB); 3/12: 46,XY[12]; 4/12: 46,XY[20]
<b>311</b>	3260	8/11: 46,XX[21]
<b>312</b>	989	9/98: 46,XY[20]; 9/00: 46,XY[19]
<b>313</b>	5778	1/13: 46,XY[23]
<b>314</b>	1462	11/03: 46,XY[20], 9/05: 46,XY[22]
<b>315</b>	3239	7/08: 46,XX[25]; 11/11: 46,XX[25]; 6/12: 46,XX[25]; 7/13: 46,XX[22]
<b>316</b>	5405	10/14: 45,XX,-19[3]/46,XX[17]
<b>317</b>	5625	6/12: 46,XY[22]
<b>318</b>	2174	6/11: 46,XY[23]
<b>319</b>	5633	8/11: 46,XY[24]; 12/11: 46,XY[22]; 10/12: 46,XY[23]; 1/13: 47,XY,+8[2]/46,XY[22]
<b>320</b>	5687	7/12: 46,XY[22]
<b>321</b>	5314	4/13: 46,XX[20]
<b>322</b>	5777	3/13: 46,XY[22]
<b>323</b>	4025	9/10: 46,XY[22]; 3/11: 46,XY[21]
<b>324</b>	2644	1/06: 46,XX[20]; 11/06: 46,XX[22]
<b>325</b>	4056	08/11: 47,XY,+21[5]/46,XY[17]
<b>326</b>	1325	1/01: 46,XX[12]/46,XX,del(5)(q13;q33)[8]
<b>327</b>	4000	1/12: 46,XY[24]
<b>328</b>	3327	6/09: 46,XY[23]; 11/12: 45,X,-Y[3]/46,XY[22]; 1/13: 46,XY[25]
<b>329</b>	6588	6/12: 46,XY[21]
<b>330</b>	7189	4/13: 46,XY[24]
<b>331</b>	5810	7/11: 46,XX[23]; 5/12: 46,XX[21]

<b>332</b>	5499	3/12: 46,XX[19]
<b>333</b>	3423	2/09: 46,XY[5]; 11/10: 46,XY[20]
<b>334</b>	5601	2/13: 46,XY[23]
<b>335</b>	5603	6/1: 47,XX,t(1;2)(p22;q37),+mar[3]/46,XX[17]; 6/12: 46,XX[20]
<b>336</b>	3478	8/09: 46,XX,add(10)(p11)[2]/46,XX[20]
<b>337</b>	1812	11/99: 46,XX[20]; 8/01: 46,XX[18]; 10/02: 46,XX[22]
<b>338</b>	5343	1/12: 47,XY,+4[2]/46,XY[19]; 5/13: 46,XY[20]
<b>339</b>	5359	9/11: 46,XY[20]; 7/12: 46,XY[20]
<b>340</b>	1805	1/03: 47,XY,+8[5]/46,XY[17]; 9/03: 46,XY[5]/47,XY,+8[16]; 1/04: 46,XY[21]; 4/04: 46,XY[22]; 8/05: 46,XY[19]
<b>341</b>	5346	7/12: 46,XY[30]
<b>342</b>	3683	1/11: 46,XX[24]; 9/11: 45,XX,der(6;17)(p11,q11),-6[19]
<b>343</b>	3054	11/08: 46,XY[21]; 2/09: 46,XY[24]; 9/11: 45,XY,der(7)[8]/46,XY[13]; 5/12: 45,XY,-7[1]/46,XY[21]
<b>344</b>	8043	5/12: 46,XY,t(5;17)(p15;q11)[2]/46,XY[19]
<b>345</b>	5397	5/12: 47,XY,+21[3]/46,XY[18]
<b>346</b>	5620	9/11: 46,XX[23]
<b>347</b>	5358	5/12: 46,XX[25]
<b>348</b>	3230	11/11: 46,XY[22]
<b>349</b>	5747	12/10: 46,XY[23]
<b>350</b>	5634	12/11: 46,XX,-7,+14[21]/46,XX[2]
<b>351</b>	5672	9/11: 46,XY[19]; 1/12: 45,XY,-21[3]/46,XY[20]; 4/12: 46,XY[24]; 2/13: 46,XY[25]
<b>352</b>	3435	9/10: 46,XY[22]; 1/11: 46,XY[21]; 8/11: 46,XY,add(1)(q32)[10]/46,XY,t(18;21)(q12.1. q13)[9]/46,XY[4]
<b>353</b>	3571	7/11: 46,XX,der(7),del(7)(q11),-18[12]/46,XX,del(3)(p11),der(7),del(7)(p11),del(10) (q25),-18[2]/46,XX[10]
<b>354</b>	2686	12/04: 46,XY[16]; 4/05: 46,XY[20]
<b>355</b>	3813	6/11: 46,XY[19]; 8/11: 46,XY[23]
<b>356</b>	5310	3/11: 45,XY,-Y[8]/46,XY[17]; 10/11: 45,XY,-Y[3]/46,XY[20]
<b>357</b>	3349	10/08: 46,XY[23]; 12/09: 46,XY[22]; 4/11: 46,XY[24]; 1/12: 46,XY[21]
<b>358</b>	5629	11/11: 46,XX[19]
<b>359</b>	3565	7/09: 46,XX[22]/46,XX,del(20q)[1]
<b>360</b>	1767	12/08: 46,XY[22]
<b>361</b>	7430	6/10: 47,XY,+8[18]/46,XY[7]; 3/11: 47,XY,+8[18]/46,XY[7]; 6/11: 47,XY,+8[25]/46,XY [2]
<b>362</b>	3060	1/10: 46,XY[21]
<b>363</b>	3218	4/09: 46,XX[22]
<b>364</b>	3371	3/04: 46,XX[22]
<b>365</b>	8053	7/11: 47,XX,+8[2]/46,XX[19]

<b>366</b>	3754	7/10: 47,XY,+?7[2]/46,XY[20]
<b>367</b>	2866	5/11: 46,XY,t(14;18)(q32;q11)[11]/46,XY[13]
<b>368</b>	7627	02/11: 47,XY,+8[3]/46,XY[19]
<b>369</b>	1915	11/99: 46,XX[20]; 4/06: 46,XX,der(13)[6]/46,idem,der(X)[6]/46,XX[10]
<b>370</b>	3173	12/06: 46,XX[20]; 4/07: 46,XX[24]; 11/08: 46,XX[24]
<b>371</b>	3588	7/08: 46,XX[20]; 6/09: 46,XX[24]
<b>372</b>	3446	3/09: 46,XY[23]
<b>373</b>	1681	12/96: 46,XX[22]; 6/97: 46,XX[15]
<b>374</b>	8222	2/10: 46,XY,del(5)(q22q33)[4]/46,XY,del(6)(q21)[4]/46,XY[16]
<b>375</b>	3776	6/10: 46,XY[22]; 10/10: 46,XY[23]
<b>376</b>	3697	5/09: 46,XY[25]
<b>377</b>	3419	5/10: 46,XX[22]
<b>378</b>	3772	1/07: 46,XY[22]; 2/08: 46,XY[22]; 9/09: 46,XY[22]
<b>379</b>	8382	6/10: 46,XY[23]
<b>380</b>	5375	3/08: 46,XX,del(5)(q14;34)[8]/46,XX[14]; 7/10: 44,XX,del(5)(q13q31),-7,-16[23]/46,XX[2]
<b>381</b>	3209	3/08: 46,XY[24]; 8/08: 46,XY,-22,+mar[5]/46,XY[20]; 12/08: 46,XY[23]
<b>382</b>	2577	11/04: 46,XY[20]; 4/06: 46,XY[23]
<b>383</b>	5377	6/10: 46,XY[20]
<b>384</b>	1836	11/05: 46,XX[23]
<b>385</b>	3190	12/07: 46,XY[23]; 4/08: 46,XY[23]; 1/09: 46,XY[23]; 4/09: 46,XY[23]; 7/09: 46,XY[25]
<b>386</b>	3990	04/10: 46,XX,+8[17]/46,XX[5]
<b>387</b>	2346	11/03: 46,XY[20]
<b>388</b>	293	08/94: 46,XX[19]/46,XX,-5,+8[1]
<b>389</b>	3411	1/10: 46,XY[21]
<b>390</b>	3386	01/09: 46,XX[21]; 9/09: 46,XX[22]
<b>391</b>	3415	5/09: 46,XY[24]; 11/09: 46,XY[24]
<b>392</b>	2557	1/09: 46,XY[20]; 04/09: 46,XY[22]; 10/09: 46,XY[23]
<b>393</b>	3221	7/07: 46,XX[24]; 9/07: 46,XX,del(20)(q11)[2]/46,XX[21]; 11/07: 46,XX[23]; 12/07: 46,XX[23]; 4/08: 46,XX,del(12)(p11)[3]/46,XX[20]; 9/08: 46,XX[23]; 2/09: 46,XX[20]; 3/09: 46,XY[23] (PB); 6/09: 46,XX[21]; 12/09: 46,XX[22]
<b>394</b>	3253	10/09: 46,XY,add(4)(q3?)[4]/46,XY[18]
<b>395</b>	3680	6/09: 46,XY[28]
<b>396</b>	3179	8/08: 46,XY[20]; 2/09: 46,X,-Y,+8[2]/46,XY[21]; 6/09: 46,XY[23];
<b>397</b>	3270	2/08: 46,XY,del(7)(q22)[18]/46,idem,add(21)(p11)[5]; 9/08: 46,XY,del(7)(q22)[1]/46,idem,add(21)(q11)[22]/49,idem,+15,+16,21[1]; 12/08: 46,XY,del(7)(q22),add(21)(q11)[24]
<b>398</b>	3120	11/06: 46,XY[21]
<b>399</b>	3309	3/09: 46,XY[25]; 11/09: 46,XY[17]

<b>400</b>	3383	8/09: 46,XX[20]
<b>401</b>	3384	11/09: 46,XY,del(7)(q34)[18]/46,XY[4]
<b>402</b>	2545	12/04: 46,XX[20]/45,XX,-7[2]; 4/06: 46,XX[22]; 4/07: 46,XX[22]; 7/08: 46,XX,del(12)(p11)[18]/46,XX[6]; 12/08: 46,XX[22]; 5/09: 46,XX,del(12)(p11)[7]/48,idem,+8,+9[9]/49,idem,+8,+9,18[4]; 9/09: 46,XX,del(12)(p11)[10]/47,idem,+8[3]/51,idem,+8,+9,+13,+14,+18[4]/46,XX[5]
<b>403</b>	8241	6/10: 46,XY[20]
<b>404</b>	3059	4/09: 46,XY[20]
<b>405</b>	3427	7/01: 46,XY[19]; 9/01: 46,XY[21]; 3/07: 46,XY[23]; 11/07: 46,XY[18]; 3/09: 46,XY[23]
<b>406</b>	3392	9/09: 46,XY[22]
<b>407</b>	3380	9/09: 46,XY[21]; 7/11: 46,XY[23]
<b>408</b>	3219	1/08: 46,XY[22]; 3/09: 46,XY,add(9)(p2?)[3]/46,XY[19]
<b>409</b>	3222	4/08: 46,XX[21]
<b>410</b>	3514	3/09: 46,XX[22]
<b>411</b>	3275	06/08: 47,XY,+8[2]/46,XY[19]
<b>412</b>	2865	6/08: 46,XY[26]; 7/08: 46,XY[21]; 8/08: 46,XY[21]; 3/09: 46,XY[11]; 4/09: 46,XY[22]; 5/09: 46,XY[22]; 6/09: 47,XY,+mar[3]/46,XY[21]
<b>413</b>	2869	01/07: 46,XY[24]
<b>414</b>	4091	9/07: 46,XX[23]
<b>415</b>	2706	2/06: 46,XY[22]; 5/06: 46,XY[22]; 7/06: 46,XY[24]; 2/02: 46,XY[22]; 4/08: 46,XY,t(1;2)(p36;p21)[22]/46,XY[2]
<b>416</b>	2657	10/08: 46,XY[21]; 05/09: 46,XY[23]
<b>417</b>	2973	2/07: 46,XX[23]; 2/08: 46,XX[22]; 4/08: 46,XX[23]; 7/08: 46,XX[21]
<b>418</b>	3276	2/08: 46,XY[21]; 4/08: 46,XY[18]; 1/09: 46,XY[22]
<b>419</b>	3269	1/09: 46,XY[21]
<b>420</b>	3390	4/09: 46,XY[21]
<b>421</b>	2299	8/03: 46,XY[15]/45,XY,-20[5]
<b>422</b>	4070	8/08: 46,XY,add(11)(p11.2)[2]/46,idem,add(2)(q31-33)[17]
<b>423</b>	3227	01/08: 46,XX[22]; 9/08: 46,XX[23]/46,XY[1]; 9/08: 46,XY[1]/46,XX[3]; 11/08: 46,XX,(q25;q24),del(5),del(6)(q22),add(10)(q21)[8]/46,XX[14]
<b>424</b>	3265	1/09: 46,XX[23]
<b>425</b>	5883	1/08: 46,XY[18]; 3/09: 46,XY[8]
<b>426</b>	3287	3/07: 46,XY[6]; 6/07: 46,XY[24]; 8/07: 46,XY[19]; 3/08: 46,XY[24]; 8/08: 45,XY,-13[3]/46,XY[20]; 12/08: 46,XY,del(1)(q25),der(5q)[4]/47,idem,+mar[2]/ 46,XY[17]
<b>427</b>	8455	7/07: 46,XY[24]; 12/07: 46,XY[23]; 4/08: 46,XY[20]; 7/08: 46,XY[24]; 11/08: 46,XY[22]
<b>428</b>	3518	11/08: 46,XY[24]
<b>429</b>	3274	9/08: 46,XY[12+22]; 10/08: 46,XY[20]
<b>430</b>	2472	11/04: 46,XY[19]; 3/05: 46,XY[22]
<b>431</b>	3414	10/08: 46,XY[22]

<b>432</b>	3234	9/08: 46,XX[23]; 11/08: 46,XX[23]; 12/08: 46,XX[23]
<b>433</b>	3182	3/08: 46,XY[23]; 8/08: 46,XY[23]
<b>434</b>	3228	7/07: 46,XY[23]; 10/07: 46,XY[20]
<b>435</b>	3236	10/94: 46,XX[15]; 1/03: 46,XX,del(1)(q25),add(1)(q25),add(2q),add(3p),t(9;22)(q34,q11)[22]; 4/04: 46,XX[22]; 12/07: 46,XX[22]; 4/08: 46,XX[22]; 5/08: 46,XX[22]; 7/08: 46,XX[24]
<b>436</b>	3460	9/08: 46,XX,del(14)(q?)[6]/47,XX,+8[4]/46,XY[13]
<b>437</b>	2707	7/05: 46,XY[22]; 12/05: 46,XY,del(13)(q11q13)[4]/46,XY[18]; 5/06: 46,XY[22]
<b>438</b>	3940	11/07: 46,XY[21]
<b>439</b>	3924	6/08: 46,XY,add(3)(q10),del(5)(q22q33),add(8)(q24),add(9)(p22),-13,t(15;17)(p10p10),i(17)(q10),add(18)(p11),+21,mar[21]/46,XY[2]
<b>440</b>	3112	10/06: 46,XY[23]; 11/06: 46,XY,t(9;22)(q34;q11)[14]
<b>441</b>	3068	7/07: 46,XY[24]
<b>442</b>	1696	8/06: 46,XX[8]
<b>443</b>	2419	12/06: 46,XY[12]
<b>444</b>	5421	4/06: 46,XY[23]; 7/06: 46,XY[23]; 2/07: 46,XY[12]; 4/07: 47,XY,+4[17]/46,XY[3]; 9/07: 47,XY,+4[21]/46,XY[1]; 11/07: 47,XY,+4[1]/46,XY[21]
<b>445</b>	3526	11/07: 46,XX[18]
<b>446</b>	3302	9/07: 49,XY,+8,+15,+22[16]/46,XY[7]
<b>447</b>	3463	12/06: 46,XY[20]
<b>448</b>	2031	11/02: 46,XX[22]
<b>449</b>	3055	5/07: 46,XY[23]; 7/07: 46,XY[23]
<b>450</b>	2709	5/07: 46,XX[20]
<b>451</b>	2566	1/05: 46,XX[20]; 7/05: 46,XY[2]/46,XX[20] 12/05: 46,XY[20]; 5/06: 46,XY[22]
<b>452</b>	3099	8/07: 46,XY[23]
<b>453</b>	3122	11/06: 46,XY[21]; 1/07: 46,XY[24]; 4/07: 46,XY[1]/46,XY,del(1)(p11)[16]/46,idem,+8[3]
<b>454</b>	3078	1/07: 46,XX,dmin[14]/46,XX[10]; 8/07: 46,XX,dmin[17]/46,XX[6]
<b>455</b>	1499	9/06: 45,XY,-7[19]
<b>456</b>	1785	8/00: 46,XY[20]; 7/01: 46,XY[18]/46,XY,del(15q)[1]/46,XY,-7,+mar[2]; 12/01: 46,XY[16]/46,XY,der(6)[1]; 8/02: 46,XY[19]/47,XXY[2]/46,XY,inv(5)[1]; 11/04: 46,XY[20]; 10/06: 46,XY[23]; 3/07: 46,XY[24]
<b>457</b>	2171	1/03: 46,XY[21]/46,XY,del(19p)[1]
<b>458</b>	1318	02/06: 46,XY[22]; 1/07: 46,XY[24]
<b>459</b>	3086	11/06: 46,XX[22]; 4/07: 46,XX[19]/46,XX,del(5q)[3]
<b>460</b>	4069	7/02: 46,XY[20]; 8/02: 46,XY[20]; 10/05: 46,XY[20]; 11/06: 46,XY[20]
<b>461</b>	4060	1/03: 46,XY[12]
<b>462</b>	3147	8/05: 46,XX[20]; 9/05: 46,XX[20]; 11/05: 46,XX[8]; 11/05: 46,XX[20]; 1/06: 46,XX[20]
<b>463</b>	3540	8/96: 46,XX[25]; 4/97: 46,XX[30]; 7/98: 46,XX[30]; 7/98: 46,XX[24]; 12/98: 46,XX[20]
<b>464</b>	3033	2/03: 46,XY [12]; 10/02: 46,XY[11]; 5/03: 46,XY[12]

<b>465</b>	2809	11/06: 46,XY[22]
<b>466</b>	2874	2/03: 46,XX[22]; 9/04: 46,XX,del(7)(q21)[10]/46,XX[12]; 5/05: 46,XX[22]; 8/05: 46,XX[21]; 12/06: 46,XX[21]/45,XX,-7[2]
<b>467</b>	3587	2/05: 46,XY[40]; 7/05: 46,XY[25]; 8/05: 46,XY[40]; 11/05: 46,XY[25]
<b>468</b>	2826	10/05: 46,XX[20]; 1/06: 46,XX[23]; 5/06: 47,XX,+11[19]/46,XX[4]
<b>469</b>	900	2/94: 46,XX[15]; 8/00: 46,XX[15]/47,XX,+8,del(13)(q12q14)[5]
<b>470</b>	5751	5/00: 46,XY[20]; 4/01: 46,XY[50]
<b>471</b>	3056	10/06: 46,XX[2]
<b>472</b>	1964	5/04: 46,XY[22]/47,XYY[2]; 09/04: 47,XY,+15[2]/46,XY[20]/46,Y,-X,+mar[1]; 1/05: 46,XY[21]/47,XY,+15[1]; 1/06: 46,XY[16]/47,XY,+15[6]
<b>473</b>	2746	8/05: 46,XX[21]
<b>474</b>	2990	10/05: 46,XY[12]; 2/06: 46,XY[21]/47,XY,+? [1]; 3/06: 47,XY,+8[22]
<b>475</b>	2673	9/05: 46,XY[20]/45,X,-Y[2]
<b>476</b>	2861	11/05: 46,XX[20]
<b>477</b>	2670	8/05: 46,XY[19]; 3/06: 46,XY[21]
<b>478</b>	5419	2/99: 46,XX[20]
<b>479</b>	919	10/05: 46,XX[22]; 3/06: 46,XX[20]
<b>480</b>	2298	2/04: 46,XY[22]; 7/04: 46,XY[19]; 10/04: 46,XY[21]; 2/05: 46,XY[23]; 5/05: 46,XY[22]; 8/05: 46,XY[19]
<b>481</b>	2156	1/05: 46,XX[22]
<b>482</b>	2365	10/04: 46,XY[22]; 4/05: 46,XY[11]/46,XY,t(9;12)(q12;p12)[11] (KM); 4/05: 46,XY, t(9;12)(q12;p12)[11] (PB); 8/05: 46,XY[13]; 9/05: 46,XY[3]/46,XY,t(9;12)(q12;p12) [7]/46,idem,t(13;17)(q14;q23)[12]
<b>483</b>	3102	6/04: 46,XY[16]/45,XY,-21[5]/47,XY,+21[1]; 6/05: 46,XY[23]
<b>484</b>	2562	5/05: 46,XX[21]/46,XX,del(11q)[1]
<b>485</b>	1190	1/97: 46,XY[20]; 6/99: 46,XY[21]; 9/00: 46,XY[21]; 1/03: 46,XY[22]; 2/03: 46,XY[12]; 3/03: 46,XY[21]; 5/03: 46,XY[22]; 8/03: 46,XY[22]; 10/03: 46,XY[20]; 12/03: 46,XY[20]; 2/04: 46,XY[21]; 4/04: 46,XY[18]; 7/04: 46,XY[19]; 10/04: 46,XY[20]
<b>486</b>	771	8/97: 46,XX[19]/46,XX,-18,+mar[1]; 5/05: 46,XX,der(6)[8]/4+6,XX,(1;6)(q25;p21) [11]/idem,add(7q),+8[1]
<b>487</b>	2788	3/05: 46,XY,del(20)(q11)[5]/46,XY[14]; 7/05: 46,XY[22]
<b>488</b>	2716	5/05: 46,XY[21]
<b>489</b>	1783	6/05: 46,XX[12]
<b>490</b>	2474	2/04: 46,XY[23]; 11/04: 46,XY[19]
<b>491</b>	2627	1/05: 46,XX,-7,-21,+2mar[10]
<b>492</b>	1718	9/99: 46,XY[20]; 12/99: 46,XY[14]; 5/00: 46,XY[20]; 6/02: 46,XY[17]; 12/03: 46,XY[20]; 02/04: 46,XY[18]
<b>493</b>	1763	1/01: 46,XY[19]; 5/01: 46,XY[20]; 8/11: 46,XY[21]; 2/02: 46,XY[19]; 6/02: 46,XY[19]; 2/03: 46,XY[21]; 9/03: 46,XY[9]/49,XY,+8,+11,+13 [13]; 8/04: 46,XY[2]/49,XY,+8,+11,+13[21]; 12/04: 49,XY,+8,+11, +13[14]/50,idem,+19[3]; 2/05: 49,XY,+8,+11,+13[23]
<b>494</b>	2335	1/05: 46,XY[20]

<b>495</b>	2159	3/04: 46,XX[5]
<b>496</b>	1488	9/03: 47,XY,+8[5]/46,XY[15]
<b>497</b>	1855	11/00: 46,XX[19]; 3/01: 46,XX[19]/46,XX,del(11q)[1]; 11/03: 46,XX[19]/45,XX,-10[2]/46,XX,add(11p)[1]; 2/04: 46,XX[20]; 6/04: 46,XX[22]
<b>498</b>	5418	7/03: 46,XY[22]; 8/03: 46,XY[21]; 10/04: 46,XY[16] (PB)
<b>499</b>	2403	6/04: 46,XY[21]/45,X0[1]; 7/04: 46,XY[17]/39-45,X,-Y[5]
<b>500</b>	2263	7/04: 46,XY[19]
<b>501</b>	1797	1/00: 46,XX[4]/45,XX,-7[16]; 7/01: 45,XX,-7[21]; 6/02: 45,XX,-7[19]/45,idem,del(3q)[1]/45,idem,der(12)[1]/46,idem,+11[1]; 9/02: 45,XX,-7[19]/45,idem,+mar[1]/45,idem,del(3q)[1]; 10/02: 45,XX,-7[21]; 11/02: 46,XX[6]/45,X0[3]/45,XX,-7[13]; 3/03: 46,XX[1]/45,XX,-7[21]/47,XX,-7,+8,+21[1]; 9/03: 45,XX,-7[3]/47,XX,-7,+21,+c[6]/48,XX,-7,+21,+22,+c[13]; 12/03: 45,XX,-7[3]/46,idem,+21[8]/47,XXX,iem,+21[6]/48,XXX,idem,+21,+22[4]/49,XXX,-7,+8,+21,+22[3]
<b>502</b>	2360	6/04: 46,XY[19]/47,XY,+8[3]
<b>503</b>	852	3/96: 46,XX[16]; 10/02: 46,XX[22]; 6/03: 46,XX[18]
<b>504</b>	2454	9/03: 46,XX[22]
<b>505</b>	2234	06/00: 46,XX[20]/46,XX,add(16q)[1]; 3/01: 46,XX[20]; 1/02: 46,XX[13]/46,XX,del(3p)[1]/46,XX,del(20)[1]/46,XX,+mar[1]; 9/02: 46,XX[22]
<b>506</b>	2704	11/03: 46,XY[21]/45,X0[1]/47,XYY[1]
<b>507</b>	1157	12/93: 46,XX[4]
<b>508</b>	2210	9/03: 46,XY[22]
<b>509</b>	3552	4/03: 46,XX[7]/45,X,-X,der(3),-7,+mar[15]; 6/03: 46,XX[7]/45,XX,t(X;3),-7[15]; 7/03: 46,XX[22]; 10/03: 46,XX[19]
<b>510</b>	1000	2/98: 46,XY[19]/45,X,-Y[3]; 10/98: 46,XY[16]/47,XY,+mar[2]/44,X,-Y[2]; 1/00: 46,XY[22]; 4/00: 46,XY[19]/45,X0[1]; 7/00: 46,XY[18]; 3/01: 46,XY[21]; 9/01: 46,XY[19]; 10/02: 46,XY[4]; 6/03: 46,XY,del(20)(q13)[17]/46,idem,add(15q)[3]
<b>511</b>	2373	3/03: 46,XY[22]
<b>512</b>	1815	3/03: 46,XX[20]/46,XX,del(12p)[1]/47,XX,+? [1]
<b>513</b>	2059	12/01: 46,XY[21]; 2/03: 46,XY[21]
<b>514</b>	1465	6/01: 46,XY[20]/46,XY,del(17p)[1]
<b>515</b>	1655	4/99: 46,XX[11]; 5/99: 46,XX[10]; 6/99: 46,XX[5]; 3/00: 46,XX[21]; 3/01: 46,XX[15]/45,XX,-7[5]; 6/01: 46,XX[13]/45,XX,-7[1]/45,XX,-7[6]; 7/01: 46,XX[17]/45,XX,-7[2]/44,XX,-7,-21[1]/46,XX,del(7q)[1]; 1/02: 46,XX[16]/45,XX,-7[2]/46,XX,t(9,11,22)[1]/46,XX,t(5,6)[1]; 3/02: 46,XX[3]/45,XX,-7[16]/45,idem,del(5q)[3]; 5/02: 45,XX,-7[11]/44,idem,-2[4]/45,idem,-21,+mar[2]/45,idem,del(5p)[4]; 11/02: 45,XX,-7[13]/44-43,idem,-21[5]/45,idem,del(5p)[2]/45,idem,del(15q)[1]; 12/02: 45,XX,-7[9]/45,idem,del(5)(p11)[3]/46,idem,+mar[2]/45,idem,-X,+mar[3]/44,idem-21,+mar[4]; 3/03: 45,XX,del(5)(p11),-7[3]/45,XX,+7,i(21)(q11)[2]/45,idem,del(2q)[11]; 5/03: 45,XX,-7[4]/45,XX,del(5p),-7[9]/45,XX,del(2q),-7,add(21p)[8]
<b>516</b>	1886	7/01: 46,XY[20]; 6/02: 46,XY[19]/46,XY,del(20)(q13)[2]; 9/02: 46,XY[18]; 2/03: 46,XY[18]
<b>517</b>	1639	4/98: 46,XY[20]/46,XY,del(8p)[1]/47,XY,+mar[1]; 10/98: 46,XY[19]/47,XY,+mar[1]; 3/99: 46,XY[6]/46,XY,t(8,12)[1]/46,XY,del(20)(q11)[6]/47,XY,del(20)(q11),+mar[7]; 8/02: 46,XY[22]/48,XY,+8,+6[1]; 12/02: 46,XX[22]; 3/03: 46,XX[2]/46,XY[1]/48,XY,+6,+9,del(20)(q11)[29]

<b>518</b>	1996	7/01: 46,XY[15]/46,XY,del(12p)[1]; 11/02: 46,XY[15]/47-48,XXY,-1,add(1)(p2?),add(2)(p11),add(3)(p2?)or der(3,4)(p2?,q21),+del(3)(q2?),del(4q)or der(3;4)(p2?;q21),+6,del(6)(q21)2x,add(9)(p21), add(11p),der(11)add(11p),del(11)(q23),+add(11)(q23),-12,?del(13q),add(14)(q32),-17,+18,+2-3mar[7]
<b>519</b>	1588	10/99:46,XX[21]; 11/99: 46,XX[22]; 1/00: 46,XX[23]; 2/00: 46,XX[21]; 4/00: 46,XX[20]
<b>520</b>	717	10/01: 46,XX[18]
<b>521</b>	2039	1/02: 46,XY[20]; 4/02: 46,XY[17]/46,XY,add(11p)[3]; 5/02: 46,XY[18]/46,XY,del(5)(q13 q33),t(6;11),add(11p)[1]
<b>522</b>	1284	10/99: 46,XX[11]/46,XX,i(17)(q10)[8]/47,idem,+21[1]; 9/00: 46,XX[5]/46,XX,inv(17)(q10)[15]
<b>523</b>	292	03/94: 46,XX[15]/48,XX,+mar,+mar[1]; 12/96: 46,XX[17]/46,XX,del(5)(q13q33)[1]/46,XX,add(19)(p)[2]
<b>524</b>	354	01/96: 46,XX,del(5)(q22q33),del(13)(q12q14),del(20)(q11)[14]/46,XX,del(5)(q22q33)[3]; 4/99: 46,XX,del(5)(q22q33)[2]/ idem,del(13)(q12q14)[6]/ idem,del(20)(q11)[13]; 01/00: 46,XX,del (5)(q22q33)[4]/idem,del(13)(q12q14),del(20)(q11)[16]; 12/00: 46,XX[4]/46,XX,del(5)(q22q32),del(13) (q12;q14),del(20)(q11)[16]; 11/01: 46,XX,del(5)(q22q33),del(13)(q12q14),del(20)(q11)[20]
<b>525</b>	5151	01/01: 48,XY,+1,+3,-5,-14,-17,-22,+mar1(2x),+2mar[5]
<b>526</b>	1411	1/99: 46,XX[20]; 3/00: 46,XX[19]
<b>527</b>	1692	3/01: 46,XY,del(12)(p)[2]/46,XY[20]; 4/01: 46,XY[18]/45,X0,-Y[2]
<b>528</b>	1682	9/99: 46,XX[24]/45,XX,-7[5]/47,XX,+13[1]; 10/99: 46,XX[20]; 5/00: 46,XX[22]; 6/00: 46,XX[16]/46,XX,del(9p)[1]/46,XX,del(Xq)[1]/47,X0,-X,+13,+mar[2]; 8/00: 46,XX[20]/47,XX,del(9p),+mar[1]; 9/00: 46,XX[17]/45,XX,-5[1]; 12/00: 46,XX[20]; 3/01: 46,XX[19]/45,XX,-7,-13,+mar[1]
<b>529</b>	1928	10/00: 46,XX[21]
<b>530</b>	1702	5/98: 46,XY[19]/46,XY,del(6p)[1]; 11/98: 46,XY[17]; 10/99: 46,XY[20]/47,XY,+?[1]
<b>531</b>	799	11/96: 46,XY[20]; 12/98: 46,XY[18]/46,XY,del(8)(p12)[2]; 1/99: 46,XY[1]; 2/99: 46,XY[19]/46,XY,del(8)(p12)[1]; 6/99: 46,XY[20]; 10/99: 46,XY[20]; 3/00: 46,XY[20]/46,XY,del(8p)[1]; 12/00: 46,XY[19]/46,XY,del(11q)[1]
<b>532</b>	1544	2/99: 46,XY[20]
<b>533</b>	1399	8/98: 46,XY[17]; 1/99: 46,XY[20]; 12/99: 46,XY[20]; 3/00: 46,XY[17]/46,XY,der(13)[3]
<b>534</b>	5448	9/00: 46,XX[18]/45,XX,-5,del(7)(q),add(12q),-17,+mar[2]; 10/00: 42-43,XX,der(2q),-3 ,-4,del?(5)(q13q33),add(6p),del(7)(q22),add(12)(q24),-13,-17, +20,-21,+2-4mar[4]
<b>535</b>	1025	2/97: 46,XY[20]; 4/98: 46,XY[20]; 7/98: 46,XY[20]; 10/98: 46,XY[20]; 8/99: 46,XY[18]
<b>536</b>	1059	11/98: 46,XX[17]/46,XX,del(7)(q22?)[3]
<b>537</b>	1406	8/99: 46,XY[11]/46,XY,i(17)(q10)[9]; 3/00: 46,XY[10]/46,XY,iso(17)(q10)[10]
<b>538</b>	1740	1/00: 46,XY,der(7p),der(11p)[16]
<b>539</b>	1317	2/99: 46,XX[20]; 3/99: 46,XX[20]; 9/99: 46,XX[17]; 1/00: 46,XX[17]/46,XX,add(1q)[3]
<b>540</b>	1032	10/95: 46,XY[12]; 11/96: 46,XY[15]; 12/99: 46,XY[19]/46,XY,t(8;16)(p11;p13)[1]
<b>541</b>	1597	12/98: 46,XY[19]/47,XY,+?[1]; 4/99: 46,XY[29]/46,XY,del(16)(p10)[1]; 7/99: 46,XY[18]/46,XY,add(3q)[1]/46,XY,del(6p)[2]/45,XY,-7[1]/45,XY,-7,del(15q)[1]/43,XY,-7,del(15q)[1]/43,XY,-7[1]
<b>542</b>	5474	10/99: 46,XY[17]
<b>543</b>	1605	7/99: 46,XX[13]/46,X0,-X,+mar[7]

<b>544</b>	5901	10/99: 46,XY[20]
<b>545</b>	1028	4/96: 46,XY[21]
<b>546</b>	983	1/97: 46,XX[20]
<b>547</b>	820	3/94: 46,XY[1]/45,XY,-22[2]; 7/95: 46,XY[20]
<b>548</b>	1583	6/98: 46,XY[20]; 10/98: 46,XY[19]; 1/99: 46,XY[20]; 4/99: 46,XY[19]/46,XY,dup(q11),+iso(17q)[1]
<b>549</b>	1336	10/98: 46,XX[20]
<b>550</b>	1198	12/97: 46,XY[16]; 1/99: 46,XY[18]/42-45,+b[3]
<b>551</b>	569	11/96: 46,XY[20]
<b>552</b>	1150	10/96: 46,XY[25]
<b>553</b>	1271	4/96: 46,XX[21]; 11/96: 1/18: 46,XX[19]; 8/97: 46,XX[20]; 4/98: 46,XX[20]
<b>554</b>	1245	1/98: 46,XY[19]; 5/98: 46,XY[17]/46,XY,del(13q)[1]/46,XY,del(11q)[1]/46,XY,del(8p)[1]
<b>555</b>	690	3/94: 46,XY[22]
<b>556</b>	468	04/95: 46,XY[17]/46,XY,7q-[3]; 05/96: 46,XY[20]
<b>557</b>	2143	1/95: 46,XX[18]; 6/97: 46,XX[10]/46,XX,t(4,17)(q12;q25)[10]
<b>558</b>	1398	12/97: 46,XY[10]
<b>559</b>	1160	11/97: 46,XX[20]
<b>560</b>	1307	10/96: 46,XY[16]/45,XY,-21[4]; 9/97: 46,XY[15]/45,XY,-21[2]/45,XY,-20[2]/44,XY,-20,-21[1]
<b>561</b>	731	4/95: 46,XY[18]/46,XY,del(10p)[1]; 10/96: 46,XY[20]
<b>562</b>	1021	6/96: 46,XX[5]/46,XX,inv(3)(q21q26)[45]; 8/96: 46,XX,inv(3)(q21;q26)[6]/46,XX[14]
<b>563</b>	564	11/93: 46,XY[20]; 8/94: 46,XY[18]; 07/95: 46,XY[20]; 1/97: 46,XY[20]
<b>564</b>	964	7/94: 46,XY[23]; 11/94: 46,XY[18]; 4/09: 46,XY[20]; 11/96: 46,XY[17]/46,XY,der(3;3)(p25?6;12?3)[3]
<b>565</b>	986	2/96: 46,XX[21]
<b>566</b>	1733	1/96: 46,XY[17]/46,XY,t(11,19)[1]/46,XY,inv(16)(p13q22)[2]; 6/96: 46,XY[15]/46,XY,inv(16)(p13q22)[5]
<b>567</b>	969	3/94: 46,XY[14]/46,XY,-10,+mar[1]/47,XY,mar[1]
<b>568</b>	967	7/94: 46,XY[14]/45,X,-Y[2]; 11/94: 46,XY[14]/45,X0,-Y[3]; 1/95: 46,XY[20]; 8/95: 46,XY[15]; 5/96: 46,XY[20]
<b>569</b>	977	3/96: 46,XY[22]
<b>570</b>	1075	1/96: 46,XY[22]; 3/96: 46,XY[23]
<b>571</b>	789	5/95: 46,XX,-?,+12[3]
<b>572</b>	645	8/93: 46,XY[10]/46,XY,-7,-14,+t(7q;14),+7p[1]; 12/93: 46,XY[10]
<b>573</b>	798	2/94: 46,XY[15] 3/94: 46,XX[18]/46,XX,del(20p)[1]
<b>574</b>	846	1/95: 46,XX[19]
<b>575</b>	928	2/17: 46, XY,inv(3)(q21q26)[10]/46,idem,del(9)(q22)[18]
<b>576</b>	286	11/93: 46,XX[19]
<b>577</b>	664	2/94: 46,XY[14]

<b>578</b>	91	11/93: 46,XX[16]/47,XX,+mar[1]
<b>579</b>	951	11/93: 46,XY[20]/47,XY,+2[1]/45,X,-Y[1]/45,XY,-19[2]46,XY,t(9;22)[1]
<b>580</b>	973	3/94: 46,XX[15]
<b>581</b>	786	2/94: 46,XY[13]; 4/94: 46,XY[15]
<b>582</b>	739	5/93: 46,XY[20]
<b>583</b>	682	5/92: 46,XY,Ph1+[4]/46,XY[6]
<b>584</b>	856	8/94: 46,XX,del(5)(q22q33)[15]
<b>585</b>	445	8/89: 46,XY[32]; 10/89: 46,XY[41]
<b>586</b>	349	02/90: 46,XX,del(5)(q11.2q21/22)[11]/46,XX,del(5)(q11.2q21/22),t(17;17)(p11.2;q21)[17]/46,XX[3]
<b>587</b>	467	05/94: 46,XY[14]/46,XY,-10,+mar[1]/47,XY,+mar[1]
<b>588</b>	508	7/88: 46,XY[36]
<b>589</b>	8712	4/21: 46,XY[24]; 5/21: 46,XY[20]; 7/21: 46,XX[1]/46,XY[20]; 11/21: 46,XX,del(5)(q22q33)[1]/46XX[2]/46,XY[21]
<b>590</b>	6518	5/15: 46,XY,del(5q)(q22q33)[20]/46,XY[8] (PB); 02/21: 46,XY,del(5)(q22q33)[14]/46,XY[10]; 03/21: 46,XY,del(5)(q22q33)[11]/46,XY[13]
<b>591</b>	5489	10/12: 46,XX[27]; 8/19: 46,XX[23]
<b>592</b>	5766	6/12: 46,XX,del(5)(q14q34)[5]/46,XX[20]; 6/13: 46,XX,del(5)(q14q34)[24]/46,XX[3]
<b>593</b>	7704	4/18: 46,XX,del(5)(q22q33)[13]/46,XX[13] (PB); 2/19: 46,XX,del(5)(q22 q33)[14]/45,idem,der(7;17)(q10q10)[7]/46,XX[3] (PB); 6/19: 46,XY[24]; 7/19: 46,XY[24]; 9/19: 46,XX[1]/46,XY[21]; 10/19: 46,XX[2]/46,XY[12]; 12/19: 46,XY[16]; 3/20: 46,XY[24]
<b>594</b>	5513	7/13: 46,XX,del(5)(q22q33)[4]/46,XX[10]
<b>595</b>	5512	7/11: 46,XY,del(5)(q22q33)[21]; 8/16: 46,XY,del(5)(q22q33)[22]/ 46,XY[2]; 4/18: 46,XY,del(5)(q22q33)[24]; 4/19: 46,XY,del(5)(q22 q33)[28]
<b>596</b>	3442	3/14: 46,XX,del(5)(q14q22)[14]/47,XX,+8[1]/46,XX[13]; 1/18: 46,XX,del(5)(q14q33) [18]/46,XX[3] (PB); 10/18: 46,XX,del(5)(q14q33) [17]/idem,del(12)(p11)[6]/46,XX[1] (PB); 5/19: 46,XX,del(5)(q14q33)[18] /46,idem,del(12)(p11)[2]/46,XX[4]; 4/20: 46,XX,del(5)(q14q33)[11]
<b>597</b>	3830	9/09: 46,XX,del(5)(q14q34)[12]/47,XX,+8[2]/46,XX[2]; 2/12: 46,XX,del(5)(q22q33) [6]/46,XX[8]; 3/17: 46,XX,del(5)(q14q34)[5]/46,XX,+8[2]/46,XX[14]
<b>598</b>	1210	7/98: 46,XX[2]/46,XX,del(5)(q13q33)[18]; 12/06: 46,XX,del(5)(q13q13)[21]/45,idem,-7[2]; 4/11: 46,XX,del(5)(q14q33)[21]/ 46,XX[2]; 6/12: 46,XX,del(5)(q13;q33)[24]
<b>599</b>	3361	10/07: 46,XX,del(5)(q14q34)[5]/46,XX[10]; 5/08: 46,XX,del(5) (q14q34)[8]/46,XX[7]; 11/14: 46,XX,der(5)t(5;12)(q14;p13),der (12)t(5;12)(q31;p13) del(5)(q32q35)[20]
<b>600</b>	1977	11/01: 46,XX,del(5)(q14q34)[20]; 12/03: 46,XX,del(5)(q14q34)[25]; 5/04: 46,XX,del(5)(q14q34)[9]/46,XX[11]; 02/07: 46,XX[7]; 5/07: 46,XX[3]
<b>601</b>	6540	7/15: 46,XX,del(5)(q21q34)[6]/46,XX[14]
<b>602</b>	5815	12/12: 46,XY,del(5)(q31q34)[10]/47,idem,+21[1]/46,XY[19]
<b>603</b>	782	8/93: 46,XX[6]/46,XX,del(5)(q12q32)[3]/47,XX,+8[1]; 3/94: 46,XX,del(5)(q12;q32)[15]
<b>604</b>	6423	7/17: 40,XY,t(1;7)(p32;p22),del(5)(q14q33)[1]/46,XY[23]; 8/17: 46,XY[23]; 10/17: 46,XY[24]; 11/17: 46,XY[24]; 2/18: 46,XY[22]; 6/18: 46,XY[24]; 10/18: 46,XY[23]; 11/18: 46,XY[24]
<b>605</b>	3838	2/10: 46,XX,del(5)(q21q34)[16]/46,XX[2]

<b>606</b>	8165	1/19: 46,XX,del(5q)(q22;q33)[3]/46,XX[16] (PB)
<b>607</b>	6515	6/18: 46,XX,del(5)(q22q33)[20]/46,XX[2] (PB)
<b>608</b>	2920	5/07: 46,XX,del(5)(q15q33)[15]/46,XX[6]; 11/07: 46,XX,del(5) (q15q33)[26]/46,XX[4]; 6/08: 46,XX,del(5)(q15q33)[23]/46,XX[7]; 4/09: 46,XX,del(5) (q15q33)[15]/46,XX[17]
<b>609</b>	2340	11/06: 46,XX,del(5)(q14q34)[18]/46,XX[7]
<b>610</b>	1388	8/00: 46,XX,del(5)(q13q33)[13]/46,XX[7]; 5/01: 46,XX,del(5)(q13q33)[11]/46,XX[9]
<b>611</b>	8682	5/21: 46,XX[1]/46,XX,del(5q14q34)[20]
<b>612</b>	7988	4/18: 46,XX,del(5)(q13q35)[7]/46,XX[4]; 01/21: 46,XX,del(5)(q22q33)[13]/46,idem,+1,der(1;6)(q10,q10)[8]/46,XX[3]
<b>613</b>	5860	7/11: 46,XY,del(5)(q14q34)[20]; 06/20: 47,XY,+8[15]/46,XY[5]
<b>614</b>	8799	2/09: 46,XY,del(5)(q21q23)[9]/46,XY[7]
<b>615</b>	6027	2/15: 46,X,-Y[6]/46,XY[20]; 4/16: 46,XY,del(5)(q22q33)[18]/45,X,-Y[2]/46,XY[4] (PB); 3/17: 46,XY,del(5)(q22q33)[18]/46,XY[6] (PB); 8/17: 46,XY,del(5)(q22q33)[24]; 5/18: 46,XY,del(5)(q22q33)[19]/46,XY[5] (PB)
<b>616</b>	5615	9/14: 46,XX,del(5q)[7]/45,XX,del(5q),-7,der(17)[18]/46,XX[5]; 11/14: 46,XX,del(5q)[12]/46,XX,del(5q),del(7q)[7]/46,XX[1]
<b>617</b>	2718	9/06: 46,XX,del(5)(q14q34)[15]/46,XX[6]
<b>618</b>	6546	11/15: 46,XX,del(5)(q14q33)[21]/47,Idem,+8[4]/46,XX[1]; 01/16: 46,XY[1]/46,XY[23]; 01/17: 46,XY[26]
<b>619</b>	5498	7/19: 46,XX,del(5)(q22q33),del(20q)[24]
<b>620</b>	6583	5/16: 46,XY[20]; 8/17: 46,XY,del(5)(q21q34)[11]/45,XY,del(5)(q21q34),dic(14;16)(q10;p10)[2]/46,XY[8]; 11/19: 46,XY,del[5][q21q34][3]/46,XY,t(5;12)(p15;q21)[2]/46,XY[18]
<b>621</b>	8535	8/19: 46,XX,del(5)/q14q34)[2]/46,XX[19]
<b>622</b>	6526	6/15: 50,XX,+X,+1,del(5)(q14q33),+9,+11[2] (PB)
<b>623</b>	5398	5/13: 46,XX,del(5)(q14q33)[2]/46,XX[28]; 11/14: 46,XX,del(5)(q14q33)[10]/46,XX[15]
<b>624</b>	3208	8/09: 46,XY[22]; 3/10:46,XY[2]; 9/10:46,XY[12]; 3/12:46,XY[13](PB); 10/12: 46,XY[8]; 1/13: 46,XY, del(5)(q22q33)[2]/46,XY[14]; 8/17: 46,XY,del(5) (q22q33)[14]/46,XY[10] (PB); 2/18: 46,XY,del(5)(q22q33) [14]/46,XY[10] (PB); 6/19: 46,XY,del(5)(q22q33)[13]/46,XY[6]
<b>625</b>	7972	12/18: 46,XX[1]/46,XY[23]; 3/19: 46,XY[24]; 4/19: 46,XX,del(5)(q14q33)[2]/46,XY[22]
<b>626</b>	7161	9/16: 46,XY[24]; 11/16: 46,XY[27]; 4/17: 46,XY[24]; 8/17: 46,XY[24]
<b>627</b>	6359	5/15: 46,XX,del(5)q(q14q34)[3]/46,XX[17]
<b>628</b>	8334	12/14: 46,XX,del(5)(q14q34)[1]/46,XX[19]; 11/18: 46,XX,del(5)(q14q34)[3]/45,XX,del(5)(q14q34),-7[5]/46,XX[12]
<b>629</b>	7103	8/16: 46,XX,del(5)(q31)[11]/46,XX[14]
<b>630</b>	3932	1/17: 46,XX,del(5)(q14q34)[17]/50,XX,del(5)(q14q34),+8,+11,der(12)t(12;19)(p11;p13),+13,der(17)t(17;19)(p12;p13),der(19)(10qter->10q21::12p11->12p12 ::19p13->qter),+22[2]/49,XX,-3,del(5)(q14q34),der(8)(8pter->8q24::8q24->8q24::3q24->3q24->3q29::8q 24->8q24::3q13->3qter),+10,+11,der(12)t(12;19)(p11;p13),+13,der(17)t(17;19)(p12;p13),der(19)(10qter->10q21::12p11->12p11->12p12 ::19p13->19qter),+22[7]/46,XX[5]
<b>631</b>	7417	4/17: 46,XY,del(5)(q21q34)[13]/46,XY[7]
<b>632</b>	6472	02/14: 46,XY[10]/46,XY,del(5)(q14q34)[10]

<b>633</b>	5340	1/12: 46,XX,del(5)(q14q33)[22]/46,XX[3]; 8/12: 46,XX,del(5)(q14q33)[6]; 3/17: 46,XX,del(5)(q13q33)[13]/46,XX[7]
<b>634</b>	2374	1/04: 46,XX,t(1;3)(p33;14),del(5)(q14;34)[21]/46,XX[4]; 3/09: 46,XX,del(5)(q13q33)[2]/46,XX[23]
<b>635</b>	5317	5/11: 46,XY[25]; 10/11: 46,XY,del(5)(q21q35)[1]/46,XY[23], 9/12: 46,XY,del(5)(q21q35)[3]/46,XY,del(5)(q13q33)[1]/46,XY[26]; 10/13: 46,XY,del(5)(q22q33)[22]/46,XY[1]; 9/14: 46,XY,del(5)(q22q33)[5]/47,idem,+21[23]; 10/14: 47,XY,del(5)(q11q33),+21[28];
<b>636</b>	5834	1/13: 46,XY,del(5)(q14q33)[12]/46,XY[3]; 9/14: 49,XY,+1,del(5)(q14q34),+8,der(19)(19qter->19q11::19p12->19qter),+20,i(21)(q10)[4]/49,XY,+1,del(5)(q14q34),+8,i(13)(q10),der(19)(19qter->19q11::19p12->19qter),+20,i(21)(q10),ish,ider(13)(q10),del(13)(q14q14)[4]/46,XY[3]
<b>637</b>	5400	2/11: 46,XX,del(5)(q13q31)[26]; 9/11: 46,XX[18]; 3/12: 46,XX,del(5)(q13q31)[27]
<b>638</b>	5370	11/11: 46,XX[5]; 12/12: 46,XX,inv(11)(p15q23)del(11)(q13q22)[18]/46,XX[7]; 9/13: 46,XX,inv(11)(p15q23)del(11)(q13q22)[16]/46,XX[8]; 5/14: 46,XX,del(5)(14q34)[3]/46,XX,del(11)(q14q23)[14]/46,XX[4]
<b>639</b>	5345	2/14: 46,XX,del(5)(q13q33)[12]/46,XX[8]
<b>640</b>	3357	1/12: 46,XY,del(5)(q14q33)[4]/46,idem,del(20)(q11.2)[2]/46,XY[6]
<b>641</b>	3894	07/09: 46,XX,del(5)(q13q32)[22]/46,XX[3]; 3/10: 46,XX,del(5)(q13q34)[25]; 09/10: 46,XX[25]; 01/13: 44,X,dic(X;17)(q11;p11),del(5)(q14q33),der(13)t(11;13)[24]/46,XX[1]
<b>642</b>	5347	6/11: 46,XX,del(5)(q15q34)[18]/46,XX[7]; 4/12: 46,XX,del(5)(q15q34)[21]/46,XX[2]; 8/12: 46,XX,del(5)(q14q33)[23]/46,XX[2]
<b>643</b>	5366	6/11: 46,XX,del(5)(q13q33)[9]/46,XX[16]; 2/12: 46,XX,del(5)(q13q33)[14]/46,XX[13]; 10/12: 46,XX,del(5)(q13q33)[15]/46,idem,idic(X)(q13)[3]/46,XX[8]; 6/13: 46,XY[20]
<b>644</b>	5323	5/10: 46,XY,del(5)(q13q31)[3]/46,XY[1]; 12/10: 46,XY[25]; 6/11: 46,XY,del(5)(q13q31)[6]; 8/11: 46,XY,del(5)(q13q31)[20]/46,XY[4]; 3/12: 46,XY,del(5)(q13q33)[1]/46,XY,del(5)(q21q34)[19]/46,XY[5]; 4/13: 46,XY,del(5)(q13q31)[4]/46,XY,del(5)(q31q34)[5]/46,XY[16]
<b>645</b>	5367	10/11: 46,XX,del(5)(q14q34)[20]; 5/12: 46,XX[2]/46,XX,del(5)(q14q34)[3]; 2/13: 46,XX[2]
<b>646</b>	1942	10/02: 46,XX,del(5)(q14q34)[14]/46,XX[1]; 5/04: 46,XX,del(5)(q14q34)[12]/46,XX[13]
<b>647</b>	3428	06/09: 46,XY,del(5)(q22q33)[16]/46,XY[6]; 2/12: 46,XY,del(5)(q22q33)[20]/46,XY[1]
<b>648</b>	3839	12/08: 46,XX[8]; 2/09: 46,XX[6]; 11/10: 46,XX,del(5)(q14q33)[22]/46,XX[2]
<b>649</b>	3084	10/06: 46,XX,del(5)(q22q33)[11]
<b>650</b>	5342	6/11: 46,XX,del(5)(q14q33)[3]/46,XX[2]; 6/12: 46,XX,del(5)(q14q34)[6]
<b>651</b>	3747	6/08: 46,XX,del(5)(q12q33)[24]; 8/10: 46,XX,del(5)(q13q33)[21]/46,XX[1]
<b>652</b>	2378	10/04: 46,XY[21]; 9/08: 46,XY,del(5)(q14q34)[25]
<b>653</b>	4249	8/09: 46,XX,del(5)(q13q33),del(6)t(6;?)(q?1 5;?)[24]/46,XX[1]
<b>654</b>	2154	12/03: 46,XY,del(5)(q21q34)[20]/46,idem,inv(3)(q13q25)[5]; 4/05: 46,XY,del(5)(q14q34)[25]
<b>655</b>	3862	3/10: 46,XY,del(5)(q13q34)[6]
<b>656</b>	5337	9/10: 46,XX,del(5)(q13q33)[23]/46,XX[2]
<b>657</b>	5354	1/11: 46,XX[1]/46,XX,del(5)(q13q31)[1]

<b>658</b>	2946	3/09: 46,XX[20]
<b>659</b>	1617	6/02: 46,XX,del(5)(q13q33)[3]/46,XX[2]; 2/03: 46,XX,del(5)(q13 q14)[15]; 6/04: 46,XX,del(5)(q14q34)[24]/47,XX,+8[1]; 12/04: 46,XX,del(5)(q13q34) [24]; 7/06: 46,XX,del(5)(q13q34)[21]; 10/07: 46,XX,del(5)(q14q43)[21]/46,XX[22]
<b>660</b>	3360	3/09: 46,XX,del(5)(q14q33)[21]/46,XX[2]; 7/09: 46,XX,del(5)(q14q33)[24]; 9/09: 46,XX,del(5)(q14q33)[24]; 1/10: 46,XX,del(5)(q14q33)[22]; 7/10: 46,XX,del(5)(q14; q33)[13]/47,idem,+8[2]/47,idem,+del(5)(q31q33)[2]/47,idem,+del(5)(q31q33)[2]
<b>661</b>	3278	3/10: 46,XX,del(5)(14q33)[20]/46,XX[2]
<b>662</b>	3809	5/09: 45,XX,-7[23]
<b>663</b>	2311	6/04: 46,XX,del(5)(q14q34)[15])/46,XX[4]; 12/04: 46,XX,del(5)(q14q34)[14]/46,XX [11]
<b>664</b>	1641	9/05: 46,XY[2]/46,XY,del(5)(q22q33),del(9)(q22)[15]/45,X,-Y[5]
<b>665</b>	3873	5/08: 44-45,XY,add(4)(p16),del(5)(q14q34),-7.add(7)(p14),add(11)(q23),-12,-15,add (16)(q24),-19,add(19)(p13),+22,+der(?)(?;1)(?;p31),+1,-2mar[cp15]
<b>666</b>	3867	10/07: 46,XX,del(5)(q15q34)[17]/46,XX[3]
<b>667</b>	1817	10/00: 46,XX[16]/46,XX,del(5)(q22q33)[2]; 1/01: 46,XX[18]/46,XX,del(5)(q22q33)[3]
<b>668</b>	190	05/01: 46,XX,del(5)(q22q33)[9]/46,idem,del(12)(p12)[11]
<b>669</b>	2584	4/05: 46,XX,del(5)(q22q33)[14]/46,XX[3]; 8/05: 46,XX,del(5)(q22 q33)[20]/46,XX[2]; 3/06: 46,XX,del(5)(q22q25)[20]/46,XX[2]; 6/06: 46,XX,del(5) (q22q33)[17]/47,idem, +mar[2]/46,XX[3]; 10/06: 46,XX[1]/46,XX,del(5)(q22q33)[20]/46,idem,del(9)(p22), add(22)(p11)[2]; 1/07: 46,XX,del(5)(q22) [20]/46,idem,del(9)(p22),add(22)(p11)[1]/ 46,idem,add(14)(p11)[2]
<b>670</b>	2027	2/02: 46,XY,del(5)(q13q31)[13]/46,XY[7]; 12/03: 46,XY,del(5)(q21q34)[19]/46,XY[1]; 6/04: 46,XY,del(5)(q14q34)[2]/46,XY[23]; 12/04: 46,XY,del(5)(q14q34)[20]/46,XY[4]
<b>671</b>	1600	10/99: 46,XX[3]/46,XX,del(5)(q13q33)[17]; 5/06: 46,XX,del(5)(q14q33)[14]/46,idem, del(9)(q22)[3]
<b>672</b>	2028	6/01: 46,XY,del(5)(q15q33)[2]/47,XY,del(5)(q15q33),+21[2]; 8/01: 46,XY,del(5)(q15 q31)[17]/46,XY[3]
<b>673</b>	1920	4/02: 46,XX[16]/46,XX,del(5)(q22q33)[3]/47,XX,+8[2]; 2/03: 46,XX[7]/46,XX,del(5) (q22q33)[13]/46,idem,del(12)(p11)[2]/47,XX,+8[1]; 7/03: 46,XX[1]/46,XX,del(5)(q22 q32)[19]/47,XX,+8[2]; 8/05: 47,XX,del(5)(q22q33),+mar[2]/47,XX,add(3)(q11),del(5) (q22q33),del(7)(q?32),i(21)(q11),+21[20]; 11/05: 47,XX,add(3)(q11),del(5)(q22q33), del(7)(q?32),i(21)(q10),+mar[14]
<b>674</b>	2683	5/05: 46,XX,del(5)(q14;q34)[12]/46,XX[13]
<b>675</b>	1960	6/01: 46,XY,del(5)(q13q33)[19]/46,XY[2]; 10/01: 46,XY,del(5)(q13q31)[6]/46,XY[1]
<b>676</b>	1997	5/02: 46,XX[3]/47,XX,+8[1]/46,XX,del(5)(q12q33)[17]
<b>677</b>	1038	8/02: 46,XX,inv(9)(p11q13)[18]/46,idem,del(5)(q22q33)[3]/46,idem,add(5q)[1]; 1/04: 46,XX,del(5)(q14q34),inv(9)(p11q12) [9]/46,XX,inv(9)(p11q12)[1]
<b>678</b>	1933	6/01: 46,XX,del(5)(q13q31)[4]
<b>679</b>	1780	5/03: 46,XX,del(5)(q13q33)[3]
<b>680</b>	2987	12/00: 46,XX,del(5q)[15]/46,XX[4]
<b>681</b>	1461	11/99: 46,XX,del(5)(q13q33)[20]/46,XX,del(5)(q13q33),t(2,5)[1]/46,XX,del(5) (q13q33),del(6q)[1]
<b>682</b>	976	8/97:46,XX,del(5)(q13q33)[18]/46,XX[2]; 1/98:46,XX,del(5)(q13q 33)[10]; 2/98: 46,XX,del(5)(q13q33)[12]/46,XX[24]; 6/98: 46,XX[19]/46,XX,del(5)(q13q33)[1]; 9/98:

		46,XX,del(5)(q13q33)[3]/46,XX,del(5)(q13q33),+der(8;11)(q10;q10),der(8;17)(q10;q10),-8,-17[17]
<b>683</b>	1476	7/98: 46,XX,del(5)(q13q33)[20]
<b>684</b>	1322	7/97: 46,XY[1]/46,XY,del(5)(q13q33)[14]; 6/98: 46,XY[1]/46,XY,del(5)(q13q33)[3]/46,XY,del(5)(q13q33),add(21q)[15]/47,XY,del(5)(q13q33), add(21q),add(21q)[1]
<b>685</b>	1280	11/96: 46,XY[19]/46,XY,del(5)(q13q33)[1]
<b>686</b>	763	3/93: 46,XX[10]
<b>687</b>	825	11/94: 46,XY[10]/46,XY,del(5)(q13;q33)[5]; 11/95: 46,XY,del(5)(q13q33)[16]/46,XY[4]
<b>688</b>	822	2/93: 46,XX[12]/46,XX,del(5)(q22;q33)[3]; 10/93: 46,XX[7]/46,XX,del(5)(q22;q33)[14] 11/93: 46,XX,del(5)(q22q33)[1]/46,XX[29]; 12/93: 46,XX[16]; 3/94: 46,XX[22]
<b>689</b>	681	8/93: 45,XX,-5,-7,-11,-17,+mar(1),+mar(2),del(5)(q12;q33)[3]/ 45,XX,-5,-7,-12,-17, +mar(1),+mar(2),del(5)(q12;q33)[3]/47,XX,-5,-7,+8,-17,+mar(1),+mar(2),del(5)(q12;q33)[2]
<b>690</b>	7428	11/19: 46,XY,del(7)(q22)[15]/46,XY[9]; 6/20: 46,XY,del(7)(q22)[8]/46,XY[14]
<b>691</b>	7498	3/17: 46,XY,(del7)(q11)[17]/46,XY[10] (PB); 7/17: 46,XY,del(7)(q11)[8]/46,XY[16]; 4/18: 46,XY[24]; 3/19: 46,XY[24]; 10/19: 46,XY[23]
<b>692</b>	9115	7/18: 46,XX[24]; 8/18: 46,XX[24]; 10/18: 46,XY[24]; 11/18: 46,XY[26]; 12/18: 46,XX, del(7)(q32),del(11)(p15)[4]/46,XY[20]; 2/19: 46,XX,del(7)(q32),del(11)(p15)[2]/46, XX[2]/46,XY[28]; 3/19: 46,XX,del(7)(q32)[4]/46,idem,del(11)(p15)[2]/46,XX[17]/46,XY[5]
<b>693</b>	6576	9/12: 46,XX,del(7)(q11)[7]; 4/13: 47-50,XX,+1[9]/46,XX,der(3q)[12] /46,XX,del(5)(q14q22),del(7)(q11),+8[14]/45,XX,-15[8]/46,XX, der(18),del(20) (q11),+2-5mar[30]
<b>694</b>	1436	11/10: 46,XX[23]; 2/11: 46,XX[15]
<b>695</b>	2787	8/06: 46,XY,del(7)(q21;q33)[3]/46,idem,?t(10;13) (q23;q14)[3]/46,idem,t(8;12) (q23;p13)[2]/46,XY[1]
<b>696</b>	5434	6/00: 46,XX[17]/48,XX,+6,+11[1]/46,XX,del(12q)[1]/46,XX,del(8p)[1]; 1/02: 46,XX[1]/46,XX,del(7)(q22)[19]
<b>697</b>	1423	4/98: 46,XY[17]; 6/98: 46,XY[18]; 8/98: 46,XY[7]/46,XY,add(19)(q13)[7]/46,XY, t(2;21)(q32?;q22)[7]; 12/98: 46,XY,t(17;19)(p11;q13)[2]
<b>698</b>	7479	01/16: 46,XX,del(11)(q23)[17]/46,XX[7]; 6/16: 46,XX,del(11)(q23)[5]/46,XX[5] (PB); 07/16: 46,XX,del(11)(q23)[5]/47,XX,+del(11)(q23)[2]/46,XX[7]; 10/16: 46,XX,[24]; 1/17: 46,XX,del(11)(q23)[7]/46,XX[18]; 4/17: 46,XX,del(11)(q23)[3]/46,idem,der(1)t(1;3)[9]/46,XX[12]; 6/17: 46,XY[24]; 7/17: 46,XY [24]; 8/17: 46,XX,t(2;8)(p11;q11)[23]/46,XY[2]; 11/17: 46,XY[24]; 2/18: 46,XY[24]; 7/18: 46,XX,add(1)(p36),del(11)(q21),del(12)(p11),add(16)(p13)[8]/ 46,XY[16]; 4/19: 46,XX,add(1)(p36),del(11)(q21),del(12)(p11),add(16)(p13)[24]; 8/19: 46,XY[24]; 9/19: 46,XX,add(1)(p36),del(11)(q21),t(12;16) (p12;p13)[23]/46,XX[2]
<b>699</b>	8058	9/15: 46,XY,del(11)(q13q25)[9]/46,XY[11]
<b>700</b>	7146	2/15: 46,XY,del(11)(q14q23)[20]
<b>701</b>	3699	8/10: 46,XX[22]; 1/11: 46,XX[20]; 2/13: 46,XX[19]
<b>702</b>	2345	2/04: 46,XY[5]/46,XY,del(11)(q23)[17]
<b>703</b>	1860	8/98: 46,XY[18]/46,XY,del(11)(q23),del(18)(q11)[1]/46,XY, del(13q?)[1]; 01/01: 46, XY[18]/46,XY,del(10q)[1]/ 46,XY,del(11)(q23)[2]
<b>704</b>	1862	5/01: 46,XX[22]; 9/01: 47,XX,+8[1]/46,XX[20]

<b>705</b>	1755	2/00: 46,XY[20]; 5/00: 46,XY[20]; 8/00: 6,XY[19]/47,XY,+8[1]/47,XY,+18[1]; 2/01: 46,XY[20]/47,XY,+8[1]
<b>706</b>	1214	9/98: 46,XX,del(11)(q14?)[20]
<b>707</b>	916	7/94: 46,XX,del(11)(q21;q23)[15]
<b>708</b>	1415	2/12: 46,XX[23]; 4/12: 46,XY[23]; 1/13: 46,XY[23]
<b>709</b>	1931	4/01: 46,XX[18]/46,XX,del(2p)[1]/46,XX,add(11p)[1]; 10/01: 46,XX[19]/46,XX,del(7q)[1]/46,XX,der(1,13)[1]/46,XX,del(5p)[1]; 6/02: 46,XX[22]; 11/02: 46,XX[21]
<b>710</b>	1946	3/02: 46,XY[1]/46,XY,del(7q)[8]/46,idem,del(2p),del(12p)[11]; 11/02: 46,XY[6]/46,XY,del(7q)[6]/46,idem,del(12p)[8]/46,idem,del(12p),del(12p)[2]
<b>711</b>	2076	1/02: 46,XY[20]; 10/02: 46,XY[20]
<b>712</b>	1420	8/00: 46,XX[10]
<b>713</b>	8376	1/20: 46,XX,t(8;12)(q24;q11),add(17)(p11),-20,+mar[23]/46,XX, del(20)(q11)[1]; 2/20: 46,XX[24]; 3/20: 46,XX,t(8;12)(q24;q11),add(17)(p11),der(20) [19]/46,XX[5]; 4/20: 46,XX,t(8;12)(q24;p11),add(17)(p11),der(20)[20]/46,XX[4]
<b>714</b>	8818	1/21: 46,XX,del(20)(q11q13)[16]/46,XX[9]
<b>715</b>	5651	2/12: 46,XX,del(20)(q11q13)[15]/46,XX[9]
<b>716</b>	7377	4/19: 46,XX,del(20)(q11)[29]/46,XX[2]
<b>717</b>	8144	9/18: 46,XY,del(20)(q13.1)[15]
<b>718</b>	7247	2/17: 47,XY,+del(20)(q11q13),del(20(q11q13)[14]/46,XY[6]
<b>719</b>	6471	10/14: 46,XX,del(20)(q11)[24]/46,XX[14]; 1/15: 46,XX,del(20)(q11)[28]/46,XX[2]; 10/15: 46,XX,del(20)(q11)[12]/50,XX,+X,+10,+11,+19,del(20) (p11)[7]/46,XX[14]
<b>720</b>	3351	8/08: 46,XY,del(20)(q12q13)[1]/46,XY[23]; 10/08: 46,XX[18]/46,XY[5]; 12/08: 46,XX [17]/46,XY[5]; 1/09: 46,XX[24]; 2/09: 46,XX[21]/46,XY[2]; 4/09: 46,XX[20]/46,XY[5]; 6/09: 46,XX[22]/46,XY[2]
<b>721</b>	3291	7/07: 46,XX,del(20)(q11)[5]/46,XX[17]; 1/08: 46,XX[22]; 07/08: 46,XX,del(20)(q11) [1]/46,XX[19]
<b>722</b>	3773	3/09: 46,XX[20]
<b>723</b>	3172	5/07: 46,XY,del(20)(q11)[23]
<b>724</b>	2406	1/05: 46,XY[1]/46,XY,del(20)(q11)[21]; 4/06: 46,XY,del(20)(q11)[22]
<b>725</b>	2236	10/05: 46,XY,?i(2)(q10),del(3)(p13p21),-4,del(5)(q13q33),-7,+9,del(18)(q11),inc [cp23]/46,XY[2]
<b>726</b>	1606	2/99: 46,XY[17]/47,XYY[1]/47,XY,+8[1]/47,XY,+20[1]
<b>727</b>	1119	7/97: 46,XY[18]; 9/97: 46,XY[20]; 11/98: 46,XY[21]
<b>728</b>	1057	6/96: 46,XY,del(20q)[20]; 8/96: 46,XY[3]/46,XY,del(20)(q11)[17]
<b>729</b>	8782	7/21: 46,XY[24]; 8/21: 46,XY[24]
<b>730</b>	5630	10/12: 46,XY[24]; 2/13: 46,XY[25]; 6/13: 46,XY[23]
<b>731</b>	9113	1/18: 46,XX,t(3;21)(q26;q22)[2]/46,XX[22]; 2/18: 46,XX[24]; 1/19: 46,XX,t(3;21) (q26;q22)[1]/46,XX[23]; 4/19: 46,XX,t(3;21)(q26;q22)[19]/46,XX[5]; 10/19: 46,XX, t(3;21)(q26;q22)[2]/46,XX[22]; 1/20: 46,XX,t(3;21)(q26;q22)[24]; 3/20: 46,XX,t(3;21) (q26;q22)[21]/46,XX[3]; 4/20: 46,XX,t(3;21) (q26;q22)[26]
<b>732</b>	8516	12/19: 46,XX,inv(3)(q21q26)[20]/46,XX[4]; 2/20: 46,XX[23]; 3/20: 46,XX[24]
<b>733</b>	5309	4/11: 46,XX,t(3;21)(q26;q22)[6]

<b>734</b>	8050	4/15: 46,XY,t(3;10)(q26;q31),del(5)(q31q35)[6]/46,XY[5]
<b>735</b>	2315	11/07: 46,XY,t(3;9)(q21;p22)[15]/46,XY[6]
<b>736</b>	5724	8/12: 46,XY,t(3;21)(q26;q22)[8]/46,XY[15]; 10/13: 46,XY[23]; 4/14: 46,XY,t(3;21)(q26;q22)[17]/46,XY[11]
<b>737</b>	2175	3/99: 46,XX[20]
<b>738</b>	2500	2/03: 46,XY[9]/42,XY,-7,-12,-14,add(15)(p11),-17,-18,-19,+2mar[9]/43,idem,der(12,14)(q11,q11)[4]
<b>739</b>	1433	7/98: 46,XY[7]/46,XY,t(3;12)(q26;p12)[7]; 8/99: 46,XY,t(3;12)(q26,p12),del(13q)[10]/46,XY[10]
<b>740</b>	921	11/94: 46,XY[4]/46,XY,inv(3)(q21q26)[11]; 12/94: 46,XY[4]/46,XY, inv(3)(q21q26)[11]; 1/95: 46,XY[17]/46,XY,inv(3)(q21q26)[1]; 2/95: 46,XY[18]; 3/95: 6,XY[18]/46,XY,inv(3)(q21q26)[2]; 5/95: 46,XY[21]/46,XY,inv(3)(q21q26)[3]
<b>741</b>	7355	3/17: 46,XY[23]; 6/17: 46,XY[24]; 8/17: 46,XY[24]; 11/17: 46,XY[24]
<b>742</b>	7984	1/17: 46,XY[38]
<b>743</b>	7030	1/16: 46,XY[24]; 11/19: 46,XY[23]
<b>744</b>	7701	5/18: 47,XY,+8[23]/46,XY[1] (PB); 6/18: 47,XY,+8[4]/46,XY[20]; 8/18: 46,XY[23]; 7/18: 47,XY,+8[4]/46,XY[20]; 7/18: 46,XY[24]; 12/18: 46,XY[24]
<b>745</b>	7824	6/17: 47,XY,+8[2]/46,XY[18]
<b>746</b>	3751	3/10: 47,XY,+8[23]; 4/10: 47,XY,+8[28]; 6/10: 46,XY[6]/46,XX[18]; 7/10: 46,XX[25]; 8/10: 46,XX[23]/46,XY[1]; 5/11: 46,XX[22]/ 46,XY[1]; 7/11: 47,XY,+8[3]/46,XY[1]/46,XX[20]; 3/12: 46,XX[22]; 11/12: 46,XX[23]
<b>747</b>	2992	7/06: 46,XY[3]/47,XY,+8[18]/48,idem,+19[1]48,idem,+21[1]; 8/06: 46,XY[23]; 11/06: 46,XY[24]; 2/07: 46,XY[24]; 3/07: 46,XY[23]; 11/07: 46,XY[23]
<b>748</b>	3613	10/09: 46,XY[21]; 12/09: 46,XY[23]; 01/10: 46,XY[23]; 4/10: 46,XY[24]
<b>749</b>	6092	11/14: 46,XY[27]; 5/15: 46,XY[26]; 10/15: 46,XY[25]
<b>750</b>	7076	9/06: 47,XY,+8[15]/46,XY[11]; 10/16: 46,XY[1]/46,XX[23]; 11/16: 46,XX[17]; 12/16: 46,XX[24]; 4/17: 46,XX[23]; 9/17: 46,XX[24]; 12/17: 46,XX[4]; 46,XX[24]; 2/18: 46,XX[24]
<b>751</b>	7736	10/17: 47,XY,+8[24]; 12/17: 46,XY[5]/46,XX[19]; 1/18: 46,XY,+8,t(8;16)(p11;p13)[9]/46,XY[6]/46,XX[9]; 2/18: 48,XY,+8,t(8;16)(p11;p13),+19 [10]/46,XY[13]/46,XX[1] (PB)
<b>752</b>	7127	7/16: 46,XY[25]
<b>753</b>	6348	11/14: 46,XX[29]; 2/15: 46,XX[27]; 7/15: 46,XX[28]; 9/15: 46,XX[26]
<b>754</b>	6607	2/15: 47,XY,+8[2]/48,XY,+8,+19[19]; 7/15: 48,XY,+8,+21[27]
<b>755</b>	6087	2/14: 46,XY[25]
<b>756</b>	6030	1/14: 47,XX,+8[2]/46,XX,t(5;14)(q34;q32)[2]/46,XX[20]
<b>757</b>	3242	5/08: 47,XY,+8[7]/46,XY[18]; 9/08: 47,XY,+8[15]/46,XY[8]; 10/08: 46,XX[23]; 4/09: 46,XX[24]; 7/09: 46,XX[23]; 10/09: 46,XX[24]; 11/13: 46,XX[1]/ 47,XY,+mar[1]/46,XY[22]
<b>758</b>	5631	5/12: 47,XY,+8[4]/46,XY,del(20)(q11)[2]/46,XY[18]; 1/13: 46,XY,del(20)(q11)[20]/46,XY[3]; 7/13: 46 XY,del(20)(q11)[8]/46,XY[19]
<b>759</b>	4054	7/12: 47,XX,+8[20]/46,XX[3]; 9/12: 47,XX,+8[19]/46,XX[3]; 10/12: 47,XX,+8[23]
<b>760</b>	2830	10/08: 47,XY,+8[9]/46,XY[8]; 5/10: 47,XY,+8[8]/46,XY[14]; 3/11: 47,XY,+8[14]; 08/12: 46,XY[20]

<b>761</b>	5325	6/10: 47,XY,+8[20]; 12/10: 46,XY[2]/47,XY,+8[5]/48,XY,+8,+19[9]; 5/11: 49,XY,+8, +19,+21[23]/49,XY,idem,del(5)(q31q33)[2]
<b>762</b>	4017	4/10: 46,XY,+8[2]/46,XY[20]
<b>763</b>	4035	6/10: 47,XY,+8[2]/46,XY[19]; 11/10: 46,XY[5]/46,XY,del(20)(q11.2)[3]
<b>764</b>	5319	11/10: 46,XY[5]/46,XY,del(20)(q11.2)[8]
<b>765</b>	3002	8/07: 47,XX,+8[3]/46,XX[21]
<b>766</b>	3262	2/10: 47,XX,+8[2]/46,XX[20]
<b>767</b>	3681	7/08: 47,XX,+8[5]/46,XX[4]; 2/09: 47,XX,+8[22]; 7/09: 47,XX,+8[23] (KM); 7/09: 47, XX,+8[12]/46,XX[8] (PB)
<b>768</b>	3121	3/07: 46,XY[5]/47,XY,+8[18]; 7/07: 47,XY,+8[22]/46,XY[1]; 01/08: 47,XY,+8[18]/46, XY[5]; 5/08: 46,XY[24]; 10/08: 46,XY[23]; 2/08: 47,XY,+8,add(16) (p13)[8]/48,idem, +8[12]/48,idem,del(6q)[2]/46,XY[2]; 3/09: 48,XY,+8,+8,add(16q)[9]/46,XY[3]
<b>769</b>	3301	11/07: 46,XX[14]/47,XX,+mar[1]; 3/08: 46,XX[23]; 9/08: 46,XX[23]
<b>770</b>	3282	3/08: 47,XY,+8[6]/46,XY[17]; 6/08: 47,XY[3]/46,XY[21]
<b>771</b>	3069	10/06: 47,XY,+8[3]/46,XY[21]
<b>772</b>	2549	7/05: 47,XY,+8[10]
<b>773</b>	4062	06/05: 47,XX,+8[24]/46,XX[1]
<b>774</b>	2971	1/06: 46,XY[8]/47,XY,+8[15]; 2/06: 46,XY[21]; 3/06: 46,XY[20]; 5/06: 46,XY[22]; 6/06: 46,XY[21]
<b>775</b>	2719	3/05: 47,XX,+8[22]/46,XX[1]; 5/05: 47,XX,+8[20]/46,XX[1]
<b>776</b>	2589	3/05: 46,XY[19]/47,XY,+8[3]/48,XY,+8,-9,+2mar[1]
<b>777</b>	2207	1/04: 46,XY[20]; 3/04: 46,XY[20]; 11/04: 46,XY[17]
<b>778</b>	1024	7/98: 46,XY[3]/47,XY,+8[17]; 12/98: 47,XY,+8[20]
<b>779</b>	1522	11/98: 46,XY[18]/47,XY,+8[2]; 1/99: 46,XY[6]/47,XY,+8[14]; 3/99: 46,XY[14]/47,XY, +8[3]/46,XY,del(6q)[3]; 4/99: 46,XY[21]
<b>780</b>	1337	12/97: 46,XX[11]; 4/98: 46,XX[20]; 7/98: 46,XX[20]
<b>781</b>	1345	12/97: 47,XX,+8[20]
<b>782</b>	9245	8/22: 47,XY,der(4),add(11)(q23),+mar[11]/47,idem,add(1)(p36)[10]/47,idem,add (19)(q13)[5]
<b>783</b>	7905	5/18: 46,XX,der(4;6;21)t(4;6)(p16;p22)t(4;21)[17]/46,XX[5]; 6/18: 46,XY[24]; 8/18: 46,XY[24]; 9/18: 46,XY[21]/46,XX[2]; 11/18: 46,XY[24]; 12/18: 46,XY[24]; 5/19: 46,XY [24]; 6/19: 46,XY[24]; 7/19: 46,XY[16]
<b>784</b>	9118	3/20: 46,XX[24]
<b>785</b>	3662	9/09: 46,XX,del(5)(q22q33)[11]; 10/14: 46,XX,del(5)(q14q33)[3]/45,idem,idic,(X) (q11),-7[22]/46, XX; 08/15: 46,XX,del(5)(q14q33)[5]/45,idem,idic(X) (q11)[5]/45, idem,idic(X)(q11),-7[15]/46,XX[3]; 10/15: 46,XX,del(5)(q14q33) [6]/45,idem,idic(X) (q11),-7[17/46,XX[2]; 11/15: 46,XX[26], 1/16: 46,XX[1]/ 46,XY[23]; 6/20: 46,X,idic(X) (q11),del(5)(q14q33)[4]/46,XY[22]
<b>786</b>	1319	8/97: 46,XY[20]
<b>787</b>	8427	1/20: 46,XY[24]
<b>788</b>	8297	5/20: 46,XX,del(5)(q22q34)[2]/46,idem,+21[7]/46,XX[15]; 11/20: 47,XX,del(5)(q22 q34),+21[10]/47,idem,del(X)(q24)[9]/46,XX[5]; 12/2020: 46,XX,del(5)(q22q34)[2]/47 ,idem,+21[5]/47,idem del(x)(q24)[9]/46,XX[8]

<b>789</b>	7839	8/20: 47,XY,del(5)(q22q33),+21[20] (PB); 1/22: 47,XY,del(5)(q14q34),+21[17]/46,XY [3]
<b>790</b>	7419	5/17: 46,XY,del(5)(q22q33)[3]; 8/17: 46,XY,del(5)(q22q33)[20] /46,XY[4]; 10/17: 46,XY[24]; 12/17: 46,XY[24]; 4/18: 46,XY[21]; 8/18: 46,XY[23]
<b>791</b>	3853	1/07: 46,XX,del(5)(q13;q34),del(11)(q22)[4]/46,XX[11]
<b>792</b>	9006	12/21: 46,XX[24], 12/21: 46,XX[23]
<b>793</b>	8215	12/18: 46,XY[24]; 1/19: 46,XY[24]; 2/19: 46,XY[24]; 5/19: 46,XY[24]
<b>794</b>	5717	2/12: 46,XX,del(11)(q22q25)[3]/46,XX,del(5)(q14q34),del(11) (q22q25)[9]/46,XX[9]
<b>795</b>	2622	1/05: 46,XY,+1,der(1;7)(q10;q10)[8]/46,XY[14]; 8/05: 46,XY[22]; 8/06: 46,XY[22]
<b>796</b>	8230	3/19: 46,XY[24]; 4/19: 46,XY[24]; 5/19: 46,XY[24]; 8/19: 46,XY[24]; 11/19: 46,XY[23]
<b>797</b>	7139	6/16: 46,XY,t(2;3)(p21;q26)[21]; 9/16: 46,XY[24]; 11/16: 46,XY,t(2;3)(p21;q26)[19]/ 46,idem,del(17)(p11)[2]/46,XY[3]; 12/16: 46,XY[24]; 3/17: 46,XY[24]; 9/17: 46,XY[24]
<b>798</b>	1147	6/02: 49,XY,+9,+13,+13[1]/46,XY,11p+[1]46,XY,del(10p)[1]/46,XY[19]; 11/03: 45,XY, -20[2]/46,XY[21] ; 2/05: 46,XY[22]; 3/06: 46,XY[22]; 1/14: 46,XY[27]
<b>799</b>	6185	8/14: 46,XY,?inv(11)(q21q25)[26]
<b>800</b>	2964	4/05: 46,XY,+1,der(1;7)(q10;p10)[10]/46,XY[6]
<b>801</b>	8903	5/21: 45,XY,-7[10]/45,XY,-7,der(8)(8pter->8p22::8q11->8p22::8q11->::8q24->8q11: :8q24->8q24::8q24->8qter)[14]
<b>802</b>	7924	5/17: 46,XY[24]; 6/17: 46,XY[24]; 7/17: 46,XY[24]; 10/17: 46,XY[24]; 11/17: 46,XY [24]; 2/18: 46,XY[23]; 5/18: 46,XY[24]; 8/18: 46,XY[24]; 3/19: 46,XY[24]; 5/19: 46,XY [24]; 3/20: 46,XY[23]
<b>803</b>	8746	11/18: 46,XY,t(8;12)(p11;q13)[5]/46,X,i(Y)(p10),t(8;12)(p11,q13)[6]/46,XY[9] 01/20: 46,XY,t(8;12)(p11;q13)[6]/46X,i(Y)(p10),t(8;12)(p11,q13)[9]/46,XY[5]
<b>804</b>	8620	7/20: 45,XY,-7[6]/46,XY,i(17)(q10)[4]
<b>805</b>	1909	6/01: 46,XX[2]/46,XX,del(13)(q13q31)[18]
<b>806</b>	6593	8/20: 46,XY,del(5)(q14q34)[2]/45,X,-Y[6]/46,XY[12]
<b>807</b>	7601	7/18: 47,XX,+8[24]; 8/18: 46,XY[22]; 9/18: 46,XY[24]; 10/18: 46,XY[26]; 1/19: 46,XY [24]; 5/19: 46,XY[25]
<b>808</b>	6122	3/14: 46,XY,+1,der(1;7)(q10;q10)[26]/46,XY[3]
<b>809</b>	5598	7/12: 46,XX,t(4;6)(p14,p21)[24]
<b>810</b>	8514	11/16: 46,XX[26] (PB); 3/17: 46,XX[25]; 8/17: 46,XX[23]; 11/17: 46,XX[24]; 10/19: 46, XX[24]; 11/19: 46,XX[24]; 2/20: 46,XX[5]; 3/20: 46,XX[24]; 5/20: 46,XX[23]; 6/20: 46, XX[24]
<b>811</b>	8411	8/19: 45,X,-Y[3]/45,X,-Y,del(5)(q22q33)[13]/46,XY[8]
<b>812</b>	8673	6/20: 48,XX,+der(11),+der(11)[15]/46,XX[10]
<b>813</b>	1844	4/01: 46,XX,t(1;3)(p36;p21),del(5)(q13q33)[3]/46,XX[18]; 5/03: 46,XX,t(1;3)(p36; p21),del(5)(q13q33)[7]/47,XX,+16[2]/46,XX[15]
<b>814</b>	8318	7/19: 46,XY[24]
<b>815</b>	5510	4/12: 45,XY,-7[16]/46,XY[2]; 4/14: 46,XY[26]; 8/14: 46,XY[3]; 10/14: 46,XY[30]; 10/18: 46,XY[6]; 4/20: 46,XY[22]
<b>816</b>	7449	5/09: 46,XY[22]; 8/09: 46,XY[22]; 9/10: 46,XY[22]
<b>817</b>	8082	2/16: 46,XY[24]; 3/16: 46,XY[22]; 4/16: 46,XY[24]; 7/16: 46,XY[20]; 1/17: 46,XY[24]; 2/17: 46,XY[24]; 5/17: 46,XY[24]; 8/17: 46,XY[24]; 12/17: 46,XY[24]

<b>818</b>	8534	3/20: 46,XX,+1,der(2)t(1;2)(q21;q32)[24]
<b>819</b>	3878	3/10: 46,XY,t(1;9)(q21;q23)[?c23]; 4/10: 46,XY,t(1;9)(q12;12)[4]; 6/10: 46,XY,t(1;9)(q12;q12)[c24]; 3/11: 46,XY,t(1;9)(q12;q12)[23]
<b>820</b>	7931	10/18: 47,XY,del(5)(q22q33),+8[18]/46,XY[6]
<b>821</b>	7237	10/14: 47,XY,+X[20]
<b>822</b>	1717	11/99: 46,XX,del(13)(?q12q14); 5/00: 46,XX[18]/46,XX,del(13)[2]; 11/00: 46,XX[13]/46,XX,del(13)[7]; 8/05: 46,XX[22]
<b>823</b>	7307	7/19: 46,XX,t(3;11)(q25;q13)[3]/46,XX,t(3;11)(q25;q13),der(11)t (3;11)(q25;q13)[17]
<b>824</b>	1044	1/00: 46,XX[14]/46,XX,add(12q)[1]/46,XX,del(11p)[1]; 8/00: 46,XX[22]
<b>825</b>	3254	9/08: 45,X,-X[11]/46,XX[11]; 12/08: 45,X-X[3]/45,X,-X,add(7)(q22)[2]/46,XX[6]; 5/10: 45,X,-X[2]/45,add(X)(p22),del(7)(p21)[4]/46,XX[8]; 2/12: 45,X,-X[18]; 3/13: 45,X,-X[21]; 7/13: 45,X,-X[18]; 8/13: 45,X,-X[23]; 10/13: 45,X,-X[23]/46,XX[1]; 2/14: 45,X,-X[23]; 3/14: 45,X,-X[23]/45,X,-X,add(10q)[5]; 4/14: 45,X,-X[21]/45,X,-X,add(10q)[7]; 9/14: 45,X,-X[20]/45,X,-X,add(10q)[5]; 12/14: 45,X,-X[21]/45,X,-X,add(10q)[6]; 1/15: 46,X,-X[20]/45,X,-X,add(10q)[8]/46,XX[1]; 4/15: 45,X,-X,add(10q)[9]/45,X,-X[18]; 6/15: 46,XY[28]; 7/15: 46,XY[28]; 8/15: 46,XY[27]/46,XX[1]; 11/15: 46,XY[23]/45,XO[1]; 4/16: 46,XY[24]; 7/16: 46,XY[24]
<b>826</b>	5848	6/15: 46,XY,t(6;12)(q23;15)[22]/46,XY[6]; 4/16: 46,XY,t(6;12)(q23;15)[8]/46,XY[18]; 10/16: 46,XY,t(6;12) (q23;15)[4]/46,XY[23]; 9/17: 46,XY[24]; 10/18: 46,XY[24]; 12/19: 46,XY[2]
<b>827</b>	1128	9/94: 45,XX,-7[14]; 11/94: 46,XX[31]; 12/94: 46,XX[4]/45,XX,-7[5]; 1/95: 46,XX[8]/45,XX,-7[7]; 9/95: 46,XY[25]; 6/96: 46,XY[20]; 5/97: 46,XY[20]; 6/98: 46,XY[20]
<b>828</b>	2840	3/06: 46,XY[22]; 5/06: 46,XY[11]; 10/06: 46,XY[22]; 1/07: 46,XY[20]/46,XX[3]; 5/07: 46,XY[20]/46,XX[2]; 3/09: 46,XY[23]
<b>829</b>	593	01/94: 46,XX[12]/45,XO,-X[4]; 10/94: 46,XX[13]/45,XO,-X[3]; 08/95: 46,XX,del(7)(q22)[2]/46,XX[15]; 05/98: 46,XX[16]/46,XX,del(7)(q22)[4]
<b>830</b>	6509	12/15: 46,XX[25]
<b>831</b>	774	4/01: 46,XX[19]/47,XX,+mar[1]
<b>832</b>	2762	1/05: 46,XY[13]; 10/07: 46,XY[22]; 11/09: 46,XY[13]; 2/10: 46,XY[23]; 4/10: 46,XY[16]; 8/10: 46,XY[18]; 9/10: 46,XY[22]; 1/11: 46,XY[7]; 1/12: 46,XY[3]; 9/12: 46,XY[8]; 3/13: 46,XY[24]; 8/15: 45,X,-Y[4]/46,XY[24]; 1/16: 46,XY[26] (PB); 12/17: 46,XY[4] (PB); 1/18: 46,XY[4]; 6/18: 46,XY[24] (PB); 12/18: 46,XY[24] (PB); 11/19: 46,XY[22] (PB)
<b>833</b>	7440	5/15: 46,XY,del(20)(q11q13)[6]/46,XY,ider(20)(q10),del(20) (q11q13)[5]/46,XY[9]
<b>834</b>	7843	12/00: 46,XX[1]/46,XX,t(4;12)(q12;p12)[19]; 1/01: 46,XX[20]; 2/01: 46,XX[20]; 6/01: 46,XX[1]; 7/01: 46,XX[21]; 8/01: 46,XX[19]/46,XX,-5,+mar[2]; 9/02: 46,XX[22]; 1/18: 47,XX,+mar[1]/46,XX[1]; 2/18: 47,XX,+mar[3]/46,XX[21]; 2/18: 46,XX[15]; 3/18: 46,XX[24]; 6/18: 46,XX[24]; 8/18: 46,XX[24]; 11/18: 46,XX[24]; 2/19: 46,XX[24]; 3/19: 46,XX[25]; 6/19: 46,XX,t(4;12)(q12p12)[1]/46,XX[16]; 7/19: 46,XX,t(4;12)(q12p12)[3]/46,idem,+1,der(17)t(1;17) (q10;q10)[2]/46,XX[17]; 9/19: 46,XX,t(4;12)(q12;p12)[1]/46,XX[23]; 11/19: 46,XX[24]; 3/20: 46,XX[24]; 5/20: 46,XX[24]
<b>835</b>	2485	1/05: 46,XY,t(4;22)(q12;q?)[22]; 7/05: 46,XY[3]; 9/06: 46,XY[2]; 8/09: 46,XY[22]; 12/10: 46,XY[11]; 6/11: 46,XY[17]; 12/11: 46,XY[22]; 6/12: 46,XY[22]; 12/12: 46,XY[22]; 6/13: 46,XY[21]; 12/13: 46,XY[22]; 12/14: 46,XY[26]; 6/16: 46,XY[24]; 11/16: 46,XY[23]; 5/17: 46,XY[23]; 2/18: 46,XY,t(4;22)(q12,q?13) [3]/46,XY[22] (PB); 11/18: 46,XY[24] (PB); 5/19: 46,XY[13]; 9/19: 46,XY[23]; 2/20: 46,XY[24] (PB)
<b>836</b>	7693	4/18: 45,XX,-7[4]/46,XX,del(7)(q11)[19]/46,XX[1]; 6/19: 46,XX[24]; 7/19: 46,XX[24]; 11/19: 46,XX[24]; 1/20: 46,XX[24]; 3/20: 46,XX[24]

<b>837</b>	7371	3/17: 47,XX,+8,del(20)(q11)[22]/46,XX[2]; 12/18: 46,XX, del(20)(q11)[4]/47,idem, +8[19]; 3/19: 46,XX,del(20)(q11)[2]/47,idem,+8[22]
<b>838</b>	5858	1/14: 48,XX,+4,+11[23]/49,idem,+6[2], 2/14: 46,XY[23]; 4/14: 46,XX[4]/46,XY[27]; 9/14: 46,XY[27]/46,XX[1]/48,XX,+4,+11[1]/48,XX,t(1;6)(p36,p21),+4,del(9)(p11), add(15)(q26[1]; 2/15: 46,XY[24]/48,XY,+2mar[2]; 3/15: 46,XY[24]; 6/15: 46,XX[26]; 7/15: 46,XX[28]; 8/15: 46,XX[29]; 11/15: 46,XX[27]; 4/16: 46,XX[24]
<b>839</b>	8160	8/18: 47,XY,+21[1]/46,XX[23]; 9/18: 47,XY,+21[13]/46,XX[11]; 10/18: 47,XY[22]/46, XX[2]; 2/19: 47,XY,+21[24]
<b>840</b>	7626	3/17: 47,XX,+der(1,19)(q10,q10)[25]; 5/17: 46,XX[24]; 7/17: 46,XX[25]; 11/17: 46,XX [25]; 1/18: 46,XX[24]; 4/18: 46,XX[24]
<b>841</b>	1999	4/02: 46,XX[18]/46,XX,-5[2]; 10/02: 46,XX[2]/46,XX,t(8;9)(p23q34)[11]/46,idem, der(2p)[4]/45,idem,der(2p),-22[5]; 4/03: 46,XY[20]; 3/04: 46,XY[22]; 2/05: 46,XY [21]/46,XX[1]
<b>842</b>	5643	4/12: 46,XY,t(2;11)(p21;q23),del(5q)(q22q33)[18]; 5/12: 46,XY,t(2;11)(p21;q23)[16]/ 46,XY[2]; 6/12: 46,XY[23]; 8/12: 46,XY[20]; 12/12: 46,XY[22]; 4/13: 46,XY[23]; 10/13: 47,XY,t(2;11)(q11;?q23),del(5)(q22q33),add(19(q13),+21[11]/46,XY[12]; 3/14: 47,XY, t(2;11)(p21;?q23),del(5)(q22q33),add(19(q13), +21[15]/46,XY[9]; 7/14: 46,XY[27]; 9/14: 46,XY[24]; 2/15: 46,XY[28]; 3/16: 46,XY[27]; 4/16: 47,XY,add(1q)t(2;11)(p21;? q23),del(5)(q22q33),add(19) (q13),+21[4]/46,XY[20]; 9/16: 46,XY[24]; 5/17: 46,XY [24]; 7/17: 46,XY[24]; 10/17: 46,XY[24]; 12/17: 46,XY[22]; 1/18: 46,XY,inv(1)(p36 q21),t(2;11)(q21;q23),del(5)(q22q33)[1]/46,XY[23];
<b>843</b>	2047	6/03: 46,XX[23]/46,XX,add(11p)[1]
<b>844</b>	1719	11/13: 46,XY[22]
<b>845</b>	7797	3/17: 46,XX[20]; 5/17: 46,XX[26]; 8/17: 46,XX[28]; 9/17: 46,XX[25]; 10/17: 46,XX[24]; 12/17: 46,XX[24]; 4/18: 46,XX[24]
<b>846</b>	3432	3/09: 46,XY,+1,der(1;7)(q10;p10)[23]; 6/09: 46,XX,inv(9)(p11q13)[24]; 8/09: 46,XX, inv(9)(p11q13)[22c]; 6/10: 46,XX,inv(9)(p11q13)[24c]; 07/12: 46,XX,inv(9)(p11q13) [24c]
<b>847</b>	6248	11/14: 46,XY[26]; 2/15: 46,XY[29]; 6/15: 46,XY[30]; 9/15: 46,XY[28]
<b>848</b>	6564	3/16: 47,XX,+9[2]/46,XX[23]; 2/17: 47,XX,+9[2]/46,XX[23]
<b>849</b>	1720	5/01: 46,XY[19]/45,XY,-21[2]
<b>850</b>	599	8/94: 46,XX[15]; 12/95: 46,XX[22]
<b>851</b>	790	7/94: 46,XX[20]; 6/95: 46,XX[20]; 3/96: 46,XX[20]; 2/97: 46,XY[20]; 1/98: 46,XX[10]; 4/99: 46,XX[20]
<b>852</b>	3017	1/06: 46,XY[20]; 3/06: 46,XY[22]; 11/11: 46,XY[23]
<b>853</b>	2195	9/03: 46,XY[1]/46,XY,der(1;14)(q11;q11),-14[17]/46,idem,del(20)(q11)[3]/add(1;14) [1]; 4/04: 46,XY[26]; 7/04: 46,XY[22]; 5/13: 46,XY,+1,der(1;14)(q10q10)[19]/46,XY[2]
<b>854</b>	7414	6/14: 46,XX,del(7)(q21;q35),del(12)(q22;q24)[10]/45,XX,-7,del(12)(q22;q24)[4]/46, XX[3]
<b>855</b>	7108	6/16: 46,XX,t(8;11)(?p23;7q11)[4]/46,XX[21]
<b>856</b>	2118	6/03: 46,XX[22]
<b>857</b>	1082	10/96: 46,XX[3]/46,XX,del(5)(q12q13)[16]/idem,+20[1]; 5/97: 46,XX[2]/46,XX,del(5) (q13q33)[5]; 11/97: 46,XX,del(5)[17]/47,XX, +8[3]; 5/00: 46,XX,del(5)[19]/46,XX[1]; 5/04: 46,XX[21]
<b>858</b>	8441	7/13: 46,XY,inv(16)(p13q22)[2]; 9/13: 46,XY[20]; 10/13: 46,XY[20]; 11/13: 46,XY[20]; 1/14: 46,XY[20]; 3/14: 46,XY[20]; 4/14: 46,XY,r(20)(p11q13)del(20)(q11q13)[8]/ 46,XY[12]; 9/14: 46,XY,r(20)(p11q13)del(20)(q11q13)[1]/46,XY,ider(20)(q10)del(20)

		(q11q13)[17]/46,XY[2]; 1/15: 46,XY,ider(20)(q10)del(20)(q11q13)[20]; 4/15: 46,XY,r(20)(p11q13)del(20)(q11q13)[1]/46,XY,ider(20)(q10)del(20)(q11q13)[19]/46,XY[1]; 7/15: 46,XY,ider(20)(q10) del(20)(q11q13)[10]/46,idem,del(5)(q14q34)[2]/46,XY[3]; 10/15: 46,XY,ider(20)(q10)del(20)(q11q13)[3]/46,XY[17]; 7/16: 46,XY,ider(20)(q10),del(20)(q11q13)[6]/46,XY,del(5q)(q14q34),ider(20)(q10)del(20)(q11q13)[12]/46,XY[2]; 9/16: 46,XY,ider(20)(q10)del(20)(q11q13)[3]/46,XY,del(5)(q14q34),ider(20)(q11q13),ider(20)(q10)del(20)(q11q13)[2]/46,XY[4]; 11/16: 46,XY,ider(20)(q10)del(20)(q11q13)[6]/46,XY,del(5)(q14q34),ider(20)(q10)del(20)(q11q13)[5]/467,XY,+ider(20)(q10)del(20)(q11q13),ider(20)(q10)del(20)(q11q13)[1]/46,XY[8]
<b>859</b>	6070	3/14: 45, X,-Y[3]/46,XY[26]; 2/15: 46,XX[28]; 9/16: 46,XX[23]/46,XY[1]
<b>860</b>	2714	10/04: 46,XY[10]; 11/06: 46,XX[15]/46,XY[4]
<b>861</b>	6023	2/14: 46,XX[29]; 5/14: 46,XX[29]; 8/14: 46,XX[27]; 11/14: 46,XX[29]; 2/15: 46,XX[27]; 12/15: 46,XX,t(2;3)(p23;q26),del(7)(q22)[26]; 2/16: 46,XX,t(2;3)(p23;q26),del(7)(q22)[19]/46,XX[5]; 6/16: 46,XX,t(2;3)(p23;q26),del(7)(q22)[21]/46,XX[3]
<b>862</b>	2359	6/11: 46,XY[24]; 8/11: 46,XY[22]; 5/12: 46,XY[21]
<b>863</b>	6537	1/15: 46,XX[19]; 3/15: 46,XX[33]; 4/15: 46,XX[28]; 7/15: 46,XX,t(1;5)(p31;q?33)[1]/46,XX[28]; 8/15: 46 XX[30]; 1/16: 43,X,-X,t(1;5)(p31;q33),del(9)(q?32),add(12)(p12), -15,-17,-18,+mar[5]/46,XX[19]; 2/16: 43,X,-X,t(1;5)(p31;q33),-9,add(11)(p13),add(12)(p12),-15,-17,-18,+mar,+mar[24]; 3/16: 43X,-X,t(1;5)(p31;q33),-9,add(11)(p13), add(12)(p12),-15,-17,-18,+mar,+mar[24]
<b>864</b>	8167	12/15: 45,XY,-7[24]
<b>865</b>	7268	6/15: 45,X,-Y,inv(3)(q21q26),t(4;12)(q12;p12)[14]/45,idem,add (7)(q22)[14]; 9/15: 45,X,-Y,inv(3)(q21q26),t(4;12)(q12;p12)[11]; 11/15: 46,XY[24]; 12/15: 45,X,-Y,inv(3) t(4;12)(q12;p12)[5]/ 46,XY[19]; 1/16: 45,X,-Y,inv(3)(q21q26)t(4;12)(q12;p12)[21]/46,idem,+8[2]
<b>866</b>	5945	12/13: 46,XY[17]; 3/14: 46,XY[30]
<b>867</b>	5998	7/13: 46,XY[24]; 8/13: 46,XY[26]; 10/13: 46,XX[8]; 1/14: 46,XX[18]/46,XY[7]
<b>868</b>	6596	1/16: 46,XY,t(11;12)(q23;p12)[26];
<b>869</b>	2635	1/06: 46,XX,inv(9)(p11q12)[24]; 11/06: 46,XX,inv(9)(p11q12)c[24]
<b>870</b>	2701	3/00: 46,XX[20]; 8/01: 46,XX[20]; 8/14: 46,XX,t(3;20)(p24;q13),der(9)t(9;17;?) (q10q10),+der(17)[22] /46,XX[6]; 3/15: 46,XX[20]
<b>871</b>	3289	6/07: 45,X,-Y[4]/46,XY,-7,+mar[3]/46,XY[17]; 8/07: 45,X,-Y[15]/ 46,XY[7]; 12/07: 45, X0[1]/46,XY[23]; 12/07: 46,XY[9]; 4/08: 46,XY,-7,+mar[1]/46,XY [21]; 8/08: 46,XY,der (7)[5]/46,XY[19]; 12/08: 46,XY,der(7)[12]/45,X,-Y[4]/46,XY[8]; 6/09: 46,XY,der(7) [18]/46,XY[2]; 6/09: 46,XY,der(7)[20] (PB); 5/10: 46,XY,der(7)[8]/45,XY,-7[15]; 9/10: 45,XY,-7[21]/46,XY,r(7)(p13q11?)[2]
<b>872</b>	5821	3/13: 46,XY[20]; 4/13: 46,XY,inv(9)(p11q13)[24]; 4/13: 46,XX[12]/46,XY[20]
<b>873</b>	5809	9/13: 46,XY,inv(9)(p11q13)[23]
<b>874</b>	5868	7/13: 42-46,XX,-4,-5,-7,add(12)(p12),-17,add(19)(q13),+2-4mar[26]/46,XY[4]; 9/13: 42-46,XX,-4,der(5;?)(q11;?),der(7),add(12)(p12),-17,add(19)(q13),+2mar[20]/46,XY [3]
<b>875</b>	7622	3/13: 47,XY,+19[18]/46,XY[2]; 2/14: 47,XY,+19[4]/46,XY[44]
<b>876</b>	6388	1/14: 47,XY,+mar[4]/46,XY[25]
<b>877</b>	3070	11/08: 46,XX,del(5)(q14q31)[14]/46,XX,del(5)(q14q34)[2]/46,XX[4]
<b>878</b>	6017	12/13: 46,XY,der(20)del(20)(p11p13)del(20)(q11q13)[9]/46,XY[11]

<b>879</b>	5665	1/10: 47,XY,+21[6]/46,XY[15]; 11/10: 47,XY,+21[9]/46,XY[11]; 3/12: 47,XY,+21[1]/46,XY[20]; 9/13: 47,XY,+21[1]/46,XY[20]
<b>880</b>	5718	10/12: 46,XX[23]/46,XY[1]
<b>881</b>	2266	5/09: 47,XY,+8,del(11)(q13)[20]/46,XY[2]
<b>882</b>	3183	5/08: 46,XY,del(22)(q11)[4]/46,XY[20]
<b>883</b>	1551	6/99: 46,XY,inv(9)(p11q13)[18]/46,idem,del(18q)[2]; 10/99: 46,XY,inv(9)(p11q12)[20]; 6/00: 46,XY,inv(9)(p11q13)[19]/47,idem,+22[1]; 9/01: 46,XY,inv(9)(p11q12)[20]; 7/03: 46,XY,inv(9)(p11q12)[14]; 11/03: 46,XY[20]/46,XY,del(18q)[2]; 5/04: 46,XY,inv(9)(p11q12)[21]/46,XY,der(9),del(9) (p11q12),del(9)(q3?)[2]; 9/05: 46,XY,inv(9)(q11p12)[22]; 5/06: 46,XY,inv(9)(q11p12)[23]; 3/09: 46,XY,inv(9)(p11q12)[22]; 2/13: 45,XY,-7,inv(9)(p11p13) [4]/46,XY,inv(9)(p11p13)[16]; 6/13: 45,XY,-7,inv(9)(p11q13) [9]/46,XY,inv(9)(p11q13)[14]
<b>884</b>	5697	7/12: 46,XX[22]; 10/12: 46,XX[22]; 6/13: 45,XX,-21[3]/46,XX[19]
<b>885</b>	3956	2/09: 46,XX[22]; 11/09: 46,XX[19]
<b>886</b>	3433	11/10: 45,X,-Y,del(20q)[20]/46,XY[2]
<b>887</b>	5855	02/13: 46,XY,del(6)(q14q25)[20]
<b>888</b>	3629	3/11: 46,XY,+1,der(1;7)(q10;p10)[19]; 1/12: 46,XY,+1,der(1;7)(q10;p10)[19]
<b>889</b>	5676	1/12: 46,XY[22]
<b>890</b>	3273	10/09: 48,XY,+8,+19[20]/46,XY[1]
<b>891</b>	4043	9/10: 47,XX,+8[7]/46,XX[17]; 10/10: 46,XX[22]; 12/10: 46,XX[23]; 3/11: 46,XX[22]
<b>892</b>	1034	5/95: 46,XX[13]; 03/97: 46,XX[12]/46,XX,t(15;18)(q26;q21)[7]
<b>893</b>	3328	5/12: 46,XY,t(1;2)(p36;p21)[8]
<b>894</b>	3883	11/10: 46,XX[22]
<b>895</b>	2681	4/06: 46,XX[5]/47,XX,+19[16]; 9/09: 47,XX,+19[22]/46,XX[1]
<b>896</b>	7095	9/09: 45,X,-X[22]
<b>897</b>	1846	9/02: 46,XY[21]/51,X,-Y,+5,+6,+9,+14,+15,+16,+20[1]; 10/02: 46,XY[22]; 11/02: 46,XY[22]; 1/03: 46,XY[22]; 3/03: 46,XY[19]; 7/03: 46,XY[20]/45,X[2]; 9/03: 46,XY[21]/48,XY,+6,+20[1]; 10/03: 46,XY[23]; 12/03: 46,XY[19]; 2/04: 46,XY[11]/46,XY,del(18q)[1]; 4/04: 46,XY[22]; 6/04: 46,XY[22]; 10/04: 46,XY[23]; 11/04: 46,XY[23]; 10/05: 46,XY[21]; 3/06: 46,XY[22]; 7/06: 46,XY[20]/46,XY,del(17p)[1]; 11/06: 45,X,-Y[3]/46,XY[14]; 2/07: 46,XY[24]; 5/07: 46,XY[25]; 6/07: 46,XY,add[1q][q23][2]/46,XY[20]; 9/07: 46,XY[22]; 10/08: 46,XY[22]; 4/09: 46,XY[23]
<b>898</b>	8151	12/11: 46,XY[22]; 2/12: 46,XY[22]; 5/12: 46,XY[22]; 9/12: 46,XY[24]
<b>899</b>	1339	1/09: 46,XX,del(5)(q23q34)[10]/46,idem,+21[12]/46,XX[3]
<b>900</b>	3314	3/08: 46,XY,del(20)(q11)[2]/46,idem,del(12)(p11)[2]; 2/09: 47,XY,+8,del(12p)(p11),del(20)(q11)[20]/46,XY[2]; 5/09: 46,XY,del(12) (p11),del(20)(q11 )[22]/46,XY[1]; 9/09: 46,XY[23]; 3/10: 46,XY,del (12)(p11),del(20)(q11)[9]/46,idem,der(4q)[4]/46, idem,der(4q),add(5)(q33)[6]/47,idem,+8[3]
<b>901</b>	1724	2/10: 46,XY[12]; 4/10: 46,XY[22]/47,XY,+21[1]; 11/10: 46,XY[23]
<b>902</b>	3817	6/07: 46,XY[24]; 10/07: 46,XY[19]; 1/08: 46,XY[22]; 7/08: 46,XY[25]; 1/09: 46,XY[22]; 12/09: 45,XY,add(3)(q11),der(7;17) (p11;q11),add(8)(q24),-17,-22,+mar[7]/46,XY[15]; 1/10: 43-44,XY,-3,der(7;17)(p11;q11),add(8)(q24),add(14)(p12),-17,-20,+mar[15]/46,XY[19]; 2/10: 43-45,XY,-3,der(7;17) (p11;q11),add(8)(q24),add(14),-17,-20, +2-3mar[8]/46,XY[16]
<b>903</b>	2523	8/05: 46,XX[20]

904	3864	10/06: 45,XX,del(5)(q14q34),-7[11]/46,XX[6]; 1/07: 46,XX[21]; 3/09: 45,XX,del(5)(q14q34),-7[20]/46,XX[1]
905	1695	8/99: 46,XY[21]/47,XY,+12[1]; 10/99: 46,XY[20]; 11/99: 46,XY[20]; 3/00: 46,XY[20]
906	3203	5/08: 47,XY,+19[16]/47,XY,+8[3]/48,XY,+8,+19[1]/46,XY[4]; 10/08: 47,XY,+10[23]/46,XY[1]; 1/09: 47,XY,+19[22]/48,XY,+8,+19[2]
907	3454	08/07: 46,X,-Y,der(?);t(?;1)(?q21),del(20)(q11),+del(20)(q11)[21]/46,XY[1]; 2/08: 47,XY,+der(?);t(?;1)(?q21)[1]/47,idem,del(20q)[2]/46,XY[16]
908	2445	4/09: 46,XY,del(5)(q22q33)[25]
909	3564	9/09: 47,XY,+19[18]/46,XY[5] (PB)
910	3259	7/04: 45,X0[17]/46,XY[5]; 9/04: 46,XY[7]/45,X[5]; 12/04: 46,XY[1]/45,X0[18]/45,X,del7p1[1]/45,X,del9q15q[1]/45,X,del10p[1]; 5/05: 45,X,-X[10]; 11/07: 47,XX,+8[2]/45,X0[7]/46,XY[11]; 4/08: 46,XY[3]/45,X,-Y[20]; 8/08: 46,XX[1]/47,XX,+8[2]/45,X,-Y[12]/46,XY[7]; 9/08: 46,XY[8]/45,X,-Y[9]/46,XX,+8[6]; 11/08: 46,XY[6]/45,X,-Y[14]/47,XX,+8[3]; 1/09: 46,XY[2]/45,X0[3]/46,XX[1]/47,XX,+8[18]; 3/09: 45,X,-Y[5]/46,XY[8]/46,XX[1]/47,XX,+8[9]
911	2790	12/07: 46,XY[23]
912	3034	6/06: 46,XX[23]; 9/06: 46,XX[23]; 3/08: 46,XX[21]
913	3334	10/08: 46,XX[21]/46,XX,del(12)(p11)[1]; 2/09: 46,XX[22]; 03/09: 46,XX[22]
914	2384	10/07: 46,XX,del(5)(q14q34)[3]/46,XX,idem,del(12)(p12p13)[12]/46,XX[5]
915	3063	2/08: 46,XY[10]
916	2883	6/08: 45,X,-X[4]; 12/08: 45,X,-X[25]
917	1979	12/01: 46,XX[20]; 5/02: 46,XX[22]; 8/01: 46,XX[22]; 9/03: 46,XX[23]
918	1926	8/01: 46,XY,del(5)(q13q33)[10]/45,idem,-Y[1]/46,XY[9]
919	3437	06/08: 46,XX[23]
920	5425	10/97: 46,XY[20]
921	2991	2/06: 45,XY,-7[22]; 5/06: 45,XY,-7[19]/46,XY[3]; 7/06: 45,XY,-7[22]/46,XY[1]; 9/06: 45,XY,-7[19]/46,XY[5]; 12/06: 45,XY,-7[22]/46,XY[1]; 3/07: 45,XY,-7[24]
922	2831	3/07: 46,XY[23]; 7/07: 46,XY[23]/46,XY,del(7)(q22)[1]; 9/07: 46,XY[23]/46,XY,del(7q)[1]
923	2568	6/05: 46,XY[22]; 1/06: 46,XY[20]; 3/06: 46,XY[21]; 5/06: 46,XY[22]
924	3286	4/07: 45,XY,del(1)(q32,-7[4]/45,idem,del(9)(q32),add(11)(p15),add(17)(p11),del(20)(q11)[7]/46,idem,t(1;5)(?;q33),del(9)(q32),add(11)(p15),add(17)(p11),del(20)(q11),+21[3]/46,XY[10]; 7/07: 46,XY[25]
925	3117	10/07: 45,XY,rob(13;14)(q10;q10)c[5] (PB)
926	3285	6/07: 45,XY,-7[14]/45,XY,-7,del(12)(p12)[9]; 12/07: 45,XY,-7,del(12)(p12)[22]
927	1826	12/99: 46,XY[14]/46,XY,t(2,7)(pp)[1]
928	3177	7/07: 45,XY,-7[3]/45,X,-Y[4]/46,XY,dup(1)(q34;q25)[1]/46,XY[14]; 9/07: 45,XY,-7[22]
929	3052	6/07: 45,X,-Y[3]/45,X,-Y,der(?);t(7;?)(p12;?),del(10;10)(p11;?),del(12)(p11),del(22)(q11)[5]/46,idem,del(3)(p21),+8[5]/46,XY[11]
930	1865	12/03: 47,XX,del(5)(q14;q34),+21[18]/46,XX,der(18;21)(q10;q10)[4]/46,XX[3]; 6/04: 46,XX,del(18;21)(q10;q10),+21[3]/46,XX[2]; 12/04: 46,XX(18;21)(q10;q10),+21[21]/46,XX[3]
931	2761	3/06: 45,XX,t(3;3)(q21;q26),-7[7]/46,XX[16]

<b>932</b>	2979	11/06: 46,XY,der(4q)[4]/47,idem,+9[2]/46,XY[16]
<b>933</b>	1879	3/03: 46,XY[22]; 3/03: 46,XY[15]; 6/03: 46,XY[21]; 3/05: 46,XY[23]; 4/06: 46,XY [23]
<b>934</b>	3186	2/07: 46,XY,t(2;3)(p23;q26)[25]
<b>935</b>	8397	1/07: 47,XY,+11[3]/47,idem,del(20)(q11)[16]/46,XY[3]
<b>936</b>	3548	1/04: 46,XX,del(3)(q21),6p?[2]/46,XX[23]; 4/04: 46,XX[1]; 5/04: 46,XX,t(4;17)(q25; q25)[1]/46,XX[39]
<b>937</b>	1446	6/06: 44,XY,del(3)(p11),der(5)(p10;?,-7[21]/45,idem,+mar[5]; 10/06: 44,XY,del(3)(p11),der(5)(p10;?,-5,-7[6]/44,idem,inv(3)(q21q26)10]45,idem,inv(3)(q21q26), +mar[6]
<b>938</b>	2810	11/05: 45,XY,-7[22]; 6/06: 46,XY[22]
<b>939</b>	3094	10/06: 46,XY[24]
<b>940</b>	2271	11/05: 47,XX,del(5)(q14q33),+21[22]
<b>941</b>	2574	2/06: 46,XY,del(5)(q13;q34)[2]/47,idem,+21[8]/46,XY[5]
<b>942</b>	2815	5/06: 46,XY[17]/47,XY,+13[4]/47,XY,+mar[2]
<b>943</b>	2325	11/05: 46,XY[21]
<b>944</b>	2867	4/06: 46,XX,i(17)(q10)[5]/46,XX[17]
<b>945</b>	2218	5/05: 46,XY[1]/47,XY,+8[22]
<b>946</b>	2560	1/05: 45,X,del(X)(q22),-7[21]/46,XX[1]
<b>947</b>	2551	8/04: 46,XY[21]/46,XY,del(6q)[1]; 10/04: 46,XY[19]/45,X,-Y[3]; 5/05: 47,XY,+13[15]/ 46,XY[8]
<b>948</b>	2524	9/05: 46,XX[21]/45,XX,-7[1]; 10/05: 46,XX[11]; 11/05: 46,XY[22]
<b>949</b>	2119	8/01: 46,XY[17]/46,XY,del(20)(q11)[3]
<b>950</b>	2753	9/05: 46,XX,t(3;3)(q21;q26)[14]/46,XX[1]; 11/05: 46,XY[22]
<b>951</b>	2552	8/04: 46,XY[22]; 9/04: 46,XY[20]; 12/04: 46,XY[24]; 5/05: 46,XY[19]/46,XX,del(5)(q22 q33),add(6q),-7,add(8)(p11),add(11)(q23),-13,-14,+16,i(21)(q10),+2mar[3]; 6/05: 46, XY[9]/43-47,XX,del(5q),add (7)(q22),add(11q),add(11p),-14,-15,+16,der(17),der(19), i(21q),2-3mar[11]; 8/15: 45-48,XX,del(5) (q14q33),add(6)(q22),add(7)(q22),add(11) (q23),del(11)(p15),-13,-14,+16,add(19)(p13),i(21)(q10),+(21)(q10),+21[22]
<b>952</b>	2120	2/02: 47,XX,del(5)(q15q33),+21[15]; 11/04: 46,XX,del(5)(q15q33)[2]/47,XX,del(5) (q15q33),+21[12]/47,XX,del(5)(q15q33)i(17)(q10),+21[6]; 2/05: 46,XX,del(5)(q15 q33)[2]/47,XX,del(5)(q15q33),+21[5]/47,XX,del(5)(q15q33)i(17)(q10),+21[10]/47,XX, del(5)(q15q33),dic(11;17)(p11;p11),+21[5]
<b>953</b>	1934	8/01: 46,XX[20]; 11/02: 46,XX[21]
<b>954</b>	2242	01/05: 46,XX,del(5)(q22q33)[4]/46,XX[11]; 5/05: 46,XX[19]; 02/06: 46,XX,del(5)(q22 q33)[1]/46,XX[21]
<b>955</b>	2245	4/04: 46,XX[22]/46,XX,del(20q)[1]
<b>956</b>	2264	11/04: 46,XY[21]
<b>957</b>	2482	8/04: 46,XX[2]/45,XX,-7[21]; 10/04: 46,XX[22]
<b>958</b>	2513	9/04: 46,XY[12]/45,XY,del(5)(q14q22),add(13)(p11),-14,-15,-17,-19,-21,+4mar[10]
<b>959</b>	1469	7/01: 46,XY[1]/46,XY,del(11)(q21?2)[2]/45,idem,-Y[19]; 8/03: 46,XY,del(11)(q21??) [6]/45,idem,-Y[13]; 2/04: 46,XY[1]/46,XY,del (11)(q21??)[5]/45, idem,-Y[16]; 4/04: 46,XY,del(11)(q21?2)[4]/45,-Y[18]

960	2170	6/03: 46,XY,t(6;7)(p23;q22),t(9;13)(q34;q14)[22]; 7/03: 46,XY[23]; 9/03: 46,XY[22]; 10/03: 46,XY[23]; 4/04: 46,XY[2]/46,XY,t(6;7)(p23;q22),t(9;13) (q34;q11)[20];
961	1450	10/99: 46,XX[22]; 09/02: 46,XX,del(7)[1]/46,XX[7]; 3/04: 46,XX,del(12)(p12?) [4]/45, idem,-7[2]/46,idem,-7,+8[9]/46,idem,-7,+X[5]/48,XXX,idem,-7, +8,+22[2]
962	2304	11/03: 45,XY,-7,del(12)(p12)[20]
963	2453	10/03: 46,XX[14]/45,XX,-7[1]/45,XX,-7,del(18q)[7]; 12/03: 45,XX,-7,del(18q),add (21q)[16]; 3/04: 46,XX[8]/45,XX,-7[3]/45,XX,-7,t(18;21)(q;q)[9]/46,idem,+mar[3]
964	2128	9/02: 46,XX[9]; 3/03: 46,XX[3]/46,XX,del(5)(q13;q33) [18]/47,XX,+8[1]; 1/04: 46,XX, del(5)(q13q33)[10]/45,idem,add(11p),-17[11]
965	2081	02/03: 46,XY[21]/45,X,-Y[1]
966	2417	12/03: 46,XX,del(5)(q14q34)[9]/46,XX[11]
967	2189	6/03: 46,XX[5]; 10/03: 46,XX[10]/46,XX,inv(1)(p11q32)[11]; 11/03: 46,XX[22]; 1/04: 46,XX,inv(1)(p11q32)[19]
968	1903	8/00: 46,XX,inv(16)(p13;q23)[15]; 10/00: 46,XX[22]; 4/02: 46,XX,inv(16)(p13q22)[7]/ 46,XX[15]; 9/02: 46,XX,inv(16)(p13q22) [12]/46,XX[10]; 7/03: 46,XX,inv(16)(p13q22) [20]/46,idem,del(20q) [1]/47,idem,+13[1]
969	2237	1/03: 46,XX[1]/46,XX,add(17p)[23]; 3/03: 46,XX[4]/46,XX,add(17p)[15]/47,XX,del? (10q),+16,add(17p)[3]
970	2104	4/02: 46,XY[17]/47,XY,+8[4]; 5/02: 46,XY[17]/47,XY,+8[3]; 11/02: 46,XY[23]; 12/02: 46,XY[22]
971	1827	3/11: 46,XY,del(9q)[2]/46,XY[19]; 5/01: 46,XY[21]; 3/02: 46,XY,del(9q)?[1]/46,XY [21]; 6/02: 46,XY[5]/46,XY,del(9)(q22)[13]/46,idem,add(7q)[1]/ 46,idem,del(21q)[1]
972	2040	09/02: 46,XX,+1,der(1;7)(q10;q10)[22]
973	2134	3/02: 46,XY[18]/46,XY,t(12,13)(q10q10)[2]; 4/02: 46,XY,inv(1) (p11q12)[8]/43-45, idem,-5,-7,t(12,17)(p10p10),del(13q), add(19)(q13),-22,+mar[12]
974	2117	2/02: 46,XY,inv(3)(q21q26)[17]/45,idem,-7[3]; 3/02: 46,XY[8]/46, XY,inv(3)(q21q26) [7]/45,idem,-7[3]/45,idem,+14,t(14;18)(q10;q10) [2]; 04/02: 46,XY[7]/46,XY,inv(3) (q21q26)[8]/46,idem,del(7q)[3]/ 46,idem,+14,der(14;18)(q10;q10)[3]; 05/02: 46,XY [14]/46,XY,inv(3)(q21q26)[2]/45,idem,-7[3]/46,idem,+14,der(14;18)(q10;q10)[2]; 6/02: 46,XY[10]/46,XY,inv(3)(q21q26)[5]/46,idem,+14,der(14;18)(q10;q10)[6]; 8/02: 46,XY[7]/ 46,XY,inv(3)(q21q26)[1]/45,idem,-7[5]/47,idem,+14,der(14,18)(q11q11) [6]/45,idem,-7,der(14,18)(q11q11)[1]
975	2062	5/02: 47,XY,+8,inv(9)(p11q13)[16]/48,XY,idem,+21[1]/46,XY,del(6q),inv(9)(p11q13) [3]; 10/02: 47,XY,+8,inv(9)(p11q13)[22]
976	1949	6/02: 46,XX[23]
977	1590	9/98: 46,XY[20]; 1/99: 46,XY[21]; 3/99: 46,XY[20]; 4/99: 46,XY[20]; 8/00: 46,XY[14]; 10/00: 46,XY[18]/46,XY,del(7)(q22)[3]; 7/01: 46,XY[19]/ 46,XY,del(9q)[1]; 1/02: 46, XY[21]; 2/02: 46,XY[21]/ 46,XY,-8,+mar[1]; 5/02: 46,XY[18]/46,XY,del(6q),del(10q) [1]/47,XY,+21[1]
978	1810	10/00: 46,XX,der(2),t(2;5),der(5)[16]/46,XX[4]; 1/01: 46,XX,der(2),t(2;5)(p12?3 q34?5),der(5),t(2;5)(q14?5p12?3)[16]/46,XX[19]; 11/01: 46,XX[3]; 5/02: 44,XX, der(2)t(2;5),-15,-17,-18,+mar[10]/44,idem,der(1)ins(1,?)dup(1),der(12)t(1;12)[10]
979	2025	10/01: 46,XX[11]/46,XX,del(20)(q11)[10]
980	2034	4/02: 46,XY[18]/45,XY,-13[2]/46,XY,der(9)[1]/46,XY,der(10)[1]; 5/02: 46,XY[16]/47, XY,+21[1]/46,XY,der(3)[1]/46,XY,der(4)[1]/46, XY,del(13q)[1]; 6/02: 46,XY[17]/47, XY,+10[1]/46,XY,del(6q)[2]/46,XY,-15,+18[2]

<b>981</b>	1852	5/01: 46,XX[1]/46,XX,del(20)(q11)[20]/46,XX,idem,del(11q)[1]/46,XX,idem,del(13q)[1]
<b>982</b>	2002	7/01: 46,XY[7]/46,Y,t(X,1)(q28q21)[3]; 7/01: 46,XY[1]/46,Y,t(X,1) (q28q21)[19]; 10/01: 46,XY[6]/46,Y,t(X,1)(q28q21)[14]; 1/02: 46,Y,t(X,1)(q28q21)[19]/46,idem, t(11,17)[1]
<b>983</b>	1711	11/00: 46,XY,del(7)(q22)[10]/48,XY,+8,+14[8]/46,XY,del(11)(q21) [1]; 2/01: 46,XY, del(7)(q22)[10]/46,idem,del(11)(q21?2)[1]/48, idem,+8,+14[7]/46,XY [2]; 5/01: 46, XY,del(7)(q22)[13]/46,XY[7]; 3/02: 46,XY,del(7)(q22)[7]/47,idem,+10[3]/47,idem,+21 [1]/47, idem,del(14q)[1]
<b>984</b>	1048	12/98: 46,XY[20]; 02/00: 46,XY[20]; 2/01: 46,XY[20]/48,XY,+8,+mar[1]
<b>985</b>	1766	7/00: 46,XY,der(7)[18]; 10/00: 46,XY[20]; 11/00: 46,XY[20]/46,XY,del(10q)[1]; 2/01: 46,XY[21]; 4/01: 46,XY[6]/46,XY,del(7)(q11)[6]/46,idem, del(1q),add(4q),add(10q), del(10q),t(11;12)(q;q)[4]; 9/11: 46,XY[17]/46,XY,del(17p)[1]/46,XY,del(12p)[1]/46, XY,del(2p),del(7p),add(12p),der(17)[1]
<b>986</b>	1677	8/99: 46,XY[21]; 9/99: 46,XY[19]/45,X,-Y[1]; 6/00: 46,XY[21]; 8/00: 46,XY[20]/47,XY, +13[1]; 9/00: 46,XY[16]/46,XY,del(12p)[1]/46,XY,del(7q)[2]/46,XY,del(13q)[1]; 10/00: 46,XY[16]
<b>987</b>	1856	12/00: 45,XY,-7[18]/45,XY,-7,del(12p)[1]/45,XY,-7,t(11,12)(pp)[1]
<b>988</b>	1906	1/01: 46,XY[17]/46,XY,der(8)[1]/46,XY,del(1q)[1]/46,XY,add(19q) [1]
<b>989</b>	5436	5/01: 46,XX[20]
<b>990</b>	1154	4/97: 46,XY[20]; 03/01: 46,XY[2]/45,XY,-7[19]
<b>991</b>	1880	4/01: 46,XY,t(2;15)(q23q26)[20]
<b>992</b>	1672	3/00: 46,XX,+der(1;7)(q10;q10),-7,add(18)(p10)[7]/46,XX[13]
<b>993</b>	1729	12/99: 46,XY[19]/47,XY,+mar[1]; 3/00: 46,XY[20]; 11/00: 46,XY[2]/46,XY,del(11q) [1]/46,XY,del(4p)[1]/46,XY,del(10q)[1]/ 46,XY,add(12q)[1]/46,XY, add(18p)[3]
<b>994</b>	1869	1/01: 46,XY[1]/47,XY,+8[19]
<b>995</b>	5433	7/00: 46,XY,del(7)(q21?2)[9]/46,XY[11]; 8/00: 46,XY[3]/46,XY,del(7)(q21?2)[17]; 9/00: 46,XY,del(7)(q21)[14]/47,idem,+8[1]/47,idem,+19[7]; 1/01: 46,XY[3]/45,XY,-7 [1]/46,XY,del(7)(q21)[1]
<b>996</b>	1613	9/99: 46,XY[21]
<b>997</b>	2024	9/99: 46,XY[16]; 11/99: 46,XY,t(1;1),q(32;p33)[18]/46,idem,del(13q)[2]
<b>998</b>	1795	3/00: 46,XY[12]/45,XY,-7[8]
<b>999</b>	1556	5/99: 46,XX[9]/46,XX,del(16)(q22)[9]/47,XX,del(16)(q22?),+22[2]; 7/99: 46,XX[21]
<b>1000</b>	1422	01/98: 46,XX[20]
<b>1001</b>	1594	7/98: 46,XY[16]/46,XY,t(11,19)(q23q13)[4]; 10/98: 46,XY[6]/46,XY,t(11,19)(q23q13) [14]; 11/98: 46,XX[30]; 12/98: 46,XX[20]; 2/99: 46,XX[19]/ 46,XX,add(4q)[1]; 4/99: 46,XY,t(11;19)(q23;q13) [17]/46,idem,dup(2)(q12?q23?)[4]/46,XX[1]
<b>1002</b>	1626	1/99: 45,XY,-7[10]/45,XY,-7,add(18)(p11)[10]
<b>1003</b>	1350	10/97: 46,XX[7]/45,X0,t(8;21)(q22;q22)[9]; 11/97: 46,XX[15]; 5/98: 46,XX[5]/44,X,-X, add(7q)t(8;21)(q22q22),-9[18]
<b>1004</b>	807	1/95: 46,XY[18]/46,XY,del(20q)[3]
<b>1005</b>	1074	7/97: 45,X,-Y[10]/45,X,-Y,del(11)(q23)[11]
<b>1006</b>	1138	11/94: 46,XY[13]/45,XY,-7[6]; 4/96: 46,XY[1]/46,XY,inv(3)[1]/45, XY,del(7q),-8[2]/45, XY,-7[17]; 5/97: 45,XY,-7[21]; 10/97: 46,XY,-7[20]

<b>1007</b>	1161	8/94: 46,XY[7]; 11/94: 46,XY[9]; 2/95: 46,XY[3]; 12/96: 46,XY,9p+[14]; 5/98: 46,XY[5]/46,XY,der(9)[15]; 5/98: 46,XY,der(9)[19]/46,XY[1]
<b>1008</b>	1434	6/98: 46,XY,t(10,11)(q22q22)[20]
<b>1009</b>	945	10/95: 46,XY[21]; 1/96: 46,XY[22]; 9/96: 46,XY[21]; 2/97: 46,XY[16]; 5/97: 46,XY[21]; 1/98: 46,XY[9]/46,XY,del(17p)[6]/ 46,XY,del(11q),del(17p)[3]/47,XY,del(17p),+mar[2]
<b>1010</b>	1165	7/97: 45,XX,-7[11]
<b>1011</b>	1387	7/98: 46,XX[19]
<b>1012</b>	1204	9/97: 46,XX[19]/47,XX,+mar[1]
<b>1013</b>	5422	4/96: 46,XX[11]; 5/96: 46,XX[19]; 6/97: 46,XX[2]/49,XX,+11,+13,+14[8]
<b>1014</b>	998	10/96: 46,XY[20]/46,XY,del(10p)[1]; 5/97: 46,XY[20]
<b>1015</b>	5454	1/97: 46,XY[20]
<b>1016</b>	749	9/93: 46,XY[10]; 11/95: 46,XX[15]/46,XX,inv(16)(p13q22)[3]/47,XX,+c[1]/47,XX, dup(1)(q?),+c[2]
<b>1017</b>	1174	5/96: 46,XX[7]/45,XX-7[18]
<b>1018</b>	1285	9/96: 45,XX,-7[20]
<b>1019</b>	1072	12/95: 46,XX[2]/45,XX,-22[3]/46,XX,del(5)(q12q33)[5]/46,XX,del(3)(p13),del(5)(q12 q33)[2]/46,XX,del(5)(q12q33),del(20q)[10]
<b>1020</b>	1037	1/96: 46,XY[20]
<b>1021</b>	1796	1/95: 46,XY[20]
<b>1022</b>	949	11/94: 45,XY,-7,t(9;22)(q34;q11)[10]; 1/95: 45,XY,-7,t(9;22) (q34;q11)[16]; 7/95: 46, XY[6]/46,XY,t(9;22)(q34;q11)[3]/45,XY,-7,t(9;22)(q34;q11)[8]/ 45,XY,-7[2]; 9/95: 45, XY,-7[14]/46,XY,+3,-7[2]/46,XY,-7,+20[2]
<b>1023</b>	1067	3/95: 46,XY[2]/45,XY,-7[15]
<b>1024</b>	1168	11/94: 46,XX[18]; 12/94: 46,XX[18]; 1/95: 46,XX[2]/45,XX,-7[8]
<b>1025</b>	743	1/94: 46,XY,add(3p)[13]/46,XY,add(3p),del(1q)[1]
<b>1026</b>	1202	4/94: 46,XX[15]
<b>1027</b>	963	1/94: 46,XY[15]; 2/94: 46,XY[10]
<b>1028</b>	579	11/93: 46,XY,i(17)(q10)[19]
<b>1029</b>	948	8/93: 46,XY[19]/45,X,-Y[1]; 11/93: 46,XY[19]/46,XY,t(9;22)[1]
<b>1030</b>	7366	2/20: 49,XX,+8,+9,+19[9]/46,XX[16]; 11/21: 49,XX,+8,+9,+19[2]/46,XX[22]
<b>1031</b>	8325	4/21: 45,XX,-7,add(5)(q33),del(11)(q21)[12]/45,idem,i(1)(p10),del(1p13)[6]/46,XX[7]
<b>1032</b>	5805	12/13: 46,XX[24]; 02/14: 46,XX[27]; 5/14: 46,XX[31]; 9/14: 46,XX[29]; 7/15: 46,XX, del(5)(q22q33),del(6)(q23),del(20)(q13)[2]/ 46,XX[29]; 01/16: 46,XX,del(5)(q22; q33),del(6)(q23),del(20)(q13)[6]/46,XX[15]; 6/16: 46,XX[26]
<b>1033</b>	8347	10/15: 46,XX[24]; 11/15: 46,XX[26]; 4/16: 46,XX[24]; 7/16: 46,XX[24]; 1/17: 46,XX [24]; 4/17: 46,XX[24]; 7/17: 46,XX,add(11)(q23)[8]/46,XX[6]; 10/17: 46,XX,add(11) (q23)[6]/46,XX[19]; 1/18: 46,XX,add(11)(q23)[5]/46,idem,add(6) (p11)[2]/46,XX[7]; 7/18: 46,XX,t(8;12)(p23;q13)[4]/46,XX,add(6)(p11), add(11)(q23)[1]/46,XX[19]; 8/18: 46,XX,t(8;12)(p23;q13)[1]/46,XX,add( 6)(p11),add(11)(q23) [9]/46,XX[15]; 10/18: 46, XX,add(6)(p11),add(11)(q23) [23]/ 46,XX[1]; 3/19: 46,XY[24]; 7/19: 46,XY[24]; 1/20: 46,XY[24];
<b>1034</b>	6525	11/15: 46,XY[26]; 1/16: 46,XY[22] 6/16: 46,XY[26]; 10/16: 46,XY[24]

<b>1035</b>	5677	6/12: 47,XY,+8,del(12)(p11)[21]/47,idem,del(13q)[1]; 9/12: 47,XY,+8,del(12)(p11)[22]; 12/12: 46,XY[22]; 2/13: 46,XY[25]; 7/13: 46,XY[30]
<b>1036</b>	8704	6/21: 46,XY,del(3)(q12),del(5)(q?31)[12] (PB)
<b>1037</b>	7525	5/18: 46,XX,t(3;3)(q26;q21)[3]/46,idem,-11,+der(11)t(3;11)(q26;q21)[13]/46,XX[4]
<b>1038</b>	6410	12/13: 45,X,-Y[8]/46,XY,del(20)(q11q13)[3]/46,XY[9]
<b>1039</b>	7151	6/11: 46,XX[1]; 9/11: 48-50,XY,+der(13?),+8,del(9)(q11),+1-3mar[23]; 1/12: 46,XX[23]; 8/12: 46,XX[23]; 7/16: 46,XX [24]
<b>1040</b>	5746	8/12: 46,XX,t(8;20)(q23;q11),del(12)(p11)[23]; 9/12: 46,XX[23]; 12/12: 46,XX[23]; 7/13: 46,XY[24]
<b>1041</b>	1819	07/00: 46,XX[21]
<b>1042</b>	7644	4/18: 46,XY[26]; 7/18: 46,XY[10]; 10/18: 46,XY[24]; 1/19: 46,XY[24]; 7/19: 46,XY[24]; 9/19: 46,XY[24]; 1/20: 46,XY[23]
<b>1043</b>	1369	1/98: 46,XY[3]; 5/98: 46,XY[20]; 6/98: 46,XY[10]/46,XY,t(8;12)(q22;q22)[1]; 10/98: 46,XY[20]
<b>1044</b>	7444	10/13: 46,XX[23]; 2/14: 46,XX[30]; 6/14: 46,XX[29]
<b>1045</b>	3252	9/08: 47,XY,+21[1]/46,XX[23]; 12/08: 46,XX[24]; 9/09: 46,XX[21]
<b>1046</b>	7522	4/18: 46,XY[24]; 9/18: 46,XY,del(5)(q14q33),del(17)(p11),del(20) (q11)[20]/46,XY[2]
<b>1047</b>	7344	2/17: 46,XX,del(20)(q11)[20]/46,XX[6] (PB); 6/17: 46,XY[24]; 5/17: 46,XY[24]; 7/17: 46,XY[23]/46,XX[1]; 8/17: 46,XY[21]/46,XX[3]; 11/17: 46,XY[19]/46,XX,del(20)(q11)[5]; 1/18: 46,XY[24]; 4/19: 46,XX,del(20)(q11)[3]/46,XY[22]
<b>1048</b>	7143	10/15: 47,XY,del(6)(p21),+19[24]
<b>1049</b>	7569	12/17: 43-44,-5,-7,der12,t(5;12)(?;p1?1),-14,-18,-20,+mar[29] (PB)
<b>1050</b>	7264	1/16: 45,XY,del(5)(q22q33),-7[3]/46,idem,+21[9]/46,XY[14]; 3/16: 46,XY[24]; 4/16: 46,XY[26]; 5/16: 46,XY,del(5)(q22q33),-7,+21[2]/46,XY[22]; 09/16: 46,XY,del(5)(q22q33),-7,+21[13]/ 46,XY[11]
<b>1051</b>	2216	9/03: 46,XY[17]/46,XY,del(5)(q13q33),del(7)(q22)[5]; 12/03: 46,XX[22]; 2/04: 46,XX[22]; 6/05: 46,XX[19]
<b>1052</b>	7252	1/15: 46,XY[28]; 2/15: 46,XY[28]; 3/16: 46,XY[26]
<b>1053</b>	3018	3/05: 46,XY,del(5)(q21q34),t(7;10)(q10;q10),add(10)(p12)[13]/46,XY[2]; 3/07: 46,XY, t(7;10)(q10q10),add(10)(p12)[12]/46,XY,idem,-18,+r[4]/46,XY,idem,del(6)(p21p23)[2]/46,XY[1]; 7/08: 46,XY,del(5)(q21;34),t(7;10)(q10;q10), add(10)(p12),-18,+r[21]; 9/08: 46,XY,t((7;10;14)(p11;p11;p21),t(11,12)(p15;q13)[2]/46,XY,del(5)(q14134),t(7;10;14)(p11;p12)[5]/46,XY,del(5)(q14q34),t(7;10;14)(p11;p11;p21),r(18)(p11q21)[3]
<b>1054</b>	6466	1/17: 46,XY,+14[10]/46,XY,i(17)(q10)[10]/47,XY,+13,i(17)(q10)[3]/46,XY[4]
<b>1055</b>	6046	4/14: 45,XX,-7,del(12)(p11)[16]/46,XX[12]
<b>1056</b>	7478	7/14: 48,XY,del(1)(p34p36),+8,+14[20]
<b>1057</b>	5804	5/13: 47,XY,del(7)(q32),+8,del(12)(p11)[6]/47,XY,add(7)(q32),+8,del(12)(p11)[14]/46,XY[3]; 10/13: 47,XY,+8,del(12)(p11)[7]/ 47,XY,+16[4]/46,XY[13]
<b>1058</b>	2641	6/05: 46,XX[21]; 4/09: 46,XX[20]; 01/11: 46,XX [18]/47,XX,+8[2]
<b>1059</b>	7446	7/13: 45,XX,der(1)t(1;5)(p21~22;p11),der(3)t(1;3)(p21~22;q10),-5[15]/46,XX[4]
<b>1060</b>	5486	8/11: 46,XX,t(3;3)(q21;q26),der(7)[1]/46,XY[23]; 9/11: 46,XY[24]; 10/11: 46,XY[17]/46,XX,t(3;3)(q21;26),del(7)?(q11)[1]; 11/11: 46,XY[25]; 11/12: 46,XY[25]; 1/13: 46,XX,t(3;3)(q21;q26),der(7)?(q11)[1]/46,XX[22]
<b>1061</b>	3385	3/12: 46,XY,dup(1)(p21p36),del(20)(q11)[2]/46,idem,del(7)(q22)[22]

<b>1062</b>	5626	11/11: 46,XY[22]; 10/12: 47,XY,t(1;1)(p34;p12),+8[21]/46,XY[1]
<b>1063</b>	3851	11/08: 45,XX,-7[1]/46,XX,der(7)del(7)(p12)del(7)(q12)[8]/46,XX [14]
<b>1064</b>	9120	8/11: 45,XX,der(7)t(7;8)(q22;?)-8[11]/46,idem,+18[2]/44,idem,del(11)(p11),der(12;15)(q11;q11)[4]/45,idem,add(11)(q12)[2]
<b>1065</b>	3860	12/10: 46,XY[23]
<b>1066</b>	8221	10/09: 45,XY,-7[2]/45,XY,der(3)(inv(3)(q21;q2?)t(3;6)(q?;q21),-7[9] (PB)
<b>1067</b>	3346	12/08: 46,XY,t(3;3)(q21;q26),del(7)(q22)[5]/46,idem, t(1;12)(p32;q12)[19]; 3/09: 46,XY,t(3;3)(q21;q26),del(7)(q22)[4]/46,idem,t(1;12)(p32;p12)[19]
<b>1068</b>	2190	10/06: 46,XY,der(1;22)(p11,q11),+der(1;?)(q11;?),del(7)(q21),-16,+mar[12]/46,idem,add(3)(p11)[10]
<b>1069</b>	2950	6/08: 46,XX,der(7)t(1;7)(q21p22)[10]/46,XX,-16,+mar[6]/46,XX[8]
<b>1070</b>	3193	7/07: 48-49,XX,+8,+9,+11,+13,+15[cp11]/46,XX[12]
<b>1071</b>	2871	5/06: 47,XY,+8[14]/48,XY,+8,+21[9]; 8/06: 46,XY[5]/47,XY,+8[11]/48,XY,+8,+21[2]/47,XY,+21[3]; 12/06: 47,XY,+21[13]/48,XY,+8,+21[5]/46,XY[4]
<b>1072</b>	2952	8/05: 46,XY[10]/45,X,-Y[6]/45,idem,der(5p),inv(10q)[6]; 4/06: 46,XY[14]/45,X,-Y[2]/45,X,-Y,inv(10q)[6]
<b>1073</b>	3337	8/06: 49,XY,+3,+13,+19[23]; 9/06: 46,XY[23]; 11/06: 53,XY,+2,+3,+8,+15,+18,+19,+21[20]/54,idem,+20[4]
<b>1074</b>	2288	5/05: 46,XX[24]; 11/06: 48,XX,+4,+8[3]/46,XX[19]
<b>1075</b>	2180	8/05: 46,XX[50] (PB); 9/05: 46,X,i(X)(p10)[20]/46,XX[1]; 11/05: 46,X,i(X)(p10)[12]/45,X,-X[7]/46,XX[2]
<b>1076</b>	1360	9/02: 46,XY[15]/92,XXYY[3]/45,XY,add(9p)[1]/46,XY,add(3q)[1]/47,XY,+mar[2]/Mosaik: 46,XY[51]/92,XXYY[4]; 11/03: 46,XY[20]; 9/04: 46,XY[20]
<b>1077</b>	2060	5/02: 46,XY[17]/46,XY,t(18;20)[1]/46,XY,der(8),der(10),del(8p),del (14q)[1]; 9/02: 46,XY[22]; 6/03: 46,XY[20]/47,XY,+?[2]
<b>1078</b>	2277	12/02: 46,XY,t(3;39(q21;q26)[2]/46,XY[19]; 1/03: 46,XY[21]/46,XY,t(3,3)(q21,q26)[1]; 4/03: 46,XY,t(3,3)(q21,q26)[5]/46,idem,t(13,14)(q,q)[4]/46, XY[19]; 5/03: 46,XY[2]/46,XY,t(3;3)(q21;q26)[3]/46,idem,t(13;14)(q12;q13)[13]/46,idem,-7,t(13;14)(q12;q31),+mar[2]/46,idem,t(13;14)(q12;q31),add(9q)[2]
<b>1079</b>	3698	7/02: 47,XX,+1,der(1;7)(q10;p10),+8[19]/46,XX[1]; 11/02: 47,XX,+1,der(1;7)(q10;p10),+8[24]/46,XX[1]
<b>1080</b>	1011	11/97: 46,XY,t(1;12)(p10;q10),add(1)(p11),inv(3)(p27?9p13)[16]/ 46,XY[4]; 2/98: 46,XY,t(1;12)(p10;q10),add(1)(p11),inv(3) (p27?9p13)[16]/46,XY[6]; 2/00: 46,XY, t(1;12)(p10;q10),add(1) (p11),inv(3)(p27?9p13)[14]/46,XY[6]; 3/01: 46,XY,t(1;12)(p10;q10),add(1)(p11),inv(3)(p27?9p13)[6]/46,XY[9]; 8/01: 46,XY,t(1;12)(p10;q10), add(1)(p11),inv(3)(p27?9p13)[6]
<b>1081</b>	1867	9/02: 46,XY[19]/46,XY,del(7)(q22)[3]; 1/03: 46,XY[17]; 4/03: 46,XY[12]/47,XY,+8[3]/46,XY,add(12p)[7]; 5/03: 46,XY[18]/46,XY,del(7)(q22)[1]/46,XY,add(12p)[3]
<b>1082</b>	2015	2/02: 46,XY[17]/46,XY,t(7;9)(p;p)[1]/46,XY,del(9p)[1]/46,XY,add(9q)[1]/46,XY, del(13q)[1]
<b>1083</b>	1276	11/00: 46,XY,del(7)(q21q35)[8]/46,XY,add(7)(q21)[4]/46,XY[4]
<b>1084</b>	1902	9/00: 46,XY,t(9;22)(q34q11)[18]/47,XY,t(9;22)(q34q11),+21[3]
<b>1085</b>	1586	4/99: 46,XY,add(14)(q32),del(20)(q11)[2]/47,XY,idem,+8[18]; 8/99: 46,XY[2]/46,XY, t(14;20)(q32;q11)[6]/47,XY,+8,t(14;20)(q32;q11)[12]; 11/99: 46,XY,t(14;20)(34;q11)

		[17]/47,idem,+8[4]; 3/00: 46,XY,t(14;20)(q34;q11)[7]/47,idem,+8[2]/48,idem,+8,+mar[2]; 5/00: 47,XY,+8,t(14;20)(q34;q11)[20]
<b>1086</b>	595	9/93: 46,XX[35]/46,XX,add(1p)[6]; 2/94: 46,XX[7]/46,XX,add(1p) [8]; 11/94: 46,XX [6]/46,XX,add(1p)[11]; 12/94: 46,XX,add(1p)[4]/ 46,XX[6]; 5/95: 46,XX,add(1p)[16]/ 46,XX[2]; 2/96: 46,XX[2]/46,XX,add(1p)[16]/46,XX,dup(1)(q21q44)[2]/46,XX,add(1p), +2,-10[1]; 5/97: 46,XX[4]/46,XX,add(1p)[11]/ 46,XX,dup(1)[2]; 9/98: 46,XX[5]/46, XX,add(1)(p36)[12]/46,XX,add(1)(p36),del(9p)[1]/47,XX,+?[1]/46,XX,add(1p)[1]
<b>1087</b>	1068	8/96: 46,XY,-7[7]; 2/96: 46,XY,-7,+mar1[10]/46,XY,-7,-17,+mar1,+mar2[3]/46,XY, t(2;3) (p21?;q27?); -7,-17(?),+mar1,+mar2[1]/46,XY,t(2;3)(p21?;q27?); -7,+mar1[8]
<b>1088</b>	666	2/94: 46,XY,del(1p)[5]/46,XY[9]; 8/95: 46,XY,del(1p)[7]/46,XY[15]; 12/95: 46,XY, del(1p)[5]/46,XY[14]; 8/96: 46,XY,del(1p)[11]/46,XY,del(1)(p36->pter)[9]
<b>1089</b>	941	10/94: 46,XX,del(9)(q22)[16]/46,XX,del(9)(q22),t(15;17)(q22,q11)[5]/46,XX,del(9) (q22),t(15;17)(q22;q11),t(1;7)(q36;q12)[1]
<b>1090</b>	441	04/94: 47,XX,6p+,+8[15]
<b>1091</b>	6331	2/19: 46,XY[24]; 3/19: 46,XY[24] (PB)
<b>1092</b>	7412	11/20: 45,X,-Y[20]
<b>1093</b>	8729	12/20: 45,X,-Y[25] 12/20: 45,X,-Y[30]/46,XY[10]/46,XY,del(7)(q22q32)[1]
<b>1094</b>	5774	01/13: 46,XX[23]; 06/13: 46,XX[22]; 01/14: 46,XX[26]; 04/18 46,XX[24]; 11/19: 45,X, -X/Y[6]/46,XX[18]; 2/20: 46,XX[23]; 4/20: 45,X0[2]/46,XX[21]
<b>1095</b>	6124	3/14: 46,XY[24] (PB)
<b>1096</b>	6001	7/15: 45,X,-Y[25]/44,idem,-22[4]; 9/15: 45,X-Y[2]/46,XX[22]; 12/15: 46,XX[25]; 3/16: 46,XX[24]; 6/16: 46,XX[26]; 6/17: 46,XX[24]; 01/19: 46,XX[24]
<b>1097</b>	7747	11/18: 45,X,-Y[20]
<b>1098</b>	7892	6/18: 45,X,-Y[6]/45,idem,-21,+mar[14]/46,XY[4] (PB); 8/18: 45,X,-Y[2]/45,idem,+1, der(21)t(1;21)(q10;p10)[22]; 12/18: 45,X,-Y[5]/45,idem,+1,der(21)t(1;21)(q10;p10) [19] (PB); 3/19: 45,X,-Y[2]/45,idem,+1,der(21)t(1;21)(q10;p10)[22]; 8/19: 45,idem, +1,der(21)t(1;21)(q10;p10)[18]; 11/19: 45,idem,+1,der(21)t(1;21)(q10;p10)[24]
<b>1099</b>	8416	5/17: 45,X,-Y[3]/46,XY[21]; 3/19: 46,XY[18]/45,X,-Y[4]
<b>1100</b>	8161	2/15: 45,X,-Y[20]; 1/19: 45,X,-Y[18]/46,XY[2]
<b>1101</b>	7673	12/16: 45,X0[2]/46,XY[20]
<b>1102</b>	7504	7/17: 46,XY[6]/45,X,-Y[14]
<b>1103</b>	3021	8/06:46,XY[17]/45,X0[1]/46,XY,del(13)(q13q31)[5]; 6/07:46,XY,del(13)(q13q31)[29]/ 45,X,-Y[2]/46,XY[2]; 7/08:46,XY,del(13)(q13q31)[18]/46,XY[5]; 1/08:46,XY,del(13) (q13q31)[15]/46,XY[6]/45,X,-Y[1]; 9/08:46,XY,del(13)(q13q31)[1]/46,XY[21]; 12/08: 46,XY[22]
<b>1104</b>	1567	9/98: 46,XY[20]
<b>1105</b>	1753	3/00: 46,XY[18]/45,X,-Y[2]; 4/00: 46,XY[16]/45,X,-Y[4]; 2/02: 45,X,-Y[5]/46,XY[14]; 8/03: 45,X,-Y[10]/46,XY[12]; 2/06: 45,X,-Y[1]/46,XY[22]
<b>1106</b>	5960	6/13: 45,X,-Y[1]/46,XY[20]
<b>1107</b>	2962	4/08: 46,XY[17]
<b>1108</b>	3477	6/09: 46,XY[23]; 1/10: 46,XY[20]; 6/10: 47,XY,+13[13]/46,XY[10]; 7/10: 47,XY,+13[9]/ 47,XY,+13,del?(15q)[10]/46,XY[4]
<b>1109</b>	2829	1/07: 45,X,-Y[24]
<b>1110</b>	3072	11/07: 45,X,-Y[5]/46,XY[18]

<b>1111</b>	3196	1/08: 45,XY,-Y[2]/46,XY[14]; 7/08: 46,XY[24]
<b>1112</b>	1945	11/01: 46,XY[19]/45,X0,-Y[1]; 10/02: 46,XY,del(6q)[20]/46,XY[2]; 12/02: 46,XY,del(6q)[9]/46,XY[13]; 1/03: 46,XY[2]/46,XY,del(6q) [20]; 2/03: 46,XY[19]/46,XY,del(6q)[2]/45,idem,-7[1]
<b>1113</b>	1235	11/96: 45,X,-Y[20]
<b>1114</b>	8218	6/19: 47-49,XX,del(5)(q22q33),-7,-13,-13,+21,+21,+21,+3-5mar[cp23]/46,XX[6]; 9/19: 46,XY[24]; 10/19: 46,XY[24]; 5/20: 46,XY[24]
<b>1115</b>	9116	5/21: 48,XX,add(1)(p36),del(5)(q22q33),+8,add(11)(p11),+mar[1]/46,XX[23] 4/21: 46,XY[24]; 5/21: 46,XX[2]/46,XY[22]
<b>1116</b>	8663	6/20: 46,XX,del(5)(q14q33)[16]/49,idem,+1,+11,+14,+19,-22[6]/50,idem,+1,add(3)(p21),del(5)(q22q33),+11,+14,+19,+19[3]
<b>1117</b>	7815	9/18: 46,XY[13]/43,XX,del(3)(q12),der(5;7)(p10;p10),der(5/6) (q10;q10),-5,-7,der(8), -16,der(18)[11]; 12/19: 46,XY[16]
<b>1118</b>	8998	8/21: 46,XX,+1,der(1;15)(q10;q10)[13]/46,XX,del(5)(q14q34),der(18;21)(q10;q10), +21[4]/46,XX[3]
<b>1119</b>	7979	3/19: 46,XX,del(1)(p13p32),del(2)(q34),del(3)(p13),del(5)(q14q33),t(6;12)(q13;p11), add(9)(p24)[11]/46,XX,del(13)(q12q22)[11]/46,XX,-17,add(19) (q13),+add(19)(q13), -21-22,+2mar[21]/46,XX[3]; 5/19: 46,XY[24]; 7/19: 46,XY[24]; 10/19: 46,XY[24]; 1/20: 46,XY[24]
<b>1120</b>	5412	7/12: 46,XY[21]; 9/12: 46,XY[24]; 2/13: 43,XY,der(5;20)(q11;?), -13,-18 1]/45,XY,+Y, der(5)t(5;20)(q11;?),+der(5)t(5;20)(q11;?), -13,-18[1]/46,XY[23]; 8/13: 46,XY[23]; 12/13: 46,XY[25]
<b>1121</b>	2760	1/06: 46,XY[17]; 3/06: 46,XY[20]; 4/06: 46,XY[20]/46,XY,-7,+20[1]/46,XY,t(11;17)[1]
<b>1122</b>	8919	7/21: 46,XY[3]/46,XY,-7,t(18;21)(p11;q21),+21[23]/48,idem,+19,+21[4]
<b>1123</b>	6440	06/15: 43-44,XY,der(2)t(2;3)(p23;q12),-3,der(5;17)(p10;q10), add(12)(p11),-19,+1-2 mar[18]/46,XY[10]; 7/15: 46,XY[26]; 8/15: 46,XY[28]; 11/15: 46,XY[22]; 02/16: 46,XY [24]; 06/16: 46,XY[24]; 09/16: 46,XY[24]; 06/17: 46,XY[25]
<b>1124</b>	7511	9/17: 46,XX[24]; 10/17: 46,XX[24]; 3/18: 46,XX[24]; 7/18: 46,XX[24]
<b>1125</b>	8612	11/19: 46,XY[20]
<b>1126</b>	8613	4/20: 43,XX,t(2;3)(p11);p11),der(3)(17)??:3p2?->3qter),der(5)(5pter->5q1??:9q2?->9q?),der(7)(13qter->13q3??:7p?->7q3??:16??:15q??:7?),der(9) (9p22?->9q??:5??:9q?), -12,del(13)(q2?q34),-15,-16,del(17)(p1?) [2]43,idem,der(17)(pter->17q2::12q?)[17]/ 43,idem,del(4)(q11),der(17)(17pter->17q2??:12q?)[1]
<b>1127</b>	2615	3/09: 45,XY,add(12)(p11),-20[12]/46,XY[20]
<b>1128</b>	7767	11/16: 46,XY[25]; 12/16: 46,XY[23]; 1/17: 46,XY[24]; 5/17: 46,XY[23]
<b>1129</b>	6549	7/15: 49,XX,+8,+12,+13,l(17)(q10)[26]/46,XX[2]; 8/15: 46,XX[27]; 9/15: 46,XX[28]; 11/15: 46,XX[28]; 5/16: 45,X0[3]/46,XY[21]; 1/16: 47,XX,+7[1]/48,XX,+8,+13,l(17) (q10)[6]/46,XX[18]; 7/16: 45X0[4]/46,XY[21]; 9/16: 46,XY[25]; 11/16: 46,XY[24]; 3/17: 45,X0[1]/46,XY[23]; 5/17: 46,XY[14]
<b>1130</b>	7840	5/18: 47,XX,der(3)t(3;?4)(p21;q23)add(3)(q29),del(4)(q21q?33),del(5)(q21q34), +mar1[10]/46,al,-17,-mar1,+mar2[5]/45,adl1,-21,-mar2,+mar3[2]; 7/18: 46,XX[1]/ 46,XY[23]; 8/18: 46,XY[23]; 1/19: 46,XY[24]; 2/19: 46,XY[5]
<b>1131</b>	8032	1/19: 47,XY,add(3)(q12),+8,del(11)(q14),der(20),der(21)[24]/ 46,XY[3]
<b>1132</b>	7500	4/17: 46,XX[24]; 6/17: 46,XX[24]; 7/17: 46,XX[24]; 8/17: 46,XX[24]; 11/17: 45,XX, t(5;12)(p15;q24),-13,del(14)(q24),add(17)(p11),+21,add(22)(q13) [7]/46,XX[7]; 3/18: 46,XX[23]; 5/18: 45,XX,-13,add(17)(p11),+21,add(22)(q13)[2]/46,XX[22]; 7/18: 46,XX

		[24]; 11/18: 46,XX[24]; 4/19: 46,XX[24]; 5/19: 46,XX[24]; 8/19: 46,XX[24]; 12/19: 46,XX[24]; 3/20: 46,XX[24]
<b>1133</b>	5709	3/16: 47,XY,der(14)t(14;20)(q11p11),+der(14)t(14;20)(q11p11),+ider(14)(p10),+20 [26] (PB); 7/16: 47,XY,+14,der(14;20)(p10;p10),+der(14;20) (p10,p10),+i(14)(p10) [24]
<b>1134</b>	7178	2/17: 46,XX[24]; 3/17: 46,XX[24]; 4/17: 46,XX[24]; 6/17: 46,XX[24]; 7/17: 46,XX[24]; 12/17: 46,XX[24]; 4/18: 42,X,-X,del(1)(q21),del(5)(q22q33),-7,del(8)(q?),add(11) (q23),del(12)(p13),der(13;17)(q10;q10),-16,-17,der(21),-22[4]/46,XX[20]
<b>1135</b>	7741	9/17: 46,XY[24]; 10/17: 46,XY[23]; 11/17: 46,XY[24] (PB)
<b>1136</b>	7239	12/16: 46,XX[25]; 1/17: 46,XX[23]; 3/17: 46,XX[24]; 6/17: 46,XX[24]
<b>1137</b>	7149	4/16: 46,XY[24]; 11/16: 46,XY,del(5)(q22q23),-7,del(12)(p11),-18,add(19)(q13),+mar [8]/47,idem,+mar[13]/46,idem,del(17)(p11) [3]
<b>1138</b>	7513	8/17: 45,Y,der(X)t(X,10)(q22,q26),t(3,6)(q13,p21),der(4;7)(4pter->4p11::7q11->7p11::4p11->4q11::7p11->7pter),dic(5;17)(q11;p12),+r(7)(p11q11),der(10)t(X;10) (?q27;q11),der(11)(11pter->11q23::10q11->10q25::Xq2?2->Xq2?3::11q23->11qter) [5]/46,XY[18]
<b>1139</b>	6608	10/15: 90,XXXX, der(5)t(5;17)(q11;q23)x2,-12,-12,der(17)(5qter->5q35::17p13->17q23::12?->12?)x2,dup(17)(q21q25)x2[1]/46,XX [20]
<b>1140</b>	7102	12/15: 50,XY,+Y,+12,der(21),+der(21)[26]; 1/16: 51,XY,+Y,+12,+21,+21,+21[12]/46, XY[12]; 7/16: 48,XY,+Y,+12[7]/49,idem,+21[6]/50,idem, +21,+21[4]/51,idem,+21, +21,+dup(21q)[2]/46,XY[1]
<b>1141</b>	6617	4/16: 47,XX,del(6)(q21),+8,del(12)(p12),add(20)(p11)[15]/46,XY[9]
<b>1142</b>	6491	1/16: 45,X,t(X;1)(p10;q10),add(5)(q11),del(7)(q11),del(10)(q24),del(12)(p11), add(16)(q24),del(17)(p11),r(19)[14]/del(20)(q11),-22[16]/46,XY[8]; 9/15: 45,XY,-21 [5]/46,XY[25]; 10/15: 46,XY[24]; 11/15: 46,XY[26]
<b>1143</b>	6128	7/14: 46,XY[26]; 11/14: 46,XY[28]; 4/15: 46,XY[28]
<b>1144</b>	7266	1/15: 44,XY,del(1)(32),der(3q)[5]/46,XY,del(5)(q11),add(9)(p24),add(11)(p15),add (11)(q24),del(13q),-15,-17,+mar[20]/46,XY[7]; 3/15: 45,X,-Y[6]/46,XY [18]; 5/15: 43, XY,del(3)(q21),del(5)(q14q32),der(8)t(8;?;3)(q11;?;q13), ins(9)(q11),-10,+11-16,-17,-18,add(19),add(21)(q23)[25]/45,X,-Y[2]/46,XY[4]; 7/15: 46,XY[26]; 10/15: 46,XY[24]
<b>1145</b>	9124	12/14: 41-42,XY,-2,der(4)t(4;13)(q?27;q?11),del(5)(q11),-7,-13,add(17)(q23),-19,-20, +mar[30]; 12/14: 46,XY[4]; 1/15: 40-42,XY,del(2)(q?31),der(4) t(4;13)(q?27;q?),del (5)(q11),-7,-13,add(17)(q23),-19,-20[2]/46,XY[27]; 7/15: 42,XY,del(2)(q31),der(4) t(4;13)(q?27;q?11),del(5)(q11q33),-7,-13,add(17) (q23),-19,-20[21]/46,XX[8]
<b>1146</b>	3852	3/10: 46,XY[20]; 4/10: 46,XY[23]; 5/10: 46,XY[22]; 7/10: 46,XY,inv(9)(p12q13)[21]; 8/10: 46,XY,inv(9)(p12q13)[22]; 9/10: 46,XY,inv(9)(p12q13)[24]; 11/13: 46,XY,inv(9) (p12q13)c[26]
<b>1147</b>	6506	6/15: 44,XY,add(5)(q11),add(6)(p11),-7,t(18;22)(q11;q11),-22[12]/44,idem,add(12) [2]/46,XY[15] (PB)
<b>1148</b>	5818	10/13: 46,XY[23]; 4/14: 46,XY[31]; 11/14: 46-48,XY,der(X;12)(q21;q23),add(1)(p10), der(2;5;12;?), -7,+13,+14,+mar,+mar[3]/46,XY[23] (PB)
<b>1149</b>	5940	12/13: 46,XY[24]; 1/14: 46,XY[22]; 3/14: 46,XY[31]; 5/14: 43-44,XY,del(1)(q32),del(5) (q11),add(9)(p24),del(9)(q22),add(11)(p15),add(12)(p11), add(12)(q24),-15,-17[9]/46,XY[23]; 3/14: 46,XY[3]/aberrant, aber nicht auswertbar[7]; 12/14: 46,XY[29]; 1/15: 44,XY,del(1)(q32),der(3q)[5],del(5)(q11),add(9)(p24),add(11)(p15),add(12) (q24),del(13q),-15,-17,+mar[20]/46,XY[7]
<b>1150</b>	6271	9/14: 46,XY,+1,del (5)(q22q33),del(7)(q11),-16[27]/46,XY[2]

<b>1151</b>	6580	5/14: 42,XX,der(4)t(4;15)(q31;q25),-5,-7,der(7;8)(16?ter->16?::5?->5?::15?->15?: :8p21->8q11::18q11->18q12::7p22->7qter),+8,+der(8)r(8;19)(p21q11;?q11?q13),dic (8;19)(p11;p11),der(15;16)(8pter->8p11::18q11->18q12::16?p12->16?q13::hsr::18?- >18?::15p11->15qter),der(17;18)(q10;p10) [4]/40,X,-X,der(1)(1pter->1p36::15?q11- >15?q11->1?q25::1p36->1q44::17q?->17q?),der(4)t(4;15)(q31;q25),-5,-7,der(7;8) (16?ter->16?::5?->5?::15?->15?::8p21->8q11::18q11->18q12::7p22->7qter),+der(8) t(X;8)(?;p21)del(8)(q23q24),der(15;16)(8pter->8p11::18q11->18q12::16?p12->16? q13::hsr::18 ?->18?::15p11->15q11),der(17;18)(q10;p10),der(17;19)(17pter->17p12: :19?->19?::17q12->17q10::19?q10->19?q13::17q21->17qter[7]/46,XX[1]
<b>1152</b>	6145	5/13: 46,Y,der(X),der(11)t(1;11)(q;q)[4]/46,Y,der(X),der(11)t(1;11),del(20)(q11.2) [21]
<b>1153</b>	5964	2/13: 45,XY,dic(2;5)(p11;q12),+der(2;20)(p10;p10),-4,der(20)t(4;20)(q11;p11),del(4) (q21q28)[2]/47-48,XY,dic(2;5)(p11;q12),+dic(2;5)(p11;q12),+der(2;20)(p10;p10),-3,- 4,-7,+8,+11,der(12)t(7;12)(?;p13)t(7;17)(?;q21),der(17)t(7;17)(?;q11),+18,der(20)t (4;20)(q11;p11),del(4)(q21q28),+der(20)t(4;20)(q11;p11),del(4)(q21q28)[cp3]/46,XY [6]
<b>1154</b>	5937	2/14: 42-45,XY,add(1)(p32),der(5)t(1;5)(p32;q31),der(9)t(5;9;7;?),-10,der(17) t(7;17;17;?),-18,der(22)t(7;17;22)(?q21;p11),-22,+3-4mar[26]/46,XY[6]
<b>1155</b>	5781	6/12: 47,XY,+19[12]/48,XY,+13,+19[9]/49,XY,+13,+19,+21[1]
<b>1156</b>	9108	10/13: 46,XY[23]; 11/13: 46,XY[23]
<b>1157</b>	9111	7/12: 46,XY[22]; 8/12: 46,XY[22]; 10/12: 46,XY[22]
<b>1158</b>	1966	6/02: 46,XY[17]/45,XY,-20[3]
<b>1159</b>	4244	7/11: 46,XY,del(10)(p11)[2]/46,XY[21]; 9/11: 46,XY[22]; 12/11: 46,XY[23]
<b>1160</b>	2361	10/03: 46,XY[12]/46,XY,add(5p)[4]/46,XY,add(5p),der(8;12)(p11q11)[2]; 11/03: 46, XY[13]/46,XY,add(5p)[5]/46,idem,der(8;12)t(8;12)(q11;q11),del(12)(p11)[2]/46,idem ,add(1p)[2]; 1/04: 46,XY[18]/46,XY,der(5)[4]; 11/04: 46,XY[12]/46,XY,add(5p)[3]/ 46,XY,del(7q)[2]; 12/04: 46,XY[22]; 1/05: 46,XY[1]
<b>1161</b>	2275	4/11: 46,XY[23]; 12/11: 42-44,XY,-5,-7,-13,-14,-16,-16,+20,-21,-22,+4-6mar[25]
<b>1162</b>	4021	2/10: 46,XY,del(5)(q)[1]/46,XY,der(7),i(22)(q)[2]/46,XY,der(2),-7,del(16)(q),i(21)(q), -21,der(22),+mar(C)[9]/46,XY[5]; 7/10: 46,XY,del(5q)[2]/40-46, idem,+der(1)(p)-3,-7 ,-16,-17,-18,-19,-21,add(21)(p),i(21)(q)-22,+1-3mar[cp9]/46,XY[1]; 5/11: 45,XY,+der (1;?22)(p11;11),del(5)(q14;q32),-7,?i(21)(q11), -22,+mar[22]/46,XY[1]; 9/11: 44,XY, der(1;22)(q11;q11),del(5)(q14q33),-7,der(16),(21)(q11),-22[7]/45,idem,der(7)(q11) [13]/45,idem,der(7) (q11),i(8)(q11)[3]
<b>1163</b>	5395	8/11: 46,XY[18]/46,XX[6]
<b>1164</b>	4059	1/11: 46,XY[24]; 3/11: 46,XY[25]; 6/11: 45,XY,del(5)(q22q33),-7,+19,der(20;22),-22, +2mar[9]/44,X,der,der(12;14)(q11;q11)[1]/44, idem,t(1;2)(p13;q35),der(12;14) (q11;q11)[9]/46,XY[4]
<b>1165</b>	3888	4/11: 46,XY,der(2)t(2;5)(q23;?),der(3;7)(p10;q10),der(5)t(5;?)(q22;?),+8,der(9) t(9;19;9;19)(p11),der(19)t(9;19)(p?;q13)[24]
<b>1166</b>	3767	04/10: 46,XY,i(17)(q10)[6]/46,XY[18]; 5/10: 46,XX[23]; 6/10: 46,XY,i(17)(q10)[2]/46, XY[1]/46,XY[20]; 7/10: 46,XY,i(17)(q10)[14];
<b>1167</b>	3559	9/09: 47,XY,del(5)(q22q33),del(6)(q24[12],del(7)(q22),+8+8,del(9)(p11),add(16) (q22),add(17)(p11),+20[24]
<b>1168</b>	3355	2/09: 50,XX,+1,del(5)(q22q33),+11,+14,+15[7]/51,idem,+i21q[15]; 4/09: 46,XX[24]; 7/09: 49,XX,add(1)(p36),del(5)(q22q33),+11,+14, +15,-21[1]/46,XX[22]; 8/09: 46,XX[21]
<b>1169</b>	2483	09/05: 46,XY[22]

<b>1170</b>	3456	6/07: 46,XX[24]; 8/07: 46,XX[23]; 12/07: 46,XX[15]/46,XY,del(9) (q22)[2]/56-59, XY,+X,add(2p),del(3q),del(39)/del(5q),der(6q),-6,+21,+22,+6-10mar[4]/47,XXY[2]
<b>1171</b>	3368	5/09: 45,XX,del(2)(p13),add(4)(p14),der(7)t(5;7)(?;p11),der(13)[9]/ 55-58,+add(1) (p21),+del(2)(p13),+add(4)(p14),+15,+19,+20,+21, +22,+1-3mar[9]/46,XX[5]
<b>1172</b>	8242	3/09: 45,XY,-7,del(12)(p11),del(20)(q11)[7]/47,XY,+8[1]/46,XY[6]
<b>1173</b>	2755	2/06: 44,XX,der(1),del(5)(q22q33),-7,-22[8]/46,idem,del(1q),add(11q),add(12q), del(21q),+2mar[14]
<b>1174</b>	3843	12/08: 44-46,XY,del(6)(q21);del(7)(q22q32),-9,add(10)(p?),-13,+14,-16,-21,+2mar, inc[24]/46,XY[1]
<b>1175</b>	3394	7/08: 46,XY[23]; 11/08: 47-50,XY,del(1)(q21),add(3)(q26)[5],del(5)(q14q33),del(7) (q22),del(7)(q11),+8,add(9)(q34)[4]/-13,-16[11],-20,+3-5mar,3-20dm[23]
<b>1176</b>	3303	9/08: 46,XY,der(5;12)(p11;q11),del(7)(q22).der(11)t(11;?;15)(q25;?;q11),add,(17) (p11),+1-2 mar[19]
<b>1177</b>	3214	10/07: 43,X,-X,der(5;7)(p10;p10),-17,der(18)t(18;21)(q23;q21)trp(21)(q11q21),+21, +mar[2]/46,XX[20]; 2/08: 43,X,-X,der(5;7)(p10;p10),-17,der(18) t(18;21)(q23;q21) trp(21)(q11q21),+21,+2mar[5]/46,XX[18]; 4/08: 43,X,-X,der(5;7)(p10;p10),-17, der(18)t(18;21)(q23;q21)trp(21)(q11q21),+21,+mar[9]/46,XX[15]
<b>1178</b>	3225	4/08: 48,XX,i(1)(p10),add(1)(q10),+der(1)t(1;?)(q10)add(1)(q4?),add(3)(q11),del(5) (q13q33),add(12)(p11),+mar[22]; 5/08: 48,XX,i(1)(q10),add(1)(q10)+der(1)t(1;?) (q10;?)add(1)(q4?),add(3)(q11),del(5)(q13q33),add(12)(p11),+mar[12]
<b>1179</b>	2834	3/06: 46,XY[22]; 7/06: 46,XY[20]/45,X,-Y[2]; 10/06: 46,XY[22]/45,X0[2]; 2/07: 46,XY [20]; 5/07: 43-45,X0,-Y, der(4)(q?3),der(5),?dic(7;12)(q11,3 ;p12.1),-16,-18,+2mar [6]/46,XY[17]
<b>1180</b>	3293	8/03: 46,XY,inv(9)(p11q13)[7]/45,idem,-Y[5]; 8/04: 46,XY,inv(9)(p11q13)[12]/45, idem,-Y[10]; 7/05: 46,XY,inv(9)(p11q11)[13]/45,idem,-Y[4]; 7/06: 46,XY[2]/45,X,-Y [6]/45,XY,-7,del(10)(q11)[14]; 8/07: 46,XY,inv(9)(p11q13)[3]; 10/07: 46,XY,-7,inv(9) (p11q13)c,del(20)(q11),+21[20]/46,XY,inv(9)(p11q13)c[2]
<b>1181</b>	3098	3/07: 45,XY,der(5)t(5;17)(p10;q10),add(6)(p23),-17,t(18;14)(q22; q13)[5]/46,XY[18]; 4/07: 45,XY,der(5)t(5;17)(p10;q10),add(6) (p23),-17,t(14;18)(q13; q22)(2)/46,XY[18]; 6/07: 46,XY[24]; 10/07: 45,XY,der(5;17)+(5;17)(p10;q10),-17,+mar[1]/46,XY[20]
<b>1182</b>	3175	4/07: 46,XY[19]/45,XY,-21[4]; 6/07: 46,XY[22]; 7/07: 46,XY[21]
<b>1183</b>	3024	4/06: 46,XX[22]; 5/06: 46,XY[21]; 9/06: 46,XX[22]
<b>1184</b>	2200	9/03: 46,XY[21]; 03/04: 46,XY[22]; 10/04: 46,XY[18]; 09/05: 46,XY[22]; 3/06: 46,XY,del(5q)[1]/46,XY[20]; 04/06: 46,XY,del (5q)[1]/46,XY[20]; 06/06: 46,XY,del(5q),der(17)[4]/46,XY[18]; 08/06: 46,XY,del(5q)(q22q33)[1]/46,XY[21]; 09/06: 46,XY[24]
<b>1185</b>	4066	5/07: 45,X,-Y,der(5)t(5;17)(q22;q11.2),der(7)add(7)(p22)add(7)(q22),del(12)(q21.3 q24.3),-13,der(20)t(Y;20)(q11.2-q13.1), +mar[cp2]/46,XY[23]
<b>1186</b>	3073	1/07: 46,XX,dic(1;11)(q11;p15)add(11)(q23),-11,?inv(2)(q25q33)[12]/46,XX[12]
<b>1187</b>	3449	7/04: 46,X,add(X)(p11.2),inv(3)(p21q26.2),12p?,der(17)t(X;17)(p11.2;q11.2)[2]/ 46,XX[18]
<b>1188</b>	3023	6/06: 46,X,der(3),t(X;3)(q13;q27)t(3;13)(q24;q14),del(5)(q22q33),add(12)(p12)[19]/ 46,XX[3]
<b>1189</b>	2789	10/05: 44,XY,add(2)(p16),-3,der(4),del(5)(q22q33),-7,add(10p)[18]/44,idem,del(12p) [5]; 11/05: 44,XY,add(2)(p16),-3,del(5)(q22q33),add(7)(p10),-10[22]

<b>1190</b>	3601	1/05: 43,X,-X,der(1)(p?),der(2),-3,-4,-5,-6,-7,10q?,11q?,add(11)(p?),del(12)(p11p13),del(13)(q12q14),der(15),-17,-18,-21,add(22) (p11.2),+7mar[1]/46,XX[24]; 3/05: 46,XX[20]
<b>1191</b>	2599	8/05: 46,XY,add(5)(q33),del(5q),del(7q),del(10)(q24),der(10),add (16q),+2mar[2]
<b>1192</b>	2605	3/05: 46,XX,del(5)(q22q33)[1]/46,idem,add(2)(p2?),0-3mar[8]/44-46,idem,add(2p),-13,-17,-17,+1-3mar[10]/48,idem,+2mar[4]; 4/05: 46,XX,del(5)(q22q33)[1]/46,idem,add(2)(p2?)[3]/45,idem,add(2p),-13,-17,-17,+2mar[5]/46,idem,del(1q),add(1q)[3]; 5/05: 46,XX,del(5)(q22q33)[1]/46,idem,add(2) (p2?)[4]/44-45,idem,add(2)(p24),-13,-17,-17,+2mar[15]/46,idem,add(1q),del(1q)[2]; 6/05: 45,XX;der(2)t(1;2)(p13;p2?),del(5)(q22q33), add(11)(p14)[13]
<b>1193</b>	2300	5/04: 46,XY[24]; 7/04: 46,XY[22]; 12/04: 46,XY[21]46,XY,del(10p)[1]
<b>1194</b>	2297	12/03: 46,XY[23]; 1/04: 46,XY[22]; 3/04: 46,XY[22]; 9/04: 46,XY[23]
<b>1195</b>	2466	11/04: 46,XX,del(5)(q13q33),del(7)(q11),del(12)(p12),del(16)(q21-2),del(17p),del(21) (q22)[20]/46,idem,del(1p)[2]
<b>1196</b>	2260	7/04: 45,X,-Y,der(1;14)(q11;q11),-14,del(16)(q12?3),add(18)(p11)[16]/46,idem,+8 [6]; 8/04: 46,XY[3]/46,X,-Y,+8[19]; 11/04: 46,XY[90]/47,XY,+8[5]
<b>1197</b>	2182	4/03: 46,XY[16]/47,XY,+8[5]/48,XY,+8,+13[1]; 5/03: 46,XY[18]/47,XY,+8[3]/47,XY,+8, t(12;17)[1]; 9/03: 46,XY[6]/47,XY,+8[3]/48,XY,+8,+11[13]; 11/03: 46,XY[23]; 2/04: 46,XY[23]; 12/04: 46,XY[22]
<b>1198</b>	2410	7/04: 46,XY[1]/42-46,XY,del(5q),+2-3mar[4]; 9/04: 46,XY[22]; 11/04: 46,XY[8]/42-45, XY,del(5)(q22?q33),add(7)(p11),der(7;17)(p10;q10), add(12)(p11),add(15)(p11),-17,-18,-20,-22,+1-3mar[15]; 1/05: 46,XY[21]/46,XY,add(11p)[1]; 1/05: 46,XY[22]/46,XY, del(10q)[1]
<b>1199</b>	2548	12/04: 43-45,XY,del(2p)[4]/45,XY-5,add(6p),del(7q)[5]/47,XY,+8[8]/46,XY,add(12p) [17],-19,+mar[6]
<b>1200</b>	2522	6/04: 46,XY,del(5)(q31)[17]/46,XY[8]
<b>1201</b>	2402	5/04: 44-45,X-Y,del(5)(q22q33),-19,-20,+mar[12]/45,idem,i(21)(q11),+(21)(q11)[3]/ 45,idem,+mar[7];
<b>1202</b>	2232	5/04: 46-48,XX,+X,del(5)(q12q34),der(7),t(7;?)(q21;?),+8,-17,-19,-20,+2-6mar[12]cp
<b>1203</b>	2326	6/04: 43,XX,del(5)(q22q33),-7,inv(9)(p11q13),-17,-18,der(20),t(17;20)(q12?;q12?) [19]/46,XX[3]; 08/04: 43,XX,del(5)(q22q33),-7,inv(9)(p11q13)c,-16,der(17;20),-18,-20 ,+mar[11]/ 44,idem,+mar[9]
<b>1204</b>	2404	12/03: 43-44,X,-Y,der(5),del(6q),der(7),add(15)(p11),der(17),-18,-20,-21,-22,+2-3 mar[8]/43,idem,add(11p)[3]/46,XY[9]; 2/04: 43-44,X,-Y,add(7q),add(11p),add(15p), -18,-20,-21,-21,+2-3mar[22]
<b>1205</b>	1029	11/95: 46,XY[20]
<b>1206</b>	2436	1/04: 45,XY,del(5)(q13q33),der(13)t(2;13)(?;p11),-17,del(20)(q11)[10]/45,XY,del(5) (q13q33),der(10)t(2;10)(?;p11),-17,del(20)(q11)[5]
<b>1207</b>	1721	9/02: 46,XY[23]; 10/02: 46,XY[22]; 11/02: 46,XY[22]; 3/03: 46,XY[20]/46,XY,-4,+mar [1]/46,XY,-3,+mar[1]; 4/03: 46,XY[19]/45,der(5;22)[1] /45,del(2p)[1]/45,der(10)[1]
<b>1208</b>	2332	12/02: 44,XX,-2,der(2),t(2;6,?),+der(2;6,7,?),del(5)(q12),-6,+der(?;6),-7,+der(7), del(12)(p11),-17,-18[20]/46,XX[2]; 1/03: 46,XX[1]/44,XX,-2,der(2),t(2;6,?),+der (2;6;7,?),del(5)(q12),-6,+der(?;?),-7,der(7),del(12)(p11),-17,-18[21]
<b>1209</b>	5257	2/01: 46,XY[2]; 4/01: 46,XY[20]; 7/01: 46,XY[8]; 8/01: 47,XY,+8,der(20)(q20;21)(q11; q11),del(20)(11)[3]/48,idem,del(11)(q?21),add(12)(q?24), +mar[2]/46,XY[17]; 9/01: 47,XY,+8,del(11)(q?21),-12,der(20)t(20;21)(q11;q11),del(21)(q11),+mar[1]; 1/02: 46, XY[7]; 2/03: 47-51,XY,+6,del(7)(q11q31),+8,+del(8)(p21),+10,der(10)t(10;?)(p1;?);

		x2,+11,der(11)t(11;?)(p11;?)del(11)(q21q23)x2,dup(12)(q13q22),der(20)t(20;21)(q11;q11),-21,del(21)(q11),+mar[cp20]
<b>1210</b>	2179	2/03: 46,XY[23]/45-46,XY,-5,-8,add(9p),-17,+2-4mar[6]
<b>1211</b>	2043	10/01: 46,XX[12]/46,XX,t(8,15)[1]/46,XX,t(7;15)[1]/46,XX,dup (11p)[1]/46,XX,del(4q)[1]/46,XX,t(3;8)[1]/46,XX,del(17p)[1]/45,XX,-21[2]; 6/02: 46,XX[19]/46,XX,t(X,15)[1]/46,XX,der(2)[1]; 1/03: 46,XX[12]/50-52,XX,der(2),der(5),der(7),i(8)(q11),add(11)(p1?),+14,-18,-+4-6mar[10]
<b>1212</b>	1950	2/02: 46,XX[15]/47,XX,t(1;11)(q13;q2?5),+8,der(16),der(20)[5]
<b>1213</b>	1730	7/00: 46,XX[19]/46,XX,del(2q)[1]; 3/02: 46,XX[21]
<b>1214</b>	2072	4/02: 45,XY,-5,-7,inv(9),add(12p),+mar,+mar[9]/46,XY,inv(9)[1]
<b>1215</b>	1913	5/01: 44,XX,-5,-12[4]/44,XX,-5,-7,-12,+mar[5]/43,XX,-5,-7,-12,add(20p)[9]/46,XX,del(5q)[1]; 12/01: 44,XX,-5,-7,-12,add(20p),+mar[6]/45,idem,+15[14]
<b>1216</b>	1625	4/99: 46,XY[17]/44-46,XY,der(2,5,2,7),t(2,6)(q23?),der(3,17)(p?), del(5)(q13q33),-7 ,t(19,20),t(21,21)[4]; 6/99: 46,XY[20]; 8/99: 46,XY[5]/44-46,XY,der(2,5,2,7),der(2,6) (q23?),der(3,17)(p21q?), del(5)(q13q33),-7,t(19,20),t(21,21)(q10q10)[15]; 4/99: 46, XY[3]/ 45,XY,der(2,5,2,7),der(2,6) (q23?),der(3,17)(q21,3?),del(5)(q13q33),-7,+21, t(21,21)(q10q10)[18]; 11/99: 46,XY,komplex[10]/46,XX[11]; 12/99: 46,XX[3]/42-45, komplex[13]/ 45,X0,-Y[7];
<b>1217</b>	1893	2/01: 45,XX,inv(3)(q21q26),-7[5]; 4/01: 46,XX[2]/45,XX,inv(3)(q21q26),-7[17]/ 44,idem,-14[1]
<b>1218</b>	1784	8/01: 46,XY[17]/47,XY,+11[2]/46,XY,t(4,12)[1]
<b>1219</b>	1771	10/00: 46,XY[20]; 4/01: 46,XY[15]/45,XY,del(2)(p13?4),-4,-6,del(5)(q13q33),add(13) (p10),add(17)(p11),del(20)(q11),+mar[5]
<b>1220</b>	1700	9/00: 46,XY[59]/46,XY,t(11q,17q)[3]
<b>1221</b>	4694	2/02: 46,XY[2]/45,XY,der(3)t(3;12)(q12:p13),del(6)(q15),del(11)(p14),del(12)(p11.2 p13)der(12)t(3;12)(12qter->12p12.3::3q?->3q?:12p11.2->12p13::3q12->3qter)2x, -13,add(16)(p13),-20[24]
<b>1222</b>	1688	3/99: 46,XX[8]/46,XX,t(4,11)(q23?4,q13),del(5q),del(7)(q22),+mar[8]/45,XX,idem,-3 [4]
<b>1223</b>	1640	2/99: 46,XY[15]/48,XY,+6,+8[1]/46,XY,-7,+mar[1]/46,XY,-7,+mar[1] /60-63,XY,-5,-7,- 12,-14,-15,-16,-17,-18,-19,-22,+mar,+mar[6]; 4/99: 46,XY[27]/46,XY,+20,+11[2]; 6/99: 46,XY[19]/47,XY,+c[1]; 10/99: 46,XY[20]
<b>1224</b>	988	4/97: 46,XY[20]; 11/97: 46,XY[20]; 12/98: 46,XY[20]; 6/99: 46,XY[15]/46,X,-Y,+8[5]
<b>1225</b>	1601	11/98: 46,XX[1]/45-46,XX,der(2;12)(q11;q11),del(5)(q13q33),del(9)(p11),der(12), t(13;19)(q12;q13),-15,der(17),add(20)p12?),-21,+mar,+mar[11]; 1/99: 46,XX[15]; 2/99: 46,XX[13]/44,XX,der (5;12)(q10;q10),+der(9)(p11),t(13;19)(q12;q13),add(20) (p12?),-21,+mar,+mar[7]; 3/99: 46,XX[19]/46,XX,del(17p)[1]
<b>1226</b>	942	10/91: 46,XX[5]/46,XY[6]; 5/92: 46,XX[17]/46,XY[6]; 10/93: 46,XX[16]; 5/94: 46,XX [17]; 3/96: 46,XX[20]
<b>1227</b>	1353	2/99: 46,XX[1]/44,XX,-2,t(3;4)(p21?;p14?),del(5)(q13q33),-6,der(7),add(12)(p11)[19]
<b>1228</b>	1287	2/97: 46,XY,del(3)(p21->pter),del(5)(q13q33),add(6)(p21), del(15)(q12->qter), add (17)(q25)dm[15]/46-48,idem,del(16)(q13), +20[5]; 8/97: 46-48,XY,del(3)(p21),del(5) (q13q33),add(6)(p21), del(15)(q12), del(16)(q13),add(17)(q25),+20[12]/46,XY[1]
<b>1229</b>	1033	9/95: 45,XY,-7[12]/46,XY[5]; 4/96: 45,XY,-7[13]/46,XY[7]; 10/96: 46,XY[5]/45,XY,-7 [15]; 8/98: 46,XY,-7,+21[4]/47,XY,-7,+21,+mar[16]

<b>1230</b>	1366	10/97: 44-45,X,-X,-5,add(6)(q22?),t(7;12)(q34?;q13?),-21,+mar,+mar[10]/44-45,X,-X ,idem,del(11)(q23)[5]
<b>1231</b>	1203	6/97: 37-50,XY,der(2),-5,del(7)(q22),+8,-18,-21,+mar1,+mar2[6]; 7/97: 46,XY,der(2), -5,del(7)(q22),+8,-18,-21,+mar1,+mar2[19]
<b>1232</b>	957	4/95: 46,XY[21]; 12/95: 46,XY[20]; 11/96: 46,XY[20]
<b>1233</b>	1258	1/97: 45,XX,-5,-9,-17,+mar,+mar[22]
<b>1234</b>	1296	7/96: 46,XY,del(7)(q22),add(18)(p10)[8]/46,XY,del(7)(q22),add(18)(p10),del(17)(p11) [3]/46,XY,+11,-18[1]
<b>1235</b>	1003	4/96: 46,XY[21]
<b>1236</b>	1087	11/95: 46,XX[25]; 12/95: 46,XX[30]; 1/96: 46,XX[25]; 5/96: 37-39,XXX,komplex verändert[20]; 6/96: 46,XX[22]
<b>1237</b>	1162	12/94: 46,XY[16]/45,XY,-10,-11,-15,-17,-19,+mar,+mar,+mar,+mar[1]; 1/95: 46,XY [8]/45,XY,-10,-11,-15,-17,-19,+mar,+mar,+mar,+mar[1]; 3/95: 46,XY[19]/46,XY,-16, +mar[1]; 5/95: 46,XY[17]; 6/95: 46,XY[10]
<b>1238</b>	960	9/94: 46,XY[4]/46,XY,del(5)(q12q33)[19]; 10/94: 46,XY[7]/46,XY,del(5)(q12;q33)[11]/ 48,XY,+1,+21[1] 5/95: 46,XY,del(5)(q12q33)[12]/45-47,XY,-3del(5)(q12q33),del(9)(p) 11p+,-17,+mar,+mar,+mar[8]
<b>1239</b>	955	7/95: 46,XX[2]/49,XX,del(3)(q21),+mar,+mar,+mar[4]
<b>1240</b>	980	1/95: 46,XX[8]/46,XX,add(7p)[11]/46,XX,add(9q)[1]
<b>1241</b>	918	2/94: 46,XY[1]/45-46,X(Y),-Y,-17,dup(1)(q21;q24),+8[14]; 11/94: 45-46,X0,-Y,+8, dup(1)(q21;q24)[16]
<b>1242</b>	590	7/93: 46,XY[14]/43,X0,-6,-13,-16,-Y,+20[1]/46,XY,del(12p)[1]; 01/94: 46,XY[15]/47, XY,+8[1]; 11/94: 47,XY,+8[2]/46,XY[15]
<b>1243</b>	702	2/94: 47,XX,+mar[1]/46,XY[11]
<b>1244</b>	635	8/91: 46,XX[10]
<b>1245</b>	7651	7/19: 46,XY[24]
<b>1246</b>	7480	11/18: 46,XY[23]
<b>1247</b>	8770	09/19: 47,XY,+8 [7]/46,XY,del(9)(q12q34)[7]/46,XY[6]
<b>1248</b>	8689	8/20: 46,XY[22]
<b>1249</b>	8935	9/20: 47,XY,+mar[2]/46,XX[27]
<b>1250</b>	891	11/12: 46,XX,del(5)(q14q33)[21]/46,XX[1]
<b>1251</b>	5943	11/13: 47,XX,mar[14]/46,XX[6]
<b>1252</b>	6633	12/15: 46,XX[21]
<b>1253</b>	5743	1/13: 46,XY[20]; 4/13: 46,XY[25]; 6/14: 46,XY[6]; 12/18: 44,XX,add(5),del(7)(q22), -16,der(17),-18[20]/46,XY[5]; 2/19: 44,XX,add(5)(q31),del(7)(q22),-16,der(17),-18[4]/ 46,XY[19]; 3/19: 46,XY[24]; 5/19: 46,XY[24]; 7/19: 46,XY[24]; 11/19: 46,XY[24]; 1/20: 46,XY[24]; 5/20: 46,XY[24]
<b>1254</b>	9112	8/19: 46,XY[24]
<b>1255</b>	7516	3/18: 46,XX[24]; 4/18: 46,XY[3]/46,XX[21]; 6/18: 46,XY[1]/46,XX[23]; 01/19: 46,XX [24]; 1/20: 46,XY,+1,der(1;8)(q21;p24)[23]
<b>1256</b>	7628	3/17: 46,XY[20]
<b>1257</b>	8517	12/19: 47,XY,t(1;19)(q23;p13),+der(19)t(1;19)(q23;p13)[23]/46,XY[1] (PB)
<b>1258</b>	5632	1/15: 46,XY[27]

<b>1259</b>	7147	2/18: 46,XY[24]
<b>1260</b>	7370	12/15: 46,XY[20]
<b>1261</b>	6204	2/14: 46,XY, der(3)t(3;19)(p13;q?q12),del(5)(q14q34),t(9;18) (p24;q12),del(9) (q21q33),del(19)(q12q13)[9]/46,XY[11]
<b>1262</b>	6033	10/10: 46,XY[20]
<b>1263</b>	6570	1/14: 46,XX[20]
<b>1264</b>	5985	11/13: 47,XX,+11[24]
<b>1265</b>	8096	7/14: 46,XY,?dic(1;11)(q36;q24),+8[21]/46,XY[2]; 2/15: 46,XY,der(2;11)(2pter->2q32::11q?->11q?::2q33->2q37::11q13->11pter),+8[6]
<b>1266</b>	5984	11/13: 46,XY,del(5)(q22q33)[21]/46,idem,+mar[7]
<b>1267</b>	6544	05/11: 46,XX[22]; 8/11: 46,XX[24]
<b>1268</b>	3467	10/08: 46,XX,del(5)(q14q33)[24]; 4/09: 46,XX,del(5)(q14q33)[22]; 10/11: 46,XX,del(5)(q14q33)[16]/46,XX[4];
<b>1269</b>	9077	7/11: 46,XX,del(5)(q22q33)[6]/46,XX[17]
<b>1270</b>	8060	11/09: 46,XY,del(7)(p15q21)[5]/45,XY-7[18]/46,XY[1]
<b>1271</b>	3818	01/02: 46,XX[21]
<b>1272</b>	3381	10/08: 46,XY[22]
<b>1273</b>	3095	9/05: 46,XY[24]
<b>1274</b>	2114	10/02: 47,XX,+8[22]
<b>1275</b>	1407	6/01: 46,XY[18]/47,XY,+8[2]
<b>1276</b>	975	1/97: 46,XX[20]; 5/99: 46,XX[20]; 9/00: 46,XX[16]/46,XX,del(6p)[1]/46,XX,del(14q?) [3]

# DANKSAGUNG

Die Idee, in der Hämato-Onkologie im Bereich der Myelodysplastischen Syndrome zu promovieren, ergab sich aus meiner mehrjährigen Tätigkeit im MDS-Team des Universitätsklinikums Düsseldorf. Dem Leiter dieses Teams, Herrn Professor Dr. Ulrich Germing möchte ich für die großzügige Förderung meiner Arbeit, seine ständige Diskussionsbereitschaft und die Vielzahl wertvoller Hinweise herzlich danken. Die Arbeit unter seiner Leitung hat mir stets Freude bereitet.

Ohne die jahrelange Vorarbeit und sorgfältige Führung des MDS-Registers wäre diese Arbeit nicht möglich gewesen. Ich möchte mich deshalb beim gesamten MDS-Team sowie der Klinik für Hämatologie, Onkologie und klinischen Immunologie unter der Leitung von Herrn Prof. Dr. Sascha Dietrich bedanken. In diesen Dank einschließen möchte ich das Institut für Humangenetik und insbesondere Frau Dr. Barbara Hildebrandt für die zur Verfügung gestellten Daten und die unkomplizierte Zusammenarbeit.

Herrn Professor Dr. Harald Rieder danke ich für die freundliche Übernahme des Ko-Referats.

Außerdem gilt mein Dank meinen Eltern, Geschwistern und meiner Oma für die kritische Durchsicht meiner Arbeit, ihre aufmunternden Worte und das mir entgegengebrachte Vertrauen.

Düsseldorf, 18. Mai 2023